

การเตรียม และการวิเคราะห์ฟิล์มบรรจุภัณฑ์ต้านเชื้อจุลชีพจากพอลิแลคติกแอซิด
ยางธรรมชาติ และไคโตซานด้ดแปร



วิทยานิพนธ์เสนอปันพิทวิทยาลัย มหาวิทยาลัยนเรศวร เพื่อเป็นส่วนหนึ่งของการศึกษา
หลักสูตรปริญญาวิทยาศาสตรมหาบัณฑิต
สาขาวิชาเคมีอุตสาหกรรม
มิถุนายน 2563
ลิขสิทธิ์เป็นของมหาวิทยาลัยนเรศวร

วิทยานิพนธ์ เรื่อง “การเตรียม และการวิเคราะห์ฟิล์มบรรจุภัณฑ์ต้านเชื้อจุลชีพ
จากพอลิแลคติกแอซิด ย่างธรรมชาติ และไกโตกานดักแปร”
ของนางสาวปานิศา แสงนาค
ได้รับการพิจารณาให้นับเป็นส่วนหนึ่งของการศึกษาตามหลักสูตร
ปริญญาวิทยาศาสตรมหาบัณฑิต สาขาวิชาเคมีอุตสาหกรรม

คณะกรรมการสอบวิทยานิพนธ์

.....
.....
(รองศาสตราจารย์ ดร.ปราณี กิจญ์โภชิพ)

.....
.....
(รองศาสตราจารย์ ดร.ชวายกรถ์ เพ็ชญ์ไพศิษฐ์)

.....
.....
(ผู้ช่วยศาสตราจารย์ ดร.ศุภัตรา ประทุมชาติ)

อนุมัติ

(ศาสตราจารย์ ดร.ไพศาล มุณีสว่าง)

คณะกรรมการวิทยาลัยฯ

๐๘.๐๘.๒๕๖๓

ประกาศคณูปการ

วิทยานิพนธ์นี้สำเร็จได้ด้วยความเอาใจใส่ดูแลเป็นอย่างยิ่งจาก รองศาสตราจารย์ ดร.ช.วิทยากรณ์ เพ็ชญ์ไพศิษฐ์ ประธานที่ปรึกษาวิทยานิพนธ์ ที่ให้คำปรึกษา และแนะนำแนวคิดในการทำวิจัยนี้แก่ผู้วิจัยด้วยดีมาโดยตลอด ผู้วิจัยขอขอบคุณในความกรุณาของอาจารย์เป็นอย่างยิ่ง

ขอขอบคุณคุณเพชรรุ่ง เสนานุช ภาควิชาอุตสาหกรรมเกษตร คณะเกษตรศาสตร์ ทวิพยากรธรรมชาติ และสิ่งแวดล้อม มหาวิทยาลัยนเรศวร ที่ได้กรุณาให้ความรู้ และทดสอบสมบัติ การด้านเชื้อจุลทรรศน์ของฟิล์มพอลิเมอร์สมในการทำวิจัย

ขอขอบคุณ Professeur Philippe DANIEL ณ Institut des Molécules et Matériaux du Mans, Le Mans Université เมือง Le Mans ประเทศฝรั่งเศส ที่ให้คำปรึกษา แนะนำแนวคิด และให้ใช้เครื่องมือ Raman spectrometer และ FT-IR spectrometer ในการทำวิจัยในครั้งนี้

ขอขอบคุณกรรมการสอบวิทยานิพนธ์อันประกอบไปด้วย รองศาสตราจารย์ ดร.ปราณี ภิญโญชัย ประธานกรรมการสอบวิทยานิพนธ์ และผู้ช่วยศาสตราจารย์ ดร.ศุภัตวา ประทุมชาติ กรรมการสอบวิทยานิพนธ์ ที่ได้กรุณาให้คำแนะนำทดลองด้านแก่ไขข้อกพร่องของวิทยานิพนธ์นี้ ด้วยความเอาใจใส่ จนทำให้วิทยานิพนธ์ฉบับนี้สำเร็จลุล่วงได้อย่างสมบูรณ์

ขอขอบคุณอาจารย์ภาควิชาเคมีทุกท่าน ที่ได้ประสิทธิ์ประสาทวิชาความรู้ตลอดระยะเวลาที่ผู้วิจัยเข้ารับการศึกษา ณ สถาบันการศึกษาแห่งนี้

ขอขอบคุณเจ้าหน้าที่ศูนย์เครื่องมือกลางทุกท่าน โดยเฉพาะนายสุชาติ สุพัฒนผลлад พี่ให้ความรู้ คำแนะนำ และทดสอบสมบัติด้านต่าง ๆ ฟิล์มพอลิเมอร์สมในการทำวิจัย

ขอขอบคุณสำนักงานพัฒนาเศรษฐกิจจากฐานความหลากหลายทางชีวภาพ (องค์กรมหาชน) สำหรับเงินทุนอุดหนุนการวิจัย

ขอขอบคุณภาควิชาเคมี คณะวิทยาศาสตร์ มหาวิทยาลัยนเรศวร ที่ให้สถานที่ และเครื่องมือในการทำวิจัยครั้งนี้

เนื่อสิ่งนี้ได้ขอขอบคุณ บิดา แมรดา และน้องสาวของผู้วิจัยที่ให้กำลังใจ และให้การสนับสนุนในทุก ๆ ด้านอย่างดีที่สุดเสมอมา

ปานิศา แสงนาค

ชื่อเรื่อง	การเตรียม และการวิเคราะห์ฟิล์มบรรจุภัณฑ์ต้านเชื้ออุลซีพ จากพอลิแลคติกแอซิด ย่างธรรมชาติ และไก่โคล่าตามดัดแปลง
ผู้วิจัย	ปานิศา แสงนาค
อาจารย์ที่ปรึกษา	รองศาสตราจารย์ ดร.ช.วิยากรรณ์ เพ็ญชัยชัยวุฒิ
ประเภทสารนิพนธ์	วิทยานิพนธ์ วท.ม. สาขาวิชาเคมีอุตสาหกรรม, มหาวิทยาลัยนเรศวร, 2562
คำสำคัญ	พอลิแลคติกแอซิด ย่างธรรมชาติ ไก่โคล่าตามดัดแปลง ชิลเวอร์ไอโอดอน สมบัติการต้านเชื้ออุลซีพ

บทคัดย่อ

งานวิจัยนี้สนใจเตรียมฟิล์มบรรจุภัณฑ์สำหรับอาหารแบบแพคท์ฟิล์มที่มีสมบัติป้องกันการผ่านของแสง ความชื้น และต้านเชื้ออุลซีพเพื่อใช้ดอย่างอ่อนโยน ผลิตจากวัตถุดินที่มาจากธรรมชาติ และเป็นมิตรกับสิ่งแวดล้อม ซึ่งประกอบด้วยพอลิแลคติกแอซิด (PLA) ย่างธรรมชาติ (NR) และไก่โคล่าตามดัดแปลง หรือไก่โคลามกร้าฟพอลิ 2-อะไครโลมิได-2-เมทิล-1-โพโรเฟนเมทัลฟениคแอซิด (Chitosan-g-PAMPS, Cg) ที่มีการคิเตอร์ร่วมกับชิลเวอร์ไอโอดอน (Ag^+) อัตราส่วนต่าง ๆ ของ NR และ Cg (NR:Cg = 9:1, 4:1 และ 2:1) ถูกทดสอบในสภาพแวดล้อมที่ต่างกัน ผลการทดสอบ NR:Cg/NR:Cg- Ag^+ ร่วมกับ PLA ในสภาพแวดล้อมด้วยเครื่องขัดรีดเกลี่ยวหนอนเดี่ยว จากนั้นจึงทำการเปปเปอร์ฟิล์ม จากผลการทดลองพบว่า NR และ Cg สามารถสมเข้ากันเป็นเนื้อเดียวกันในสภาพแวดล้อมที่ต่างกัน ไม่ปรากฏการแยกเป็นสอง Cg ออกจาก NR ในทุกอัตราส่วน โดยพอลิเมอร์สมหวังว่า NR:Cg มีความสามารถในการจับ Ag^+ เท่ากับ 10.34 ± 0.37 , 13.14 ± 1.36 และ $15.89 \pm 3.76 \text{ mg/g}$ ตามลำดับ

การทดสอบ NR:Cg/NR:Cg- Ag^+ ร่วมกับ PLA ซึ่ง NR:Cg พบร่วมกับชิลเวอร์ไอโอดอน พอลิเมอร์สมมีพื้นผิวที่ขุ่นระ และสังเกตเห็นการกระจายตัวของอนุภาค NR และ Cg ขนาดเล็ก ในเมทริกซ์ของ PLA ซึ่งอนุภาคดังกล่าวมีขนาดเล็กกว่าขนาดของ NR:Cg เริ่มต้น ซึ่งแสดงถึงการเข้ากันได้บางส่วนระหว่าง NR:Cg/NR:Cg- Ag^+ และ PLA ซึ่งการรวมกันระหว่าง NR:Cg/NR:Cg- Ag^+ ที่เข้ากันได้กับ PLA และอนุภาค NR:Cg ที่เหลืออยู่ส่งผลกระทบต่อการเพิ่มค่าความยืดสูงสุด ณ จุดขาด และความเหนียวของฟิล์ม PLA นอกจากรูปแบบที่เปลี่ยนไปของอนุภาค NR และ Cg ที่เปลี่ยนไปในรูปแบบที่แตกต่างกัน ทำให้ค่าความเหนียวของฟิล์ม PLA ลดลง แต่ค่าความเหนียวของฟิล์ม PLA ที่มีค่าความเหนียวสูงสุด ณ จุดขาด คือ $10.34 \pm 0.37 \text{ mg/g}$ และค่าความเหนียวของฟิล์ม PLA ที่มีค่าความเหนียวสูงสุด ณ จุดขาด คือ $13.14 \pm 1.36 \text{ mg/g}$ และค่าความเหนียวของฟิล์ม PLA ที่มีค่าความเหนียวสูงสุด ณ จุดขาด คือ $15.89 \pm 3.76 \text{ mg/g}$ ตามลำดับ

ผลึกมีค่าเพิ่มขึ้น ซึ่งสามารถสรุปได้ว่า NR:Co สามารถเข้ากันได้บางส่วนกับ PLA และช่วยในการขับตัว และหนุนนำการเกิดผลึกของฟิล์ม PLA

การดีเลตร่วมนกับ Ag^+ ช่วยให้ฟิล์มพอลิเมอร์ผสมสามารถต้านเชื้อจุลชีพทั้งแกรมบวกและแกรมลบจำนวน 5 สายพันธุ์ได้มีอัตราทดสอบการยับโคโลนีของจุลชีพ โดยพบว่าสามารถลดการเจริญเติบโตของเชื้อจุลชีพได้มากกว่า 99% เมื่อเทียบกับฟิล์มควบคุม ที่เวลาทดสอบ 48 ชั่วโมง และฟิล์มมีการหลุดออกของ Ag^+ ประมาณ $5-500 \text{ ng/cm}^2$ ซึ่งกับความเป็นกรดเบสของสารละลายและเวลาในการทดสอบ นอกจากนี้ยังพบว่าฟิล์มที่มีปริมาณ Ag^+ 1.5% สามารถลดการเน่าเสีย และการเกิดเมือกของชิ้นเนื้อสดที่ทำการทดสอบได้ดีกว่าการเก็บรักษาในฟิล์ม PLA สามารถช่วยลด/ควบคุมการเจริญเติบโตของเชื้อจุลชีพที่อยู่ในชิ้นเนื้อ ส่งผลให้ช่วยยืดอายุการเก็บรักษาเนื้อสัตว์ และลดปัญหาการเกิดโรคอาหารเป็นพิษได้



Title	PREPARATION AND CHARACTERIZATION OF ANTIMICROBIAL PACKAGING FILM FROM POLY (LACTIC ACID), NATURAL RUBBER AND MODIFIED CHITOSAN
Author	Panisa Sangnak
Advisor	Associate Professor Chor. Wayakron Phetphaisit, Ph.D.
Academic Paper	Thesis M.S. in Industrial Chemistry, Naresuan University, 2019
Keywords	Poly (lactic acid), Natural rubber, Modified chitosan, Silver ion, Antimicrobial property

ABSTRACT

This research interested in the preparation of active food packaging films with light, moisture barrier, and antimicrobial properties from environmentally friendly raw materials from poly (lactic acid) (PLA), natural rubber (NR), and modified chitosan or chitosan-graft-poly acrylamide-2-methyl propane sulfonic acid (Chitosan-g-PAMPS, Cg) chelated with silver ion (Ag^+) blend. Various ratios of NR and Cg (NR:Cg= 9:1, 4:1 and 2:1 w/w) were blended in the latex stage. After drying, NR:Cg was chelated with Ag^+ (NR:Cg- Ag^+). The final materials were prepared by mixing NR:Cg/NR:Cg- Ag^+ with PLA via a melt mixing process using single screw extruder and film blowing machine. It was found that NR and Cg blends were miscible in the latex stage. The maximum adsorption capacity of Ag^+ were 10.34 ± 0.37 , 13.14 ± 1.36 and 15.89 ± 3.76 mg/g, respectively.

After mixing NR:Cg/NR:Cg- Ag^+ with PLA, the morphology of the blends showed coarse surface with small particles of NR and Cg dispersed in the PLA matrix. The size of the NR:Cg particles found in the blends became smaller than that of the initial particles indicating partial compatibility of the blend between NR:Cg/NR:Cg- Ag^+ and PLA. The compatibility of NR:Cg and the remaining NR:Cg particles may contribute to the improvement of the elongation at break and toughness properties of PLA films. In addition, the blend helped improve UV-vis transition, moisture and oxygen protection properties than original PLA films. On the other hand, all blends showed lower glass

transition temperatures (T_g) and lower cold crystallization temperatures (T_{cc}) than pure PLA films while percent of crystallinity increased. It can be concluded that NR:Cg is partially compatible and may contribute to the chain movement and inducing crystallinity of PLA films.

Chelating with Ag⁺ resulted in antimicrobial activity of the final materials tested using colony count method with 5 bacterial species both gram-negative and gram-positive bacteria. The blended film exhibited more than 99% reduction in numbers of all bacterial cells for 48 h of cultivation and the release of Ag⁺ observed between 5-500 ng/cm² depended on the pH of the solution and time of immersion. On packaging application test using meat showed that P-NC2-Ag4² films were effective to reduce food spoilage and surface slime in meat during storage more than in PLA films. The blend films could help inhibit and control the growth of the microbial in meat indicating improved food shelf life extension and protection against foodborne diseases.

อักษรย่อ

<i>E. coli</i>	=	<i>Escherichia coli</i>
<i>B. cereus</i>	=	<i>Bacillus cereus</i>
<i>S. aureus</i>	=	<i>Staphylococcus aureus</i>
<i>S. typhimurium</i>	=	<i>Salmonella typhimurium</i>
<i>P. fluorescens</i>	=	<i>Pseudomonas fluorescens</i>
PLA	=	พอลิแลคติกแอซิด
PBAT	=	พอลิบิวทีลีนอะดิเพท-โค-เทเรฟทาเลท
NR	=	ยางธรรมชาติ
CH	=	ไคลโตราน
AMPS	=	2-อะ่ไครามิโด-2-เมทิล-1-โพรเพนชัลโพนิกแอซิด
PAMPS	=	พอลิ 2-อะ่ไครามิโด-2-เมทิล-1-โพรเพนชัลโพนิกแอซิด
CH-g-PAMPS	=	ไคลโตรานกร้าฟพอลิ 2-อะ่ไครามิโด-2-เมทิล-1-โพรเพนชัลโพนิกแอซิด
Cg	=	ไคลโตรานกร้าฟพอลิ 2-อะ่ไครามิโด-2-เมทิล-1-โพรเพนชัลโพนิกแอซิด
Ag ⁺	=	ชิลเวอร์ไอโอน
AgNPs	=	อนุภาคชิลเวอร์นาโน
OM	=	กล้องจุลทรรศน์แบบใช้แสง
SEM	=	กล้องจุลทรรศน์อิเล็กตรอนแบบส่องการดู
DSC	=	Differential scanning calorimetry
FT-IR	=	Fourier transform infrared spectroscopy
ATR-IR	=	Attenuated total reflection infrared spectrometry
AAS	=	Atomic absorption spectrophotometry
UV/VIS	=	Ultraviolet and visible
g	=	กรัม
mg/g	=	มิลลิกรัมต่อกิโลกรัม
mL	=	มิลลิลิตร
nm	=	นาโนเมตร
mm	=	มิลลิเมตร
A	=	พื้นที่ (Area)

อักษรย่อ (ต่อ)

m^2	=	ตารางเมตร
cm^2	=	ตารางเซนติเมตร
mm/min	=	มิลลิเมตรต่อนาที
$^{\circ}C$	=	องศาเซลเซียส
$^{\circ}C/min$	=	องศาเซลเซียสต่อนาที
kN	=	กิโลนิวตัน
μL	=	ไมโครลิตร
ppm	=	Part per million
w/w	=	อัตราส่วนโดยมวล
$%w/w$	=	ร้อยละโดยมวล
$%w/v$	=	ร้อยละโดยมวลต่อบริมاءตร
$%v/v$	=	ร้อยละโดยปริมาตร
MPa	=	เมกะปานด้าล
CFU/mL	=	Colony forming unit/milliliter
$\%RH$	=	ร้อยละความชื้นสัมพัทธ์ (%Relative humidity)
OTR	=	อัตราการซึมผ่านของออกซิเจน (Oxygen transmission rate)
$WVTR$	=	อัตราการซึมผ่านของไอน้ำ (Water vapor transmission rate)
pH	=	Power of hydrogen ion concentration
TD	=	ตามแนวขวางเครื่องจักร (Machine direction)
MD	=	ตามแนวเครื่องจักร (Transverse direction)
T_g	=	อุณหภูมิการเปลี่ยนสถานะคล้ายแก้ว (glass transition temperature)
T_m	=	อุณหภูมิหลอมผึ้ง (melting temperature)
T_{cc}	=	อุณหภูมิในการเกิดผลึกขณะให้ความร้อน (cold crystallization temperature)

สารบัญ

บทที่	หน้า
1 บทนำ.....	1
ความเป็นมาของปัญหา.....	1
จุดมุ่งหมายของการศึกษา.....	4
ขอบเขตของงานวิจัย.....	4
2 เอกสารและงานวิจัยที่เกี่ยวข้อง.....	6
บรรณภัณฑ์เอกสาร.....	6
โครงการเป็นพิเศษ.....	7
คุลศีพที่เป็นเปื้อนในอาหาร.....	8
พอลิเมอร์.....	12
งานวิจัยที่เกี่ยวข้องการเตรียมพอลิเมอร์สมรรถนะทางพอลิแลคติกแอซิด	
พอลิบิวทิลีนอะดิเพท-โคล-เทเรฟทาเลท ย่างธรรมชาติ และไคโตชาน....	18
ประสิทธิภาพการต้านเชื้อคุลศีพของบรรณภัณฑ์เอกสาร.....	24
ประสิทธิภาพในการดูดซับโลหะหนักของ 2-อะไครามิได-2-เมทิล-1-โพรเพน	
รักษาฟันิกแอซิด.....	30
3 วิธีดำเนินการวิจัย.....	32
เครื่องมือที่ใช้ในการวิจัย.....	34
สารเคมี.....	35
วิธีการดำเนินการวิจัย.....	36

สารบัญ (ต่อ)

บทที่

หน้า

4 ผลการวิจัย.....	50
ศึกษาโครงสร้างทางเคมีของไคโตซาน ไคโตซันดัดแปร และไคโตซันดัดแปร ^{ผสานกับยางธรรมชาติ.....}	51
ศึกษาลักษณะทางกายภาพของไคโตซันดัดแปร ^{ผสานกับยางธรรมชาติ.....}	57
ศึกษาประสิทธิภาพในการจับ (adsorption) ชิลเวอร์ไอโอดินของไคโตซันดัด ^{แปร^{ผสานกับยางธรรมชาติ.....}}	58
การเตรียมคอมพาวน์ และฟิล์มพอลิเมอร์ ^{ผสาน.....}	61
สมบัติการต้านจุลชีพของฟิล์มพอลิเมอร์ ^{ผสาน.....}	104
5 บทสรุป.....	117
สรุปผลการวิจัย.....	117
บรรณานุกรม.....	121
ภาคผนวก.....	132
ประวัติผู้วิจัย.....	134

สารบัญตาราง

ตาราง	หน้า
1 บรรจุภัณฑ์ในคอมพอยต์โดยใช้พลาสติกผสมร่วมกับอนุภาคซิลเวอร์ nano.....	6
2 อัตราส่วนสารเคมีที่ใช้ในการเตรียมพอลิเมอร์ผสม.....	40
3 อุณหภูมิที่ใช้ในการผสมด้วยเครื่องอัดรีดแบบเกลี่ยวบนเดี่ยว.....	41
4 อุณหภูมิที่ใช้ในการเป้าฟิล์มของของบาราเรลในเครื่องอัดรีดแบบเกลี่ยวบนบน เดี่ยวของพอลิเมอร์ผสม.....	42
5 การวิเคราะห์โครงสร้างทางเคมีของไคโตซาน และไคโตซานดัดแปลง.....	53
6 การวิเคราะห์โครงสร้างทางเคมีของยางธรรมชาติ และยางธรรมชาติ/ไคโตซานดัด แปลง.....	56
7 ภาพถ่ายชิ้นงานยางธรรมชาติ และยางธรรมชาติผสมไคโตซานดัดแปลงที่อัตรา ^{ส่วนผสมระหว่างยางธรรมชาติและไคโตซานดัดแปลงที่แตกต่างกัน ก่อนและ ขณะการดึงยืดชิ้นงาน.....}	57
8 ประสิทธิภาพการต้านเชื้อจุลทรรศน์ 5 ชนิด	61
9 ภาพถ่าย SEM ของพื้นผิวพอลิเมอร์ผสมที่มีอัตราส่วนของ NR:Cg ที่แตกต่างกัน ที่ เตรียมจากการหักชิ้นงานที่ผ่านกระบวนการผสมโดยเครื่องอัดรีดเกลี่ยว บนอนคูในขั้นตอนสุดท้าย.....	62
10 ภาพถ่ายพื้นผิวฟิล์ม PLA และฟิล์มพอลิเมอร์ผสมระหว่าง PLA/NR:C-g-PAMPS ที่มีอัตราส่วนของ NR:Cg ที่แตกต่างกัน.....	63
11 ภาพถ่าย SEM ของพื้นผิวฟิล์ม PLA และฟิล์มพอลิเมอร์ผสมระหว่าง PLA/NR: CH-g-PAMPS ที่มีอัตราส่วนของ NR:Cg ที่แตกต่างกัน.....	65

สารบัญตาราง (ต่อ)

ตาราง	หน้า
12 สมบัติทางความร้อนของฟิล์ม PLA และพอลิเมอร์สมรรถห่วง PLA/NR:CH-g-PAMPS ที่มีอัตราส่วนของ NR:Cg ที่แตกต่างกัน จากการให้ความร้อนครั้งที่ 2.....	69
13 ค่าสี และการส่องแสงสว่างของฟิล์ม PLA และพอลิเมอร์สมรรถห่วง PLA/NR:CH-g-PAMPS ที่มีอัตราส่วนของ NR:Cg ที่แตกต่างกัน.....	71
14 การวิเคราะห์โครงสร้างทางเคมีของไคลโธซาน และไคลโธซานดัดแปลง.....	75
15 ภาพถ่าย SEM ของพื้นผิวพอลิเมอร์สมที่มีปริมาณของ Ag^+ ที่แตกต่างกัน ที่เตรียมจากการหักชิ้นงานที่ผ่านกระบวนการผลิตโดยเครื่องอัดรีดเกลี่ยว หนอนเดี่ยวในขั้นตอนสุดท้าย.....	77
16 ภาพถ่าย BSE-SEM ของพื้นผิวพอลิเมอร์สมที่มีปริมาณของ Ag^+ ที่แตกต่างกันที่เตรียมจากการหักชิ้นงานที่ผ่านกระบวนการผลิตโดยเครื่องอัดรีดเกลี่ยว หนอนเดี่ยวในขั้นตอนสุดท้าย.....	78
17 ภาพถ่าย SEM และ BSE-SEM ของพื้นผิวพอลิเมอร์สมที่มีปริมาณของ Ag^+ 0.82% และ 1.50% ที่เตรียมจากการหักชิ้นงานที่ผ่านกระบวนการผลิตโดย เครื่องอัดรีดเกลี่ยวหนอนเดี่ยวในขั้นตอนสุดท้าย แบบไม่กร้าฟ ¹ และ แบบกร้าฟ ²	80
18 .ภาพถ่ายพื้นผิวฟิล์มพอลิเมอร์สมรรถห่วง PLA/NR:C-g-PAMPS ที่มีปริมาณ Ag^+ ที่แตกต่างกัน	81
19 ภาพถ่าย SEM ของพื้นผิวฟิล์มพอลิเมอร์สมรรถห่วง PLA/NR:Cg ที่มี Ag^+ ในปริมาณที่แตกต่างกัน	82

สารบัญตาราง (ต่อ)

ตาราง	หน้า
20 ภาพถ่าย BSE-SEM ของพื้นผิวฟิล์มพอลิเมอร์สมรรถว่าง PLA/NR:C-g-PAMPS ที่มีปริมาณของ Ag ⁺ แตกต่างกัน	84
21 สมบัติทางความร้อนของฟิล์ม PLA/NR:Cg และฟิล์ม PLA/NR:Cg ที่มีปริมาณชิล เออร์ในอัตราส่วน 0.8% จากการให้ความร้อนครั้งที่ 2	89
22 ค่าสี และการส่องแสงสว่างของฟิล์ม PLA และพอลิเมอร์สมรรถว่าง PLA/NR/C-g-PAMPS ที่มีปริมาณของ Ag ⁺ ที่แตกต่างกัน.....	90
23 ภาพ SEM ของพื้นผิว PLA พอลิเมอร์สม P-NC2 และ พอลิเมอร์สม PBAT ที่ อัตราส่วนต่าง ๆ และ PLA/PBAT/NR:Cg-Ag ⁺ ในอัตราส่วน 0.8% ของ พื้นผิวจากการหักขี้งานที่ฝ่านกระบวนการผลิต โดยเครื่องอัดรีดเกลี่ยว หนองดีเย็นในขั้นตอนสุดท้าย.....	93
24 ภาพถ่ายพื้นผิวฟิล์มพอลิเมอร์สมรรถว่าง PLA/PBAT/NR:Cg ที่มีปริมาณของ PBAT ที่แตกต่างกัน และ PLA/PBAT/NR:Cg-Ag ⁺ ในอัตราส่วน 0.8%.....	95
25 ภาพถ่าย SEM ของพื้นผิวฟิล์มพอลิเมอร์สมรรถว่าง PLA/PBAT/NR:Cg ที่มี ปริมาณของ PBAT ที่แตกต่างกัน และ PLA/PBAT/NR:Cg-Ag ⁺ ใน อัตราส่วน 0.8%.....	96
26 สมบัติทางความร้อนของฟิล์ม PLA/NR:Cg และฟิล์ม PLA/NR:Cg ที่มีปริมาณชิล เออร์ในปริมาณ 0.29% จากการให้ความร้อนครั้งที่ 2.....	101
27 ค่าสี และการส่องแสงสว่างของฟิล์ม PLA และ PLA/PBAT/NR/C-g-PAMPS ที่มี ปริมาณของ PBAT ที่แตกต่างกัน และ PLA/PBAT/NR:Cg-Ag ⁺ ใน อัตราส่วน 0.8%.....	103

สารบัญตาราง (ต่อ)

ตาราง	หน้า
28 ประสิทธิภาพในการต้านเชื้อจุลชีพของพอลิเมอร์สม P-NC2 และฟิล์มพอลิเมอร์ ผสมที่มีปริมาณ Ag^+ ความเข้มข้นต่าง ๆ กัน	107
29 ร้อยละการลดลงของเชื้อจุลชีพของฟิล์มพอลิเมอร์สมที่มีปริมาณ Ag^+ ที่แตกต่าง กันในเวลา 6, 24 และ 48 ชั่วโมง.....	110
30 การปลดปล่อยของชิลเดอร์ เมื่อนำไปแช่สารละลายที่ pH 3 และ 7 เป็นเวลาต่าง ๆ กันคิดในหน่วย ng/cm^2	114
31 การปลดปล่อยของชิลเดอร์ เมื่อนำไปแช่สารละลายที่ pH 3 และ 7 เป็นเวลาต่าง ๆ กันคิดในหน่วย %.....	115
32 ภาพถ่ายการใช้งานฟิล์มบรรจุภัณฑ์ PLA และ P-NgC2-Ag3 ในการเก็บรักษาเนื้อ หมู	116

สารบัญภาพ

ภาพ	หน้า
1 โครงสร้างของแบคทีเรีย (A) แกรมบวก และ (B) แกรมลบ.....	9
2 โครงสร้างทางเคมีของพอลิแลคติกแอซิด.....	12
3 โครงสร้างทางเคมีของย่างธรรมชาติ.....	13
4 โครงสร้างทางเคมีของไคโตชาน.....	14
5 ไคโตชานคี่เลขกับไอก่อนของโลหะหนัก	16
6 โครงสร้างทางเคมีของพอลิบิวทิลีนอะดิเพท-โค-เทเรฟทาเลท.....	17
7 ภาพถ่าย SEM ของพื้นผิวชั้นงานหลังการทดสอบการทนต่อแรงดึง เมื่อ (A) ย่างธรรมชาติอิพอกซีไดซ์ และย่างธรรมชาติอิพอกซีไดซ์ ผสมไคโตชานในอัตราส่วน (B) 5 phr (ไคโตชานผง) (C) 6 phr (สารละลายไคโตชาน) และ (D) 10 phr (สารละลายไคโตชาน).....	22
8 กลไกการทำงานของชิลเกอร์ต่อการมาเข้าอุจจาระ	26
9 สร้างภายในของเซลล์แบคทีเรีย E. coli (A-B) ก่อน และ (C-F) หลังมีการเติม Ag ⁺	27
10 สร้างภายในของเซลล์แบคทีเรีย S. aureus (A-B) ก่อน และ (C-D) หลังมีการเติม Ag ⁺	28
11 โครงสร้างของไคร威名ไดเมทิลโพรีเพนชัลโพนิกแอซิด.....	31
12 ภาพรวมงานนิวจิปในการเตรียมพิล์มบรรจุภัณฑ์สำหรับอาหารแบบแพคทีฟ.....	33
13 ปฏิกิริยาที่เกิดขึ้นของไคโตชาน-กรีฟ-พอลิ 2-อะไคร威名ได-2-เมทิล-1-โพรีเพนชัลโพนิกแอซิด.....	37
14 ปฏิกิริยาที่เกิดขึ้นของการผสมไคโตชานด้ดแบร์กับน้ำย่างธรรมชาติ.....	38
15 ปฏิกิริยาที่คาดว่าจะเกิดขึ้นของย่างธรรมชาติกรีฟไคโตชานด้ด.....	39
16 ขั้นตอนการดูดซับชิลเกอร์ก่อนของพอลิเมอร์ผสม.....	40
17 การขึ้นรูปพอลิเมอร์ผสมด้วยเครื่องเป่าขึ้นรูป (Blowing machine).....	41
18 การบรรยายสีในระบบ CIE Lab.....	45
19 การเตรียมตัวอย่างสำหรับการทดสอบการซึมผ่านไอน้ำ.....	46
20 ลักษณะของชั้นงานการทดสอบการทนต่อแรงดึง.....	47

สารบัญภาพ (ต่อ)

ภาพ	หน้า
21 ลักษณะของชิ้นงานการทดสอบการทนต่อแรงกระแทก.....	47
22 การทดสอบประสิทธิภาพการด้านเชื้อแบคทีเรียแบบการทดสอบวัสดุมีการยับยั้งเชื้อ ^{(A) และการนับโคไลนิชของจุลินทรีย์ (B).....}	49
23 การคาดเดาโครงสร้างทางเคมีของไคโตซานดัดแปลงที่เตรียมด้วยตัววิธีเริ่มปฏิกิริยาแบบรีดอกร์.....	52
24 ATR-IR สเปคตราของ (A) ไคโตซาน (CS) และ (B) ไคโตซันดัดแปลง (Cg).....	53
25 ATR-IR สเปคตราของ (A) ยางธรรมชาติ (NR) และ (B) ยางธรรมชาติ/ไคโตซานดัดแปลง (NR:Cg) ในอัตราส่วน 9:1 w/w.....	55
26 ATR-IR สเปคตราของ NR:Cg ในอัตราส่วน (A) 9:1 (B) 4:1 และ (C) 2:1 w/w.....	56
27 ขั้นตอนการเปลี่ยนหมู่กรุดชัลฟอนิกเป็นหมู่กรุดชัลไฟแนตและการจับกับชิลเวอร์ไอโอดอนในสารละลาย.....	59
28 ปริมาณชิลเวอร์ไอโอดอน (mg/g adsorbed) ที่เกิดการแตกเปลี่ยนกับยางธรรมชาติผสมไคโตซานดัดแปลงที่อัตราส่วนผสมระหว่างยางธรรมชาติและไคโตซานดัดแปลงที่แตกต่างกัน.....	60
29 (A) ค่าการทนต่อแรงดึง (B) ค่าระยะปีดสูงสุด ณ จุดขาด และ (C) ค่าอั้มมอตัสของฟิล์ม PLA และฟิล์มโพลิเมอร์ผสมที่มีอัตราส่วนของ NR:Cg ที่แตกต่างกันทั้งในแนวเครื่องจักร (MD) และแนวขวาง (TD).....	66
30 ค่าการทนต่อแรงกระแทกของชิ้นงานที่เตรียมจาก PLA และโพลิเมอร์ผสมระหว่าง PLA/NR/CH-g-PAMPS ที่มีอัตราส่วนของ NR:Cg ที่แตกต่างกัน.....	67
31 DSC เทอร์โมแกรมของการให้ความร้อนครั้งที่ 2 ของฟิล์ม PLA และโพลิเมอร์ผสมระหว่าง PLA/NR/CH-g-PAMPS ที่มีอัตราส่วนของ NR:Cg ที่แตกต่างกัน.....	69
32 ค่าการส่องผ่านของแสง (Transmittance) ของของฟิล์ม PLA และโพลิเมอร์ผสมระหว่าง PLA/NR/C-g-PAMPS ที่มีอัตราส่วนของ NR:Cg ที่แตกต่างกัน.....	70

สารบัญภาพ (ต่อ)

ภาพ	หน้า
33 ค่าการซึมผ่านของไอน้ำ (Water vapour transmission rate) ของฟิล์ม PLA และ พอลิเมอร์สมรรถห่วง PLA/NR/C-g-PAMPS ที่มีอัตราส่วนของ NR:Cg ที่แตกต่างกัน.....	72
34 Raman สเปกตรานของ (A) PLA (B) P-NC2 (C) P-NC2Ag4 ในช่วงความยาวคลื่น $200\text{-}3200\text{ cm}^{-1}$	74
35 Raman สเปกตรานของ (A) PLA (B) P-NC2 (C) P-NC2Ag4 ในช่วงความยาวคลื่น $200\text{-}1000\text{ cm}^{-1}$	75
36 การคาดเดาการเกิดการรวมกลุ่มกันของไฮโดรเจนดักแดดประที่ฟอร์มคอมแพล็กซ์ ร่วมกับ Ag^+ ขณะหลอม.....	79
37 (A) ค่าการทนต่อแรงดึง (B) ค่าระยะยึดสูงสุด ณ จุดขาด และ (C) ค่าอังมอญลัส ของฟิล์ม PLA และฟิล์มพอลิเมอร์สมมีปริมาณของ Ag^+ ที่แตกต่างกัน ทั้ง ในแนวเครื่องจักร (MD) และแนวขวาง (TD).....	86
38 ค่าการทนต่อแรงกระแทกของชิ้นงานที่เตรียมจาก PLA และพอลิเมอร์สมรรถห่วง PLA/NR/CH-g-PAMPS ที่มีปริมาณของ Ag^+ ที่แตกต่างกัน.....	87
39 DSC เทอร์โมแกรมของการให้ความร้อนครั้งที่ 2 ของฟิล์ม PLA/NR:Cg ที่ไม่มี และ มี Ag^+ ในปริมาณ 0.8%.....	88
40 ค่าการส่งผ่านของแสง (Transmittance) ของฟิล์ม PLA และพอลิเมอร์สม ระหว่าง PLA/NR:Cg ที่มีปริมาณของ Ag^+ ที่แตกต่างกัน.....	90
41 อัตราการซึมผ่านของไอน้ำ (Water vapour transmission rate, WVTR) ของ PLA, P-NC2, P-NC2-Ag1, P-NC2-Ag2, P-NC2-Ag ³ ² และ P-NC2-Ag ⁴ ²	91
42 (A) ค่าการทนต่อแรงดึง (B) ค่าการระยะยึดสูงสุด ณ จุดขาด และ (C) ค่าอังมอญลัส ของฟิล์ม PLA และฟิล์มพอลิเมอร์สมรรถห่วง PLA/PBAT/NR:Cg ที่มีปริมาณของ PBAT ที่แตกต่างกัน และ PLA/PBAT/NR:Cg- Ag^+ ใน อัตราส่วน 0.8% ทั้งในแนวเครื่องจักร (MD) และแนวขวาง (TD).....	98

สารบัญภาพ (ต่อ)

ภาพ	หน้า
43 ค่าการหดตัวและการแทรกของขั้นงานที่เตรียมจาก PLA และ PLA/PBAT/ NR:Cg ที่มีปริมาณของ PBAT ที่แตกต่างกัน และ PLA/PBAT/NR:Cg-Ag ⁺ ในอัตราส่วน 0.8%.....	99
44 DSC เทอร์โมแกรมของการให้ความร้อนครั้งที่ 2 ของฟิล์ม P-NC2 และฟิล์ม PLA/PBAT/NR:Cg และ PLA/PBAT/NR:Cg-Ag ⁺ ในอัตราส่วน 0.8%.....	101
45 ค่าการส่งผ่านของแสง (Transmittance) ของฟิล์ม PLA และ PLA/PBAT/ NR:Cg ที่มีปริมาณของ PBAT ที่แตกต่างกัน และ PLA/PBAT/NR:Cg-Ag ⁺ ในอัตราส่วน 0.8%.....	102
46 ค่าอัตราการซึมผ่านของไอน้ำของฟิล์ม PLA และ PLA/PBAT/NR:Cg ที่มีปริมาณของ PBAT ที่แตกต่างกัน และ PLA/PBAT/NR:Cg-Ag ⁺ ในอัตราส่วน 0.8%.....	104
47 การเจริญเติบโตของเชื้อจุลชีพเมื่อใส่ฟิล์มพอลิเมอร์ผสมที่มีปริมาณ Ag ⁺ 0.3% (P-NC2-Ag2) 0.82% (P-NC2-Ag32) และ 1.50% (P-NC2-Ag42) เทียบกับตัวควบคุมเชื้อจุลชีพที่ไม่ใส่ฟิล์มพอลิเมอร์ และใส่ฟิล์ม PLA กับเชื้อจุลชีพทั้ง 5 ชนิด คือ B. cereus (A) S. aureus (B) E. coli (C) S. typhimurium (D) และ P. fluorescens (E).....	108
48 ร้อยละการลดลงของเชื้อจุลชีพของฟิล์มพอลิเมอร์ผสมที่มีปริมาณ Ag ⁺ ที่แตกต่างกัน เทียบกับฟิล์ม PLA ทดสอบกับเชื้อจุลชีพทั้ง 5 ชนิด คือ B. cereus (A) S. aureus (B) E. coli (C) S. typhimurium (D) และ P. fluorescens (E).....	111

บทที่ 1

บทนำ

ความเป็นมาของปัญหา

ในปัจจุบันบรรจุภัณฑ์แอดทีฟ (active packaging) "ได้รับความสนใจในการพัฒนาจากนักวิจัยทั่วโลก บรรจุภัณฑ์แอดทีฟทำหน้าที่ป้องกันอาหาร และในขณะเดียวกันยังช่วยควบคุมสภาพบรรจุภัณฑ์ให้มีความเหมาะสมตามความต้องการของอาหาร เพื่อรักษาคุณภาพของอาหาร และยืดอายุการวางจำหน่าย (shelf life) สมบูติของบรรจุภัณฑ์แอดทีฟสามารถแยกย่อยได้หลากหลายชนิด เช่น บรรจุภัณฑ์แอดทีฟที่สามารถควบคุมการผ่านเข้าออกของก๊าซ (gas barrier) ออกซิเจน และ/หรือก๊าซคาร์บอนไดออกไซด์ได้ สามารถควบคุมการผ่านเข้าออกของความชื้น (vapor barrier) สามารถควบคุมการผ่านเข้าออกของกลิ่น (aroma barrier) ควบคุมอุณหภูมิได้ (thermal property) สามารถดูด หรือลดก๊าซเอทิลีน มีประสิทธิภาพในการต้านเชื้อจุลชีพ (antimicrobial property) หรือเป็นผลิตภัณฑ์ที่เป็นมิตรกับสิ่งแวดล้อม เป็นต้น [1] ซึ่งงานวิจัยนี้สนใจเตรียมพิสูจน์บรรจุภัณฑ์สำหรับอาหารแบบแอดทีฟที่มีสมบัติในการต้านเชื้อจุลชีพ และผลิตจากวัตถุดิบที่เป็นมิตรกับสิ่งแวดล้อม ซึ่งประกอบด้วยพอลิแลคติกแอซิด ยางธรรมชาติ และไคลโธานเดดแปร-ชีลเวอร์คอมเพล็กซ์

เชื้อจุลชีพทั้งหมดที่เรียกว่าแบคทีเรียแกรมลบ และเชื้อรา พบร่วมกับส่วนอย่างมากต่อการเจริญการณ์เสียของอาหาร ทั้งนี้เชื้อจุลชีพมีด้วยกันหลายชนิด ทั้งจุลชีพชนิดที่ไม่ก่อให้เกิดโรคซึ่งจะทำให้อาหารบูดเสื่อมหืน และจุลชีพชนิดที่ก่อให้เกิดโรค เช่น *B. cereus*, *E. coli*, *S. aureus* เชื้อรา และไวรัส เป็นต้น ซึ่งเชื้อจุลชีพกลุ่มนี้จะเป็นสาเหตุสำคัญของโรคอาหารเป็นพิษทำให้ผู้ที่บริโภคอาหารที่มีการปนเปื้อนเชื้อจุลชีพเหล่านี้จากการปอดห้องอาหารเจียน ห้องเสียอย่างรุนแรง และอาจมีอันตรายถึงชีวิตได้ ในกรณีที่ผู้บริโภคเป็นเด็กเล็ก ผู้สูงอายุ และผู้ที่มีสุขภาพร่างกายไม่แข็งแรง [2] ซึ่งพบว่าโรคอาหารเป็นพิษมีแนวโน้มเพิ่มขึ้นอย่างต่อเนื่องในทุก ๆ ปีทั่วโลกโดยศูนย์ควบคุม และป้องกันโรค (Center for disease control and prevention, CDC) ในประเทศไทยระบุว่าในแต่ละปีมีผู้ป่วยด้วยโรคอาหารเป็นพิษถึง 76 ล้านคน มีผู้ป่วย 325,000 คนต้องเข้ารับการรักษาในโรงพยาบาล และมีผู้ป่วยที่ตายด้วยโรคนี้ถึง 5,000 คน [3] ในขณะที่ประเทศไทยมีประชากรในช่วง 10 ปีที่ผ่านมา (พ.ศ. 2549-2558) พบร่วมกับจำนวนผู้ป่วย 100,000 คน มีผู้ป่วยที่เป็นโรคอาหารเป็นพิษประมาณ 188 คน และมีแนวโน้มที่เพิ่มขึ้น [4] ดังนั้น

การพัฒนาบรรจุภัณฑ์สำหรับที่สามารถด้านเชื้อจุลชีพได้ดังเป็นอีกหนึ่งวิธีที่สามารถช่วยลดการเกิด และป้องกันการปนเปื้อนของจุลชีพในอาหาร ซึ่งเป็นสาเหตุของโรคอาหารเป็นพิษได้

ดังนั้นการพัฒนาบรรจุภัณฑ์ที่สามารถลด หรือลดลงการเติบโตของเชื้อจุลชีพที่ฝังตัวอยู่ ในอาหาร จึงมีความสำคัญอย่างยิ่งสำหรับคุณภาพรวมอาหาร การเติมสารเติมแต่ง เช่น กรด อินทรีย์ สารสกัดธรรมชาติ (น้ำมันหอมระ夷) สารแอนตี้ไบโอดิทิก และสารฟ้าเขื่อราลง เป็นสมรร่วมกับบรรจุภัณฑ์ พบว่ามีประสิทธิภาพในการยับยั้งการเจริญเติบโตของเชื้อจุลชีพได้ แต่สารเติมแต่งไม่เลกเด็กเหล่านี้สามารถเกิดการหลุดออกจากบรรจุภัณฑ์ได้ เช่น เกิดการระเหยของกรด หรือการเคลื่อนตัว (migration) ของสารเติมแต่งออกจากบรรจุภัณฑ์ เมื่อบรรจุภัณฑ์ซึ่นหรือเปลี่ยนทำให้ประสิทธิภาพในการยับยั้งการเจริญเติบโตของเชื้อจุลชีพซึ่งบรรจุภัณฑ์ลดลง เมื่อเก็บบรรจุภัณฑ์นั้นไม่ใช่เป็นเวลานาน หรือเมื่อให้งานที่ต้องสัมผัสกับความชื้นเป็นเวลานาน (ไกล้ำจากความน้ำของผักผลไม้ หรือของเหลวที่ออกจากการเนื้อสัตว์)

สารเติมแต่งตัวนึงที่มีประสิทธิภาพสูงในการยับยั้งการเจริญเติบโตของเชื้อจุลชีพ คือ ซิลเวอร์ไอโอดีน (Ag^+) โดยซิลเวอร์ไอโอดีนเมื่อสัมผัสกับผนังเซลล์ของแบคทีเรีย หรือเชื้อราจะสามารถเกาะกับผนังเซลล์ และแทรกเข้าไปภายในเซลล์ของเชื้อจุลชีพ รบกวนการทำงานในระดับเซลล์ของเชื้อจุลชีพ ทำให้เชื้อจุลชีพไม่สามารถขยายเซลล์ หรือแบ่งเซลล์ได้ และตายในที่สุด

ในปัจจุบันซิลเวอร์ที่นิยมเติมลงในบรรจุภัณฑ์เป็นอนุภาคซิลเวอร์นาโน ซึ่งมีอนุภาคขนาดเล็ก มีพื้นผิวมาก ทำให้มีประสิทธิภาพสูงในการยับยั้งการเจริญเติบโตของเชื้อจุลชีพ อย่างไรก็ตาม การเติมอนุภาคซิลเวอร์นาโนลงในปัจจุบันร่วมกับบรรจุภัณฑ์โดยตรง อนุภาคซิลเวอร์นาโนดังกล่าวสามารถหลุดออกจากผลิตภัณฑ์ไปบนเบื้องกับสิ่งแวดล้อม และอาหารได้ แม้ว่าจะมีนักวิจัยบางส่วนกล่าวว่าซิลเวอร์เป็นภาระเฉียบ刃ที่มีอยู่ในธรรมชาติ และมีความปลอดภัยต่อร่างกายมนุษย์ แต่การปลดปล่อยอนุภาคซิลเวอร์จำนวนมากลงสู่สิ่งแวดล้อม หรืออาหาร ยังมีข้อถกเถียงกันถึงอันตรายที่สัตว์ หรือนมมนุษย์จะได้รับในระยะยาว ดังนั้นในหลายประเทศจึงเริ่มออกมาตรการป้องกันไม่ให้เติมอนุภาคซิลเวอร์นาโนที่สามารถหลุดออกจากบรรจุภัณฑ์ได้ รวมถึงหน่วยงานความปลอดภัยด้านอาหารแห่งสหภาพยุโรป (European food safety authority, EFSA) ได้ออกเกณฑ์ควบคุมปริมาณของซิลเวอร์ที่หลุดออกจากบรรจุภัณฑ์ต้องไม่เกิน 0.05 mg/kg ของอาหาร [5] ทำให้งานวิจัยใหม่ ๆ นั้นการพัฒนาทั้งในส่วนของพอลิเมอร์ หรืออนุภาคซิลเวอร์เพื่อลดการหลุดของซิลเวอร์จากบรรจุภัณฑ์ เช่น การปรับโครงสร้างของซิลเวอร์ให้ถูกห่อหุ้มด้วยสารเคมีที่มีหมุนฟังก์ชันที่สามารถเกิดอันตรกิริยา กับบรรจุภัณฑ์ได้ [6] เป็นต้น ดังนั้นเพื่อป้องกันการหลุดของซิลเวอร์ออกจาบรรจุภัณฑ์ งานวิจัยนี้จึงสนใจเทคนิคการคัลเลคชิลเวอร์ไอโอดีนกับสารผสม

ในบรรจุภัณฑ์ที่มีโครงสร้างเป็นพอลิแคนไอกอนิกที่สามารถดูดซับชีลเวอร์ไอโอดินได้ดี สงผลให้ลดการหลุดออกของชีลเวอร์ไอโอดินจากผลิตภัณฑ์ได้ ซึ่งพอลิแคนไอกอนิกดังกล่าว คือ พอลิ 2-อะไครามามิโด-2-เมทธิล-1-โพรเเพนซ์ลฟอนิกแอซิด (Poly(2-acrylamido-2-methyl-1-propane sulfonic acid), PAMPS) โดย PAMPS จะเป็นตัวจับไอโอดิน (adsorbent) ที่มีกำลังแรง และสามารถใช้ในสารละลายที่ค่า pH ห่างกว้างได้ [7] แต่การใช้ PAMPS โดยตรงจะใช้งานได้ยากเนื่องจาก PAMPS มีความสามารถในการละลายน้ำสูง ทำให้สามารถหลุดออกจากบรรจุภัณฑ์ได้ง่ายเมื่อได้รับความชื้น หรืออยู่ในสภาพเปลี่ยนงานวิจัยนี้จึงสนใจวิธี PAMPS ลงบนโครงสร้างของไคโตซาน ซึ่งเป็นพอลิเมอร์ชีวภาพด้วยที่สามารถทำการดัดแปลงโครงสร้างได้ง่าย ทั้งยังมีราคาถูก และเป็นมิตรกับสิ่งแวดล้อม จากนั้นนำไคโตซานกริฟ PAMPS มาฟอร์มคอมเพล็กซ์ร่วมกับชีลเวอร์ไอโอดินก่อนนำมาผสานร่วมกับพอลิแลคติกแอซิด (Poly(lactic acid), PLA) ซึ่งเป็นพอลิเมอร์ชนิดปolymer ได้ และได้รับการยอมรับว่าปลดภัยสำหรับการนำไปใช้เป็นบรรจุภัณฑ์สำหรับอาหาร [8] อย่างไรก็ตามหากผสานไคโตซานดัดแปลงชีลเวอร์คอมเพล็กซ์ร่วมกับ PLA โดยตรงอาจจะทำให้เกิดการแยกเฟสของไคโตซานกับ PLA ได้ง่าย สงผลให้ฟิล์มที่ได้มีสมบัติเชิงกลลดลง [9]

งานวิจัยนี้จึงสนใจพัฒนาเทคนิคการเตรียมสารเติมแต่งพอลิเมอร์ชีวภาพต้านเชื้อจุลชีพที่ได้จากการผสมร่วมกันของยางธรรมชาติ และไคโตซานดัดแปลง ซึ่งพอลิเมอร์ทั้ง 2 หากเตรียมถูกวิธีก็จะไม่เกิดการแยกเฟสของไคโตซานออกจากยางธรรมชาติ พอลิเมอร์ผสานที่เตรียมได้จะเป็นเนื้อดีเยิกนั้น และเมื่อนำไปผสานร่วมกับ PLA ยางธรรมชาติจะช่วยให้ไคโตซานดัดแปลงสามารถกระจายตัวในฟิล์ม PLA ได้ดีขึ้น ช่วยให้ฟิล์มที่เตรียมมีสมบัติเชิงกลที่ดี ทั้งยังมีประสิทธิภาพในการยับยั้งเชื้อจุลชีพ และไม่เกิดการหลุดออกจากบรรจุภัณฑ์เนื่องสารเติมแต่งไม่เกลูลเด็ก เนื่องจากทั้งยางธรรมชาติ และไคโตซานมีน้ำหนักไม่เท่ากันสูง จึงสามารถเกิดการเกี่ยวพันกัน (entanglement) กับ PLA ได้ดี

ดังนั้นงานวิจัยนี้จึงสนใจเตรียมพอลิเมอร์ผสานระหว่างพอลิแลคติกแอซิด ยางธรรมชาติไคโตซานดัดแปลงที่มีการกริฟฟ์ไครามามิโดเมทธิลฟอรเเพนซ์ลฟอนิกแอซิดลงบนโครงสร้างของไคโตซาน ซึ่งมีชื่อฟอนิกแอซิดจะเกิดการดูดซับชีลเวอร์ไอโอดิน เพื่อเพิ่มประสิทธิภาพการต้านเชื้อจุลชีพ และลดการหลุดของชีลเวอร์ออกจากบรรจุภัณฑ์ นอกจากนี้งานวิจัยนี้ยังสนใจทดสอบฤทธิ์ในการต้านเชื้อจุลชีพ 5 ชนิด คือ *E. coli*, *S. typhimurium*, *P. fluorescens*, *B. cereus*, และ *S. aureus*

จุดมุ่งหมายของการศึกษา

เพื่อศึกษาการเตรียม และประสิทธิภาพในการดำเนินเรื่องจุลทรรศน์ของบรรจุภัณฑ์จากวัสดุธรรมชาติที่เตรียมจากพอลิแลคติกแอซิด ยางธรรมชาติ ไคลโ陶นดัดแปลง-ชีลเวอร์คอมเพล็กซ์

ขอบเขตของงานวิจัย

1. สังเคราะห์ไคลโ陶นกร้าฟพอลิ 2-อะไครามิโด-2-เมทิล-1-โพรเพนชัลฟูโนนิกแอซิด วิเคราะห์โครงสร้างทางเคมีด้วยเทคนิค Attenuated total reflection infrared spectrometry (ATR-IR)
2. เตรียมพอลิเมอร์สมรรถนะห่วงโซ้ยางธรรมชาติ และไคลโ陶นดัดแปลง ตามเทคนิค และอัตราส่วนที่กำหนด วิเคราะห์โครงสร้างทางเคมีด้วยเทคนิค ATR-IR
3. ศึกษาการจับ (adsorption) ชีลเวอร์ไอออนความเข้มข้นต่าง ๆ กันของพอลิเมอร์ ผสม วิเคราะห์ประสิทธิภาพในการจับไอออนด้วยเทคนิค Flame atomic absorption spectrometry (FAAS)
4. เตรียมเม็ดพลาสติกคอมพาวน์ระหว่างพอลิแลคติกแอซิด และยางธรรมชาติผสมร่วมกับไคลโ陶นดัดแปลงที่มีปริมาณชีลเวอร์ไอออนต่าง ๆ กันในอัตราส่วนที่กำหนด
5. เตรียมฟิล์มพอลิเมอร์ผสมโดยการเป่าขึ้นรูป (blow film) และขึ้นงานพอลิเมอร์ผสมโดยเครื่องฉีด (Injection molding)
6. วิเคราะห์โครงสร้างทางเคมีของฟิล์มพอลิเมอร์ ด้วยเทคนิค ATR-IR และ Raman spectroscopy
7. การวิเคราะห์ความเข้มข้นของชีลเวอร์ ด้วยเครื่องอะตอมมิกแอบเชอร์พรับสเปกโทรฟิวโซเมตริก (Atomic absorption spectrometer, AAS)
8. ศึกษาสัญญาณวิทยาของพอลิเมอร์ ด้วยเทคนิค Optical microscopy (OM) และ Scanning electron microscopy (SEM)
9. ศึกษาสมบัติเชิงกลของฟิล์มพอลิเมอร์ เช่น สมบัติการทนต่อแรงดึง และสมบัติการทนต่อแรงกระแทก เป็นต้น
10. ศึกษาสมบัติทางความร้อนของฟิล์มพอลิเมอร์ ด้วยเทคนิค Scanning electron microscopy calorimetry (DSC)
11. ศึกษาความสามารถในการผ่านของแสงของฟิล์มพอลิเมอร์ ด้วยเทคนิค UV/Vis Spectrometry
12. ศึกษาสี และการส่องผ่านแสงสว่างของฟิล์มพอลิเมอร์ ด้วยเทคนิค Colorimetric

13. การทดสอบการซึมผ่านไอน้ำ (Water vapor transmission rate, WVTR)
14. การทดสอบอัตราการซึมผ่านของก๊าซออกซิเจน (Oxygen gas transmission rate, OTR)
15. ศึกษาการหลุดของชิลเวอร์ไอโอดินในตู้แข็ง เมื่อ雁น้ำที่ pH ต่าง ๆ เป็นเวลาต่าง ๆ กัน ด้วยเทคนิค Flame atomic absorption spectrometer, FAAS
16. ศึกษาสมบัติการต้านเชื้อของฟิล์มพอลิเมอร์สมที่เตรียมได้โดยศึกษาการยับยั้งการเจริญของแบคทีเรีย 5 สายพันธุ์ ได้แก่ *E. coli*, *S. typhimurium*, *P. fluorescens*, *B. cereus*, และ *S. aureus*
17. ศึกษาประสิทธิภาพของแผ่นผลิตภัณฑ์ในการใช้ห่อหุ้มกับเนื้อหมู



บทที่ 2

เอกสารและงานวิจัยที่เกี่ยวข้อง

บรรจุภัณฑ์แอดก็อกทีฟ

บรรจุภัณฑ์แอดก็อกทีฟมีการพัฒนาขึ้นโดยมีเป้าหมายเพื่อยืดอายุการเก็บรักษาอาหาร และเพิ่มระยะเวลาการวางจำหน่ายอาหาร เทคโนโลยีของบรรจุภัณฑ์แบบแอดก็อกทีฟมีการพัฒนาทั้งทางกายภาพ ทางเคมี และทางชีวภาพ เพื่อให้ได้ผลลัพธ์ตามที่ลูกค้าต้องการ บรรจุภัณฑ์แอดก็อกทีฟมีสมบัติที่หลากหลาย แต่สมบัติที่นิยมนำมาใช้กันทั่วไปคือสมบัติการควบคุมการผ่านเข้าออกของก๊าซออกซิเจน และสมบัติการยับยั้งเชื้อจุลชีพ ทั้งนี้ในส่วนของบรรจุภัณฑ์ที่มีสมบัติต้านเชื้อจุลชีพ ในปัจจุบันนิยมเติมสารต้านจุลชีพกลุ่มอนุภาคในลงไปสมร่วมกับพลาสติกที่สนใจ เช่น การผสมร่วมกันของพอลิเอทธิลีนกับอนุภาคซิลเวอร์นาโน และอนุภาคของซิงค์ออกไซด์นาโน เป็นต้น (ตาราง 1) โดยอนุภาคนาโนที่นิยมใช้มากที่สุด คือ อนุภาคซิลเวอร์นาโน เพราะเป็นโลหะหนักที่มีประสิทธิภาพสูงในการต้านจุลชีพหลากหลายชนิดทั้งแบคทีเรีย และเชื้อรา เป็นต้น [3]

ตาราง 1 บรรจุภัณฑ์ nano คอมพอยส์โดยใช้พลาสติกผสมร่วมกับอนุภาคซิลเวอร์นาโน [3]

Polymer matrix	Tested food	Tested microorganisms
LDPE + AgNPs, ZnO NPs	orange juice	yeast, molds, total aerobic bacteria
LDPE + AgNPs	barberry	total aerobic bacteria
LDPE + AgNPs, TiO ₂ , kaolin	strawberry	-
PVC + AgNPs	minced beef	total mesophilic bacteria, <i>E. coli</i> , <i>S. aureus</i>
EVOH + AgNPs	Chicken, pork, cheese, lettuce, apples, peels, eggshells	<i>Salmonella</i> spp., <i>L. monocytogenes</i>
Polyurethane + AgNPs	-	<i>E. coli</i> , <i>S. aureus</i>

ตาราง 1 (ต่อ)

Polymer matrix	Tested food	Tested microorganisms
Polyethylene + Ag NPs, TiO ₂ NPs	fresh apples, white slice bread, fresh carrots, soft cheese	Penicillium, Lactobacillus
Polystyrene + AgNPs	fresh apples, white slice bread, fresh carrots, atmosphere packaging milk powder, fresh orange juice	<i>S. aureus</i> , <i>B. subtilis</i> , <i>E. faecalis</i> , <i>P. aeruginosa</i> , <i>E. coli</i> , <i>S. typhimurium</i>

โรคอาหารเป็นพิษ

โรคอาหารเป็นพิษ (Foodborne disease) เกิดจากการรับประทานอาหาร หรือดื่มน้ำที่มีการปนเปื้อนเชื้อจุลชีพ (แบคทีเรีย ไวรัส หรือพยาธิ) ซึ่งมาจากอาหารที่ปูโรสุก ๆ ดิบ ๆ จากเนื้อสัตว์ ที่ปนเปื้อนเชื้อ เช่น เนื้อไก่ เนื้อหมู เนื้อวัว ไข่ รวมทั้งอาหารกระป๋อง อาหารทะเล และน้ำนมที่ยังไม่ได้ผ่านการฆ่าเชื้อโรค นอกจากนี้อาจพบในอาหารที่ทำทึ่งไว้ที่อุณหภูมิน้องเป็นเวลานาน ซึ่งหากรับประทานเข้าไปก็จะทำให้เป็นโรคอาหารเป็นพิษได้เช่นกัน

ในปี พ.ศ. 2555-2559 กรมควบคุมโรคแห่งประเทศไทย พ布ว่าโรคอาหารเป็นพิษมีอัตราป่วยอยู่ใน 10 อันดับแรกของโรคที่อยู่ในระบบเฝ้าระวังของสำนักงานสาธารณสุขไทย ผู้ป่วยอาหารเป็นพิษ มีแนวโน้มเพิ่มขึ้นเล็กน้อยอย่างต่อเนื่องในทุก ๆ ปี โดยมีอัตราป่วยด้วยโรคอาหารเป็นพิษต่อประชากรแสนคน ตั้งแต่ปี พ.ศ. 2555-2559 เท่ากับ 185.78, 207.51, 209.61, 199.06 และ 211.83 ตามลำดับ [10] โดยพบอัตราป่วยสูงสุดในกลุ่มผู้ป่วยอายุต่ำกว่า 5 ปี (491 ต่อประชากรแสนคน) รองลงมาคือกลุ่มอายุ 5-9 ปี (329 คน) และ 10-14 ปี (250 คน) ตามลำดับ ลักษณะการกระจายตามภาคในรอบ 5 ปี ที่ผ่านมา มีความเหมือนกันทุกปี คือภาคตะวันออกเฉียงเหนือมีอัตราป่วยสูงสุด รองลงมา ได้แก่ ภาคเหนือ ภาคกลาง และภาคใต้ [11]

อาการของโรคอาหารเป็นพิษ จะมีอาการคลื่นไส้ อาเจียน ท้องเสีย หรือปวดท้อง ซึ่งอาการส่วนใหญ่ไม่ร้ายแรง แต่หากเกิดอาการรุนแรงขึ้นอาจทำให้ร่างกายเสียน้ำ และเกลือแร่จนเป็นอันตรายถึงชีวิตได้ โดยอาหารเป็นพิษเป็นเรื่องใกล้ตัวที่สามารถเกิดขึ้นได้กับคนทุกเพศ ทุกวัย ตั้งแต่เด็กจนถึงผู้สูงอายุ โดยเฉพาะในประเทศไทยที่มีอาหารหลากหลาย เช่น กุ้งเผา ลาบ กุ้งแม่น้ำเผา เป็นต้น

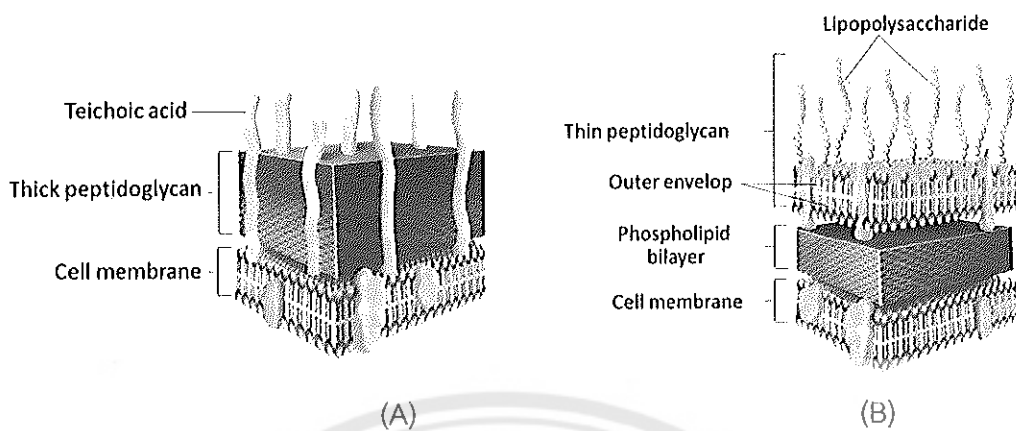
ได้เป็นอย่างดี ดังนั้นจึงควรระมัดระวังในการรับประทานอาหารอยู่เสมอ เพื่อป้องกันการเกิดภาวะนี้

จุลชีพที่ปนเปื้อนในอาหาร

จุลชีพที่ปนเปื้อนในอาหารเป็นปัญหาสำคัญที่ทำให้อาหารเกิดการเสื่อมคุณภาพเร็ว และยังทำให้อาหารมีอายุการเก็บรักษาสั้น และเป็นอันตราย ถ้าอาหารมีการปนเปื้อนของจุลชีพก่อโรคในอาหาร เช่น *E. coli*, *S. typhimurium*, *B. cereus* และ *S. aureus* เป็นต้น โดยจุลชีพเหล่านี้เป็นสาเหตุสำคัญของโรคอาหารเป็นพิษ [2] นอกจากนี้ยังมีจุลชีพที่ไม่ก่อให้เกิดโรค แต่จะทำให้อาหารเกิดการเน่าเสีย เช่น *C. botulinum* และ *P. fluorescens* เป็นต้น

อย่างไรก็ตามแบคทีเรีย สามารถแบ่งตามการย้อมติดสีแกรมได้ 2 ประเภท คือ แบคทีเรียแกรมบวก (Gram positive bacteria) ซึ่งจะย้อมติดสีน้ำเงิน และแบคทีเรียชนิดแกรมลบ (Gram negative bacteria) ซึ่งจะย้อมติดสีแดง โดยโครงสร้างผนังเซลล์ของแบคทีเรียแกรมบวก และแบคทีเรียแกรมลบ (ภาพ 1) เป็นส่วนที่สำคัญต่อประสิทธิภาพของสารยับยั้งเชื้อจุลชีพ ในการยับยั้งการเพิ่มขึ้น/การตายของเชื้อจุลชีพ โดยโครงสร้างผนังเซลล์แบ่งออกเป็น 2 ส่วนหลัก ๆ คือ ส่วนที่ 1 เซลล์เมมเบรนซึ่งอยู่ด้านนอกสุด และส่วนที่ 2 ผนังเซลล์ของแบคทีเรียซึ่งเป็นโครงสร้างที่แข็งแรง ซึ่งแบคทีเรียแกรมบวก และแบคทีเรียแกรมลบมีผนังเซลล์ที่แตกต่างกัน คือ แบคทีเรียแกรมบวกจะมีชั้นแพปทิโดไกลแคนเพียงอย่างเดียว มีความหนาประมาณ 15-80 นาโนเมตร และมีส่วนของกรดไตรไฮอิก (Trihydroic acid) และกรดไทรูโรนิก (Teich uronic acid) แทรกอยู่ในส่วนของชั้นแพปทิโดไกลแคน ในขณะที่แบคทีเรียแกรมลบมีโครงสร้างผนังเซลล์ที่ประกอบด้วยชั้นแพปทิโดไกลแคนอยู่ชั้นในสุด มีความหนาประมาณ 20 nm จากนั้นจึงเป็นชั้นของไลโพโพลิแซกคาไรด์ และไลโพโปรตีน ซึ่งชั้นของแพปทิโดไกลแคนในแบคทีเรียแกรมลบบางกว่าของแกรมบวกมาก และมีพันธะเพปไทด์ที่เข้มระหว่างสีนแพปทิโดไกลแคนน้อยกว่า และไม่มีพันธะของ Teichoic acid ที่เพิ่มความแข็งแรงให้กับผนังเซลล์ ดังนั้นผนังเซลล์ของพวากแกรมลบจึงแข็งแรงน้อยกว่าแกรมบวก

[12]



ภาพ 1 โครงสร้างของแบคทีเรีย (A) แกรมบวก และ (B) แกรมลบ [13]

1. แบคทีเรียแกรมลบ

1.1 *E. coli* หรือ *Escherichia coli* เป็นแบคทีเรียรูปแท่ง มีความยาวประมาณ $2 \mu\text{m}$ รอบเซลล์มีโครงสร้างคล้ายเด่นขึ้น 2 แบบ ได้แก่ แฟลเจลลา (flagella) ซึ่งเป็นสันยَاใช้เคลื่อนที่ และพริมเบีย (frimbia) ซึ่งเป็นเส้นสั้นๆ ให้ยึดติดกับผนังลำไส้ [14] *E. coli* เป็นแบคทีเรียชนิดแกรมลบ ดำรงชีวิตอยู่ได้ทั้งในสภาวะที่มีออกซิเจน และไม่มีออกซิเจน อุณหภูมิที่เหมาะสมต่อการเจริญคือ 37°C สร้างสปอร์ไม่ได้ โดยปกติ *E. coli* เป็นแบคทีเรียที่อยู่ในลำไส้ของมนุษย์ และสัตว์เลี้ยดอุ้น *E. coli* ไม่เป็นอันตรายต่อร่างกาย ยังสามารถสร้างวิตามิน K และบ่อองกันไม่ให้แบคทีเรียก่อโรคชนิดอื่นเจริญอยู่ภายใต้เงื่อนไขที่ดี *E. coli* จึงถูกนำมาใช้เป็นตัวชี้วัดคุณภาพแหล่งน้ำที่มีการปนเปื้อนอุจจาระ แต่อย่างไรก็ตามมี *E. coli* บางสายพันธุ์ที่ก่อโรคในมนุษย์ได้ โดยสามารถถ่ายโอนยีน และพลาสมิด กับ *E. coli* ด้วยกันเอง หรือกับแบคทีเรียชนิดอื่น การถ่ายโอนนี้อาจเกิดจากการผสานพันธุ์แบบจับคู่ (conjugation) ซึ่งต้องใช้โครงสร้างพิเศษในการแลกเปลี่ยน DNA หรืออาจเกิดจากการถ่ายโอนยีน (transduction) ซึ่งเป็นการถ่ายทอด DNA จากแบคทีเรียของเซลล์หนึ่งสู่อีกเซลล์หนึ่งโดยมีไวรัสเป็นพาหะ การได้รับยีนหรือพลาสมิดจากแบคทีเรียก่อโรคชนิดอื่น ทำให้ *E. coli* กลายพันธุ์เป็นสายพันธุ์ที่ก่อโรคได้ ซึ่ง *E. coli* O104:H4 เป็นสายพันธุ์ที่ก่อโรค สามารถผลิตสารพิษที่เรียกว่า ชิกาท็อกซิน (Shiga toxin) ทำให้เกิดอาการท้องร่วงรุนแรง อุจจาระมีเลือดปอดท้อง เป็นตะคริวที่ห้องชัก หรืออาจมีไข้ร่วมด้วย และอาจเกิดบีบ(".");

1.2 *S. typhimurium* หรือ *Salmonella typhimurium* เป็นแบคทีเรียแกรมลบ ที่มีลักษณะเป็นรูปท่อน ขนาด $0.7-1.5 \times 2.5 \mu\text{m}$ เคลื่อนที่โดยใช้แฟลเจลลารอบเซลล์ เจริญได้ทั้งในสภาวะที่มีอากาศ และไม่มีอากาศ แต่ในสภาวะที่มีอากาศเจริญได้ดีกว่า และไม่สร้างสปอร์

อุณหภูมิที่เหมาะสมสำหรับการเจริญเติบโตของเชลล์ประมาณ 37°C ซึ่ง *S. typhimurium* ไม่ทนต่อความร้อน โดยถูกทำลายที่อุณหภูมิ 55°C นาน 1 ชั่วโมง หรือที่อุณหภูมิ 60°C นาน 15 - 20 นาที อย่างไรก็ดีที่อุณหภูมิต่ำกว่า 5°C จะไม่ถูกทำลาย แต่จะไม่มีการเจริญเติบโต [16] *S. typhimurium* เป็นเชื้อก่อโรคในระบบทางเดินอาหารที่สำคัญ เนื่องจากเป็นเชื้อที่มีการปนเปื้อนในตัวอย่างอาหาร โดยเฉพาะอาหารที่มาจากการเกษตร เช่น เนื้อหมู เนื้อไก่ และเนื้อวัว โดยเชื้อนี้มักพบในระบบทางเดินอาหารของสัตว์ โดยสัตว์ที่ติดเชื้อมักไม่แสดงอาการรุนแรงให้เห็นอย่างชัดเจน แต่จะเป็นพาหะของโรคในการแพร่กระจายของเชื้อไปยังสัตว์ตัวอื่น ๆ รวมถึงมนุษย์ด้วยเช่นกัน นอกจากนี้สัตว์เลี้ยงบางชนิดโดยเฉพาะในกลุ่มสัตว์เลี้ยงคลาน เช่น งู เต่า หรือ กิ้งก่า สามารถทำให้เกิดการแพร่เชื้อได้ อาการของการติดเชื้อ *S. typhimurium* จะแสดงอาการทางระบบทางเดินอาหาร เช่น ท้องร่วง ปวดท้อง คลื่นไส้ อาเจียน และอาเจียนรุนแรงถึงเสียชีวิตได้ หากเกิดภาวะโลหิตเป็นพิษ [17]

1.3 *P. fluorescens* หรือ *Pseudomonas fluorescens* เป็นแบคทีเรียแกรมลบ มีลักษณะเป็นท่อน ไม่สร้างสปอร์ เจริญได้ในสภาพที่มีออกซิเจนเท่านั้น *P. fluorescens* เป็นแบคทีเรียที่ไม่ก่อให้เกิดโรคในมนุษย์ แต่จะเกิดขึ้นบนอาหาร เนื่องจากเป็นแบคทีเรียที่ปะปอด ปรตีนได้จึงเป็นสาเหตุการเน่าเสียของอาหารที่มีปรตีนเป็นส่วนประกอบ เช่น เนื้อสัตว์ น้ำนม ไข่ และอาหารทะเล เป็นต้น ส่วนใหญ่จะเกิดที่ผิวของอาหารที่สัมผัสกับอากาศ ซึ่งแบคทีเรียนี้เจริญได้ดีที่อุณหภูมิต่ำ ทำให้อาหารที่เก็บรักษาด้วยการแช่เย็นเน่าเสียได้ นอกจากนี้สามารถสร้างรงค์วัตถุ มีสีต่าง ๆ ทำให้อาหารเปลี่ยนสี หรือเรืองแสง เช่น ไฟโอลิไซดิน (pyocyanin) มีสีฟ้า ไฟโอลูบิน (pyorubin) มีสีแดง ไฟโอมelanin (pyomelanin) มีสีน้ำตาล ไฟโควอร์ดิน (pyoverdins) มีสีเหลืองเรืองแสงได้ภายใต้ด้วยแสง UV [18] *P. fluorescens* มีบทบาทสำคัญมากเกี่ยวกับการเน่าเสียของอาหาร เช่น การเน่าเสียของผัก และผลไม้ โดยจะมีการเกิดจุดสีน้ำตาล (brown spot) ขึ้นบนผัก และผลไม้ ในขณะที่การเน่าเสียของเนื้อหมู จะมีเมือกเกิดขึ้น ส่วนการเน่าเสียของไข่ ทำให้ไข่เน่าเหม็น และเป็นจุดสี หรือเรืองแสงที่ไขขาว หรือไข่แดง เช่น สีเขียว (green rot) สีชมพู (pink rot) สีดำ (black rot) หรือลิมมิส (colorless rot) เป็นต้น [19]

2. แบคทีเรียแกรมบวก

2.1 *B. cereus* หรือ *Bacillus cereus* เป็นแบคทีเรียแกรมบวก มีลักษณะรูปร่างเป็นท่อนขนาด $0.3\text{-}2.2 \times 1.2\text{-}7.0 \mu\text{m}$ สร้างสปอร์ได้ เจริญได้ดีที่อุณหภูมิระหว่าง $30\text{-}37^{\circ}\text{C}$ ไม่เจริญที่อุณหภูมิต่ำกว่า 4°C และสูงกว่า 55°C และสามารถเติบโตได้ตั้งแต่สภาพที่มีออกซิเจน แต่จะขับสารพิษออกมากขณะปนเปื้อนอยู่ในอาหาร เมื่ออุ่นภายใต้สภาพที่มีออกซิเจนน้อย [20] *B. cereus* สามารถทนต่อสภาวะแวดล้อมต่าง ๆ ได้ดี จึงพบได้ทั่วไปในธรรมชาติตาม din แหล่งน้ำ

หรือผู้ผลิตของ ดังนั้นการปนเปื้อน *B. cereus* ในอาหารจึงเกิดขึ้นได้ง่าย *B. cereus* เป็นแบคทีเรียที่ทำให้อาหารเป็นพิษ และสามารถเข้าสู่ร่างกายได้ โดยรับประทานอาหารที่มีเชื้อนี้ปนเปื้อน โดยพิษของเชื้อ *B. cereus* สามารถสร้าง enterotoxin ได้ 2 ชนิด ชนิดแรก แบคทีเรียนี้จะสร้างขึ้นในอาหารก่อนที่จะบริโภคเข้าไป สารพิษนี้ทนต่อความร้อน (heat stable) และทนต่อความเป็นกรดในกระเพาะอาหารได้ดี เป็นสาเหตุให้เกิดอาการอาเจียน พบได้ในอาหารประเภทข้าว แบ่ง และเนยแข็ง เป็นต้น ส่วนอีกชนิดหนึ่งมีสารพิษเอนท์โรโทกซิน (enterotoxin) ที่ไม่ทนต่อความร้อน ใช้เวลาฟักท์ว่าประมาณ 8-16 ชั่วโมง ทำให้เกิดอาการปวดท้อง เป็นตะคริวที่ห่อง และถ่ายอุจจาระเหลว [21] พบในอาหารประเภท ผัก ผลัด อาหารที่มีเนื้อสัตว์เป็นส่วนประกอบ ซอส และซุป เป็นต้น

2.2 *S. aureus* หรือ *Staphylococcus aureus* เป็นแบคทีเรียแกรมบวก มีลักษณะเป็นทรงกลมอยู่รวมกันเป็นพวงคล้ายพวงองุ่น “ไม่สร้างสปอร์” ไม่เคลื่อนไหว เจริญได้ในที่มีอากาศและไม่มีอากาศ เติบโตได้ในช่วงอุณหภูมิ 6-46 °C โดยมีช่วงอุณหภูมิที่เหมาะสม คือ 30-37 °C สร้างสารพิษได้ที่อุณหภูมิสูงกว่า 10 °C อาหารที่มีการปนเปื้อนด้วยเชื้อแบคทีเรีย *S. aureus* มีลักษณะ ชนิด ได้แก่ อาหารพวานเนื้อสัตว์ ผลิตภัณฑ์จากเนื้อสัตว์ (แฮม ออทดอก) ผลัด อาหารพอกน มเนย คัสดาร์ด ขันมสอดไส้ชนิดต่าง ๆ ซึ่งคน และสัตว์จัดเป็นแหล่งของเชื้อที่ปนเปื้อนมาสู่อาหาร โดยเชื้ออาศัยอยู่ในรากนมและพבתตามผิวนัง แผ่น ฝีต่าง ๆ ถ้ามีการพบ *S. aureus* ในอาหารประเภท ผ่านการแปรรูป จะเป็นตัวบ่งชี้ถึงสุขลักษณะของอาหารว่ามีการปนเปื้อนขึ้นภายหลังโดยอาจมาจาก ตัวผู้ปนเปื้อนอาหาร หรือระหว่างการเก็บ การขนส่งในอาหารจะป้องที่มีความเป็นกรดต่ำ *S. aureus* สร้างสารพิษ (toxin) ชนิดเอนท์โรโทกซิน (enterotoxin) สารพิษที่สร้างมีสมบัติพิเศษ คือ ทนความร้อน สารพิษของ *S. aureus* สามารถละลายได้ในน้ำ และสารละลายเกลือ ทนต่อความร้อนได้สูง สามารถทนต่อความร้อน 100 °C ได้นานมากกว่า 30 นาที การใช้ความร้อนที่ อุณหภูมิ 120 °C 10 นาที สามารถลดความรุนแรงของเชื้อได้แต่ไม่สามารถทำลายได้หมด อาหารของโกรเม็ตได้รับเชื้อเข้าไป คือมีน้ำ คุณไส้ อาเจียน เป็นตะคริวที่ห่อง ห้องเดิน และมีไข้ เป็นต้น [22, 23]

จากข้อมูลข้างต้นจะพบว่าเชื้อแบคทีเรียที่ก่อให้เกิดโรค มีการปนเปื้อนได้จากทุกที่ไม่ว่าจะเป็นจากตัววัตถุดินเอง แหล่งที่ผลิต จนสามารถพบรได้ในชีวิตประจำวันผ่านการรับประทานอาหาร การบดบังกันมีให้หลายวิธี ซึ่งวิธีที่ผู้ผลิตสามารถบดบังกันเชื้อแบคทีเรียได้ก่อนถึงมือผู้บริโภค คือ การเลือกบรรจุภัณฑ์ใส่อาหารที่สามารถต้านเชื้อจุลชีพได้ ดังนั้นงานวิจัยนี้สนใจเตรียมบรรจุภัณฑ์ที่มีสมบัติด้านต้านเชื้อจุลชีพ ที่มีองค์ประกอบของส่วนของพอลิเมอร์หลักที่สามารถย่อยสลายได้ ซึ่งได้แก่ พอลิแลคติกแอซิด ส่วนที่ใช้ในการเพิ่มความยืดหยุ่นให้กับ PLA และช่วยในการกระจาย

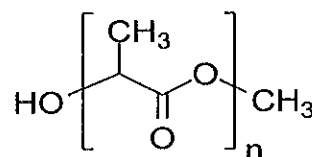
ตัวของไคโตซาน ได้แก่ ย่างธรรมชาติ และส่วนที่ใช้ในการฟอร์มคอมเพล็กซ์ร่วมกับชิลเกอร์รีโอกอน เพื่อป้องกันการหลุดออกเป็นจำนวนมากของชิลเกอร์รีโอกอนในบรรจุภัณฑ์อาหาร และสิ่งแวดล้อม ซึ่งได้แก่ ไคโตซานกรีฟโคพอดิเมอร์

พอลิเมอร์

1. พอลิแลคติกแอซิด (Poly (lactic acid), PLA)

พอลิแลคติกแอซิด (Poly (lactic acid), PLA) (ภาพ 2) เป็นเทอร์โมพลาสติก ประเภท พอลิเอสเทอร์ที่ผลิตมาจากวัตถุดิบทางการเกษตร เช่น ข้าวโพด มันสำปะหลัง และอ้อย เป็นต้น ซึ่งเป็นวัตถุดินที่เป็นมิตรกับสิ่งแวดล้อม สามารถผลิตทดแทนน้ำมันดีน้ำมันธรรมชาติ (renewable resource) การสังเคราะห์ PLA อาจกระทำโดยสังเคราะห์ผ่านปฏิกิริยาการควบแน่นแบบอะซิโอลิฟีปิก (Azeotropic dehydrative condensation) ปฏิกิริยาการควบแน่นโดยตรง (direct condensation polymerization) และ/หรือการสังเคราะห์ผ่านการเปิดวงของแคลคไทร์ (ring opening polymerization) ซึ่ง PLA น้ำหนักโมเลกุลสูง (มากกว่า 100,000 ดาลตัน) ในเชิงพาณิชย์ นิยมสังเคราะห์ผ่านปฏิกิริยาการเปิดวงของแคลคไทร์ [24]

พอลิแลคติกแอซิด มีสมบัติทนต่อแรงดึงสูง ใส สามารถย่อยสลายได้ สามารถขึ้นรูปได้หลายเทคนิค เช่น เทคนิคการหล่อฟิล์ม (casting technique) การหลอมอัดรีด (extrusion) และ การเป่าฟิล์ม (blow film) เป็นต้น [25] มีความเข้ากันได้กับอาหาร ทั้งอาหารที่มีสมบัติเป็นกรด หรือ อาหารประเภทไขมัน [8, 9] ทำให้มีการนำ PLA มาประยุกต์ใช้งานในหลายประเภท ได้แก่ ทางการแพทย์ ทางการเกษตร สิ่งทอ และบรรจุภัณฑ์สำหรับอาหาร เป็นต้น แต่การใช้งานจริงของ PLA ยังมีข้อจำกัด เนื่องจาก PLA มีการยึดตัวต่ำ ไม่มีเดhydron ทำให้มีปัญหาในการนำไปใช้งานโดยเฉพาะงานที่ต้องการการขยายตัว หรือการรับแรง เช่น การใช้งานเป็นถุงปลูก หรือถุงบรรจุภัณฑ์ การผสม PLA ร่วมกับสารเพิ่มความเนียนยิ่ง [26-29] เป็นแนวทางหนึ่งที่นักวิจัยสนใจในการเพิ่ม สมบัติด้านความยืดหยุ่นให้กับ PLA

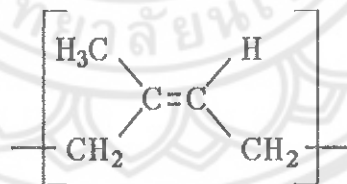


ภาพ 2 โครงสร้างทางเคมีของพอลิแลคติกแอซิด

2. ยางธรรมชาติ (Natural rubber, NR)

ยางธรรมชาติ (NR) (ภาพ 3) เป็นหนึ่งในพอลิเมอร์สำคัญที่ผลิตจากทรัพยากรธรรมชาติของประเทศไทย ยางธรรมชาติที่นิยมใช้งานในปัจจุบันเป็นต้นยางพาราสกุล *Hevea Brasiliensis* มีลักษณะเป็นขดของเหลวสีขาวคล้ายน้ำนม มีสมบัติเป็นคอลลอยด์ มีตัวกลางเป็นน้ำ หรือที่เรียกว่า น้ำยาง ในน้ำยางประกอบด้วยน้ำ โปรตีน ไขมัน พอสโพลิพิด คาร์บอไฮเดรต สารประกอบอนทรีย์ สารประกอบอนินทรีย์ และ NR มีสมบัติเชิงกลที่ดี (หลังการวัดค่าไนซ์) มีความยืดหยุ่นสูง มีค่าความหนาแน่นต่อแรงดึง และความหนาแน่นของการฉีกขาดสูงเมื่อเทียบกับพลาสติก และยางสังเคราะห์บางชนิด เนื่องจาก NR มีน้ำหนักโมเลกุลที่สูงกว่ายางสังเคราะห์

ยางธรรมชาติมีการใช้งานมากกว่า 50% ในอุตสาหกรรมยานยนต์ 17.8% ในอุตสาหกรรมการจุ่ม เช่น อุตสาหกรรมการถุงมือยาง อุตสาหกรรมถุงยางอนามัย และอุตสาหกรรมอื่น ๆ อีก 32.2% เช่น อุตสาหกรรมฟองน้ำที่เกี่ยวข้องกับยางพารา เป็นต้น [30] โดยพบว่าการผลิตผลิตภัณฑ์จาก NR ของประเทศไทยในปัจจุบันอยู่ที่ 12.5% สามารถนำรายได้เข้าประเทศได้เทียบเท่ากับการขาย NR ในรูปของยางดิบ หรือการแปรรูปขึ้นต้น เช่น การขายในรูปของน้ำยางข้น รึ่งคิดเป็น 87.5% ของ NR ทั้งหมดที่ผลิตได้ในประเทศไทย ดังนั้นการเพิ่มแนวทางการใช้ประโยชน์ของ NR เช่นการนำมาผสานร่วมกับพลาสติกเพื่อช่วยในการเพิ่มความเหนียว หรือผลิตเป็นผลิตภัณฑ์เทอร์โมพลาสติกอีเลสติเมอร์ จึงเป็นแนวทางหนึ่งในการเพิ่มมูลค่าให้กับยางดิบของประเทศไทย [31, 32]

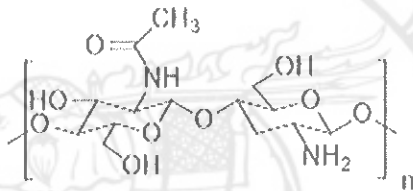


ภาพ 3 โครงสร้างทางเคมีของยางธรรมชาติ

3. ไคโตซาน (Chitosan, CH)

ไคโตซานจัดเป็นพอลิเมอร์ที่มีมากเป็นอันดับสองในธรรมชาติรองจากเซลลูโลส จัดอยู่ในกลุ่มคาร์บอไฮเดรต ไคโตซานได้จากการดีอะซิทิวเลชัน (deacetylation) หรือการกำจัดหมู่อะซิทิลของ N-acetyl-D-glucosamine บางส่วนในโครงสร้างของไคติน เปลี่ยนเป็น glucosamine ซึ่งเป็นอนุพันธ์ของน้ำตาลกลูโคสที่มีหมู่เอมีนหรือหมู่อะมิโน (NH_2) ติดอยู่ โดยการทำปฏิกิริยา

ดีอะซิเตอเลชัน ของไคโตนจะมากกว่า 60% ขึ้นไป เมื่อค่าร้อยละดีอะซิเตอเลชัน (%Deacetylation, %DD) เกินกว่า 60% การกระจายตัวของไคโตซานในกรดอินทรีย์จะเพิ่มขึ้น หมู่อะมิโนของ glucosamine สามารถรับโปรตอนจากสารละลายได้เพิ่มขึ้น ซึ่งช่วยให้การละลายดีขึ้น เพราะมีสมบัติของประจุบวกเพิ่มขึ้น (ภาพ 4) ทำให้ไคโตซานมีสมบัติที่โดดเด่น มีประสิทธิภาพสูงในทางชีวภาพ และย่อยสลายได้ตามธรรมชาติ นอกจากนี้ไคโตซานยังจัดว่าเป็นสารที่มีความปลอดภัยในการนำมาใช้กับมนุษย์ สัตว์ และสิ่งแวดล้อม ในบางงานวิจัยกล่าวว่าไคโตซานมีประสิทธิภาพในการท้านเชื้ออุลซีพ จึงทำให้มีการใช้งานทั้งทางการแพทย์ เช่น วัสดุรักษาบาดแผล (wound dressing) วัสดุโครงสร้าง (scaffold) อุปกรณ์ทางการแพทย์ และมีการใช้งานในบรรจุภัณฑ์ใสอาหารต่าง ๆ เพื่อให้มาเข้ากับอุลซีพที่ป่นเป็นเนื้อนในอาหารได้ [33]



ภาพ 4 โครงสร้างทางเคมีของไคโตซาน

กลไกการต้านเชื้ออุลซีพของไคโตซาน [34]

เมื่อค่า pH ต่ำกว่า pKa ของไคโตซาน ($\text{pH} < 6.3$) หมู่อะมิโนของไคโตซันจะเกิดการรับโปรตอน หรือโปรตอเนชัน (Protonation) จาก $-\text{NH}_2$ เป็น $-\text{NH}_3^+$ ไคโตซานจะสามารถละลายน้ำได้มากขึ้น ทั้งยังทำให้ไคโตซานมีฤทธิ์ยับยั้งเชื้ออุลซีพได้ โดยพบว่าไคโตซานเมื่อเกิดการโปรตอเนต กลไยเป็นพอลิแคตไอโอนิกไคโตซาน จะมีฤทธิ์ในการท้านการเจริญเติบโตของอุลซีพ โดยประจุบวกของไคโตซานจะเกิดอันตรกิริยา กับผนังเซลล์ของเชื้ออุลซีพที่มีสภาพเป็นลบ ประสิทธิภาพในการท้านเชื้อขึ้นอยู่กับความหนาแน่นของประจุบวกในไคโตซาน โดยเมื่อมีประจุบวกมากจะทำให้ยับยั้งเชื้อได้ดี โดยกลไกการยับยั้งเชื้ออุลซีพของไคโตซานมีด้วยกัน 5 แบบหลัก คือ

1. การเกิดแรงไฟฟ้าระหว่างพอลิแคตไอโอนิกไคโตซานกับผนังเซลล์ของอุลซีพ

การยับยั้งเชื้ออุลซีพของไคโตซานวิธีนี้เกิดจากแรงไฟฟ้าระหว่างหมู่อะมิโนของไคโตซานที่เกิดโปรตอเนทกิริยาเป็น $-\text{NH}_3^+$ ทำให้สายโซ่มีประจุบวกไปเกิดอันตรกิริยากับผนังเซลล์อุลซีพ ซึ่งผนังเซลล์อุลซีพประกอบด้วยไลโพพอลิแซคคาไรด์ (lipopolysaccharide) และโปรตีน (protein) ซึ่งมีชาร์จ โดยแรงไฟฟ้าดังกล่าวทำให้เกิดความเสียหายต่อผนังเซลล์ สงผลให้สมบัติ

การเลือกผ่านเข้าออกของสารอาหาร แร่ธาตุต่าง ๆ ถูกควบคุม ทำให้แรงดันออกซิโนติกภายในเซลล์ไม่สมดุล และแรงไฟฟ้าดังกล่าวยังก่อให้เกิดความเสียหายต่อชั้นเพปทิโดไกลแคน (peptidoglycan) ในผนังเซลล์ของจุลชีพ ทำให้เกิดการร้าวในเหล็กของสารอิเล็กโทรไลต์ภายในเซลล์ เช่น โพแทสเซียมไอโอน (Potassium ion, K⁺) รวมถึงองค์ประกอบอื่น ๆ เช่น โปรตีน กซูโคส และกรด尼克ลิอิก เป็นต้น ด้วยกลไกดังกล่าว จึงทำให้เซลล์菊糖ทรีฟูไบยบยัง และไม่สามารถเจริญได้

2. โคโตชาณกaly เป็นฟิล์มบางปกคุณผนังเซลล์จุลชีพ

กลไกการยับยั้งแบคทีเรียเกิดจากสายโซ่ร่างแห่งโคโตชาณกaly เป็นฟิล์มบางปกคุณผนังเซลล์จุลชีพ เนื่องจากแรงไฟฟ้า ซึ่งชั้นฟิล์มดังกล่าวจะขัดขวางการส่งผ่านสารอาหาร ที่จำเป็นต่อการเจริญเติบโตของเซลล์ และทำให้สมบัติการเลือกผ่านสารเข้าออกเปลี่ยนไป จนในที่สุดเซลล์ตาย โดยพบว่าหากความเข้มข้นของโคโตชาณต่ำเกินไป ($\leq 0.2 \text{ mg/mL}$) จะไม่สามารถเกิดเป็นโครงข่ายร่างแห่มีสภาพประจุบวก และเข้ากับผนังเซลล์ของจุลชีพที่มีชาร์จได้อย่างมีประสิทธิภาพเมื่อเพิ่มความเข้มข้นของโคโตชาณให้สูงขึ้น พบว่าสามารถต้านเชื้อได้ดีขึ้น

3. การแทรกซึมของโคโตชาณโอลิโกเมอร์เข้าไปยังภายในเซลล์จุลชีพ

กลไกการยับยั้งจุลชีพวิธีนี้เกิดจากโคโตชาณที่มีลักษณะเป็นสายโซ่สั้นๆ หรือโอลิโกเมอร์เคลื่อนที่ผ่านช่องว่างของผนังเซลล์ ซึ่งประกอบด้วยชั้นเพปทิโดไกลแคน และเข้าไปยังภายในเซลล์ ทำให้เกิดความผิดปกติของเอนไซม์ภายในเซลล์ และแทรกซึมเข้าไปในนิวเคลียส จากนั้นจะไปรวมตัวกับดีเอ็นเอ (DNA) ยับยั้งการสังเคราะห์เอ็มอาร์เอ็นเอ (mRNA) ยับยั้งการแปลรหัสอาร์เอ็นเอ (RNA) กระบวนการกระบวนการสร้างโปรตีน และเอนไซม์ของจุลชีพ นอกจากนี้โคโตชาณโอลิโกเมอร์ยังสามารถกระจายตัวแทรกซึมไปทั่วทั้งเซลล์ ครอบคลุมชั้นสารอาหารของเซลล์ที่มีสภาพชั้นลับ แล้วทำให้เกิดการตกตะกอน ทำให้จุลชีพไม่สามารถนำสารอาหารไปใช้ได้ สำหรับโคโตชาณที่มีสายโซ่ยาว หรือมีโมเลกุลที่ขนาดใหญ่ จะมีกลไกการยับยั้งเชือจุลชีพที่แตกต่าง โดยจะเกิดอันตรายร้ายกับผนังเซลล์ ผลให้เกิดความผิดปกติของโครงสร้าง และการทำหน้าที่ควบคุมการทำงานออกของสารผ่านผนังเซลล์

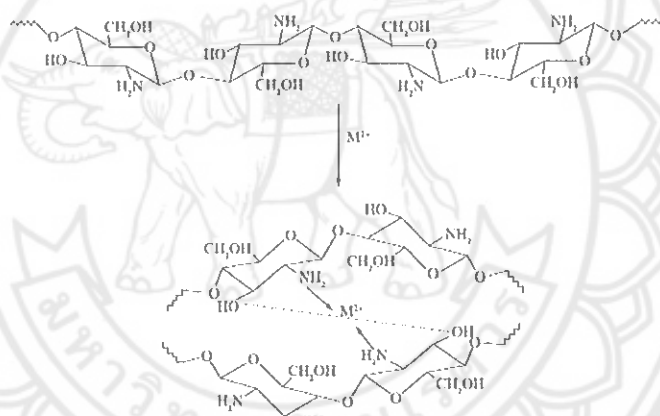
4. กลไกการยับยั้งแบคทีเรียแกรมบวก และแกรมลบของโคโตชาณ

โคโตชาณมีฤทธิ์ในการยับยั้งแบคทีเรียแกรมบวก และแบคทีเรียแกรมลบของโคโตชาณผ่านกลไกที่แตกต่างกัน โดยพบว่าแบคทีเรียแกรมบวก เช่น *S. aureus* และแบคทีเรียแกรมลบ เช่น *E. coli* ตอบสนองต่อการเปลี่ยนแปลงมวลโมเลกุลของโคโตชาณที่แตกต่างกัน โดยมวลโมเลกุลของโคโตชาณที่เพิ่มขึ้นพบว่ามีฤทธิ์ในการยับยั้งแบคทีเรียแกรมบวกได้ดีขึ้น ในขณะที่ฤทธิ์ในการยับยั้งแบคทีเรียแกรมลบกลับลดลง จากการทดลองพบว่าความเข้มข้น 1 %w/v

ไคโตซานมอลไม่เกลุล 305 kDa สามารถยับยั้งการเจริญของทั้ง *S. aureus* และ *E. coli* ได้ แต่หากมอลไม่เกลุลน้อยกว่า 305 kDa กลับพบว่าสามารถยับยั้งการเจริญของ *E. coli* ได้ดีกว่าสมบูรณ์ ทั้งนี้หากไคโตซานมีมวลไม่เกลุลน้อย ๆ จะสามารถแทรกซึม และกระจายตัวไปทั่วทั้งแบคทีเรียได้ดีขึ้น จนทำให้จุลชีพตายในที่สุด

5. การคีเลตระหว่างโมเลกุลของไคโตซันกับไอโอดอนของโลหะ

กลไกการยับยั้งเชื้อจุลชีพวิธีนี้เกิดจากโมเลกุลของไคโตซานเกิดการคีเลตกับไอโอดอนของโลหะ เช่น Ni^{2+} , Zn^{2+} , Co^{2+} , Mg^{2+} และ Cu^{2+} ทั้งในสภาพที่เป็นกรด และในสภาพที่เป็นกลาง ซึ่งไอโอดอนของโลหะบางชนิดเป็นสารอาหารที่จำเป็นต่อการเจริญเติบโตของจุลชีพ ฉะนั้นสารคีเลตของไคโตซานกับไอโอดอนของโลหะยังสามารถจับกับผนังเซลล์ และทำลายกลไกควบคุมการผ่านเข้าออกของสาร ผลให้เกิดการยับยั้งการเติบโตของเซลล์เกิดขึ้น (ภาพ 5)



ภาพ 5 ไคโตซานคีเลตกับไอโอดอนของโลหะหนัก [35]

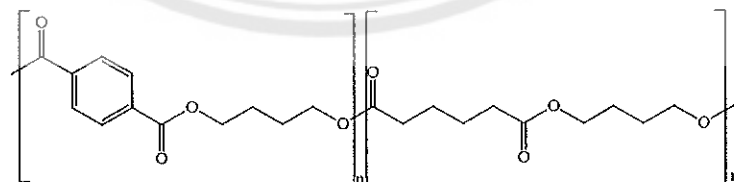
จากการที่กลไกทั้ง 5 วิธี พบว่าปัจจัยที่ส่งผลต่อประสิทธิภาพในการต้านจุลชีพของไคโตซาน คือ การทำให้ไคโตซานอยู่ในรูปของโพลิแคตไอโอดอนิกไคโตซาน และมีน้ำหนักโมเลกุลที่ไม่สูงนัก ซึ่งงานวิจัยนี้สนใจใช้ไคโตซานที่ไม่ผ่านการลดน้ำหนักโมเลกุล ซึ่งเป็นไคโตซานจากไคติน เริ่มต้นที่มีน้ำหนักโมเลกุลสูง และใช้งานในรูปที่เป็นกลาง ($-\text{NH}_2$) ดังนั้นไคโตซานที่ใช้ในงานวิจัยนี้ จึงไม่มีประสิทธิภาพในการยับยั้งเชื้อจุลชีพ แต่เนื่องจากโครงสร้างของไคโตซันที่สามารถดัดแปลงได้ง่าย งานวิจัยนี้จึงสนใจดัดแปลงโครงสร้างทางเคมีของไคโตซันผ่านปฏิกิริยากราฟฟิโคพอลิเมอร์ เช่นร่วมกับ 2-อะครามิโน-2-เมทิล-1-โพเรนชัลฟอนิกแอซิด (AMPS) เพื่อให้เป็นสารที่จะไปฟอร์มคีเลตร่วมกับซิติเดอร์ไอโอดอน ซึ่งเป็นอนุภาคโลหะที่มีประสิทธิภาพสูงในการต้านจุลชีพต่อไป

ซึ่งน้ำหนักโมเลกุลที่สูงของไคโตซานจะทำให้ไคโตซานเกิดการเคลื่อนที่ (migration) หลุดออกจากฟิล์มพอลิเมอร์ผสมได้ยากขึ้น และการคีเลตระหว่างพอลิ 2-อะไครามิได-2-เมทิล-1-โพเรนชัลโพนิกแอซิด (PAMPS) ที่ติดอยู่บนสายโซ่ของไคโตซานกับซิลิเกอร์ไอกอนก็จะช่วยลดการหลุดออกของซิลิเกอร์ไอกอนจากบรรจุภัณฑ์ได้ดีขึ้น

4. พอลิบิวทิลีนอะดิเพท-โค-เทเรฟทาเลท (Polybutylene Adipate-co-Terephthalate, PBAT)

พอลิบิวทิลีนอะดิเพท-โค-เทเรฟทาเลท (Polybutylene Adipate-co-Terephthalate, PBAT) เป็นพลาสติกชีวภาพที่ได้จากการผลิตภัณฑ์จากแหล่งปิโตรเคมี PBAT สามารถสังเคราะห์ได้จากปฏิกิริยาการควบแน่น (Condensation polymerization) ของมอนโอมอร์ 3 ชนิด คือ กรดเทเรฟทาลิกแอซิด (Tereptthalic acid), กรดอะดิปิก (Adipic acid) และ 1,4-บิวานาไดโอล (1,4-Butanediol) ซึ่งมอนโอมอร์ทั้ง 3 ชนิดนี้สามารถสังเคราะห์ได้จากการผลิตภัณฑ์จากแหล่งปิโตรเคมี ซึ่ง PBAT มีสมบัติยืดหยุ่นสลายได้ตามธรรมชาติ และเนื่องจาก PBAT เป็นพอลิเมอร์สังเคราะห์ที่มีหมุ่ฟังก์ชันเอกสาร์ และวะยะไม่ติดกันเป็นองค์ประกอบบนสายโซ่หลัก (ภาพ 6) ทำให้มีความแข็งแรง เหนียว มีความยืดหยุ่นสูง และขึ้นรูปได้ง่าย มีสมบัติคล้ายกับพอลิบิวทิลีนชนิดความหนาแน่นต่ำ (Low density polyethylene, LDPE) ดังนั้นในปัจจุบันจึงนิยมนำ PBAT มาประยุกต์ใช้งานในด้านการผลิตฟิล์มประเภทต่าง ๆ ทั้งฟิล์มห่ออาหาร ฟิล์มบรรจุภัณฑ์ ฟิล์มทางการเกษตร เป็นต้น แต่เนื่องจากต้นทุนการผลิต PBAT ยังมีราคาสูง จึงนิยมผสมกับพอลิเมอร์ชนิดอื่น ๆ เช่น เทอร์โมพลาสติกสตราช พอลิบิวทิลีนชัคซิเนต และพอลิแลคติกแอซิด

ซึ่งในหลายงานวิจัยนิยมน้ำ PBAT ผสมร่วมกับ PLA เพื่อช่วยเพิ่มความยืดหยุ่น และความเหนียวไว้กับ PLA [36-38]



ภาพ 6 โครงสร้างทางเคมีของพอลิบิวทิลีนอะดิเพท-โค-เทเรฟทาเลท

งานวิจัยที่เกี่ยวข้องการเตรียมพอลิเมอร์สมรรถห่วงพอลิแลคติกแอซิด พอลิบิวทิลีนอะดิเพท-โคล-เทเรฟทาเลท ยางธรรมชาติ และไคโตชาน

ในปี 2013 Bie P, et al. [39] สนใจในการเตรียมพอลิเมอร์สมรรถห่วง PLA;CH และเทอร์โมพลาสติกสตาร์ช (TPS) เพื่อประยุกต์ใช้เป็นฟิล์มสำหรับต้านเชื้ออุลซีพ ผสมเทอร์โมพลาสติกสตาร์ช (TPS) กับ PLA และ CH โดยเครื่องอัดวีดเกลี่ยวนอนคู่ จากนั้นนำไปขึ้นรูปเป็นฟิล์ม โดยงานวิจัยนี้คาดหวังว่า TPS ซึ่งมีสมบัติชอบน้ำ จะช่วยให้ CH ซึ่งอยู่ใน PLA สามารถแสดงสมบัติต้านเชื้อแบคทีเรียได้ จากผลการทดลองพบว่าค่ามุสัมผัสของฟิล์มลดลงตามอัตราส่วนของ TPS (30, 40 และ 50%wt) และเวลาที่เพิ่มขึ้น ซึ่งแสดงถึงความชอบน้ำฟิล์มพอลิเมอร์สมที่เพิ่มขึ้น ภาพถ่าย SEM พื้นผิวของฟิล์มที่มีอัตราส่วนของ TPS:PLA:CH เท่ากับ 38:57:5 ก่อน และหลังแช่น้ำ พบร่องรอยแฉะน้ำพื้นผิวของฟิล์มมีความชุกชุม มีการรวมกลุ่มกันของ TPS และ CH เมื่อนำฟิล์มไปแช่น้ำ พื้นผิวของฟิล์มมีช่องว่างเกิดขึ้น ซึ่งช่องว่างดังกล่าวนำจำกัดการหลุดของ TPS และ CH และเมื่อศึกษาสมบัติการต้านเชื้อแบคทีเรียโดยการวัดระยะยับยั้งเชื้อ *E. coli* และ *S. aureus* พบว่าฟิล์ม PLA และฟิล์ม PLA ที่ผสมร่วมกับ CH ในอัตราส่วน 90:10 ไม่สามารถต้านเชื้อแบคทีเรียได้ ในขณะที่การผสม CH ในอัตราส่วนของ TPS:PLA:CH=36:54:10 พบร่วมมีประสิทธิภาพในการต้านเชื้อแบคทีเรียทั้ง 2 ชนิด ทั้งนี้อาจเนื่องมาจาก TPS ช่วยเพิ่มความชอบน้ำให้กับฟิล์ม PLA และช่วยในการหลุดออกของ CH ที่ผังตัวออกจากฟิล์ม PLA ส่งผลให้เกิดการยับยั้งเชื้อแบคทีเรียเมื่อทดสอบโดยการวัดรัศมีการยับยั้งเชื้อ

จากผลดังกล่าวสามารถสรุปได้ว่า ถึงแม้ว่าไคโตชานจะมีสมบัติในการต้านเชื้อแบคทีเรียตามปกติที่ก่อ威名มาข้างต้น แต่การนำไคโตชานมาผสมกับ PLA ทำให้สมบัติการต้านเชื้อลดลง หรือไม่สามารถต้านได้ อาจเนื่องมาจาก CH ไม่สามารถหลุดออกมาจาก PLA เพื่อไปสัมผัสนับต้องแบคทีเรีย แล้วจึงแสดงปกติการยับยั้งเชื้อ การผสม PLA ร่วมกับพอลิเมอร์ที่ชอบน้ำ เช่น แป้ง หรือการเติมพลาสติกไทรเซอร์ เช่น ATBC เป็นแนวทางหนึ่งในการแก้ปัญหาของการผสม CH ร่วมกับ PLA

ปี ค.ศ. 2013 Pongtanayut K, et al. [40] ศึกษาผลของการใช้ยางธรรมชาติ (NR) และยางธรรมชาติอิพอกซีไดร์ (ENR) เป็นสารเพิ่มความเหนียวให้กับ PLA โดยผสม PLA ร่วมกับ NR และ ENR โดยใช้เครื่องบดผสมภายใน จากนั้นเจ็งขึ้นรูปชิ้นงานด้วยเครื่องกดอัด (compression molding) ในอัตราส่วน PLA:rubber = 90:10, 80:20 และ 70:30 จากผลการทดลองพบว่าพื้นผิวของพอลิเมอร์สมมีลักษณะชุกชุมมากกว่า PLA บริสุทธิ์ ทั้งยังสังเกตเห็นหยด (droplet) ขนาดเล็กของ NR กระจายอยู่ทั่วทั้งชิ้นงาน ในขณะที่พื้นผิวของพอลิเมอร์สมรรถห่วง PLA กับ ENR มีความเข้ากันได้กว่า ทั้งนี้อาจเนื่องมาจากหม้อพอกไทร์ของ ENR สามารถเกิดอันตรกิริยาร่วมกับ

หมุนรับอนิลของ PLA ได้ศึกษาสมบัติทางความร้อนของ พอลิเมอร์สมด้วยเทคนิค DSC พบว่า สมบัติทางความร้อนของชิ้นงานเมื่อให้ความร้อนครั้งที่ 1 (1^{st} heat) พอลิเมอร์สมมีค่าอุณหภูมิเปลี่ยนสภาพคล้ายแก้วลดลงใกล้เคียงกันในทุกสูตร เมื่อเทียบกับ PLA บริสุทธิ์ โดยมีค่าลดลงจาก 61.2°C เป็น $52-55^{\circ}\text{C}$ โดยชิ้นงานพอลิเมอร์สมมีผลลัพธ์ของ PLA เกิดขึ้นน้อยกว่าชิ้นงาน PLA เล็กน้อย แต่เมื่อทำการลดอุณหภูมิด้วยอัตราเร็ว 3°C ต่อนาที เพื่อสร้างผลลัพธ์ให้ตัวอย่างอีกครั้ง พบว่าเมื่อทดสอบการเกิดผลลัพธ์โดยการให้ความร้อนครั้งที่ 2 (2^{nd} heat) มีเพียงสูตรที่ผสม NR เท่านั้นที่พบการเกิดผลลัพธ์ในชิ้นงาน จึงอาจกล่าวได้ว่าอนุภาค NR ที่กระจายตัวอยู่ในเฟสของ PLA สามารถเนี่ยน้ำให้ PLA เกิดผลลัพธ์ได้ นอกจากนี้เมื่อศึกษาสมบัติเชิงกลของชิ้นงานพบว่า พอลิเมอร์สมทุกสูตรมีค่าการหนต่อแรงดึง (TS) และค่ามอดูลัสต่ำกว่าชิ้นงาน PLA และมีเพียง สูตร PLA:NR = 90:10 และ 80:20 ที่มีความยืดตัวสูงสุด ณ จุดขาด (E_b) ของชิ้นงานสูงกว่าชิ้นงาน PLA โดยมีความยืดตัวสูงสุด ณ จุดขาด ของ PLA, PLA:NR อัตราส่วน 90:10 และ 80:20 ประมาณ 4%, 23% และ 7% ตามลำดับ

จากการทดลองอาจกล่าวได้ว่า NR ซึ่งมีความเข้ากันได้กับ PLA น้อยกว่า ENR โดย ปากฎการแยกเฟสของ NR ของจากเฟสหลักของ PLA ซึ่งการแยกเฟสดังกล่าวหากมีขนาดของ อนุภาคที่เหมาะสมก็จะสามารถประพฤติตนเป็นสารเนี่ยน้ำให้เกิดผลลัพธ์ (nucleating agent) ได้ ส่งผลให้ PLA มีประมาณผลลัพธ์ที่เพิ่มขึ้น อย่างไรก็ตามอัตราส่วนที่มากเกินไปของ NR จะทำให้เฟส กระจายตัว (dispersed phase) มีขนาดใหญ่ขึ้น ความแตกต่างระหว่างเฟสของ NR และ PLA เพิ่มขึ้น ส่งผลให้สมบัติเชิงกลของพอลิเมอร์สมลดลง

ปี ค.ศ. 2013 Bonilla J, et al. [9] ได้ศึกษาการเตรียมพอลิเมอร์สมระหว่าง PLA กับ ผงไคโตซานที่แทรกต่างกัน 2 ขนาด คือ 180 และ $715\text{ }\mu\text{m}$ โดยผสมไคโตซานในอัตราส่วน 5% และ 10% ด้วยเครื่องอัดรีดเกลียวบนอนคู่ จากนั้นจึงทำเป็นฟิล์ม (casting technique) จากผลการ ทดลองพบว่าสามารถสังเกตเห็นของอนุภาคของไคโตซานกระจายอยู่ทั่วทั้งชิ้นงานได้ด้วยสายตา ฟิล์มมีลักษณะทึบแสง และมีสีเหลือง (ฟิล์ม PLA มีลักษณะใส และไม่มีสี) ทั้งนี้ลักษณะทึบแสง และมีสีเหลือง พบว่าช่วยลดความเข้มของแสงอัลตราไวโอลেตในช่วงความยาวคลื่น $200-400\text{ nm}$ ได้ซึ่งคลื่นแสงที่ความยาวคลื่นดังกล่าวเป็นคลื่นแสงที่เร่งการเกิดปฏิกิริยาออกซิเดชันของไขมัน (lipid oxidation) ในอาหาร ทดสอบการเจริญเติบโตของเชื้ออุดซีพในเนื้อหมูเมื่อทำการเก็บอาหาร ในฟิล์มที่เตรียมได้เทียบกับฟิล์ม PLA และเนื้อที่ไม่ห้องหุ่ม (ตัวควบคุม) พบว่าเนื้อที่ไม่ห้องหุ่มมีการ เจริญเติบโตของเชื้ออุดซูด โดยมีค่าเพิ่มขึ้นประมาณ $3\log\text{CFU/g}$ รองลงไปคือเนื้อหมูที่ห้องหุ่มด้วย PLA ซึ่งค่าที่ลดลงดังกล่าวอาจเนื่องมาจากการปริมาณออกซิเจนที่ฝานเข้าออกในฟิล์มน้อย .shtml สำหรับ

เชื้อจุลชีพเจริญเติบโตได้น้อยกว่าเนื้องมูที่ไม่ห่อหุ้ม จากนั้นจึงเป็นพิล์ม PLA ที่ผสมไคโตไซนขนาด 715 และ 180 μm ตามลำดับ โดยพิล์มที่เตรียมจาก PLA/chitosan 180 μm มีการเจริญเติบโตของ เชื้อจุลชีพ (total aerobial counts) เพิ่มขึ้นน้อยกว่าพิล์ม PLA ประมาณ 0.5 logCFU/g อย่างไรก็ตามแม้ว่าพิล์มที่เตรียมได้จะสามารถลดการเจริญเติบโตของเชื้อจุลชีพได้แต่พบว่าสมบัติการทนต่อแรงดึง และการยึดตัวสูงสุด ณ จุดขาดของพิล์มพอลิเมอร์ผสมมีค่าลดลงค่อนข้างมาก เมื่อเทียบกับพิล์ม PLA ทั้งนี้อาจเนื่องมาจากการแยกเฟสระหว่างอนุภาคของไคโตไซนกับ PLA ทำให้ชิ้นงานขาดได้ง่ายขึ้น โดยมีค่าการทนต่อแรงดึงลดลงจาก 23 MPa เหลือเพียง 3-7 MPa และมีค่าการยึดตัวสูงสุด ณ จุดขาดลดลงจาก 70% เหลือเพียง 30-60% ซึ่งกับขนาดของอนุภาคของไคโตไซนโดยอนุภาคขนาดเล็กจะมีสมบัติการทนต่อแรงดึง และการยึดตัวสูงสุด ณ จุดขาดของพิล์มพอลิเมอร์ผสมสูงกว่าอนุภาคไคโตไซนขนาดใหญ่

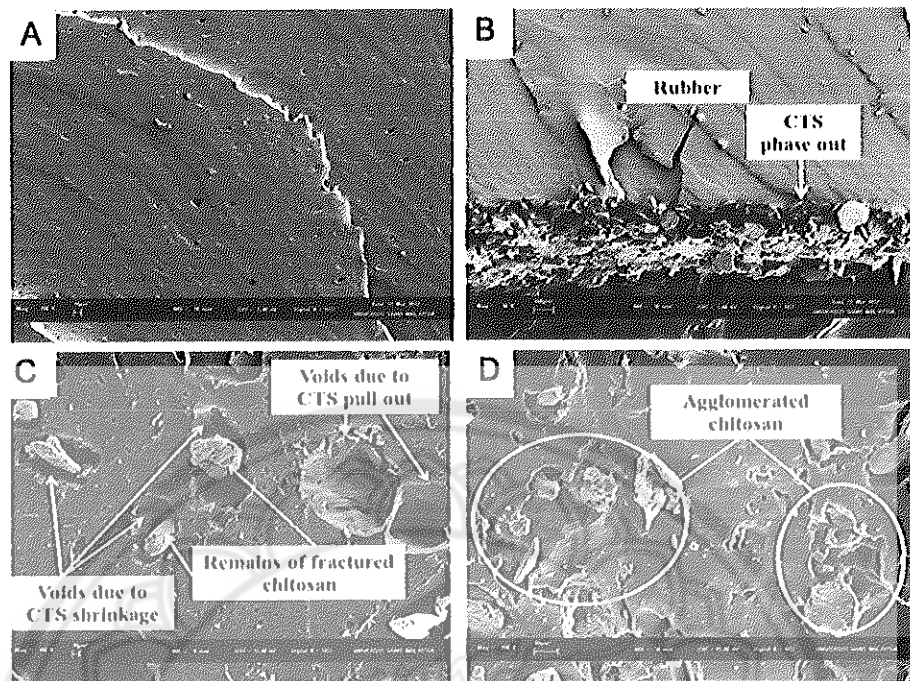
จากการทดลองพบว่า PLA ที่ใช้ในงานวิจัยนี้เป็น PLA เกรด 3015D ซึ่งเป็นเกรดที่มีค่าความยึดสูงสุด ณ จุดขาดค่อนข้างสูง และมีค่าการทนต่อแรงดึงที่ไม่สูงมากนัก การผสมไคโตไซนโดยตรงในลักษณะผงส่งผลให้สมบัติเชิงกลในทุกด้านลดลงอย่างเห็นได้ชัด ในขณะที่สมบัติการต้านจุลชีพพบว่ายังไม่ขาดเจนนัก

ปีค.ศ. 2014 Yuan D, et al. [41] ศึกษาการเตรียมพอลิเมอร์ผสมระหว่าง PLA และ NR และมีการใช้สารวัลคาไนซ์ในระบบเพอร์ออกไซด์ ซึ่งจะทำให้เกิดการเริ่มขาวทั้งในส่วนของ PLA-PLA, NR-NR และ PLA-NR โดยเครื่องผสมแบบปิด (Internal mixer) ที่อุณหภูมิ 150 °C โดยปรับเปลี่ยนอัตราส่วนผสม NR 0-40 phr ขั้นรูปปัจจุบันพอลิเมอร์ผสมด้วยเครื่องฉีด (Injection molding) จากผลการทดลองพบว่าค่าการทนต่อแรงกระแทก (Izod impact strength) และค่าความยึดสูงสุด ณ จุดขาด ของพอลิเมอร์ผสมเพิ่มขึ้นตามอัตราส่วนของ NR ที่เพิ่มขึ้น โดยชิ้นงานสามารถยึดตัวออกได้ 70% เมื่อใช้ NR ในอัตราส่วน 40 phr และเมื่อนำชิ้นงาน PLA:NR อัตราส่วนผสมเท่ากับ 65:35 ไปสกัดเพสของ PLA ออกโดยใช้డีคลอโนมีเทน พบว่าภาพถ่าย TEM แสดงโครงสร้างของ NR แบบร่องแทะ ซึ่งโครงสร้างดังกล่าวจะมีส่วนสำคัญที่ทำให้พอลิเมอร์ผสมยึดตัวออกได้อย่างไรก็ตามค่าการทนต่อแรงดึงและค่าความแข็งของชิ้นงานพบว่าลดลงตามปริมาณ NR ที่เพิ่มขึ้น โดยค่าการทนต่อแรงดึงมีค่าลดลงจากประมาณ 60 MPa เหลือเพียงประมาณ 15 MPa เมื่อเติม NR ในอัตราส่วน 40 phr ซึ่งค่าการทนต่อแรงดึงที่ลดลงดังกล่าวอาจจะเกิดจากความไม่เข้ากันระหว่างเฟสของ PLA และ NR ส่งผลให้ชิ้นงานทนต่อแรงดึงได้ลดลง

ปี 2016 Raju, G. และคณะ [42] ศึกษาการเตรียมและการวิเคราะห์ไคโตไซนผสมร่วมกับยางธรรมชาติอิพอกซีไดซ์ (ENR) ในสภาวะน้ำเย็น โดยใช้ไคโตไซนใน 2 รูปแบบ คือไคโตไซนใน

สภาวะสารละลาย (ความเข้มข้น 0, 2.5, 5, 10, 15 และ 20 phr ใน 2% v/v กรดอะซิติก) และไคโตซานผง จากนั้นขึ้นรูปเป็นแผ่นโดยเทคนิคการหล่อฟิล์ม (casting technique) จากภาพถ่าย SEM (ภาพ 7) บริเวณรอยขาดของชิ้นงานที่ได้จากการทดสอบบัติการทนต่อแรงดึงพบว่าชิ้นงานที่เตรียมจาก ENR เพียงอย่างเดียว (ภาพ 7 (A)) ชิ้นงานมีพื้นผิวที่เรียบ การผสมไคโตซานแบบผง ังเกตการแยกเฟสของผงไคโตซานออกจาก ENR ได้อย่างชัดเจน (ภาพ 7 (B)) โดยพบว่าไคโตซานถูกดันออกมาให้ออกยู่บริเวณขอบนอกของชิ้นงาน ในขณะที่ในอัตราส่วนผสมเดียวกันแต่เป็นการผสมในสภาวะสารละลาย (ภาพ 7 (C)) พบรากะจายตัวของอนุภาคไคโตซานอยู่ทั่วทั้งเฟสของยาง จึงอาจกล่าวได้ว่าการผสมในสภาวะสารละลายของไคโตซานร่วมกับน้ำยาง ENR มีส่วนช่วยในการกระจายตัวของไคโตซานในเฟสของยางได้ดีกว่าการผสมในลักษณะผง แต่อย่างไรก็ตามการผสมดังกล่าวพบว่าไม่ช่วยเรื่องความเข้ากันได้ (compatibility) ของชิ้นงาน โดยยังคงสังเกตเห็นการแยกตัวของอนุภาคของไคโตซาน และซ่องว่างจำนวนมากในเฟสของยาง การเพิ่มอัตราส่วนของไคโตซาน (ภาพ 7 (D)) พบรากะจายตัวของอนุภาคของไคโตซานที่กระหายตัวอยู่ในเฟสของ ENR มากขึ้น ศึกษาสมบัติการทนต่อแรงดึงของพอลิเมอร์ผสม พบร่วงพอลิเมอร์ผสมที่เตรียมจาก ENR ร่วมกับไคโตซานในสภาวะสารละลาย มีค่าการทนต่อแรงดึงเพิ่มขึ้นประมาณ 8 MPa เมื่อเทียบกับชิ้นงาน ENR ที่มีค่าประมาณ 5 MPa ในขณะที่พอลิเมอร์ผสมที่เตรียมจาก ENR ร่วมกับไคโตซานผง มีค่าการทนต่อแรงดึงลดลงอย่างเห็นได้ชัด โดยมีค่าเหลือเพียง 1 MPa อย่างไรก็ตามสมบัติการทนต่อแรงดึงของพอลิเมอร์ผสมที่เตรียมจากไคโตซานในสภาวะสารละลาย พบร่วงพอลิเมอร์ผสมมีค่าลดลงตามความเข้มข้นของไคโตซานที่เพิ่มขึ้น ($> 5 \text{ phr}$) ทั้งนี้อาจเนื่องมาจากการเกาะกลุ่มกันของไคโตซาน ทำให้เกิดการแยกเฟสของพอลิเมอร์ผสมทั้งสองมากขึ้น ผลให้ชิ้นงานมีค่าการทนต่อแรงดึงลดลง นอกจากนี้ยังพบว่าค่าความยึดสูงสุด ณ จุดขาดมีค่าเป็นไปในท่านองเดียวกับค่าการทนต่อแรงดึงโดยการผสมไคโตซานความเข้มข้น 5 phr ให้ค่าความยึดสูงสุด ณ จุดขาดเพิ่มขึ้นจากประมาณ 550% (NR ไม่มีผสมไคโตซาน) เป็น 750% และมีค่าความยึดสูงสุด ณ จุดขาดลดลงตามปริมาณไคโตซานที่เพิ่มขึ้น โดยเมื่อผสมไคโตซาน 10 phr พบร่วงพอลิเมอร์ผสมมีค่าความยึดสูงสุด ณ จุดขาดเหลือเพียง 100%

จากการทดลองอาจกล่าวได้ว่าการผสมยางในสภาวะน้ำยางร่วมกับไคโตซานในสภาวะสารละลายในอัตราส่วนของไคโตซานที่เหมาะสม ช่วยให้ชิ้นงานมีความเข้ากันได้ และมีสมบัติแข็งแกร่งขึ้น



ภาพ 7 ภาพถ่าย SEM ของพื้นผิวชิ้นงานหลังการทดสอบการทานต่อแรงดึง เมื่อ (A) ยางธรรมชาติอิพอกซีไดซ์ และยางธรรมชาติอิพอกซีไดซ์ ผสมไคโตซานในอัตรา ส่วน (B) 5 phr (ไคโตซานผง) (C) 5 phr (สารละลายนไคโตซาน) และ (D) 10 phr (สารละลายนไคโตซาน)

ปี ค.ศ. 2016 Rapa M, et al. [43] ศึกษาผลของอัตราส่วนของไคโตซาน (CH) ต่อสมบัติของ PLA โดยได้มีการเติม tributyl o-acetyl citrate (ATBC) ทำหน้าที่เป็นพลาสติกเซอร์ (plasticizer) ให้กับ PLA ในอัตราส่วน PLA:ATBC:CH คือ 100:0:0 (PLA), 80:20:0 (PLA/ATBC), 79.2:19.8:1 (PLA/CH1), 77.6:19.4:3 (PLA/CH2) และ 79:19:5 (PLA/CH3) เตรียมโดยนำผงไคโตซันผสมกับ ATBC ให้มีความเป็นเนื้อดียกัน หลังจากนั้นนำไปผสมร่วมกับ PLA ในสภาวะหลอม โดยเครื่องบดผสมภายใน (Brabender) อุณหภูมิที่ใช้ 170 °C จากนั้นขึ้นรูปเป็นชิ้นงานโดยเครื่องกดขัด (compression molding) เพื่อประยุกต์ให้เป็นบรรจุภัณฑ์สำหรับอาหาร ที่ช่วยลดการเกิดเชื้อรา และแบคทีเรีย จากผลการทดลองพบว่าในขั้นตอนการผสม PLA ร่วมกับ ATBC แรงบิด (torque) ที่เกิดขึ้นมีค่าลดลงเมื่อเทียบกับ PLA เพียงอย่างเดียว จึงอาจกล่าวได้ว่า ATBC สามารถทำหน้าที่เป็นพลาสติกเซอร์ช่วยให้การขับ舜ของ PLA ง่ายขึ้น และเมื่อผสมกับ CH พบว่าแรงบิดมีค่าสูงขึ้น จากนั้นขึ้นรูปเป็นฟิล์ม พบว่าฟิล์ม PLA และ PLA/ATBC มีลักษณะใส สามารถผ่านได้ประมาณ 90% การเติม CH ทำให้การผ่านของแสงในช่วง visible (400-700 nm)

ส่องผ่านของแสงลดลงถึง 50% (PLA/CH3) เนื่องมาจาก CH ที่ทำให้ฟิล์มมีความทึบช้ำ และกระจายตัวของ CH บนฟิล์มสามารถเกิดการกระเจิงของแสงได้

ศึกษาสมบัติทางความร้อนของพอลิเมอร์ผสมด้วยเทคนิค DSC พบว่าสมบัติทางความร้อนของชิ้นงานเมื่อให้ความร้อนครั้งที่ 1 (1^{st} heat) พอลิเมอร์ผสมมีค่าอุณหภูมิเปลี่ยนสภาพคล้ายแก้ว (T_g) ลดลงใกล้เคียงกันในทุกสูตร เมื่อเทียบกับ PLA โดยมีค่าลดลงจาก 56.3°C เป็น $38-40^{\circ}\text{C}$ ในขณะที่อุณหภูมิในการเกิดผลึกขณะให้ความร้อน (T_{cc}) และอุณหภูมิในการหลอมผลึก (T_m) มีค่าลดลง ในขณะที่เปรียบเทียบเพิ่มขึ้น ทั้งนี้อาจเนื่องมาจาก CH ทำหน้าที่เป็นสารเหนี่ยวนำ (nucleating agent) ทำให้ PLA เกิดผลึกได้ง่ายขึ้น ศึกษาสมบัติเชิงกลของพอลิเมอร์ผสม พบว่า การผสม ATBC ร่วมกับ PLA ช่วยให้ชิ้นงานมีค่าความหนืดแรงดึง และมอดูลัสลดลง เมื่อเทียบกับ PLA แต่มีค่าความยืดสูงสุด ณ จุดขาดเพิ่มขึ้น โดยมีค่าเพิ่มขึ้นประมาณ 200% อย่างไรก็ตาม ค่าความยืดสูงสุด ณ จุดขาดพบว่าลดลงตามอัตราส่วนของ CH ที่เพิ่มขึ้น ทั้งนี้อาจเนื่องจากความไม่เข้ากันของ CH และ PLA

ศึกษาสมบัติการต้านเชื้อแบคทีเรีย *S. aureus* และ *E. coli* โดยใช้เทคนิคการนับจำนวนโคโลนีของแบคทีเรีย โดยใช้ถุงโคนกประสงค์จากพอลิเอทิลีนเป็นตัวควบคุมเป็น พบว่า PLA ไม่สามารถต้านเชื้อแบคทีเรียได้ในทุกช่วงเวลาที่ทดสอบ ในขณะที่การผสมร่วมกับ CH ในอัตราส่วน 3 และ 5 %wt สามารถลดจำนวนเชื้อ *S. aureus* ได้ประมาณ $2.7-2.8 \log$ ลดจำนวนเชื้อ *E. coli* ได้ประมาณ $5 \log$ เมื่อทำการทดสอบเป็นเวลา 24 ชั่วโมง

จากการทดลองข้างต้นพบว่าการเติมพลาสติกไธเซอร์ช่วยเพิ่มความเข้ากันได้ให้กับ PLA และ CH ได้ดีขึ้น สงผลให้ค่าความยืดสูงสุด ณ จุดขาด เพิ่มขึ้นเมื่อเทียบกับฟิล์ม PLA ทั้งยังช่วยให้ฟิล์มพอลิเมอร์ผสมมีความคงทนนานมากขึ้น ทำให้ CH สามารถหลุดออกจากฟิล์ม PLA มาแสดงสมบัติการยับยั้งการเจริญเติบโตเชื้อจุลชีพได้ นอกจากนี้อนุภาค CH ที่กระจายตัวในเฟสของ PLA ในขนาดที่เหมาะสม พบว่าสามารถแสดงพฤติกรรมเป็นสารเหนี่ยวนำผลึกได้

ปี 2010 Ren J, et al. [44] ศึกษาการเตรียม และสมบัติของพอลิเมอร์สมรรถว่าง PLA กับพอลิէสเทอร์ 3 ชนิด ได้แก่ poly(butylene adipate, PBA), poly(butylene succinate, PBS) และ poly(butylene adipate-co-butylene terephthalate, PBAT) โดยใช้เครื่องอัดรีดเกลียว บนอนคู่ ที่อุณหภูมิ $150-180^{\circ}\text{C}$ ที่อัตราส่วน PLA:(PBAT/PBS/PBA) เท่ากับ 95:5, 90:10, 85:15, 80:20 และ 75:25 นำพอลิเมอร์คอมโพวันด์ที่ได้มาขึ้นรูปชิ้นงานสำหรับทดสอบด้วยเครื่องฉีดพลาสติก จากผลการทดลองพบว่าการผสม PLA ร่วมกับพอลิէสเทอร์ทั้ง 3 ชนิด ให้ผลการทดสอบสมบัติเชิงกลใกล้เคียงกัน โดยมีค่าความหนืดแรงดึง และค่ามอดูลัสมีค่าลดลงตามอัตราส่วนของ

PBAT/PBS/PBA ที่เพิ่มขึ้น ในขณะที่มีค่าความยืดสูงสุด ณ จุดขาด เพิ่มขึ้นใกล้เดียงกัน โดยอัตราส่วนระหว่าง PLA:PBAT = 85:15 พนว่ามีค่าความยืดสูงสุด ณ จุดขาด สูงที่สุด โดยมีค่าประมาณ 650% อย่างไรก็ตามแม้ว่าชิ้นงาน PLA ที่ผสมร่วมกับพอลิเอสเทอร์ทั้ง 3 ชนิด จะให้ค่าความยืดสูงสุด ณ จุดขาด ใกล้เดียงกัน แต่มีเฉพาะการผสมร่วมกับ PBAT เท่านั้นที่มีค่าความทนต่อแรงกระแทกของชิ้นงานที่ดี ซึ่งแสดงถึงการแสดงพฤติกรรมเป็นสารช่วยรับแรงที่ดีของ PBAT ทั้งแบบค่อยๆ รับการเปลี่ยนแปลง (การดึง) และแบบฉับพลัน (การกระแทก)

นอกจากนี้ Ren J, et al. [44] ยังได้ศึกษาลักษณะ และสมบัติทางสัณฐานวิทยาของ PLA/PBAT หลังการทดสอบการรับแรงกระแทก พนว่าชิ้นงานมีลักษณะการขาดแบบพลาสติก (plastic deformation) ภาพถ่าย SEM พบการกระจายตัวของ PBAT ลักษณะเป็นหยดในแมทริกซ์ของ PLA อย่างสม่ำเสมอ พนการเกิดซ่องว่างบริเวณรอยต่อระหว่างเฟสของ PLA และ PBAT ซึ่งอาจเกิดจากการแตกหักของพันธะ (debonding) ของอนุภาค PBAT รอบ ๆ แมทริกซ์ PLA หลังได้รับแรงกระแทก ศึกษาสมบัติทางความร้อนของพอลิเมอร์ผสมระหว่าง PLA/PBAT พนว่าค่า T_g และ T_m ของ PLA จากการให้ความร้อนครั้งที่ 2 ($2^{\text{nd}} \text{ heat}$) ไม่แตกต่างกับ PLA บริสุทธิ์ ซึ่งอาจกล่าวได้ว่า PLA และ PBAT ไม่เข้ากันทางเหอร์โนไดนามิกส์ แต่การกระจายตัวของ PBAT ในเฟสของ PLA พนว่ามีผลให้ค่า T_g ของพอลิเมอร์สมมีค่าลดลง และมีปริมาณผลึกเพิ่มขึ้นตามอัตราส่วนของ PBAT ที่เพิ่มขึ้น (5-15%) ดังนั้นจึงอาจกล่าวได้ว่าลักษณะการกระจายตัว และค่า T_g ที่ต่างของ PBAT น่าจะเป็นปัจจัยสำคัญต่อการรับ และกระจายแรงของพอลิเมอร์ผสม

ประสิทธิภาพการต้านเชื้อจุลชีพของบรรจุภัณฑ์แอกทิฟ

ในปัจจุบันได้มีการพัฒนาบรรจุภัณฑ์แอกทิฟที่มีความสามารถในการต้านเชื้อจุลชีพโดยการผสมสารต้านจุลชีพลงในบรรจุภัณฑ์ ซึ่งสารต้านจุลชีพที่ใช้ในปัจจุบันมีหลากหลายทั้งสารอินทรีย์ที่มาจากการธรรมชาติ สมุนไพร และสารอนินทรีย์โดยสารต้านจุลชีพจากสารอินทรีย์ที่มาจากการธรรมชาติ และสมุนไพร ที่เป็นที่รู้จัก เช่น ขมิ้นชัน ชุมเห็ดเทศ จันทน์แดง จันทน์แปดกลีบ ฝาง พริกไทยคำ พ้าทะลายโจร ยี่หร่า สมอไทย และอบเชย เป็นต้น ซึ่งสารดังกล่าวจะมีสารประกอบกลุ่มฟีโนลิก (phenolic compound) ฟลาโวนอยด์ (flavonoids) ชาโพนิน (saponin) และแทนนิน (tannin) ที่มีประสิทธิภาพในการต้านจุลชีพ [45] อย่างไรก็ตามสารต้านจุลชีพกลุ่มนี้พบว่าไม่เสถียรต่อความร้อน เกิดการระเหยได้ง่ายเมื่อได้รับความร้อนสูง ดังนั้นจึงอาจมีข้อจำกัดในการนำไปใช้งาน ในขณะที่สารต้านจุลชีพที่มาจากสารอินทรีย์ เช่น ไอคอนหรืออนุภาคนาโนของโลหะหนัก ต่าง ๆ เช่น ทองแดง สังกะสี เหล็ก และเงิน จะเป็นที่นิยมมากกว่าเนื่องจากมีประสิทธิภาพในการต้านเชื้อจุลชีพสูง มีความเสถียรต่อความร้อน ไม่ระเหยง่าย [3] ดังนั้นเมื่อนำไปผสมกับพลาสติก

เพื่อชีวิตรูปเป็นบรรจุภัณฑ์โดยจะฝ่ากกรรมการห้องที่อุณหภูมิสูง ไอโอดิน หรืออนุภาคนาโนของโลหะหนังดังกล่าวจะยังคงอยู่ในบรรจุภัณฑ์

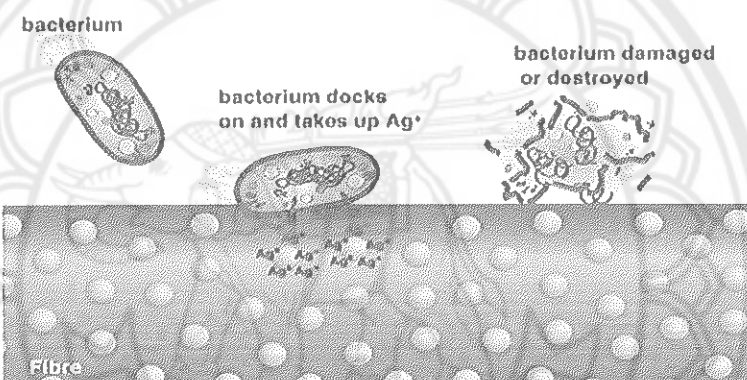
1. ซิลเวอร์ไอโอดิน (Silver ion)

ปัจจุบันมีการนำซิลเวอร์มาประยุกต์ใช้ในงานหลากหลายด้าน เช่น การใช้งานด้านสุขภาพ เช่น การนำไปเคลือบผิวห่อท่อที่ต้องมีการใช้ในมนุษย์ และต้องการสมบัติในการต้านจุลชีพ มีหลายงานวิจัยกล่าวว่าซิลเวอร์ปลดปล่อยต่อร่างกายของมนุษย์ ถ้าได้รับในปริมาณน้อย เนื่องจากซิลเวอร์เป็นธาตุเชือยที่มีอยู่แล้วในธรรมชาติดีลักษณะกันทองคำ และเซลล์ของมนุษย์เป็นเซลล์มุกاريโอต์ (eukaryotic cell) ที่มีขนาดใหญ่ และโครงสร้างซับซ้อน มีหน่วยย่อยในการทำงานที่มากกว่าเซลล์แบคทีเรียที่เป็นเซลล์โปรకารีโอต (prokaryotic cell) ดังนั้นเซลล์มุการีโอตในมนุษย์จึงไม่ได้รับความเสียหายเมื่อใช้บริ曼สารซิลเวอร์ในปริมาณน้อย ๆ [46] แต่อย่างไรก็ตามหากมีการสะสมของซิลเวอร์ในร่างกายมนุษย์ สัตว์ หรือในสิ่งแวดล้อมเป็นเวลานานก็พบว่าเป็นอันตรายได้ โดยเฉพาะอนุภาคซิลเวอร์นาโนที่พบว่ามีอันตรายต่อสัตว์น้ำมากกว่าอนุภาคซิลเวอร์แบบปกติถึง 10 เท่า ดังนั้นในหลายประเทศจึงออกกฎหมายควบคุมการหลุดออกของซิลเวอร์จากบรรจุภัณฑ์สู่อาหาร เช่น สนับสนุนให้ออกกฎหมายควบคุมปริมาณการหลุดออกของซิลเวอร์จากบรรจุภัณฑ์สู่อาหารว่าต้องมีปริมาณไม่เกิน 0.5 mg/kg ของอาหาร [5] ซึ่งการใส่อนุภาคซิลเวอร์ลงไปในบรรจุภัณฑ์โดยตรง อนุภาคซิลเวอร์ดังกล่าวจะสามารถเคลื่อนที่ (migrate) หลุดออกจากบรรจุภัณฑ์ได้ง่าย หักก่อนการใช้งาน ในขณะที่ห้ามห้องลังการใช้งาน โดยเฉพาะอย่างยิ่งหากมีการทิ้งชิ้นงานที่มีอนุภาคซิลเวอร์ลงสู่แหล่งน้ำ หรือการฟังดิน ก็จะทำให้แหล่งน้ำ และพื้นดินบริเวณนั้นเกิดการสะสมของอนุภาคซิลเวอร์จำนวนมากได้ ซึ่งจะส่งผลต่อเนื้องถึงสัตว์น้ำ และพืชที่เจริญเติบโตในบริเวณดังกล่าว

2. กลไกการทำงานของซิลเวอร์ในการต้านเชื้อจุลชีพ [34, 47, 48]

กลไกการฆ่าเชื้อแบคทีเรียของซิลเวอร์นาโน และไอโอดินซิลเวอร์ คือ เมื่อซิลเวอร์สัมผัสกับผิวเซลล์ของแบคทีเรีย ซิลเวอร์จะสามารถแพร่กระจายไปทางบริเวณผิวหนังเซลล์ของแบคทีเรีย และเกิดการแทรกเข้าไปภายในเซลล์ทำให้เกิดการรวมตัวกันของดีเอ็นเคภายในเซลล์จากนั้นประจุบวกของ Ag^+ จะเข้าไปจับกับเอนไซม์โปรตีนase (proteinase) ซึ่งมีหมู่ (-SH) ที่มีอะตอมของชัลเฟอร์เป็นองค์ประกอบ ซึ่งเอนไซม์โปรตีนaseทำหน้าที่เกี่ยวกับระบบเมtabolism (metabolism) ของเซลล์ สงผลให้โปรตีนแปลงสภาพ (denature) ทำให้การควบคุมระบบลำเลียงสารเข้า และออกจากเซลล์ผิดปกติ เมื่อการลำเลียงสารเข้าออกเซลล์ผิดปกติจะสงผลให้เซลล์แตกทำให้แบคทีเรียตาย นอกจากนี้ Ag^+ ที่เข้าไปภายในเซลล์แบคทีเรียได้ยังสามารถทำให้ดีเอ็นเคภายในเซลล์ที่ประกอบด้วยฟอสฟอรัสจำนวนมากเกิดการรวมตัวกัน เนื่องจาก Ag^+ เป็นกรดอ่อน (soft acid)

จึงสามารถจับกับเบสอ่อน (soft base) จำพวกฟอฟอรัส (P) และกำมะถัน (S) ได้ สงผลให้แบคทีเรียไม่สามารถเพิ่มจำนวนได้ อีกทั้ง Ag^+ ที่เข้าไปภายในเซลล์ยังสามารถจับกับโปรตีนอื่นได้ เช่น โปรตีนที่เกี่ยวข้องกับการหายใจระดับเซลล์ (respiration) ดังนั้นเมื่อโปรตีนดังกล่าวทำงานผิดปกติ จะทำให้กระบวนการการทำงานของเอนไซม์หยุดทำงาน รบกวนกระบวนการหายใจ (respiration) และกระบวนการสืบพันธุ์ (reproduction) ของเซลล์แบคทีเรีย เซลล์แบคทีเรียดังกล่าวจะหยุดการเจริญเติบโต เสื่อมสภาพ และตายในที่สุด อย่างไรก็ตามประสิทธิภาพในการฆ่าเชื้อแบคทีเรียของ Ag^+ นั้นยังขึ้นอยู่กับชนิดของเชื้อแบคทีเรียอีกด้วย กลไกการทำงานของชีลเวอร์ แสดงดังภาพ 8



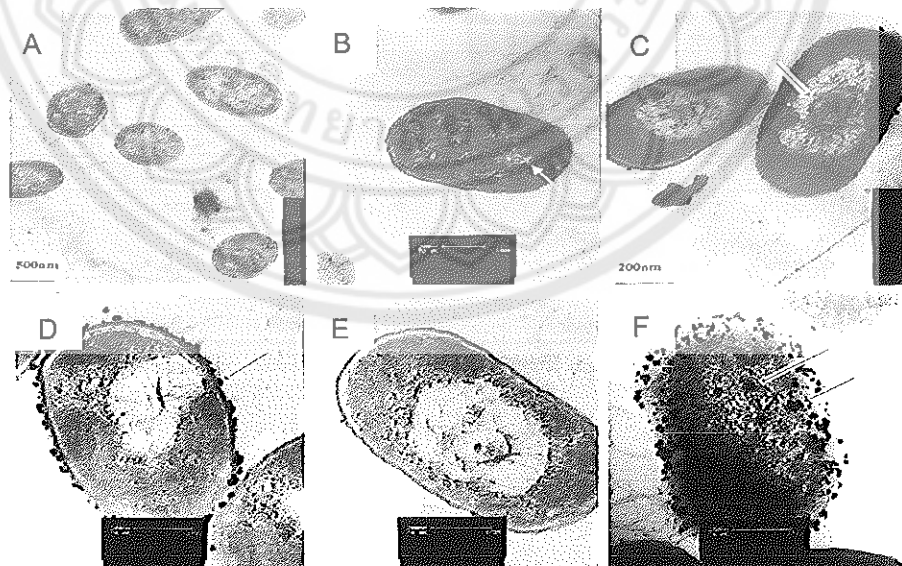
ภาพ 8 กลไกการทำงานของชีลเวอร์ต่อการฆ่าเชื้อจุลชีพ [46]

ปี 2000 Feng QL, et al. [49] ได้ศึกษากลไกการทำงานต้านเชื้อแบคทีเรียของ Ag^+ โดยทดสอบกับเชื้อแบคทีเรียทั้งแกรมลบ (*E. coli*) และแกรมบวก (*S. aureus*) โดยศึกษาการเปลี่ยนแปลงของโครงสร้างภายในเซลล์แบคทีเรียก่อน และหลังการเติม Ag^+ ด้วยเทคนิค TEM ภาพ 9 (A-B) และภาพ TEM ภายใต้ของ *E. coli* ที่ไม่ได้ทรีตด้วย Ag^+ พบริเวณที่มีแสงสีขาว (light electron) ซึ่งแสดงถึงโมเลกุลของ DNA การกระจายอยู่ทั่วทั้งเซลล์ เมื่อทำการเติม Ag^+ (ภาพ 9 (C)) พบรากурсเปลี่ยนแปลงของเซลล์ *E. coli* โดยพบว่าริเวณกึ่งกลางเซลล์มีแสงสีขาวเกิดขึ้นจำนวนมาก ซึ่งอาจเกิดจากของประจุบวกภายในเซลล์มีการบิดเบี้ยวหากัน (twisted) เกิดการรวมตัวกันของโมเลกุล DNA จากนั้นพบการเกิดซ่องว่างขนาดใหญ่ระหว่างเยื่อหุ้มเซลล์ให้พลาสตีซึ่งมีกับผนังเซลล์เกิดขึ้น (ภาพ 9 (D)) สงผลให้เกิดการแยกตัวของเยื่อหุ้มเซลล์ออกจากผนังเซลล์ (ภาพ 9 (E)) พบรากурсอิเล็กตรอนจำนวนมากอยู่รอบ ๆ ผนังเซลล์ (ภาพ 9 (F)) รวมถึงในไฮ托พลาสตีซึ่งแสดงถึงการแตกออกของผนัง

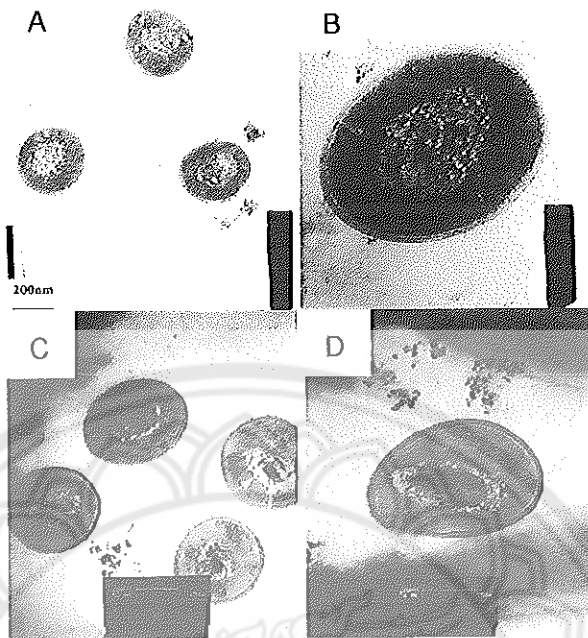
เซลล์นอกจาคนี้ได้จากการตรวจสอบหาองค์ประกอบภายในของกลุ่มเชลล์โดยการดูด้วย X-ray microanalysis พบว่าการปราบภัยของสัญญาณที่แสดงถึง Ag⁺ และ S จึงอาจกล่าวได้ว่า Ag⁺ เข้าสู่เซลล์ และรวมตัวกับสารประกอบที่มีชัลเฟอร์ที่อยู่ภายในไซโตพลาสซึม และ DNA ของเซลล์ของแบคทีเรีย

ในขณะที่ *S. aureus* ซึ่งเป็นแบคทีเรียแกรมบวกที่มีความหนาของผนังเซลล์มากกว่า *E. coli* พบรากภัยในเคลือส์ที่เป็นไมเลกุลของ DNA บริเวณตรงกลางของเซลล์ที่แตกต่างกัน *E. coli* (ภาพ 10 (A)) หลังจากทริตด้วย Ag⁺ ปรากฏส่วนส่วนที่อยู่ในบริเวณกึ่งกลางเซลล์ถ่ายกับ *E. coli* (ภาพ 10 (B)) นอกจากนี้ยังพบการหดตัวของเยื่อหุ้มเซลล์ไซโตพลาสซึม และพบการแยกออกจากผนังเซลล์เล็กน้อย ซึ่งการเปลี่ยนแปลงดังกล่าวพบว่ามีน้อยกว่า *E. coli* ดังนั้นจึงอาจกล่าวได้ว่า *S. aureus* นำจะต้านทานต่อ Ag⁺ ได้ดีกว่า *E. coli* (ภาพ 10 C-D)

ซึ่ง DNA เป็นข้อมูลทางพันธุกรรมที่สำคัญมาก เมื่อ DNA ได้รับอันตราย ทำให้ DNA สรุณได้ทำการจำลองตัวเอง (replication) นำไปสู่การขยายพันธุ์ หรือการพยายามคงสิ่งมีชีวิต โดยปกติเซลล์บางชนิดทำหน้าที่ป้องกันไมเลกุล DNA จากอันตราย ซึ่งบริเวณที่มีแสงสีขาวอาจทำหน้าที่ในการป้องกัน DNA ดังนั้น Ag⁺ ซึ่งมีปฏิสัมพันธ์กับกลุ่ม thiol ในโปรตีนจึงจะเป็นสาเหตุของการยับยั้งการทำงานของโปรตีนในแบคทีเรีย



ภาพ 9 โครงสร้างภายในของเซลล์แบคทีเรีย *E. coli* (A-B) ก่อน และ (C-F) หลังมีการเติม Ag⁺



ภาพ 10 โครงสร้างภายในของเซลล์แบปคทีเรีย *S. aureus* (A-B) ก่อน และ (C-D) หลังมีการเติม Ag^+

ปี 2014 Abad AM, et al. [5] ศึกษาการเติมซิลเวอร์ในรูปแบบต่าง ๆ (ซิลเวอร์คอมพาวน์ด) กับ PLA โดยใช้การเที่ยมแบบหลอม (melt-compounding) เพื่อประยุกต์ใช้ในอุตสาหกรรมอาหาร ทั้งนี้ผู้วิจัยสนใจการเปลี่ยนสีของผลิตภัณฑ์ซึ่งเกิดจากการรีดิวช์ของซิลเวอร์โดยความร้อน ประสิทธิภาพในการต้านจุลชีพ และการลดออกซอนของซิลเวอร์จากผลิตภัณฑ์ ซึ่งซิลเวอร์ในงานวิจัยนี้จะเตรียมในหลายรูปแบบ ทั้งในรูปของเกลือซิลเวอร์ โดยการทำปฏิกิริยาของซิลเวอร์ “ไอโอนกับสารละลายเบสชนิดต่าง ๆ” ทั้งการใช้โซเดียมไบคาร์บอเนต โซเดียมฟอสเฟต ได้เป็นซิลเวอร์ไบคาร์บอเนต ซิลเวอร์ฟอสเฟต เป็นต้น นอกจากนี้ยังมีการเตรียมในรูปคิเดต เช่น การใช้เอทิลีนไดอะมีนเตตระอะซิติกแอซิด (EDTA) ร่วมกับพอลิเอทิลีนไกลคอลในการคิเดตร่วมกับซิลเวอร์ “ไอโอน (Ag -EDTA+PEG) และการใช้สารลดแรงตึงผิว เช่นโซเดียมಡีซิลซัลเฟต ($\text{Ag}_3\text{SO}_4+\text{SDS}$) ทำการผสมซิลเวอร์คอมพาวน์ดกับ PLA ในอัตราส่วน PLA:Ag compound = 99:1 wt% โดยใช้เครื่องบดผสมภายใน (brabender mixer) ที่อุณหภูมิ 135°C เป็นเวลา 3 นาที จากนั้นนำไปขึ้นรูปแบบกดอัดที่อุณหภูมิ 155°C เป็นเวลา 4 นาที ทดสอบสมบัติเชิงกลของชิ้นงานด้วยเครื่องทดสอบแรงดึง ทดสอบการเปลี่ยนสีของชิ้นงานด้วยเครื่องคอมพิวเตอร์

(chromameter) ทดสอบการหลุดของชิลเวอร์ออกจากชิ้นงานโดยจุ่มเข้าชิ้นงานในสารละลายซุปผักความเป็นกรดด่างเท่ากับ 6 เป็นเวลาต่าง ๆ กัน วัดปริมาณชิลเวอร์ที่หลุดออกโดยเครื่องโอล์แอนมิเตอร์ (stripping voltammeter)

จากผลการทดลองพบว่าชิ้นงานที่เตรียมจาก PLA ผสมร่วมกับชิลเวอร์คอมพาวน์ทุกสูตร (15 สูตร) มีสมบัติเชิงกล (ความทนต่อแรงดึง ความยืดหยุ่นสูง น้ำหนัก และมอคุลัตของยัง) ใกล้เคียงกับชิ้นงานที่เตรียมจาก PLA บริสุทธิ์ อย่างไรก็ตามฟิล์มที่ได้มีความทึบแสงเพิ่มขึ้น และมีการเปลี่ยนสีของผลิตภัณฑ์เกิดขึ้นโดยเฉพาะสีเขียวและสีเหลือง ทดสอบการหลุดของชิลเวอร์พบว่าชิลเวอร์คอมพาวน์ที่เตรียมในรูปของเกลือมีการหลุดออกอย่างมากใน 1-2 วันแรก (ประมาณ $70-275 \text{ ng/cm}^2$) และมีปริมาณน้อยลงตามลำดับ ยกเว้นสูตรที่มีการคีเดตพนกการหลุดออกของชิลเวอร์น้อยมากในวันแรก ($16-26 \text{ ng/cm}^2$) และไม่พบการหลุดออก/หลุดออกน้อยมาก หลังการทดสอบในวันที่ 2 ในขณะที่ชิลเวอร์คอมพาวน์ที่เตรียมโดยการเติมสารลดแรงตึงผิวพบการหลุดออกของชิลเวอร์ออกจากชิ้นงานมากที่สุด โดยพบการหลุดออกสูงถึง $2000-6500 \text{ ng/cm}^2$ ซึ่งค่าดังกล่าวมีค่าเกินกว่าเกณฑ์ควบคุมการหลุดออกของชิลเวอร์ในบรรจุภัณฑ์ที่เกี่ยวกับอาหารของสหภาพยุโรปที่กำหนดว่าต้องมีปริมาณชิลเวอร์หลุดออกจากผลิตภัณฑ์ได้ไม่เกิน 0.05 mg/kg ทั้งนี้ผู้วิจัยได้ร่วมกับวิศวกรรมชิลเวอร์อย่างช้า ๆ ในปริมาณที่เหมาะสม และไม่เกิน ข้อกำหนดมีข้อดีในการช่วยป้องกันการเจริญเติบโตของเชื้อร้ายของผลิตภัณฑ์ได้ดี อย่างไรก็ตามค่าการหลุดออกของชิลเวอร์ยังขึ้นอยู่กับอีกหลายปัจจัย เช่น ความเป็นกรดด่างของอาหาร และความชื้นของตัวอย่าง เป็นต้น

ปี 2016 Turalija M, et al. [25] ศึกษาการเตรียมฟิล์มต้านเชื้อจุลชีพจากพลาสติกที่มีอยู่หลายได้จากการหลุดออกของชิลเวอร์ (Ag) โดยทำการดัดแปลงพื้นผิวของฟิล์ม PLA จากนั้นจึงทำการเคลือบพื้นผิว PLA ด้วยชิลเวอร์โดยเครื่องพลาสม่าทดสอบประสิทธิภาพการต้านเชื้อแบคทีเรีย 4 ชนิด คือ *L. monocytogenes*, *S. aureus*, *S. typhimurium* และ *E. coli* ศึกษาสมบัติการหลุดออกของชิลเวอร์จากฟิล์ม PLA โดยแท้จริงฟิล์ม PLA/Ag ในอุตสาหกรรมเป็นเวลา 1 ชั่วโมง และในอาหารเลี้ยงเชื้อ เป็นเวลา 18 ชั่วโมง โดยใช้ ICP-OES จากรезультатทดลองพบว่า Ag ที่เคลือบอยู่บนพื้นผิว PLA มีปริมาณเริ่มต้นประมาณ $2.3 \mu\text{g}/\text{cm}^2$ หลังจากแท้จริงในอุตสาหกรรม และอาหารเลี้ยงเชื้อ พบร่วมน้ำปริมาณ Ag หลุดออกจากฟิล์ม PLA $2.0 \mu\text{g}/\text{cm}^2$ และ $0.17 \mu\text{g}/\text{cm}^2$ หรือคิดเป็น 87% และ 7.4% ตามลำดับ และเมื่อศึกษาประสิทธิภาพในการต้านเชื้อจุลชีพพบว่าฟิล์ม PLA/Ag สามารถฆ่าเชื้อแบคทีเรียทั้ง 4 ชนิดได้ 99.99%

ปี 2017 Li WR, et al. [50] ศึกษาเปรียบเทียบประสิทธิภาพการต้านเชื้อแบคทีเรีย ระหว่างซิลเวอร์ไอโอดิน (Ag^+) และอนุภาคซิลเวอร์นาโน 2 ชนิด โดยทดสอบกับเชื้อแบคทีเรีย 4 ชนิด ได้แก่ *E. coli*, *P. aeruginosa*, *S. aureus* และ *S. epidermidis* โดย Ag^+ จะเตรียมจากสารละลายซิลเวอร์ในเตرتต์ไนโตรฟูโนบิกาโนนิก (TGA) และอนุภาคซิลเวอร์นาโนชนิดที่ 1 (AgNPsI) และ 2 (AgNPsII) ต่างกันที่ขนาดอนุภาค คือ 5 nm และ 20 nm ตามลำดับ เตรียมความเข้มข้นของซิลเวอร์ทั้ง 3 ชนิด ที่ 0, 0.125, 0.25, 0.5, 1, 2, 4 และ 8 $\mu\text{g}/\text{mL}$ จากนั้นนำไปทดสอบกับเชื้อแบคทีเรีย พบร่วมความเข้มข้นต่ำสุดที่สามารถยับยั้งการเจริญเติบโตของแบคทีเรียแต่ละชนิดได้ (Minimum inhibitory concentrations, MICs) ของ Ag^+ AgNPs (I) และ AgNPs (II) สำหรับเชื้อ *E. coli* คือ 0.5, 1 และ 2 $\mu\text{g}/\text{mL}$ สำหรับเชื้อ *P. aeruginosa* คือ 1, 2 และ 8 $\mu\text{g}/\text{mL}$ สำหรับเชื้อ *S. aureus* คือ 1, 2 และ 4 $\mu\text{g}/\text{mL}$ และสำหรับเชื้อ *S. epidermidis* 1, 2 และ 2 $\mu\text{g}/\text{mL}$ ตามลำดับ จากผลการทดลองดังกล่าวแสดงให้เห็นว่าซิลเวอร์ไอโอดินมีประสิทธิภาพในการยับยั้งการเจริญเติบโตได้กว่าอนุภาคซิลเวอร์นาโน ทั้งนี้อาจเนื่องมาจากอนุภาคซิลเวอร์นาโนต้องแตกตัวเป็นซิลเวอร์ไอโอดินก่อนจึงจะสามารถเริ่มเกิดกลไกการต้านเชื้อ

นอกจากนี้ยังศึกษาการนำซิลเวอร์ทั้ง 3 ชนิดที่ความเข้มข้น 2 $\mu\text{g}/\text{mL}$ มาปะร่วงกับเชื้อแบคทีเรียทั้ง 5 ชนิดเป็นเวลา 5 ชั่วโมง ศึกษาสัณฐานวิทยาของแบคทีเรียเทียบกับแบคทีเรียที่ไม่ได้ปะร่วงกับซิลเวอร์ พบร่วมผนังเซลล์แบคทีเรียของเกิดความเสียหายอย่างรุนแรง โดยเกิดช่องว่างขึ้นหลายจุดบนพื้นผิวของเซลล์ โดยเซลล์ที่สัมผัสถูก Ag^+ เกิดความเสียหายมากกว่าเซลล์ที่สัมผัสถูกอนุภาคซิลเวอร์นาโน ซึ่งช่องว่างที่เกิดขึ้นดังกล่าวส่งผลให้เกิดการร้าวไหลของไฮโดรเจนโซลูทีฟ และสารเมคโคโรไมเลกูลอิกน้ำที่ทำให้เซลล์ตาย ดังนั้นจึงอาจสรุปได้ว่าซิลเวอร์ไอโอดินสามารถยับยั้งเชื้อแบคทีเรียได้ดีกว่าอนุภาคซิลเวอร์นาโน

ประสิทธิภาพในการดูดซับโลหะหนักของอะครีلامิโดเมทิลโพเรนชัลฟอนิกแอซิด

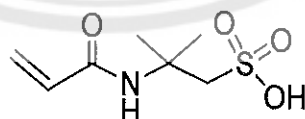
อะครีلامิโดเมทิลโพเรนชัลฟอนิกแอซิด (ภาพ 11) เป็นมอนโอมอร์ที่ร่วงไวในการเกิดปฏิกิริยา มีสมบัติชอบน้ำ (hydrophilic) สามารถย่อยสลายได้ และเนื่องจากมอนโอมอร์ชนิดนี้ มีหมู่ฟังก์ชันชัลฟอนิกแอซิด (SO_3H) ซึ่งมีความเป็นกรดที่แรง ทำให้สามารถแสดงประจุลบได้ในช่วง pH ที่กว้าง [7] การที่พอลิ 2-อะครีلامิโด-2-เมทิล-1-โพเรนชัลฟอนิกแอซิด (PAMPS) สามารถดูดซับน้ำได้อย่างง่ายดาย และรวดเร็ว ส่งผลต่อสมบัติของ PAMPS ทำให้ PAMPS มีความสามารถในการดูดซึมน้ำสูง จึงนิยมนำ PAMPS มาใช้ในรูปของพอลิเมอร์ประจุลบ เช่น การใช้งานที่เกี่ยวข้องกับการบำบัดน้ำเสีย [51] การทำเป็นไช่โดยเจล และเมมเบรน [52] เป็นต้น

ทั้งนี้หมุนฟังก์ชันชัลฟอนิกแอคติวของ PAMPS เมื่อจับกับไอโอนของโลหะหนัก อาจจับกันโดยพันธะไอโอนิก (Ionic bind) หรืออันตรกิริยาอิเล็กโทรสแตติก (Electrostatic interaction) ซึ่งต่างก็เป็นพันธะที่แข็งแรง หรืออาจเกิดการแลกเปลี่ยนไอโอนกับโลหะหนักก็ได้ โดยจะเปลี่ยนจากหมุนฟอนิกแอคติว ($R-SO_3H$) เป็นหมุนฟ์เนต ($R-SO_3^-$) จากนั้นจะเกิดการจับกับตัวเอนไซม์ไอโอนของโลหะหนักซึ่งมีประจุบวก ซึ่งในงานวิจัยนี้สนใจในการจับกับตัวเอนไซม์ไอโอน ทำให้ชิลเวอร์ไอโอนสามารถคงอยู่ในบรรจุภัณฑ์ไม่หลุดออกໄไปได้โดยง่าย

จากการวิจัยของ Cavus S, et al. [7] กล่าวว่าประสิทธิภาพในการจับกับโลหะหนักขึ้นอยู่กับวัสดุดูดซับ (sorbent material) และสมบัติของไอโอนโลหะหนัก เช่น

1. ความเป็นกรดแก่ และกรดอ่อนของหมุนฟังก์ชันก์ของวัสดุที่ใช้ดูดซับ เช่น SO_3H มีความเป็นกรดที่แรงกว่า $-COOH$
2. ลักษณะของวัสดุดูดซับ เช่น ความเป็นรูป蹲 การบรวมหัวเมื่ออยู่ในสารละลาย
3. จำนวนประจุไอโอนของโลหะมากจะถูกจับได้ดีกว่า เช่น Cu^{2+} จะถูกจับได้มากกว่า Ag^+
4. โลหะหนักที่มีเลขอะตอมมากจะถูกจับได้ดีกว่า เช่น Cu มีเลขอะตอมที่ 29 จะถูกจับได้มากกว่า Fe ที่มีเลขอะตอม 26
5. ขนาดรัศมีไอโอนของโลหะถูกจับได้ดีกว่า เช่น Fe^{2+} มีรัศมีไอโอน 0.77 \AA จะถูกจับได้มากกว่า Ni^{2+} ซึ่งมีรัศมีไอโอน 0.69 \AA

อย่างไรก็ตามประสิทธิภาพในการจับไอโอนของโลหะหนักอาจไม่เป็นไปตามข้อกำหนดทั้งนี้ยังขึ้นกับปัจจัยอื่น ๆ ที่เกี่ยวข้อง เช่น ค่าความเป็นกรด-ด่าง (pH) ปริมาณความเข้มข้นเริ่มต้นของโลหะหนัก และสิ่งสกปรกเจือปน เป็นต้น



ภาพ 11 โครงสร้างอะครีลามิโดเมทิลฟอร์เพนชัลฟอนิกแอคติว

บทที่ 3

วิธีดำเนินการวิจัย

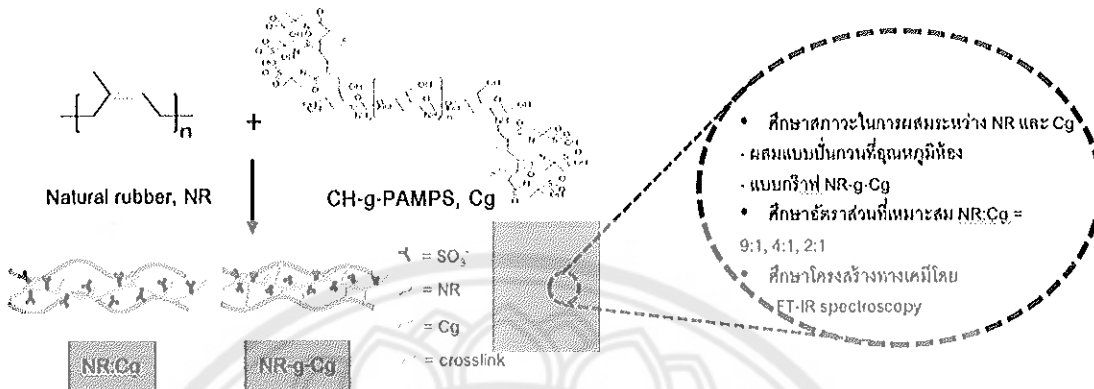
งานวิจัยนี้สนใจเตรียมพิล์มบรรจุภัณฑ์สำหรับอาหารแบบแอดค์ทีฟที่มีสมบัติในการต้านเชื้อจุลชีพ ที่ผลิตจากวัตถุดิบที่เป็นมิตรกับสิ่งแวดล้อม ซึ่งประกอบด้วยพอลิแลคติกแอซิด ย่างธรรมชาติ และไคโตซานดัดแปลง-ซิลเวอร์คอมเพล็กซ์ ทั้งนี้ได้เปลี่ยนตอนในการเตรียม และการทดสอบ ดังนี้

1. ใช้เคราะห์ไคโตซานกราฟ 2-อะคริลามิได-2-เมทิโอล-1-โพเพนชัลฟีนิคแอซิด (Cg)
2. เตรียมพอลิเมอร์สมรรถนะว่าง่ายยางธรรมชาติ และไคโตซานดัดแปลง ตามเทคนิค และอัตราส่วนที่กำหนด (NR:Cg)
3. ศึกษาการจับ (adsorption) ซิลเวอร์ไอโอดินความเข้มข้นต่าง ๆ กันของพอลิเมอร์สมรรถนะ
4. เตรียมเม็ดพลาสติกคอมพาวน์ระหว่างพอลิแลคติกแอซิดและย่างธรรมชาติผสมร่วมกับไคโตซานดัดแปลง (PLA/NR:Cg) ที่มีปริมาณซิลเวอร์ไอโอนต่าง ๆ กัน ในอัตราส่วนที่กำหนด
5. การเตรียมพิล์ม และชีบงานสำหรับทดสอบการทนต่อแรงกระแทก
6. ศึกษาโครงสร้างทางเคมี สมบัติทางกายภาพ และสมบัติเชิงกลของพิล์มพอลิเมอร์
7. ศึกษาการหลุดของซิลเวอร์ไอโอนจากชีบงาน เมื่อแช่สารละลาย pH 3 และ pH 7 เป็นเวลาต่าง ๆ กัน
8. ศึกษาสมบัติการต้านเชื้อจุลชีพของพิล์มพอลิเมอร์สมรรถนะแบบที่เรียก 5 สายพันธุ์
ได้แก่ *E. coli*, *S. typhimurium*, *B. cereus*, *S. aureus* และ *P. fluorescens*
9. ศึกษาการใช้งานผลิตภัณฑ์ต้านเชื้อจุลชีพเบื้องต้น

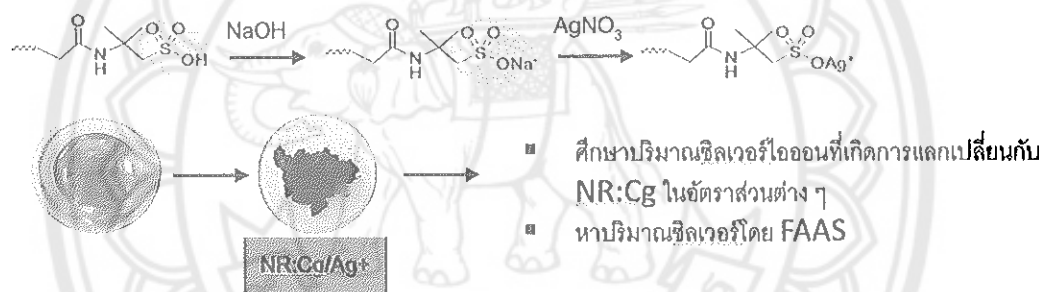
โดยขั้นตอนการเตรียมพิล์มบรรจุภัณฑ์สำหรับอาหารแบบแอดค์ทีฟที่มีสมบัติในการต้านเชื้อจุลชีพจากพอลิแลคติกแอซิด ย่างธรรมชาติ และไคโตซานดัดแปลง-ซิลเวอร์คอมเพล็กซ์ แสดงดังแผนภาพดังนี้

ฟิล์มบรรจุภัณฑ์สำหรับอาหารแบบแอคทีฟ

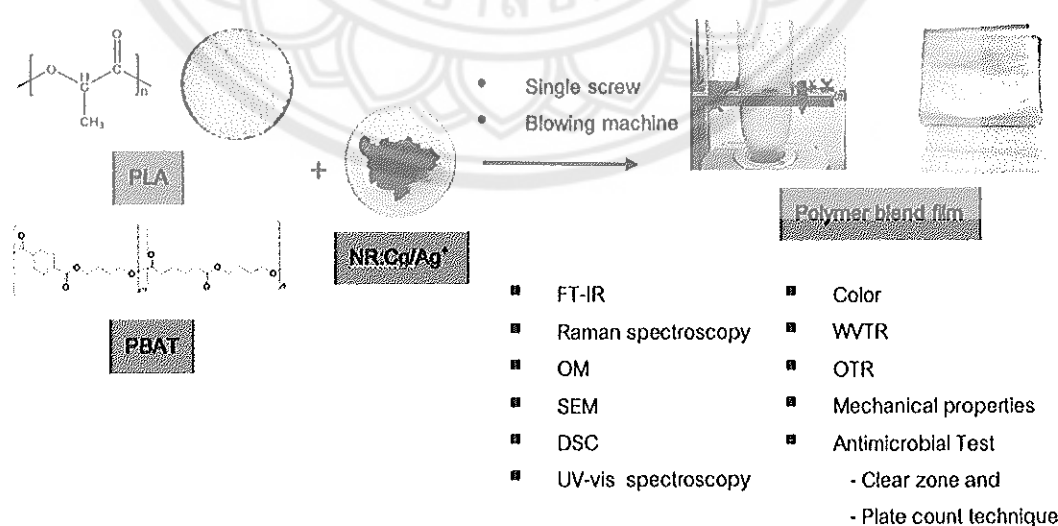
1. การเตรียมพอลิเมอร์สมรรถนะว่างยางธรรมชาติ และไคโตไซน์ดัดแปลง



2. การเตรียมการรุดขับชิลเวอร์ไอโอดินของพอลิเมอร์สมรรถนะว่างยางธรรมชาติ และไคโตไซน์ดัดแปลง



3. การเตรียมพอลิเมอร์คอมโพสิต ฟิล์มระหว่าง PLA และ PBAT และยางธรรมชาติผสมไคโตไซน์ดัดแปลงที่มีชิลเวอร์ไอโอดินในอัตราส่วนต่าง ๆ



ภาพ 12 ภาพรวมงานวิจัยในการเตรียมฟิล์มบรรจุภัณฑ์สำหรับอาหารแบบแอคทีฟ

เครื่องมือที่ใช้ในการวิจัย

1. ขวดก้นกลม 3 คอ (3-neck round bottom flask) ขนาด 1,000 mL
2. บีกเกอร์ (Beaker) ขนาด 100, 250, 600 และ 2000 mL
3. กระบอกตวง (Cylinder) ขนาด 10, 50, 250 และ 500 mL
4. ไมโครปิเพ็ต (Micropipette)
5. เม็กเนติกบาร์ (Magnetic bar)
6. เครื่องซั่งละเอียด 4 ตำแหน่ง; ST-234, Denver instrument
7. เครื่องซั่งละเอียด 2 ตำแหน่ง; TP-2102, Denver instrument
8. เครื่องกวานสารละลายแบบใช้มอเตอร์; RCT basic, KIA
9. เครื่องให้ความร้อนพร้อมกวนสารละลาย; RW 20 digital, ARL labortechnik
10. ตู้อบความร้อน (Hot Air Oven); Binder
11. เครื่องวัดการดูดกลืนแสงของอะตอม (Atomic absorption spectrometer, AAS); Analyst 200, Perkin Elmer
12. เครื่องอัดวิดแบบเกลียวหนอนเดี่ยว (Single screw extruder); LTE16-40 FAC, Labtech Engineering Co., Ltd.
13. เครื่องเป่าฟิล์มขนาดเล็ก (Blow film machine, BFM); LF-250, Labtech Engineering Co., Ltd.
14. เครื่องตัดเม็ดพลาสติก; LZ-80, Labtech Engineering Co., Ltd.
15. เทอร์นีย คัลลิปเปอร์ (Vernier Caliper); 110-DBL series, Tonan asia autotech Co., Ltd.
16. เครื่องฉีดเม็ดพลาสติก (Injection machine); C.B.N. Engineering Co., Ltd.
17. เครื่องทดสอบแรงกระแทก (Impact tester); XC-22Z,
18. เครื่องทดสอบการหนต์แรงดึง; 5965, Instron Universal
19. เครื่องฟูร์เรอร์ทرانฟอร์ม อินฟราเรดスペกไทร์มิเตอร์ (Fourier transform infrared spectrometer, FT-IR); system 2000, Perkin Elmer
20. เครื่องรaman สเปกไทร์มิเตอร์ (Raman spectrometer); UM-Labspec6/EU, Horiba scientific
21. กล้องจุลทรรศน์แบบใช้แสง (Optical microscope, OM); SZ2-ILST T5 SN 1D02459, Olympus microscope digital camera

22. กล้องจุลทรรศน์อิเล็กตรอนแบบส่องกราด (Scanning electron microscope, SEM); Leo1455VP, Carl Zeiss
23. เครื่องดิฟเพอร์เรนเซียลสแกนนิ่งแคลอริมิเตอร์ (Differential scanning calorimeter, DSC); TGA/DSC1 STAR[®] system, Mettler Toledo
24. เครื่องวัดค่าการดูดกลืนแสง (UV/VIS spectrophotometer); SPECORD 200 plus S/N 2232006C, Lab connection
25. เครื่องวัดสี และวัดความสั่งของฟิล์ม (Colorimetric); Color reader CR-20, Konica Minolta
26. โถดูดความชื้น (Desiccator)

สารเคมี

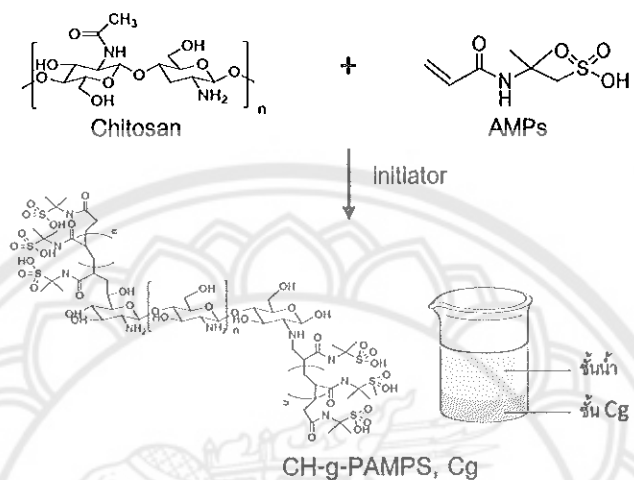
1. ไคโตซานปู (Crab chitosan 98% deacetylation, $\overline{M_n} 1.4 \times 10^5$ g/mol); Taming Enterprise Co., Ltd.
2. น้ำยางขั้นชนิดแอมโมเนียสูง (60% DRC, High ammonia concentrated natural rubber latex, HANR); TTN Rubber Co., Ltd.
3. พอลิแลคติกแอซิด (Poly (lactic acid), PLA); 4043 D grade (biaxial oriented film), Nature works Co., Ltd
4. พอลิบิวทิลีนอะดิเปต-โค-เทเรฟทาเรท (Polybutylene adipate-co-terephthalate, PBAT); Ecoflex F blend C1200 grade, Unic technology (Thailand) Co., Ltd.
5. เทอโรจิก (Poly (ethylene oxide fatty alcohol), hexadecyl ether, Teric); Commercial grade, East Asiatic (Thailand) Plublic Co., Ltd.
6. กรดอะซิติก (Acetic acid, CH₃COOH); Analytical reagent grade, Acros
7. 2-อะไครามิโด-2-เมทิล-1-โพรูเคน ซัลฟonic acid (2-Acrylamido-2-methyl-1-propane sulfonic acid, AMPs); Analytical reagent grade, Sigma-Aldeich
8. ซัลฟูริกแอซิด (98% Sulfuric acid, H₂SO₄); Analytical reagent grade, Garlo erba reagent
9. กซูโคส (D (+) Glucose anhydrous); Analytical reagent grade, Carlo erba reagent
10. แอมโมเนียเชี่ยว (IV) ไนเตรต (Ammonia cerium (IV) nitrate, NH₄)₂Ce (NO₃)₆); Analytical reagent grade, Across organics

11. โพแทสเซียมเพอร์ซัลฟेट (Potassium persulfate, $K_2S_2O_8$); Analytical reagent grade, Carlo erba reagent
12. ซิลเวอร์ไนเตรท (Silver nitrate, $AgNO_3$); Analytical reagent grade, RCI Lab scan Co., Ltd.
13. กรดไนต์ริก (Nitric acid, HNO_3); Analytical reagent grade, Acros
14. แคลเซียมคลอไรด์ (Calcium chloride, $CaCl_2$); Analytical reagent grade, Carlo erba reagent
15. โพแทสเซียมไฮดรอกไซด์ (Potassium hydroxide, KOH); Analytical reagent grade, Carlo erba reagent
16. แก๊สไนโตรเจนบิรุษทธิ์สูง (Gas Nitrogen); HP grade, บริษัททรายทอง จำกัด มหาชน

วิธีการดำเนินการวิจัย

1. สังเคราะห์โคโตชาน-กร้าฟ์-พอลิ 2-อะไครามิโด-2-เมทิล-1-โพเรนชัลฟอนิค แอคทีด (โคโตชานดัดแปลง) ($CH-g-PAMPS, Cg$)
เตรียมสารละลายโคโตชานความเข้มข้น 2 %w/v (โคโตชาน 8 g ในสารละลาย 2% กรดอะซิติก 400 mL) บีบกวนอย่างต่อเนื่องเป็นเวลา 24 ชั่วโมง จนโคโตชานละลายเป็นสารละลาย เนื้อดีย์กัน เทสารละลายโคโตชานลงในขวดก้นกลมแบบ 3 คอ จากนั้นเติมสารละลายมอนومอร์ ลงไป (AMPS 10.2882 g ในตัวท่อน้ำ 15 mL คิดเป็น 1.0 เท่าต่อโมลของโคโตชาน) บีบกวนให้เข้ากันเป็นเวลา 1 ชั่วโมง เมื่อครบกำหนดเติมกรดชัลฟิวริกเข้มข้นลงไป 2.25 mL (0.5 %v/v) บีบกวนให้เข้ากันเป็นเวลา 15 นาที ปรับระบบให้อุ่นภูมิให้บรรยายกาศในไตรเจน จากนั้นค่อย ๆ เติมสารละลายของสารริเริ่มปฏิกิริยาด้วยเข็มฉีดยา (syringe) ตามลำดับขั้นที่กำหนด (น้ำตาลกูลูโคส 0.2234 g คิดเป็น 0.025 เท่าต่อโมลของโคโตชาน แอมโมเนียมชีเรียม (IV) ในเดรต 0.6796 g คิดเป็น 0.025 เท่าต่อโมลของโคโตชาน และโพแทสเซียมเพอร์ซัลฟेट 0.3352 g คิดเป็น 0.025 เท่าต่อโมลของโคโตชาน) บีบกวนสารละลายทั้งหมดให้เข้ากันที่อุณหภูมิห้องเป็นเวลา 30 นาที ปรับเพิ่มอุณหภูมิเป็น 50 °C บีบกวนต่อเป็นเวลา 5 ชั่วโมง (ภาพ 13) เมื่อสิ้นสุดปฏิกิริยาแบ่งโคโตชานดัดแปลงส่วนหนึ่งออก เพื่อนำไปวิเคราะห์โครงสร้างทางเคมี โดยนำส่วนดังกล่าวไปอบให้แห้งที่อุณหภูมิ 50 °C เป็นเวลา 24 ชั่วโมง จากนั้นนำขึ้นงานที่ได้มาล้างด้วยน้ำ以便ลดการรักษาเพื่อล้างมอนอมอร์/ไนโตรเจนที่ติดตัวอยู่ในชิ้นงานออก ล้างด้วยน้ำก่อนนำไปอบให้แห้งที่อุณหภูมิ 50 °C เป็นเวลา 24 ชั่วโมง วิเคราะห์โครงสร้างทางเคมีของ

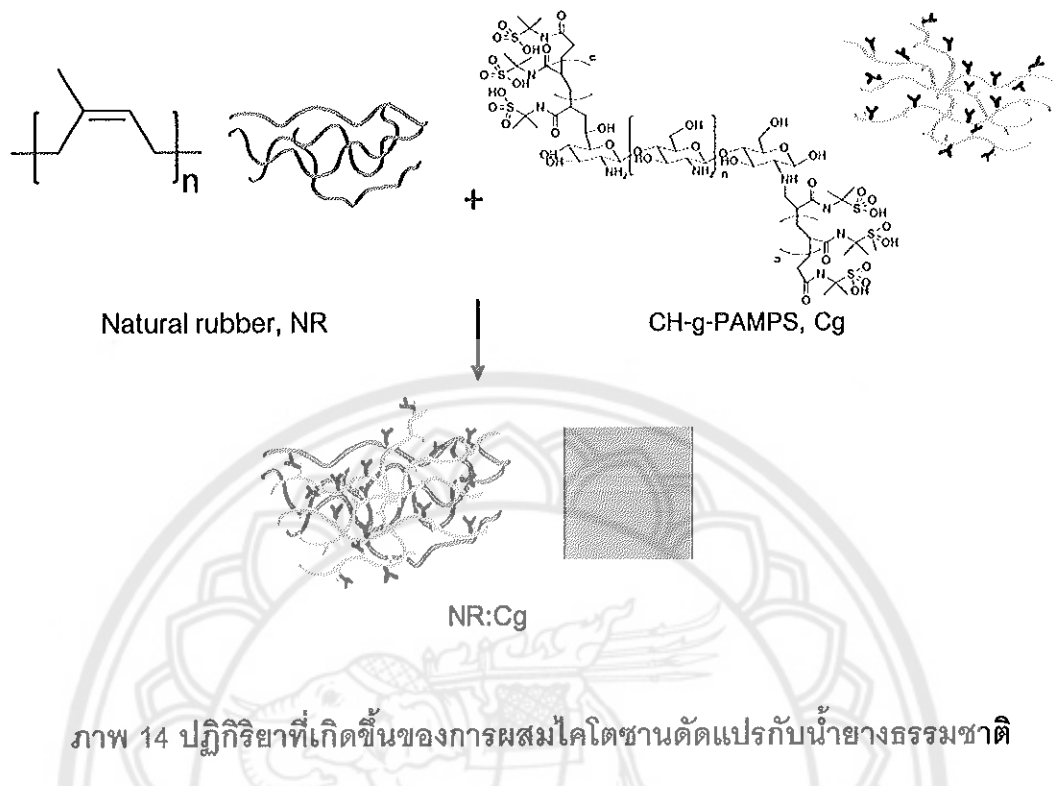
ไคโตซานดัดแปรที่เตรียมได้ด้วยเทคนิค ATR-IR spectroscopy ในขณะที่ไคโตซานดัดแปรส่วนที่เหลือนำไปปั่นเรียงเพื่อแยกน้ำ นำสารแขวนลอยที่ได้ไปผสมร่วมกับน้ำยาหง蓉ชาติที่เตรียมไว้ต่อไป



ภาพ 13 ปฏิกิริยาที่เกิดขึ้นของไคโตซาน-กร้าฟ-พอลิ 2-อะไครลามิโด-2-เมทิล-1-โพรเพนชัลไฟนิคแอเซต

2. การเตรียมพอลิเมอร์สมรรถห่วงยางธรรมชาติและไคโตซานดัดแปร (NR:Cg, NC)

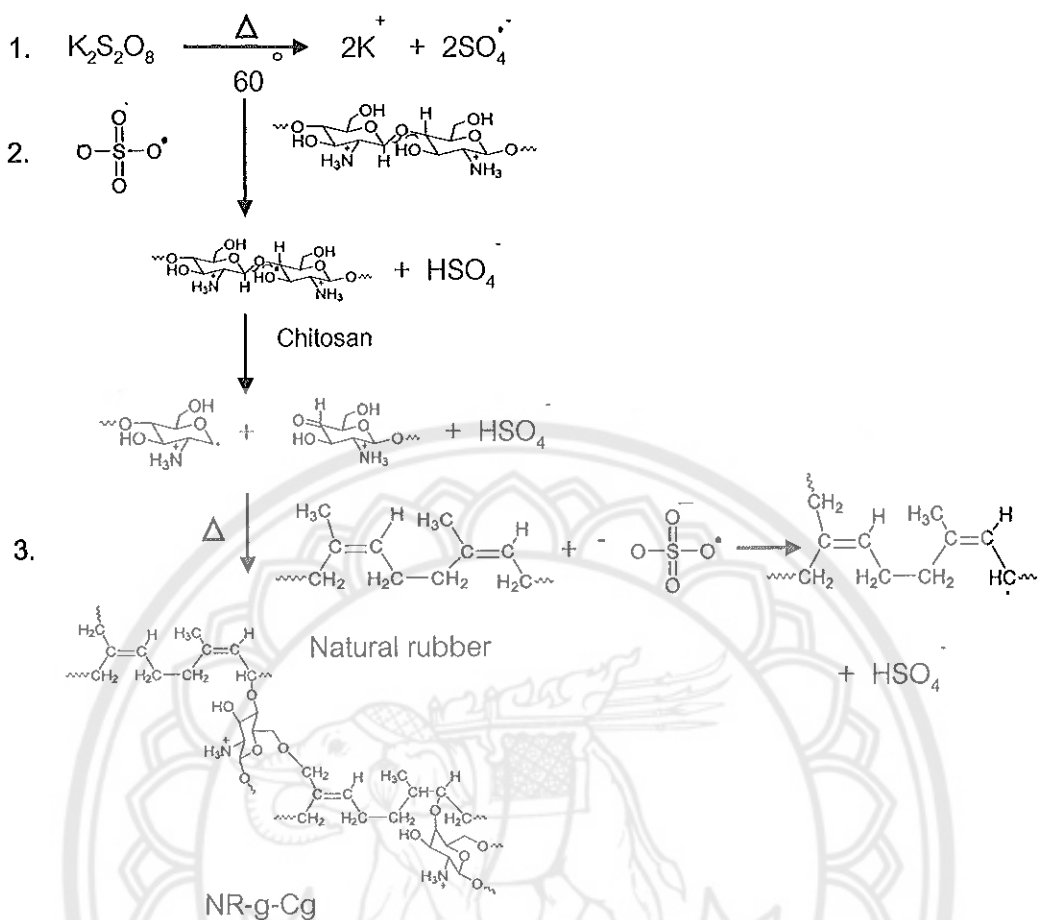
เตรียมพอลิเมอร์สมรรถห่วงยางธรรมชาติที่เพิ่มเสถียรภาพด้วยสารลดแรงดึงผิว (เทอริก 4% w/w) ร่วมกับไคโตซานดัดแปรที่ได้จากข้อ 1 (ภาพ 14) ในอัตราส่วนน้ำยาหง蓉ชาติต่อไคโตซานดัดแปร คือ 9:1 4:1 และ 2:1 w/w ตามลำดับ ปั่นกวนอย่างต่อเนื่องเป็นเวลา 1 ชั่วโมง จากนั้นเทลงเพลต ทิ้งให้แห้งใน Hood นำมาล้างด้วยน้ำประปาหลาย ๆ ครั้งเพื่อกำจัดไขมีพอลิเมอร์ออกจากชิ้นงาน นำไปอบที่อุณหภูมิ 50°C จนชิ้นงานแห้ง วิเคราะห์โครงสร้างทางเคมีของพอลิเมอร์ผ่านที่เตรียมได้โดยเทคนิค ATR-IR spectroscopy จากนั้นนำพอลิเมอร์สมรรถห่วงยางธรรมชาติที่เหลือไปใช้ในขั้นตอนต่อไป



ภาพ 14 ปฏิกิริยาที่เกิดขึ้นของการผสมไคโตซานดัดแปรงกับน้ำยากรองชาติ

3. การเตรียมยางธรรมชาติก้ำฟ์ไคโตซานดัดแปรง (NR-g-Cg, NgC)

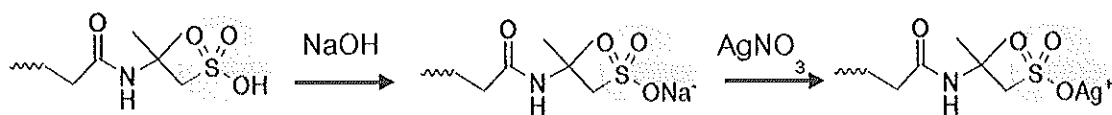
เตรียมยางธรรมชาติก้ำฟ์ไคโตซานดัดแปรง โดยเริ่มจากนำไคโตซานดัดแปรงที่ได้จากข้อ 1 เทลงในขวดกันกลม 3 คอด ให้ความร้อนที่อุณหภูมิ 60 °C เติมด้วยเริ่มปฏิกิริยา $K_2S_2O_8$ (0.025 เท่าของมอลไคโตซาน) ภายใต้บخارยาการสีในโตรเรนเป็นเวลา 1 ชั่วโมง หลังจากนั้นค่อยๆ หยดน้ำยากรองชาติที่เพิ่มเติมรากพดด้วยสารลดแรงตึงผิว (เทอริก 4 %w/w) ลงในสารละลายนไคโตซานดัดแปรงในอัตราส่วนน้ำยากรองชาติต่อไคโตซานดัดแปรง คือ 4:1 w/w ปั่นกวนอย่างต่อเนื่องเป็นเวลา 3 ชั่วโมง เมื่อครบกำหนดเวลาเทลงเพลตทึ้งให้แห้งใน Hood จากนั้นนำมาล้างด้วยน้ำประปาหลายๆ ครั้งเพื่อกำจัดโซโนโพลิเมอร์ออกจากชิ้นงานนำไปอบที่อุณหภูมิ 50 °C จนชิ้นงานแห้ง ปฏิกิริยาที่คาดว่าจะเกิดขึ้น แสดงดังภาพ 15



ภาพ 15 ปฏิกิริยาที่คาดว่าจะเกิดขึ้นของยางธรรมชาติกร้าฟ์ไคโตซานดัดเปร [53]

4. การเตรียมการดูดซับชีลเวอร์ไอกอونของพอลิเมอร์สมรรถห่วงยางธรรมชาติและไคโตซานดัดเปร ($NC-Ag^+$)

นำแผ่นพอลิเมอร์สมที่เตรียมได้จากข้อ 2 และ 3 มาแข็งในน้ำเป็นเวลา 2 วัน เพื่อให้ชั้นงานเกิดการบวมตัว จากนั้นนำมาแข็งในสารละลายเบส (2% โซเดียมไฮดรอกไซด์) เพื่อเปลี่ยนหมู่กรดชัลโฟนิก (SO_3H) เป็นหมู่ชัลโฟเนต (SO_3^-) เป็นเวลา 1 วัน ล้างชั้นงานด้วยน้ำปราศจากไอกอุน เพื่อกำจัดสารละลายเบส นำชั้นงานที่ได้แข็งในสารละลายชีลเวอร์ใน terrestrial: กรดในตริก 95:5 เพื่อบังกับการเกิดปฏิกิริยาที่ดักชันของชีลเวอร์เป็นเวลา 3 ชั่วโมง หลังสิ้นสุดปฏิกิริยานำสารละลายได้ไปหาปริมาณ Ag^+ ที่ถูกจับโดยชั้นงานด้วยเครื่อง FAAS



ภาพ 16 ขั้นตอนการดูดซับชีลเวอร์ไอโอนของพอลิเมอร์สม

5. การเตรียมพอลิเมอร์คอมพาวน์ระหว่างพอลิแลคติกแอซิดและยางธรรมชาติผสมไคลโ陶ดดี้แปรที่มีชีลเวอร์ไอโอนในอัตราส่วนต่าง ๆ (PNC-Ag)

เตรียมพอลิเมอร์คอมพาวน์ระหว่างพอลิแลคติกแอซิดกับยางธรรมชาติผสมกับไคลโ陶ดดี้แปรที่มีชีลเวอร์ไอโอนในอัตราส่วนต่าง ๆ นอกจากนี้ยังศึกษาผลของการเติมสารเพิ่มความเนียนยว (Polybutylene adipate terephthalate, PBAT) ต่อสมบัติในด้านต่าง ๆ ของพิล์มบรรจุภัณฑ์ ทั้งในการเตรียมพอลิเมอร์คอมพาวน์ด้วยเครื่องขัดรีดเกลี่ยวนบนเดียว (Single screw) จำนวน 2 รอบ โดยผสมด้วยอัตราเร็ว 50 รอบต่อนาที โดยใช้ช่วงอุณหภูมิตั้งแต่ zone 1-zone 4 165-175 °C (ตาราง 3) อัตราส่วนสารเคมีที่ใช้ดังแสดงใน ตาราง 2

ตาราง 2 อัตราส่วนสารเคมีที่ใช้ในการเตรียมพิล์มพอลิเมอร์สม

ตัวอย่าง	PLA (wt%)	NR:Cg (wt%)			PBAT (wt%)	Ag^+ (%)
		9:1	4:1	2:1		
PLA	100	-	-	-	-	-
P-NC1	80	20	-	-	-	-
P-NC2	80	-	20	-	-	-
P-NC3	80	-	-	20	-	-
P-NC2-Ag1	80	-	20	-	-	0.17
P-NC2-Ag2	80	-	20	-	-	0.29
P-NC2-Ag3 ^{1,2}	80	-	20	-	-	0.82
P-NC2-Ag4 ^{1,2}	80	-	20	-	-	1.50
PB-NC1	70	-	20	-	10	-
PB-NC2	65	-	20	-	15	-
PB-NC3	60	-	20	-	20	-
PB-NC2-Ag3	65	-	20	-	15	0.82

หมายเหตุ: ¹ หมายถึง การใช้ยางธรรมชาติผสมร่วมกับไคโตซานด้ด้ตามข้อ 2 ในการเตรียมฟิล์มพอลิเมอร์ผสม

² หมายถึง การใช้ยางธรรมชาติก้าฟไคโตซานด้ด้ตามข้อ 3 ในการเตรียมฟิล์มพอลิเมอร์ผสม

ตาราง 3 อุณหภูมิที่ใช้ในการผสมด้วยเครื่องอัตโนมัติแบบเกลียวหนอนเดี่ยว

Barrel temperature (°C)			
Zone 1	Zone 2	Zone 3	Zone 4
165	170	170	175

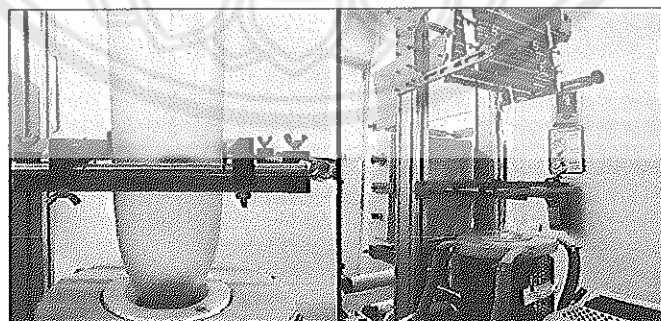
หมายเหตุ: 1 หมายถึง จุดป้อนเม็ดพลาสติก

2 หมายถึง หัวด้าย (die)

6. การเตรียมฟิล์ม และชั้นงานทดสอบการทำงานต่อแรงกระแทก

6.1 การเตรียมฟิล์มพอลิเมอร์ผสมโดยการเป่าขึ้นรูป

นำเม็ดพอลิเมอร์ผสมคอมพาวน์ที่เตรียมได้จากข้อ 5 มาทำการขึ้นรูปเป็นถุงโดยการเป่าด้วยเครื่องเป่าฟิล์ม (Blow film machine) (ภาพ 17) ด้วยอัตราเร็ว 80 รอบต่อนาที โดยใช้ช่วงอุณหภูมิตั้งแต่ zone 1-zone 6 160-175 °C แสดงดังตาราง 4



ภาพ 17 การขึ้นรูปพอลิเมอร์ผสมด้วยเครื่องเป่าขึ้นรูป (Blowing machine)

ตาราง 4 อุณหภูมิที่ใช้ในการเป้าพิล์มของของน่าเรอลในเครื่องอัดรีดแบบเกลียวบนอนเดี่ยวของพอลิเมอร์สม

Barrel temperature (°C)					
Zone 1	Zone 2	Zone 3	Zone 4	Zone 5	Zone 6
160	170	170	175	170	170

หมายเหตุ: 1 หมายถึง จุดป้อนแม่ดพลาสติก

2 หมายถึง หัวตาย (die)

6.2 การเตรียมชิ้นงานพอลิเมอร์สมโดยเครื่องฉีดพลาสติก

ในการเตรียมชิ้นงานสำหรับทดสอบการทนต่อแรงกระแทก เตรียมโดยนำเม็ดพอลิเมอร์คอมพาวน์ที่เตรียมได้ขึ้น 5 ชิ้นรูปด้วยเครื่องฉีดพลาสติก โดยมีอุณหภูมิในส่วนฉีด 175 °C และมีอุณหภูมิในส่วนอุณหภูมิแม่พิมพ์ 80 °C

7. วิเคราะห์โครงสร้างทางเคมี สมบัติทางกายภาพ และสมบัติเชิงกลของพิล์มพอลิเมอร์

7.1 วิเคราะห์โครงสร้างทางเคมีด้วยเครื่องฟูริเออร์รานฟอร์ม อินฟราเรดスペกโตรมิเตอร์ (Fourier infrared spectrometer, IR)

ศึกษาโครงสร้างทางเคมีของยางธรรมชาติ ไคล็อกาน และไคโตซานด้วยเครื่องอินฟราเรดスペกโตรฟูริเอเตอร์ บริษัท Perkin Elmer รุ่น Spectrum GX โดยเตรียมชิ้นงานให้เป็นแผ่นเรียบ ทำการวิเคราะห์ใน模式 Attenuated total reflection Infrared Spectrometry (ATR-IR) ด้วยความยาวคลื่นระหว่าง 400–4000 cm⁻¹

7.2 วิเคราะห์โครงสร้างทางเคมีด้วยเครื่องรามานสเปกโตรมิเตอร์ (Raman spectrometer)

ศึกษาโครงสร้างทางเคมีของพิล์มพอลิเมอร์สมด้วยเครื่องรามานสเปกโตรมิเตอร์ บริษัท Horiba scientific รุ่น UM-Labspec6/EU ใน模式 Surface enhanced raman spectroscopy (SERS) โดยทำการตัดตัวอย่างขนาด 2x3 cm² วางบนแผ่นไสเด็ต จากนั้นทำการตรวจวัดโดยใช้แหล่งกำเนิดแสงเลเซอร์ 638 nm ความยาวคลื่น 200–3500 nm

7.3 การวิเคราะห์ความเข้มข้นของซิลเวอร์ ด้วยเครื่องอะตอมมิกแอนบอซอร์พชันสเปกโตรมิเตอร์ (Atomic absorption spectrometer, AAS)

เตรียมสารละลายน้ำตรารูนของซิลเวอร์ 6 ความเข้มข้น คือ 0.02, 0.06, 0.10, 0.40, 0.80 และ 1.00 ppm ปริมาตร 50 mL ด้วยน้ำประศจากไอก้อน เพื่อใช้ในการสร้างกราฟ มาตรฐานของซิลเวอร์ นำสารละลายน้ำไปวัดค่าการดูดกลืนแสงด้วยเครื่อง FAAS ด้วยความยาวคลื่น 328.07 nm

7.4 วิเคราะห์สัณฐานวิทยาด้วยกล้องจุลทรรศน์ (Optical microscope, OM)

ศึกษาสภาพพื้นผิวของชิ้นงาน และขนาดของอนุภาคไคโตซานด้วยไมโครไพล์ บนกล้องจุลทรรศน์แบบใช้แสง บริษัท Olympus microscope digital camera รุ่น SZ2-ILST T5 SN 1D02459 ที่กำลังขยาย 1 เท่า

7.5 วิเคราะห์สัณฐานวิทยาด้วยกล้องจุลทรรศน์อิเล็กtronแบบส่องกราด (Scanning electron microscope, SEM)

ศึกษาสัณฐานวิทยาของพอลิเมอร์ผสมและฟิล์มพอลิเมอร์ผสมที่เตรียมได้ด้วย เครื่องจุลทรรศน์อิเล็กtronแบบส่องกราด รุ่น Leo1455VP โดยมีแหล่งกำเนิดอิเล็กtronแบบ Thermionic Emission ศักย์แรงอิเล็กtron 20 kV ทั้งนี้การตรวจสอบสัณฐานวิทยา 2 ส่วน คือ ส่วนคอมพาวน์ และส่วนของฟิล์ม โดยตัวอย่างส่วนคอมพาวน์เป็นการเก็บในขันตอนสุดท้ายของการผสมด้วยเครื่องอัดรีดแบบเกลียวบนเดี่ยว โดยจะเก็บชิ้นงานในลักษณะเส้น ทำการจุ่มน้ำชิ้นงานในไนโตรเจนเหลว เป็นเวลา 5 นาที จากนั้นทำการหักชิ้นงาน ติดชิ้นงานด้านที่หักลงบนสตั๊บ และทำการเคลือบพื้นผิวของชิ้นงานด้วยทองคำภายใต้สูญญากาศ วิเคราะห์พื้นผิวของชิ้นงานที่กำลังขยาย 300, 500, 1000 และ 5,000 เท่า ในขณะที่ตัวอย่างฟิล์มพอลิเมอร์ จะทำการเคลือบทองก่อนทำการตรวจวัดที่กำลังขยาย 300, 500 และ 1000 เท่า โดยชิ้นงานที่ไม่มีซิลเวอร์ไอก้อนจะทำการวิเคราะห์ในหมวดตรวจจับสัญญาณอิเล็กtronทุติยภูมิ (Secondary electron) ในขณะที่ชิ้นงานที่มีซิลเวอร์ไอก้อน ทำการวิเคราะห์ด้วยหมวดตรวจจับสัญญาณอิเล็กtronกระเจิงกลับ (Backscattering)

7.6 ศึกษาสมบัติทางความร้อนของฟิล์มพอลิเมอร์ ด้วยเทคนิค Differential scanning calorimetry (DSC)

ศึกษาสมบัติทางความร้อน โดยศึกษาอุณหภูมิเปลี่ยนสถานะคล้ายแก้ว (Glass transition temperature, T_g) อุณหภูมิหลอมผลึก (Crystalline melting temperature, T_m) อุณหภูมิเกิดผลึกขณะให้ความร้อน (Cold crystallization temperature, T_{cc}) และปริมาณผลึก

(%Crystallinity, % X_c) ด้วยเครื่อง Perkin-Elmer DSC7 โดยหั่งตัวอย่างประมาณ 10 mg ลงในถ้วยอะลูมิเนียม (Aluminum pan) พร้อมทั้งทำการปิดผนึก จากนั้นจึงให้ความร้อนครั้งแรกเพื่อล้างประวัติทางความร้อนของฟิล์มพอลิเมอร์ผสมในช่วงอุณหภูมิ -100 °C ถึง 200 °C คงอุณหภูมิไว้เป็นเวลา 2 นาที จากนั้นทำการลดอุณหภูมิลงจาก 200 °C ถึง -100 °C และให้ความร้อนอีกครั้งในช่วงอุณหภูมิ -100 °C ถึง 200 °C ด้วยอัตราเร็ว 10 °C/min ภายใต้บรรยากาศในไตรเจน การคำนวณปริมาณผลลัพธ์ ดังแสดงในสมการ (1)

$$X_c (\%) = \left[\left(\frac{(\Delta H_m - \Delta H_{cc})}{\Delta H_m^o} \right) \times \frac{1}{W_{PLA}} \right] \times 100 \dots \dots \dots (1)$$

เมื่อ X_c คือ ปริมาณการเกิดผลลัพธ์ของพอลิเมอร์

ΔH_m คือ เอหาลปีของการหลอมผลึก

ΔH_{rxn} คือ เอกสารปัจจุบันของการเกิดผลลัพธ์ขณะให้ความร้อน

ΔH°_m คือ เอทานอลปีทางทฤษฎีของการหลอมผลึก ($\Delta H^\circ_{m,PLA} = 93.7 \text{ J/g}$)

W_{PLA} คือ อัตราส่วนโดยน้ำหนัก (weight fraction) ของ PLA ในฟิล์มพอลิเมอร์ผสม

7.7 การศึกษาความสามารถในการส่องผ่านของแสงของฟิล์มพอลิเมอร์

ศึกษาความสามารถในการผ่านของแสง UV-Vis ของฟิล์มพอลิแลคติกแอชิด และฟิล์มพอลิเมอร์ผสมระหว่างพอลิแลคติกแอชิด ยางธรรมชาติ และไครโทซานดัดแปลง โดยตัดชิ้นงานให้มีขนาด $1 \times 7 \text{ cm}^2$ จากนั้นนำไปวัดการผ่านของแสงด้วยเทคนิค UV-Vis spectroscopy ที่ความยาวคลื่น 200-900 nm ความละเอียด 0.5 nm

7.8 การศึกษาตื้น และการส่องผ่านของแสงสว่างของฟิล์มพอลิเมอร์

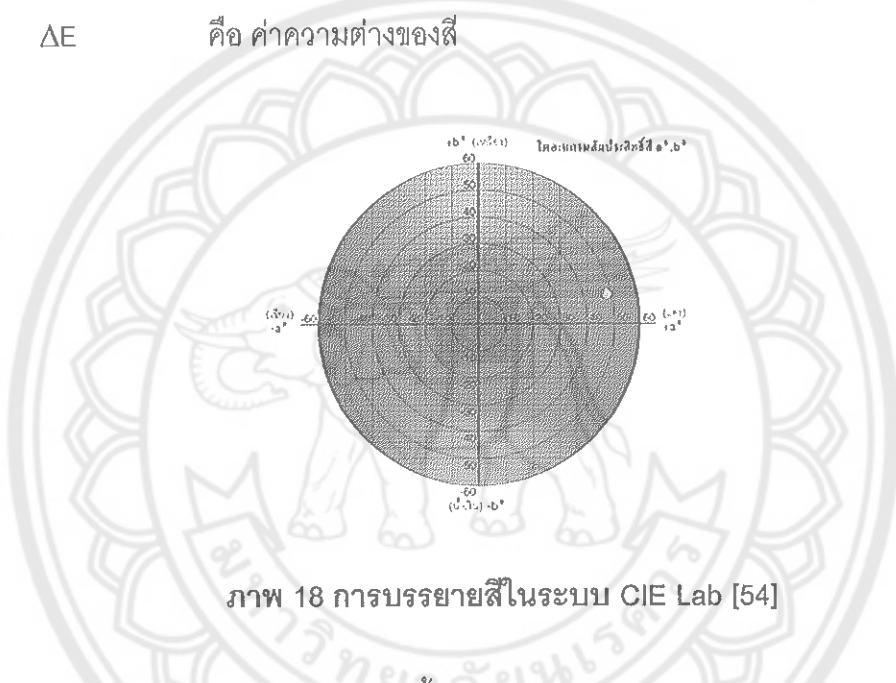
วัดค่าสีของฟิล์มพอลิเมอร์และฟิล์มพอลิเมอร์ผสมที่เตรียมได้ด้วยเครื่องวัดสี โดยค่าที่วัดได้มีดังนี้ ค่า L* ซึ่งแสดงถึงความสว่าง (Lightness) ค่า a* จะแสดงถึงสีจากสีเขียว (-a*) ไปเป็นสีแดง (+a*) และค่า b* ซึ่งจะแสดงค่าจากสีน้ำเงิน (-b*) ไปเป็นสีเหลือง (+b*) ดังภาพ

ศึกษาความสามารถในการเห็นสีและการส่องผ่านของแสงสว่างของฟิล์มพอลิเมอร์และฟิล์มพอลิเมอร์ผสมโดยตัดชิ้นงานให้มีขนาด $10 \times 10 \text{ cm}^2$ จากฟิล์มที่เป็นแท่งสูตรมา 5 ใช้น จำกันนั้นนำไปทดสอบเครื่องวัดสี (Colorimeter) จะทำการวัดสีทั้งหมด 5 ตำแหน่งบน

ชีนงานต่อโซน คำนวณหาค่าเฉลี่ยและส่วนเบี่ยงเบนมาตรฐานของค่าที่วัดได้จากทั้งหมด 5 โซน ซึ่งค่าความแตกต่างของสี (ΔE) สามารถหาได้ดังสมการ (2)

$$\Delta E = \sqrt{(L_1^* - L_2^*)^2 + (a_1^* - a_2^*)^2 + (b_1^* - b_2^*)^2} \quad \dots \dots \dots \quad (2)$$

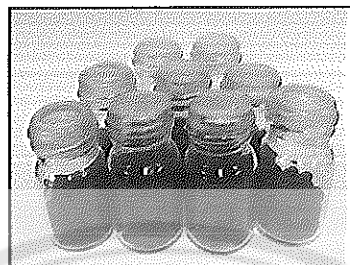
เมื่อ	$L_1^{\wedge}, a_1^{\wedge}, b_1^{\wedge}$	คือ จุด ๆ หนึ่งใน space
	$L_2^{\wedge}, a_2^{\wedge}, b_2^{\wedge}$	คือ สิ่งมีการเปลี่ยนแนวสีไปจะได้อีกจุดใน space
	ΔE	คือ ค่าความต่างของสี



7.9 ภูมิภาคของวัสดุที่มีการถ่ายเทน้ำในร่อง (Water vapor transmission rate, WVTR)

7.9 การทดสอบการซึมผ่านไอน้ำ (Water vapor transmission rate, WVTR)
 วัดค่าการซึมผ่านของไอน้ำ (Water vapor transmission rate, WVTR) ของพิล์ม PLA และพิล์ม PLA/NR:Cg โดยตัดแผ่นพิล์มขนาดเส้นผ่าศูนย์กลาง 0.5 cm วางบนขดทดสอบที่ มีขนาด 5 mL (บรรจุ silica gel) ให้แบบสนิท (ภาพ 19) ชั่งน้ำหนักตัวอย่างแผ่นพิล์มรวมกับขดทดสอบ นำขดทดสอบใส่โถควบคุมความชื้นที่ $80 \pm 2\%$ RH ที่อุณหภูมิห้อง ($30 \pm 2^\circ\text{C}$) โดยทำการ ชั่งน้ำหนักขดทดสอบทุก ๆ 24 ชั่วโมง (แผ่นพิล์ม silica gel และขดทดสอบ) เป็นเวลา 7 วัน ทำการทดสอบติดต่อ 3 ชั้นงาน คำนวณหาค่าน้ำหนักที่เพิ่มขึ้นต่อพื้นที่ และเวลา คำนวณค่าอัตรา การซึมผ่านไอน้ำ [55] โดยคำนวนตามสมการ (3)

$$\begin{aligned} \text{เมื่อ} \quad G/t & \quad \text{คือ ความชื้น, g/h} \\ A & \quad \text{คือ พื้นที่ (พื้นที่ปากขวดทดสอบ), m^2 \end{aligned}$$



ภาพ 19 การเตรียมตัวอย่างสำหรับการทดสอบการซึมผ่านไอน้ำ

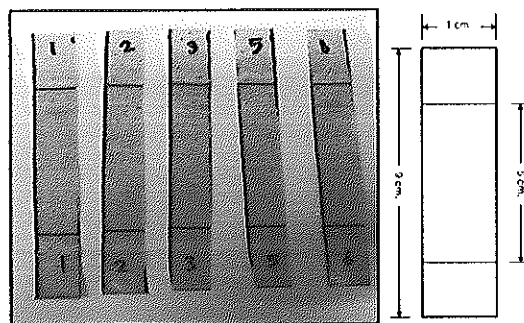
7.10 การทดสอบอัตราการซึมผ่านของก๊าซออกซิเจน (Oxygen gas transmission rate, OTR)

ศึกษาอัตราการซึมผ่านของก๊าซออกซิเจนด้วยเครื่อง Permeability test system tester รุ่น Labthink DZ01 โดยใช้ Coulometric Sensor ตามมาตรฐาน ASTM D3985-17 โดย วางแผ่นฟิล์มพอลิเมอร์ขนาด $13 \times 13 \text{ cm}^2$ ในเครื่องทดสอบที่ควบคุมอุณหภูมิที่ 23°C ความชื้น สัมพัทธ์ 0% ได้ทำการทดสอบสูตรละ 2 ครั้ง

7.11 การทดสอบสมบัติเชิงกล

สมบัติการทนต่อแรงดึง (Tensile testing)

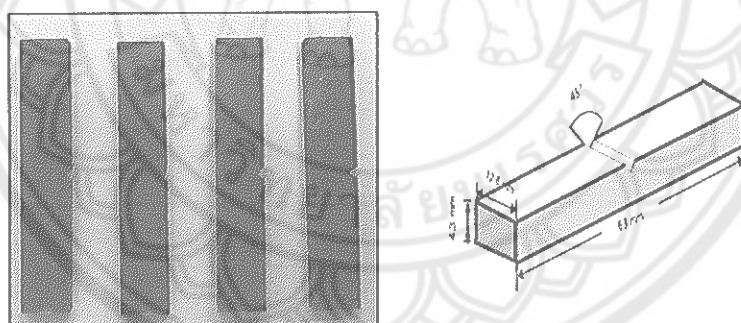
ทดสอบสมบัติการทนต่อแรงดึงของชิ้นงานด้วยเครื่อง Tensile testing machine โดยทำการศึกษาค่าการทนต่อแรงดึง (Tensile strength) ค่าการยืดตัวสูงสุด ณ จุดขาด (Elongation at break) และค่ามอดูลัส (Modulus) โดยตัดชิ้นงานขนาด $1 \times 9 \text{ cm}^2$ (ภาพ 20) ใช้แรงในการทดสอบ (Load Cell) 1 kN ที่ความเร็วในการดึงตัวอย่าง 50 mm/min ตามมาตรฐาน ASTM D 882 ทำการทดลองซ้ำสูตรละ 16 ชิ้น ทั้งชิ้นงานตามแนวเครื่องจักร (Machine direction, MD) และแนวขวาง (Transverse direction, TD) จากนั้นทำการหาค่าเฉลี่ย และส่วนเบี่ยงเบนมาตรฐาน



ภาพ 20 ลักษณะของชิ้นงานการทดสอบการทนต่อแรงตึง

สมบัติความต้านทานการกระแทก (Impact testing)

ศึกษาค่าความทนต่อแรงกระแทก (Impact strength) ของชิ้นงานที่ขึ้นรูปด้วยเครื่องฉีดพลาสติก (Injection molding machine) ของ C.B.N. Engineering Ltd. โดยชิ้นงานขนาด $63 \times 12.6 \times 4.3$ mm รอยบาก (notch) ลึก 2.6 mm และมุมคงศ่า 45° (ภาพ 21) นำชิ้นงานมาทดสอบด้วยเครื่องทดสอบแรงกระแทกแบบ Izod (Izod Impact test) ยี่ห้อ Model XC-22Z Impact tester ตามมาตรฐาน ASTM E 23 โดยใช้น้ำหนักในการกระแทก 1 kN ทดสอบข้าสูตรละปะมาณ 5-7 ชิ้น



ภาพ 21 ลักษณะของชิ้นงานการทดสอบการทนต่อแรงกระแทก

8. ศึกษาการหลุดออกของชิลเวอร์ไอโอดินในชิ้นงาน เมื่อแช่สารละลายที่ pH 3 และ 7

แยกชิ้นทดสอบขนาด $5 \times 5 \text{ cm}^2$ ในสารละลาย pH 3 (ปรับความเป็นกรดด้วยสารละลายอะซิติก) และสารละลาย pH 7 (น้ำประศจากไอโอดิน) ปริมาตร 100 mL ตามระยะเวลาที่กำหนด (1-7 วัน) เมื่อครบกำหนดแต่ละช่วงเวลา นำชิ้นทดสอบออกจากสารละลาย ทำการซับน้ำส่วนเกิน นำชิ้นทดสอบดังกล่าวไปใส่ในสารละลายใหม่ ในขณะที่สารละลายที่ได้จะนำไป

วัดหาปริมาณเชิลเกอโรโคตอนที่หลุดออกมายากขึ้นทดสอบ โดยใช้เทคนิค FAAS ทำการทดสอบสูตรละ 3 กรัม

9. การศึกษาประสิทธิภาพในการต้านเชื้อจุลชีพของแผ่นผลิตภัณฑ์

9.1 การทดสอบรักษาการยับยั้งเชื้อ

วางชิ้นงานขนาด $5 \times 5 \text{ mm}^2$ บนจานเพาะเชื้อ นำตัวอย่างไปปั่นที่อุณหภูมิ 37°C เป็นเวลา 24 ชั่วโมง ทำการทดสอบโดยใช้ยาคอดแมมเฟนิคอล 30 mg/mL และฟิล์มโพลิแลคติก เช็ดเป็นตัวควบคุม (ภาพ 22A) โดยแต่ละสูตรจะทำการทดสอบ 2 ชั้น และทดสอบการต้านเชื้อกับจุลชีพทั้งหมด 5 ชนิด คือ

9.1.1 แบคทีเรียแกรมบวก 2 ชนิด คือ *Bacillus cereus* TISTR 1813 และ *Staphylococcus aureus* TISTR 746

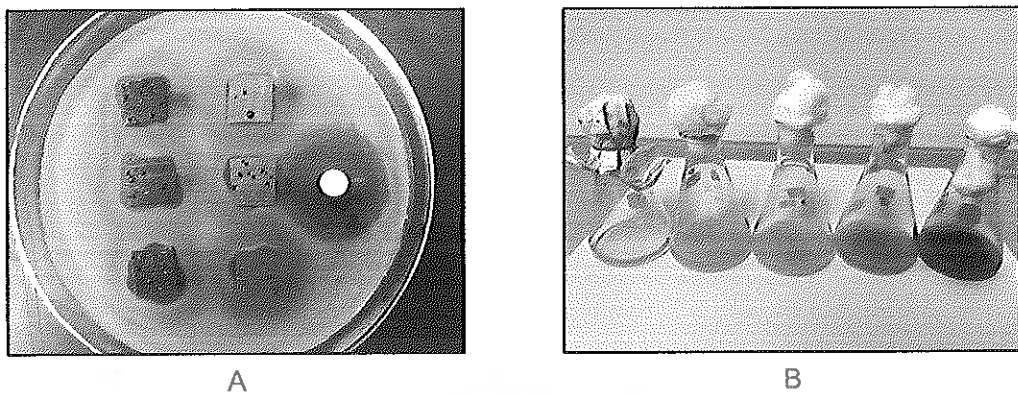
9.1.2 แบคทีเรียแกรมลบ 3 ชนิด คือ *Escherichia coli* TISTR 361, *Salmonella typhimurium* TISTR 1472 และ *Pseudomonas fluorescens* TISTR 904

วัดประสิทธิภาพในการต้านเชื้อจุลชีพด้วยเทคนิค Agar well diffusion การวัดผลโดยการวัดที่บริเวณใดที่มีการยับยั้ง ตามมาตรฐาน International standards of disk diffusion method

9.2 การทดสอบการนับโคลนีของจุลินทรีย์

ใส่ฟิล์มโพลิเมอร์ ขนาด $10 \times 10 \text{ cm}^2$ ลงในหลอดเชื้อจุลินทรีย์ที่มีอาหารเลี้ยงเชื้อ และมีเชื้อจุลินทรีย์ความเข้มข้นเริ่มต้นประมาณ $1 \times 10^4 - 7 \times 10^6 \text{ CFU/mL}$ นำไปปั่นในตู้ปั่นเชื้อจุลินทรีย์ที่อุณหภูมิ 37°C เป็นเวลา 6, 24 และ 48 ชั่วโมง (ภาพ 22B) เมื่อครบกำหนดเวลาทำการเจือจาง 500 เท่า ก่อนนำจุลินทรีย์ที่เจือจางแล้ว 100 μL ไปเกลี่ยลงในจานเพาะเชื้อที่ทำมีอาหารเลี้ยงเชื้อ นำจานเพาะเชื้อไปปั่นในตู้ปั่นเชื้อจุลินทรีย์ที่อุณหภูมิ 37°C เป็นเวลา 24 ชั่วโมง เมื่อครบกำหนดเวลาทำการคำนวณปริมาณเชื้อจุลินทรีย์ทั้งหมดที่เหลืออยู่ รายงานผลเป็นการนับจำนวนโคลนี (log) ในหน่วย CFU/mL และคำนวณร้อยละการลดลงของเชื้อจุลชีพ (%Reduction) หลังผ่านการทดสอบตามเวลาที่กำหนด ดังสมการ (4)

$$\% \text{ Reduction} = \frac{(N_A - N_B)}{N_A} \times 100 \dots \dots \dots (4)$$



ภาพ 22 การทดสอบประสิทธิภาพการต้านเชื้อแบคทีเรียแบบการทดสอบรัศมีการยับยั้ง เชื้อ (A) และการนับโคโลนีของจุลินทรีย์ (B)

10. ศึกษาประสิทธิภาพในการใช้งานจริงของแผ่นผลิตภัณฑ์

ศึกษาการประยุกต์ใช้ฟิล์มในการเก็บรักษาเนื้อหมู โดยนำเนื้อหมู 1 ชิ้น มาทำการ สไลด์แพงค์ริง โดยชิ้นที่ 1 ใส่ในฟิล์มพอลิแลคติกแอซิด (ชุดควบคุม) ในขณะที่ชิ้นที่ 2 ใส่ในฟิล์ม พอลิเมอร์ฟิล์ม PLA/NR:Cg ที่คีเลตร่วมกับ Ag^+ 1.5% วางชิ้นทดสอบที่อุณหภูมิห้อง เป็นเวลา 4 วัน ศึกษาการเปลี่ยนแปลงของกลิ่น และลักษณะภายนอกที่ปรากฏ

บทที่ 4

ผลการวิจัย

งานวิจัยนี้สนใจเตรียมพิล์มบรรจุภัณฑ์สำหรับอาหารแบบแอดคิทฟ์ที่มีสมบัติในการต้านเชื้อจุลชีพ ที่ผลิตจากวัตถุดิบที่มาจากธรรมชาติและเป็นมิตรกับสิ่งแวดล้อม ซึ่งประกอบด้วย พอลิแลคติกแอซิด ยางธรรมชาติ และไคโตซานดัดแปลง-ชีลเวอร์คอมเพล็กซ์ ทั้งนี้ได้แบ่งผลการศึกษาออกเป็น 5 หัวข้อ ดังนี้

1. ศึกษาโครงสร้างทางเคมีของไคโตซาน ไคโตซานดัดแปลง และไคโตซานดัดแปลงสมกับยางธรรมชาติ
 - 1.1 การวิเคราะห์โครงสร้างทางเคมีของไคโตซานกราฟ-พอลิ 2-อะครามิโน-2-เมทิล-1-โพเรนชัลฟูโนคแอซิด (Chitosan-g-PAMPS) หรือไคโตซานดัดแปลง (Cg)
 - 1.2 การวิเคราะห์โครงสร้างทางเคมีของยางธรรมชาติ และยางธรรมชาติผสมไคโตซานดัดแปลง
2. ศึกษาลักษณะทางกายภาพของไคโตซานดัดแปลงสมกับยางธรรมชาติ
3. ศึกษาประสิทธิภาพในการจับ (adsorption) ชีลเวอร์ในอนของไคโตซานดัดแปลงสมกับยางธรรมชาติ
4. การเตรียมคอมพาวน์ และพิล์มพอลิเมอร์ผสม
 - 4.1 ผลของอัตราส่วนระหว่างยางธรรมชาติผสมกับไคโตซานดัดแปลง
 - 4.2 ผลของปริมาณชีลเวอร์ในพอลิเมอร์สมระหว่างพอลิแลคติกแอซิด และไคโตซานดัดแปลงสมกับยางธรรมชาติ
 - 4.3 ผลของพอลิปิวทิลีนอะดิเพท-โคล-เทเรฟทาเลท (PBAT)
5. สมบัติการต้านจุลชีพของพิล์มพอลิเมอร์ผสม

ศึกษาโครงสร้างทางเคมีของไคโตซาน ไคโตซันดัดแปร และไคโตซันดัดแปรสมกับ ยางธรรมชาติ

งานวิจัยนี้สนใจเตรียมแผ่นพิสูจน์บรรจุภัณฑ์ต้านเชื้อจุลชีพสำหรับอาหาร จากพอลิแลคติกแอซิด ยางธรรมชาติ ไคโตซานดัดแปร และชิลเวอร์ไอโอดิน ในส่วนแรกเป็นการสังเคราะห์ไคโตซันดัดแปร จากนั้นนำไคโตซันดัดแปรมาสมกับยางธรรมชาติ 3 อัตราส่วนที่แตกต่างกัน คือ 9:1 4:1 และ 2:1 w/w ตามลำดับ วิเคราะห์โครงสร้างทางเคมีของไคโตซาน ไคโตซันดัดแปร ยางธรรมชาติ และยางธรรมชาติผสมกับไคโตซันด้วยเทคนิค ATR-IR

1. การวิเคราะห์โครงสร้างทางเคมีของไคโตซาน-กราฟ-พอลิ 2-อะครามิได-2-เมทิล-1-โพรเพนชัลฟูโนิกแอซิด (Chitosan-g-PAMPS) หรือไคโตซันดัดแปร (Cg)

ไคโตซานกราฟพอลิ 2-อะครามิได-2-เมทิล-1-โพรเพนชัลฟูโนิกแอซิด หรือไคโตซันดัดแปร เป็นการดัดแปรโครงสร้างทางเคมีของไคโตซาน โดยการทำปฏิกิริยากร้าฟโคพอลิเมอไรเซชันร่วมกับ 2-อะครามิได-2-เมทิล-1-โพรเพนชัลฟูโนิกแอซิด มอนอเมอร์ ซึ่งมีหมู่ฟังก์ชันที่สำคัญคือ หมู่ชัลฟูโนิกแอซิด ($\text{-SO}_3\text{H}$) ซึ่งเป็นหมู่แอนไฮดรอกไซด์ สามารถเปลี่ยนไปออกนิคแบบแรง เพื่อใช้การคีเดตร่วมกับ Ag^+ ด้วยเทคนิคการแลกเปลี่ยนไอโอดิน (Ion exchange) ซึ่งหมู่ฟังก์ชันชัลฟูโนิกแอซิดสามารถเปลี่ยนเป็นชัลฟูเนต (-SO_3^-) เมื่อทำการซักไคโตซันดัดแปรในสารละลายเบส ทำให้ไคโตซันดัดแปรมีประจุลบประจำตัว ซึ่งสามารถแลกเปลี่ยน Ag^+ ซึ่งเป็นไอโอดินบวกในสารละลายได้ และถึงแม้ว่าไคโตซานจะมีหมู่ฟังก์ชันแอมิน (NH_2) ที่ใช้ในการแลกเปลี่ยนไอโอดินได้ แต่เอมีนไม่ประจุบวกประจำตัว ซึ่งสามารถแลกเปลี่ยนไอโอดินลบในสารละลายได้เท่านั้น ในขณะที่ Ag^+ เป็นไอโอดินประจุบวก จึงไม่สามารถเกิดการแลกเปลี่ยนไอโอดินกับเอมีนของไคโตซันได้

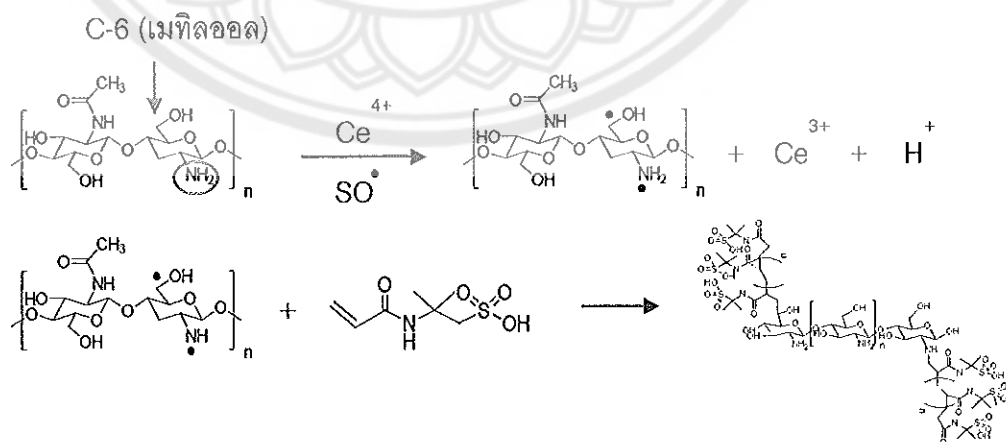
ดังนั้นงานวิจัยขึ้นนี้สนใจสังเคราะห์ไคโตซันดัดแปร โดยใช้ 2-อะครามิได-2-เมทิล-1-โพรเพนชัลฟูโนิกแอซิดมอนอเมอร์ ซึ่งมีหมู่ฟังก์ชันชัลฟูโนิกแอซิด ($\text{-SO}_3\text{H}$) เพื่อใช้ในการจับกับ Ag^+ เพื่อเพิ่มประสิทธิภาพของไคโตซันดัดแปรให้มีสมบัติต้านเชื้อจุลชีพ

ไคโตซันดัดแปร เตรียมได้จากปฏิกิริยากร้าฟโคพอลิเมอไรเซชันระหว่างไคโตซัน และ 2-อะครามิได-2-เมทิล-1-โพรเพนชัลฟูโนิกแอซิดมอนอเมอร์ ในสารละลาย 2% กรดอะซิติก โดยมีสารริเวิ่มปฏิกิริยาร่วม คือ สารริเวิ่มปฏิกิริยาแบบรีดออกซ์ ($(\text{NH}_4)_2\text{Ce}(\text{NO}_3)_6/\text{glucose}$) และ $\text{K}_2\text{S}_2\text{O}_3$ โดย $(\text{NH}_4)_2\text{Ce}(\text{NO}_3)_6$ ต้องใช้ร่วมกับ glucose ซึ่งเป็นตัวรีดิวซ์เปลี่ยน Ce^{4+} เป็น Ce^{3+} ในขณะที่ $\text{K}_2\text{S}_2\text{O}_3$ สามารถแตกตัวได้เองที่อุณหภูมิต่ำ โดยจะแตกตัวจาก $\text{K}_2\text{S}_2\text{O}_8$ เป็น $2\text{K}^+ + 2\text{SO}_4^{2-}$ [56] การเกิดปฏิกิริยากร้าฟโคพอลิเมอไรเซชันจะเกิดตรงควรบอนตำแหน่งที่ 6 (C-6) ที่ติดกับอะตอนของออกซิเจน เรียกคาร์บอนตำแหน่งนี้ว่าเมทิลออกซอล ($-\text{CH}_2\text{OH}$) [57] หรืออาจจะเกิดที่

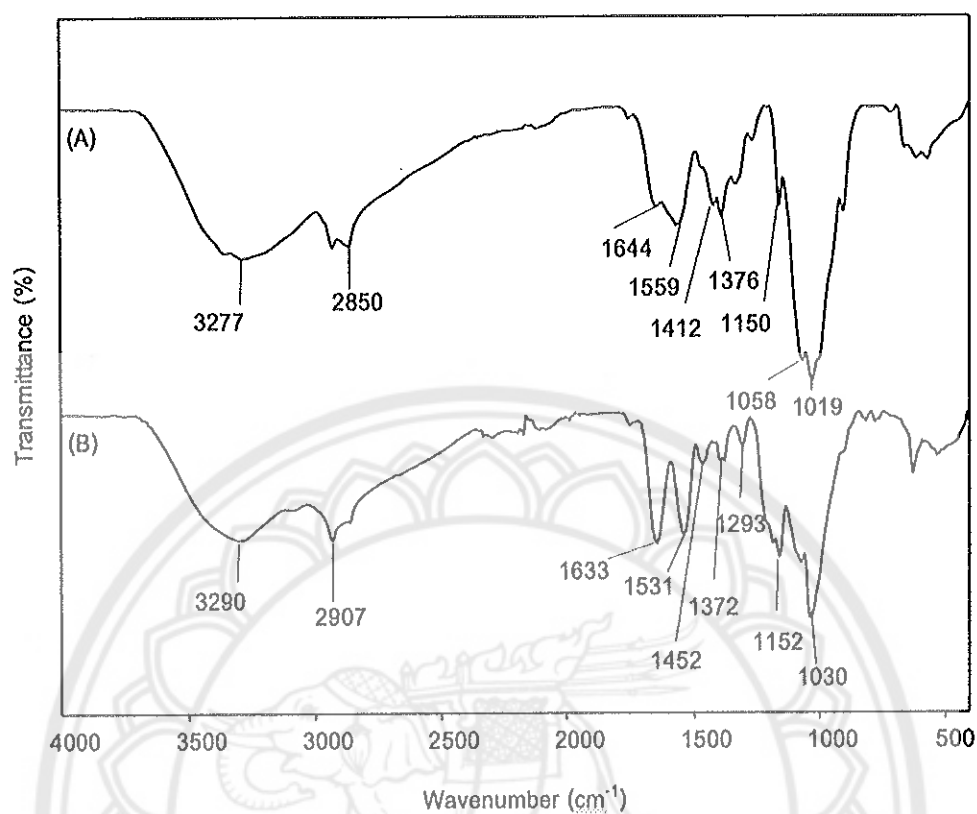
ตำแหน่งของ NH_2 ของไคโตซาน [58] (ภาพ 23) “ได้เป็นไคโตซาน-กรีฟ-พอลิ 2-อะไครามิโด-2-เมทิล-1-โพเพนชัลฟูโนคแอกซิด หรือไคโตซันดัดแปลงกีดขี้น”

ภาพ 24 แสดง ATR-IR สเปกตรัมของ (A) ไคโตซาน และ (B) ไคโตซันดัดแปลง การกำจัดไสโนโพลิเมอร์ไม่เกิดปฏิกิริยาการกรีฟ์โดยพลอเมอร์เข้าสู่ พนว่า IR สเปกตรัมของ ไคโตซาน (ภาพ 24 A) พบสัญญาณของ secondary amide C=O stretching ของไคตินใน ไคโตซานที่ไม่ถูกต่ออะซิติลเชิง ที่ตำแหน่ง 1644 cm^{-1} และพบสัญญาณที่แสดงถึงไคโตซานที่ ตำแหน่ง 1559 cm^{-1} (N-H bending), 1376 cm^{-1} (C-H bending), 1150 cm^{-1} (C-O-C stretching) และ 1058 cm^{-1} (C-O stretching) ตามลำดับ

หลังทำปฏิกิริยารีฟ์โดยพลอเมอร์ ATR-IR สเปกตรัมของไคโตซันดัดแปลง (Cg) (ภาพ 24 B) พนการป ragazzi สัญญาณของทั้งไคโตซาน และพอลิ 2-อะไครามิโด-2-เมทิล-1-โพเพนชัลฟูโนคแอกซิด (PAMPS) โดยพนการข้อกันบางส่วนของสัญญาณที่แสดงถึง O-H stretching ของ PAMPS และ N-H stretching ของไคโตซาน ที่ตำแหน่ง 3290 cm^{-1} พนการขับของสัญญาณ เล็กน้อยที่ตำแหน่ง 1633 cm^{-1} และ 1531 cm^{-1} ซึ่งเป็นสัญญาณของ secondary amide C=O stretching และ Secondary amide N-H-blending ซึ่งทั้ง 2 สัญญาณดังกล่าวเป็นสัญญาณ เอกมีเดียของทั้งไคโตซานและ PAMPS นอกจากนี้ยังพนสัญญาณอื่น ๆ ที่แสดงถึง PAMPS ที่ ตำแหน่ง 1452 cm^{-1} (C-H blending) 1293 cm^{-1} (SO_2 asymmetric stretching) 1152 cm^{-1} (SO_2 symmetric stretching) และ 1030 cm^{-1} (S=O stretching) ตามลำดับ [51] (ตาราง 5) จึงอาจกล่าวได้ว่า Cg ที่เตรียมได้มี PAMPS กรีฟรวมอยู่บนสายโซ่ของไคโตซาน



ภาพ 23 การคาดเดาโครงสร้างทางเคมีของไคโตซันดัดแปลงที่เตรียมด้วยตัวเริ่มปฏิกิริยาแบบรีดออกซ์



ภาพ 24 ATR-IR สเปคตรานของ (A) ไคโตซาน (CH) และ (B) ไคโตซันดัดแปลง (Cg)

ตาราง 5 การวิเคราะห์โครงสร้างทางเคมีของไคโตซาน และไคโตซันดัดแปลง

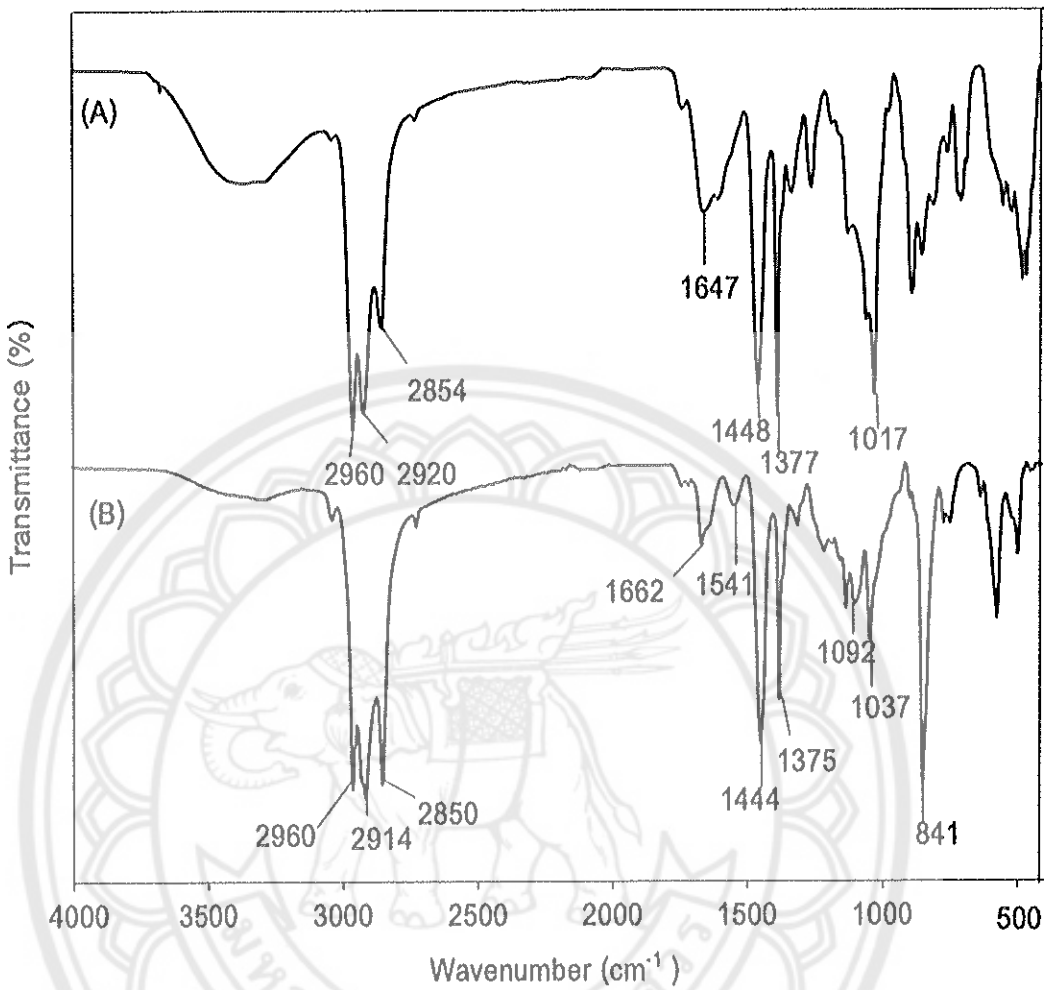
Functional group	Wavenumber (cm ⁻¹)	
	Chitosan	Chitosan-graft-PAMPS
N-H stretching/O-H stretching	3277	3290
C-H symmetrical stretching	2850	2907
Secondary amide C=O stretching	1644	1633
Secondary amide N-H bending	1559	1531
C-O-C stretching	1150	-
C-H bending	1376	1372
SO ₂ asymmetric stretching	-	1293
SO ₂ symmetric stretching	-	1152
S=O stretching	-	1030

2. การวิเคราะห์โครงสร้างทางเคมีของยางธรรมชาติ และยางธรรมชาติผสมไคโตซานดัดแปลง

ภาพ 25 แสดง IR สเปกตรรูของ (A) ยางธรรมชาติ (NR) และ (B) ยางธรรมชาติผสมไคโตซานดัดแปลง (NR:Cg) โดยภาพ 25 (A) ปรากฏสัญญาณที่แสดงถึงโครงสร้างของพอลิไอโซพารีนของ NR ที่ตำแหน่ง 2960 cm^{-1} (CH_3 stretching) 2854 cm^{-1} และ 2920 cm^{-1} (CH_2 stretching), 1647 cm^{-1} ($\text{C}=\text{C}$ stretching), 1448 cm^{-1} (CH_2 bending) และ 1377 cm^{-1} (CH_3 bending) ตามลำดับ [59]

หลังการผสมน้ำยางธรรมชาติร่วมกับไคโตซานดัดแปลงในอัตราส่วนเนื้อยางแห้งต่อไคโตซานดัดแปลงเท่ากัน 9:1 พบร้า IR สเปกตรรูของ NR:Cg (ภาพ 25 (B)) พบรการปีกกฎ สัญญาณที่แสดงถึง NR ที่ตำแหน่ง 2960 cm^{-1} (CH_3 stretching) 2850 cm^{-1} และ 2914 cm^{-1} (CH_2 stretching) 1662 cm^{-1} ($\text{C}=\text{C}$ stretching) 1444 cm^{-1} (CH_2 bending) และ 1375 cm^{-1} (CH_3 bending) และสัญญาณที่แสดงถึง Cg ที่ตำแหน่ง 1541 cm^{-1} และ 1662 cm^{-1} ซึ่งเป็นสัญญาณของ Secondary amide NH-blending และ Secondary amide C=O stretching ซึ่งเป็นสัญญาณของทั้งไคโตซาน และ PAMPS สัญญาณอื่น ๆ ดังแสดงในตาราง 6

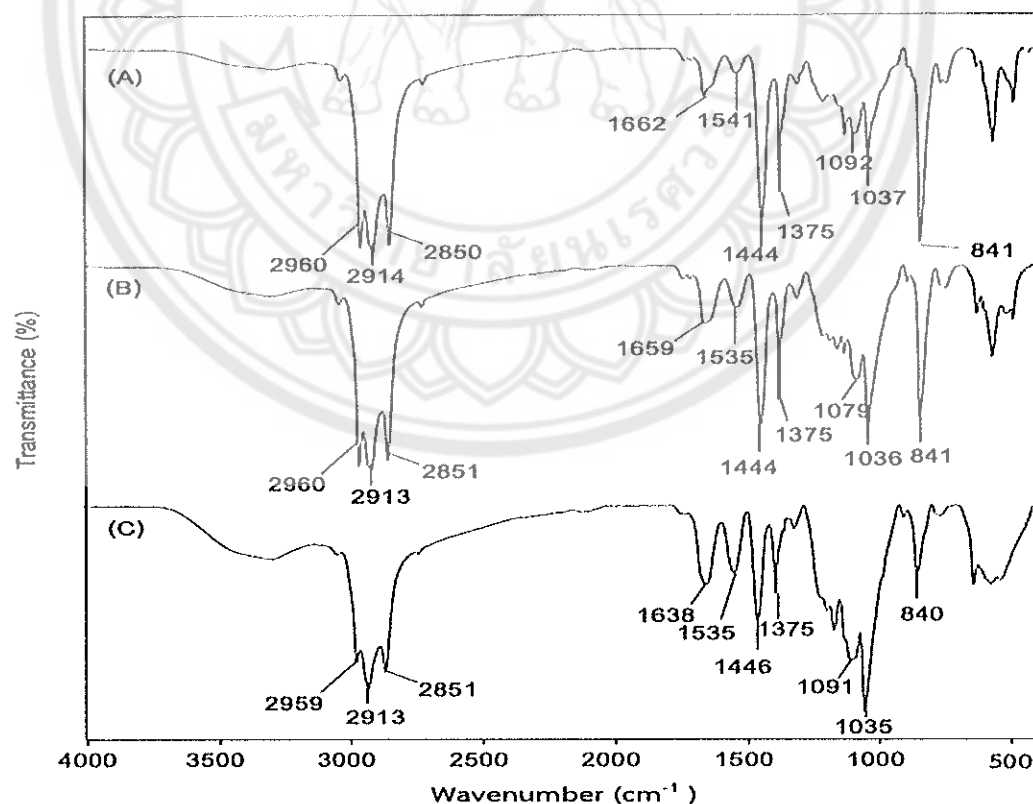
ภาพ 26 แสดงการเบรียบเทียบโครงสร้างของพอลิเมอร์สมที่เตรียมจากยางธรรมชาติ และไคโตซานดัดแปลง ในอัตราส่วน NR:Cg = 9:1, 4:1 และ 2:1 w/w พบร้าความเข้มของสัญญาณที่ตำแหน่ง $1658-1622\text{ cm}^{-1}$ (Secondary amide C=O stretching) และ $1535-1541\text{ cm}^{-1}$ (Secondary amide N-H bending) ซึ่งแสดงถึงไคโตซาน และ PAMPS เพิ่มขึ้น ในขณะที่ความเข้มของสัญญาณที่ตำแหน่ง 1444 cm^{-1} (CH_2 bending) และ 1375 cm^{-1} (CH_3 bending) ซึ่งแสดงถึง NR ลดลง ตามอัตราส่วนของ Cg ที่เพิ่มขึ้น



ภาพ 25 ATR-IR สเปกตรัมของ (A) ยางธรรมชาติ (NR) และ (B) ยางธรรมชาติ/ไคโตซาน ตัดแปร (NR:Cg) ในอัตราส่วน 9:1 w/w

ตาราง 6 การวิเคราะห์โครงสร้างทางเคมีของยางธรรมชาติ และยางธรรมชาติ/ไคโตซานด้ัดแปลง

Functional group	Wavenumber (cm^{-1})	
	NR	NR:C
C-H symmetrical stretching	2960	2960
C=C stretching	1647	-
C-H bending of CH_2	1444	1444
Secondary amide C=O stretching	-	1662
Secondary amide N-H blending	-	1541
C-H bending of CH_3	1377	1375
SO_2 symmetric stretching	-	1125
S=O stretching	-	1037



ภาพ 26 ATR-IR สเปกตรายของ NR:Cg ในอัตราส่วน (A) 9:1 (B) 4:1 และ (C) 2:1 w/w

ศึกษาลักษณะทางกายภาพของไคโตซานดัดแปรผสมกับยางธรรมชาติ

ผสมไคโตซานดัดแปร (Cg) ในสภาวะสารละลายร่วมกับน้ำยางธรรมชาติ (NR latex) ในอัตราส่วนต่าง ๆ กัน พบว่าการผสม Cg ในทุกอัตราส่วนไม่ปรากฏการแยกเพลสของ Cg ออกจาก NR โดยในอัตราส่วน $NR:Cg = 9:1$ และ $4:1$ w/w ให้ชิ้นงานที่มีสีเหลืองอ่อนไกส์เคียงกับชิ้นงานที่เตรียมจาก NR (นำน้ำยางมาอบแห้ง) ในขณะที่การผสม Cg ในอัตราส่วนที่มากเกินไป ($NR:Cg = 2:1$ w/w) พบว่าชิ้นงานมีสีน้ำตาลเข้ม ซึ่งโดยปกติแล้วสีของไคโตซานจะมีสีเหลือง แต่ชิ้นงานที่ได้มีสีน้ำตาลที่เข้มขึ้น อาจเนื่องมาจากการเกิดปฏิกิริยา Maillard reaction [60] จากการทำปฏิกิริยาของหมู่ฟังชันคาร์บอนิล (carbonyl group) กับหมู่อะมิโน (amino group) ของไคโตซาน ดัดแปร ซึ่งปฏิกิริยานี้จะถูกเร่งเมื่อมีน้ำ และความร้อนในปฏิกิริยา ผลลัพธ์ชิ้นงานมีสีน้ำตาลเข้มขึ้นได้

ทดสอบการดึงยืดชิ้นงานของพอลิเมอร์สม $NR:Cg$ เพื่อกับยางธรรมชาติ พบว่าการผสมไคโตซานดัดแปรทำให้ชิ้นงานมีความแข็งเพิ่มขึ้น (Cg เป็นพอลิเมอร์ที่มีลักษณะแข็งเมื่อแห้ง) ทั้งนี้การผสมในอัตราส่วนที่เหมาะสม ($NR:Cg = 9:1$ และ $4:1$) ชิ้นงานยังคงยืดตัวได้ ไกส์เคียง กับการยืดตัวของยางธรรมชาติ ในขณะที่อัตราส่วนของไคโตซานที่มากเกินไป ($NR:Cg = 2:1$) ชิ้นงานไม่สามารถแสดงสมบัติเด่นด้านการยืดตัวของ NR ได้ (ตาราง 7)

ตาราง 7 ภาพถ่ายชิ้นงานยางธรรมชาติ และยางธรรมชาติผสมไคโตซานดัดแปรที่อัตราส่วนผสมระหว่างยางธรรมชาติและไคโตซานดัดแปรที่แตกต่างกัน ก่อน และขณะการดึงยืดชิ้นงาน

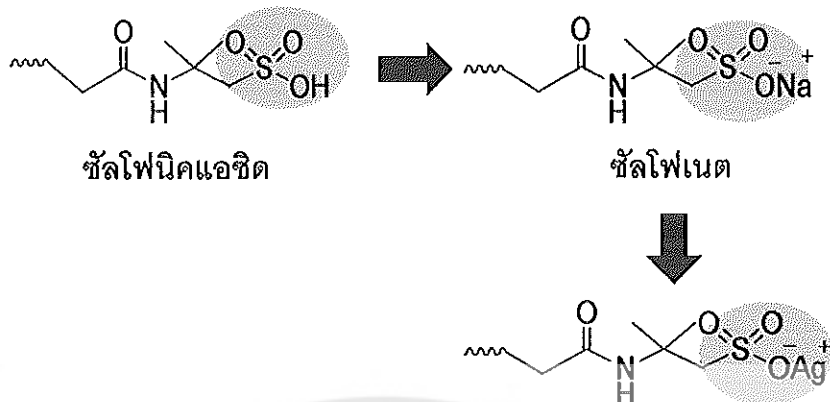
ตัวอย่าง	ภาพถ่ายตัวอย่าง	ก่อนการดึงยืด	ขณะการดึงยืด
NR			

ตาราง 7 (ต่อ)

ตัวอย่าง	ภาพถ่ายตัวอย่าง	ก่อนการดึงยืด	ขณะการดึงยืด
NC1 (NR:Cg อัตราส่วน 9:1)			
NC2 (NR:Cg อัตราส่วน 4:1)			
NC3 (NR:Cg อัตราส่วน 2:1)			

ศึกษาประสิทธิภาพในการจับ (adsorption) ชิลเวอร์ไอออนของโคโตเชนดัดแปรสมกับ ยางธรรมชาติ

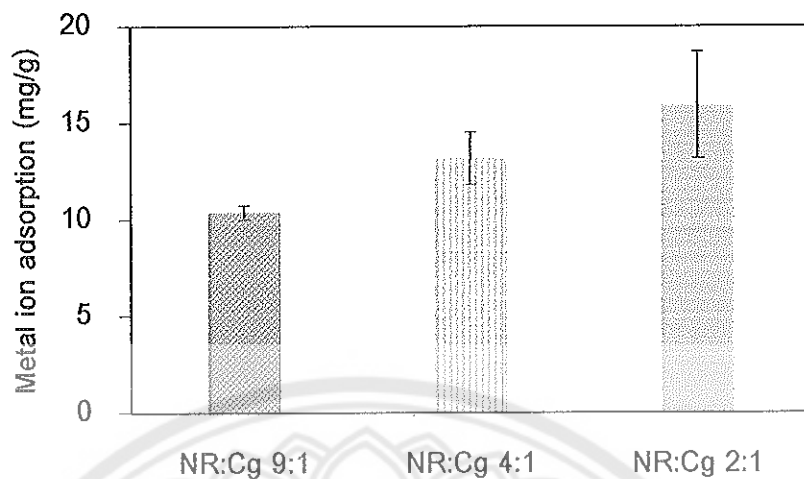
หมุ่ลโพนิกแอซิดของ PMAPs ที่กราฟลงบนโครงสร้างของ Cg เป็นส่วนสำคัญในการเกิดการคีเลตว่ร่วมกับ Ag^+ ทั้ง PAMPS ซึ่งเป็นพอลิเมอร์ที่ชอบนำร่อง่ายให้ชี้งงาน NR:Cg สามารถบรวมตัวในน้ำ และเกิดการแลกเปลี่ยนไอออนกับ Ag^+ ในสารละลายได้ ในขณะที่ชี้งงานที่เตรียมจาก NR เพียงอย่างเดียวพบว่าไม่เกิดการบรวมตัว นำชี้งงานที่ผ่านการแข็ง化มาแข็งในสารละลาย NaOH เพื่อเปลี่ยนหมุ่ลโพนิก ($\text{R}-\text{SO}_3\text{H}$) เป็นหมุ่ลไฟเนต ($\text{R}-\text{SO}_3^-$) เพื่อเพิ่มประสิทธิภาพในการจับกับ Ag^+ ในสารละลายด้วย electrostatic interaction [7] (ภาพ 27)



ภาพ 27 ขั้นตอนการเปลี่ยนหมู่กรดซัลฟอนิกเป็นหมู่กรดซัลฟีเนตและการจับกับซิลเวอร์ไอออนในสารละลายน้ำ

ภาพ 28 แสดงประสิทธิภาพในการจับกับ Ag^+ ของพอลิเมอร์สมเมื่อมีอัตราส่วนของ NR:Cg ต่าง ๆ กัน ซึ่งโดยทั่วไปประสิทธิภาพในการจับไอออนของโลหะหนักของตัวจับจะขึ้นกับ หลายปัจจัย เช่น อุณหภูมิ และความเป็นกรดด่างของสารละลายน้ำ โดยในสภาวะที่เป็นกรด ตัวจับจะ จับกับไอออนของโลหะหนักได้ช้าลง ซึ่งเกิดจากการแย่งจับของ H^+ ของสารละลายน้ำ นอกจากนี้ยังขึ้นกับชนิด และจำนวนของหมู่ฟังก์ชันของตัวจับ [7]

โดยในงานวิจัยนี้ได้นำชิ้นงาน NR:Cg ที่เตรียมได้เป็นอย่างดีในสารละลายน้ำ Ag^+ ความเข้มข้น 500 ppm ปริมาตร 100 มิลลิลิตร ที่มีการเติมกรดไนโตริกเพื่อป้องกันการรีดิวเซชันของ Ag^+ พบว่า ชิ้นงาน NR:Cg มีประสิทธิภาพในการจับ Ag^+ เพิ่มขึ้นตามอัตราส่วนของ Cg ที่เพิ่มขึ้น โดยมี ชิ้นงานที่เตรียมจาก NR:Cg ในอัตราส่วน 9:1, 4:1 และ 2:1 มีความสามารถในการจับ Ag^+ 10.13 \pm 0.37, 13.14 \pm 1.36 และ 15.89 \pm 3.76 mg/g ตามลำดับ



ภาพ 28 ปริมาณซิลเวอร์ไอออน (mg/g adsorbed) ที่เกิดการแลกเปลี่ยนกับยางธรรมชาติ ผสมไคโตซานดัดแปลงที่อัตราส่วนผสมระหว่างยางธรรมชาติและไคโตซานดัดแปลงที่แตกต่างกัน

จากการทดลองข้างต้น เมื่อพิจารณาทั้งในส่วนของสมบัติทางกายภาพของพอลิเมอร์ ผสม และประสิทธิภาพในการจับโลหะหนัก งานวิจัยนี้เลือกพอลิเมอร์ผสมที่มีอัตราส่วนของ $\text{NR:Cg} = 4:1$ มาทำการจับ Ag^+ สำหรับนำไปทดสอบร่วมกับ PLA ความเข้มข้นต่าง ๆ กัน 4 ความเข้มข้น คือ 0.17% (NC2-Ag1) 0.29% (NC2-Ag2) 0.82% (NC2-Ag3) และ 1.50% (NC2-Ag4)

ศึกษาประสิทธิภาพการต้านเชื้อจุลชีพของ $\text{NR:Cg}/\text{Ag}^+$ ก่อนนำไปทดสอบร่วมกับ PLA โดยทำการทดสอบประสิทธิภาพการต้านเชื้อจุลชีพ 5 ชนิด ของ NC2-Ag2 และ NC2-Ag3 โดยการวัดเส้นผ่านศูนย์กลางของโซนที่สามารถยับยั้งการเจริญเติบโตของเชื้อจุลชีพ (clear zone) พบว่าชิ้นงานมีประสิทธิภาพการยับยั้งเชื้อจุลชีพไม่แตกต่างกันมากนัก โดยมีประสิทธิภาพการยับยั้งเชื้อจุลชีพทั้งสองแบบ และแกรมลบ ในช่วง 10-15 mm (ตาราง 8) โดยพบว่าสามารถยับยั้งเชื้อ *E. coli* ได้ที่สุด ทั้งนี้แม้ว่าจะมีงานวิจัยของ Lin S, et al. ในปี ค.ศ. 2015 [6] ได้รายงานว่าไคโตซานสามารถยับยั้งเชื้อจุลชีพได้ เนื่องจากไคโตซานมีประจุบวกของเอมีน ทำให้สามารถเกิดอนตระกิริยากับเยื่อหุ้มเซลล์ของแบคทีเรียที่เรียกวินิดแกรมลบได้ นำไปสู่การร้าวไหลของโปรตีน และองค์ประกอบภายในเซลล์ แต่ในงานวิจัยนี้ได้ทดสอบแล้วพบว่าชิ้นงานทั้งไคโตซาน และไคโตซานดัดแปลงไม่สามารถต้านเชื้อจุลชีพได้ ทั้งนี้อาจเนื่องมาจากการหมุ่เอมีนของหั้งไคโตซาน และไคโตซานดัดแปลงไม่มีประจุบวกรวมทั้ง NR มีความไม่ชอบน้ำสูง จึงทำให้ Cg ที่อยู่ใน NR หลุดออกมากได้ยาก และ

การขับใช้ได้ยากของชิ้นงาน ดังนี้ผลการต้านเชื้อจุลชีพที่ได้ในงานวิจัยครั้งนี้ จึงน่าจะเป็นผลมา จาก Ag^+ เพียงอย่างเดียว จึงอาจกล่าวได้ว่า Ag^+ ช่วยให้ชิ้นงานต้านจุลชีพได้ [34, 47, 61,62]

ตาราง 8 ประสิทธิภาพการต้านเชื้อจุลชีพ 5 ชนิด

ตัวอย่าง	ระยะเคลื่อนร่อง (มิลลิเมตร)				
	<i>B. cereus</i>	<i>S. aureus</i>	<i>E. coli</i>	<i>S. typhimurium</i>	<i>P. fluorescens</i>
(+)	(+)	(-)	(-)	(-)	(-)
CH	-	-	-	-	-
Cg	-	-	-	-	-
NC2-Ag2	10	12	15	12	10
NC2-Ag3	12	15	15	12	12

การเตรียมคอมพาวน์และฟิล์มโพลิเมอร์ผสม

1. ผลของอัตราส่วนระหว่าง NR:Cg

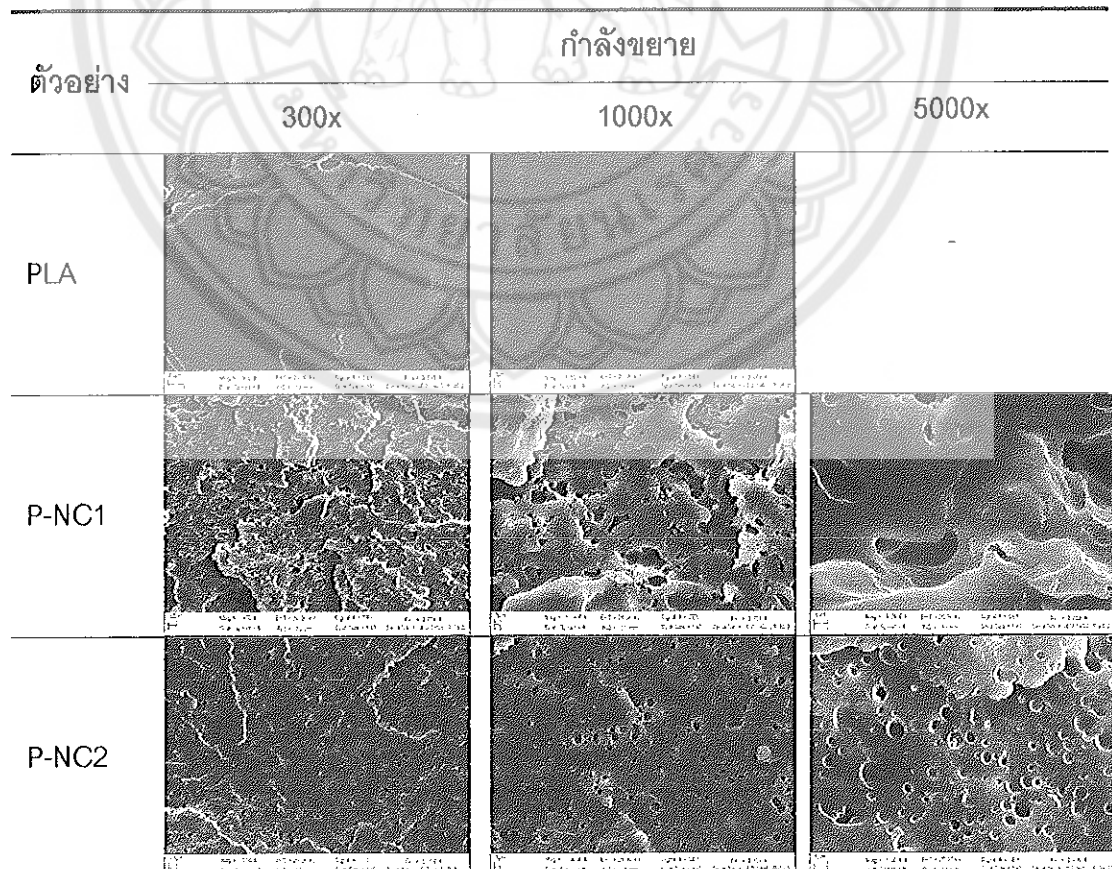
ตาราง 9 แสดงภาพถ่าย SEM ของการหักชิ้นงาน PLA และโพลิเมอร์คอมพาวน์ ระหว่าง PLA กับ NR:Cg ในอัตราส่วน 80:20 โดยมีอัตราส่วนของ NR:Cg เท่ากับ 9:1, 4:1 และ 2:1 w/w ตามลำดับ ทั้งนี้ในการศึกษาสัณฐานวิทยาของ PLA ในส่วนของการหักชิ้นงานจะนำเม็ดพลาสติก PLA มาผ่านเครื่องขัดรีดเกลี่ยวนบนเดี่ยวเพื่อให้มีลักษณะเป็นเส้น ก่อนนำไปปูมแซ่ในไนโตรเจนเหลว จากนั้นจึงทำการหักชิ้นงาน เพื่อให้เหมือนกับตัวอย่างของโพลิเมอร์ผสมอื่น ๆ ที่จะศึกษาสัณฐานวิทยา โดยใช้โพลิเมอร์นหลังจากออกจากการเครื่องขัดรีดเกลี่ยวนบนเดี่ยว ซึ่งจะทำการเก็บตัวอย่างในลักษณะเส้นแห้งเดียวกัน

จากการทดลองพบว่าพื้นผิวบริเวณรอยหักของ PLA มีลักษณะเรียบ ซึ่งแสดงถึงการหักแบบเบรake การผสานร่วมกับ NR:Cg พบร่วมพื้นผิวมีลักษณะขุ่นระมากขึ้น พบฟองอากาศจำนวนมากอยู่ในชิ้นงาน แต่ไม่พบการแยกไฟ索อย่างชัดเจนระหว่าง PLA กับ NR:Cg ยกเว้นส่วนที่มีอัตราส่วน NR:Cg = 2:1 w/w ที่เริ่มสังเกตเห็นการแยกไฟ索ของ NR:Cg ออกจาก PLA บางส่วน

ตาราง 10 แสดงภาพถ่ายพื้นผิวของฟิล์ม PLA และฟิล์มโพลิเมอร์ผสมด้วยกล้องถ่ายภาพพบว่าฟิล์ม PLA มีลักษณะใส ชี้แจงよく ฟิล์มเกิดรอบรูบัณฑุณะเป้าชิ้นรูปได้ง่าย การผสาน NR:Cg ในทุกอัตราส่วนช่วยให้เป้าฟิล์ม PLA ได้ง่ายขึ้น ฟิล์มเกิดการยับลดลงอย่างมีนัยสำคัญ นอกจากนี้ยังพบว่าฟิล์มที่ผสม NR:Cg มีสีขาวตาดอ่อน และมีสีเข้มขึ้นตามอัตราส่วนของโพลิเมอร์

ที่เพิ่มขึ้น นอกจากนี้ยังพบการกระจายตัวของอนุภาคขนาดเล็กของไคโตซานอยู่ทั่วทั้งชิ้นงาน และมีจำนวนมากขึ้นตามอัตราส่วนของไคโตซานที่เพิ่มขึ้น ทั้งนี้แม้ว่าในขั้นตอนการเตรียมพอลิเมอร์สมจะวางยางธรรมชาติกับไคโตซานกรีฟโคลพอลิเมอร์จะให้ชิ้นงานที่มีความเข้ากันได้ดี โดยปรากฏเฟสเพียงเฟสเดียว แต่การผสมแบบหลอมโดยเครื่องอัดรีดเกลี่ยวบนน่อง จะมีส่วนให้เกิดการแยกเฟสของไคโตซานออกจากยางธรรมชาติ ซึ่งการแยกตัวของไคโตซันดังกล่าวสามารถเห็นได้อย่างชัดเจนเมื่อถ่ายภาพด้วยกล้องจุลทรรศน์ (Optical microscope, OM) ที่กำลังขยาย 1 เท่า โดยพบว่าฟิล์ม PLA ปรากฏอนุภาคขนาดเล็กกระจายอยู่ทั่วไปบนแผ่นฟิล์ม ซึ่งในกรณีของ PLA บริสุทธิ์ อนุภาคดังกล่าวจะเป็นสารเติมแต่ง (additive) ที่ผู้ผลิตเติมเข้าไปในขณะที่ฟิล์มพอลิเมอร์สมพนาการกระจายของอนุภาคไคโตซานอยู่ทั่วทั้งชิ้นงาน โดยอนุภาคดังกล่าวมีจำนวน และขนาดเพิ่มขึ้นตามอัตราส่วนของไคโตซานที่เพิ่มขึ้น

ตาราง 9 ภาพถ่าย SEM ของพื้นผิวพอลิเมอร์สมที่มีอัตราส่วนของ NR:Cg ที่แตกต่างกัน ที่เตรียมจากการหักชิ้นงานที่ผ่านกระบวนการผสมโดยเครื่องอัดรีดเกลี่ยวบนคูในขั้นตอนสุดท้าย



ตาราง 9 (ต่อ)

ตัวอย่าง	กำลังขยาย		
	300x	1000x	5000x
P-NC3			

หมายเหตุ: - ไม่สามารถวิเคราะห์ได้ ฟิล์มเกิดการเสียสภาพขณะวิเคราะห์

ตาราง 10 ภาพถ่ายพื้นผิวฟิล์ม PLA และฟิล์มพอลิเมอร์สมรรถห่วง PLA/NR:Cg-PAMPS ที่มีอัตราส่วนของ NR:Cg ที่แตกต่างกัน

ตัวอย่าง	ภาพถ่ายตัวอย่าง	ภาพถ่าย OM (1x)
	ภาพถ่ายตัวอย่าง	ภาพถ่าย OM (1x)
PLA		
P-NC1		
P-NC2		

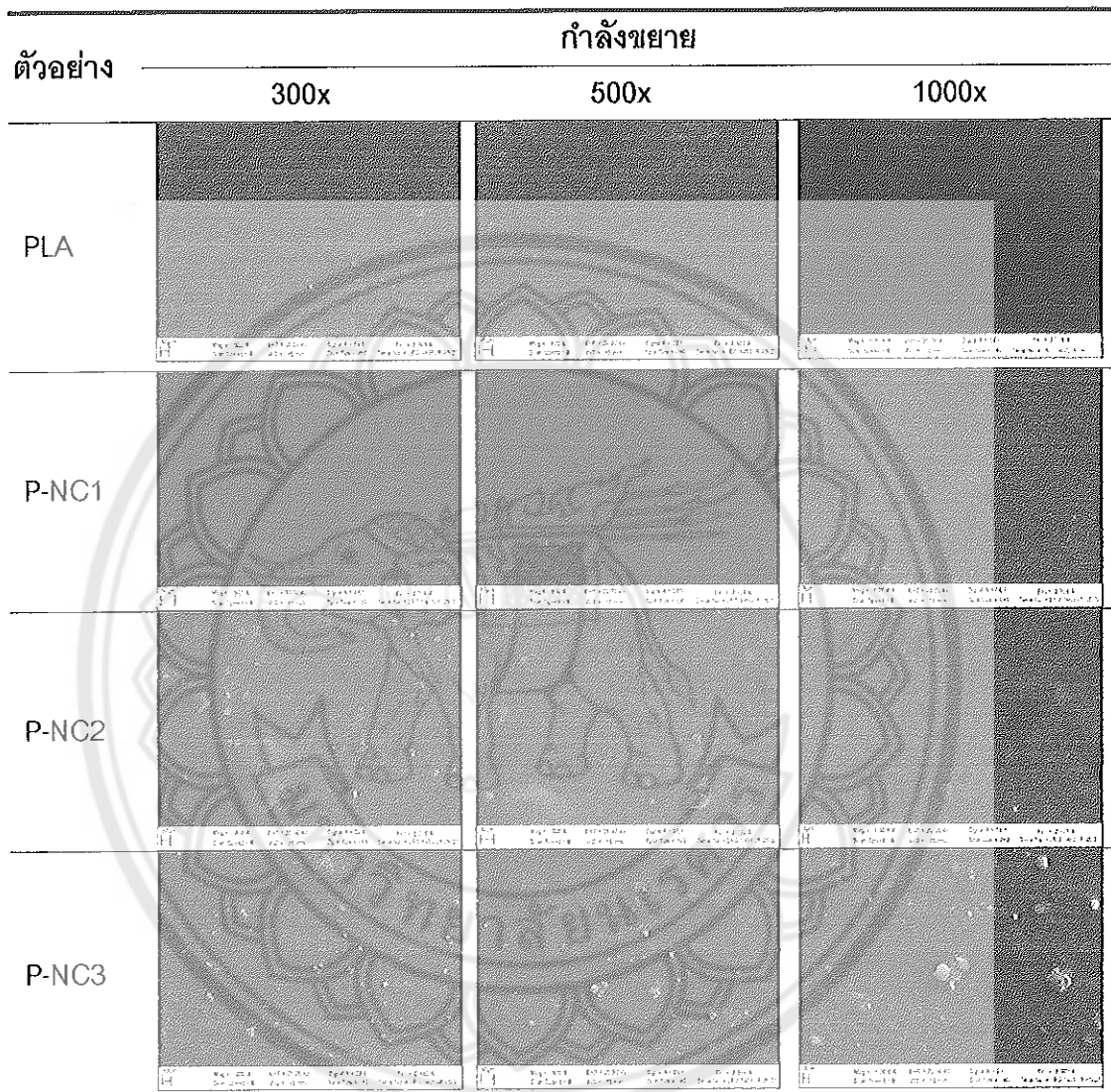
ตาราง 10 (ต่อ)

ตัวอย่าง	ภาพถ่ายตัวอย่าง	ภาพถ่าย OM (1x)
P-NC3		

ตาราง 11 แสดงภาพถ่าย SEM ของฟิล์ม PLA และฟิล์มพอลิเมอร์ผสม พนว่าฟิล์ม PLA มีลักษณะฟื้นผิวที่เรียบ มีอนุภาคขนาดเล็กของสารเติมแต่งประมาณ 1-5 μm กระจายอยู่ทั่วไปทั้งชิ้นงาน ในขณะที่ภาพ SEM ของพอลิเมอร์ผสมทุกสูตรพบอนุภาคขนาดเล็กกระจายอยู่ทั่วทั้งชิ้นงาน ซึ่งอนุภาคดังกล่าวจะเป็นอนุภาคของยาง และไคโตซานที่ไม่ละลาย (soluble) และแยกตัวออกจาก PLA โดยอนุภาคดังกล่าวมีขนาดใหญ่ขึ้นจากขนาดน้อยกว่า 3 μm เป็นขนาดประมาณ 10 μm ตามอัตราส่วนไคโตซันที่เพิ่มขึ้น

จากผลดังกล่าวอาจกล่าวได้ว่า NR:Cg บางส่วนสามารถเข้ากันได้ (partially compatible) กับ PLA ในขณะที่ NR:Cg บางส่วนเกิดการแยกเฟสออก ซึ่งการแยกเฟสดังกล่าวอาจเกิดจากการผสมแบบหลอม ซึ่งทำให้ Cg ที่อยู่เป็นเนื้อเดียวกับ NR ในตอนต้นเกิดการแยกตัวออก ทั้งแรงยึดเกาะระหว่างรอยต่อของ PLA กับ NR และ Cg เป็นการยึดกันแบบอ่อน (weak interfacial adhesion) [40] และกระทำระหว่างพื้นผิวที่ไม่เข้ากันไม่เลกตัวของพอลิเมอร์แต่ละตัวต่ำ (low interfacial interactions) [63] ทำให้อาจเกิดจากการหดตัวและการรวมกลุ่มกันของทั้ง NR และ Cg ที่แตกต่างจาก PLA จึงทำให้เกิดการแยกตัวออกของ NR และ Cg ออกจากเฟสของ PLA [42] โดยพนผลของการแยกตัวออกดังกล่าวเพิ่มขึ้นตามอัตราส่วนของ Cg ที่เพิ่มขึ้น

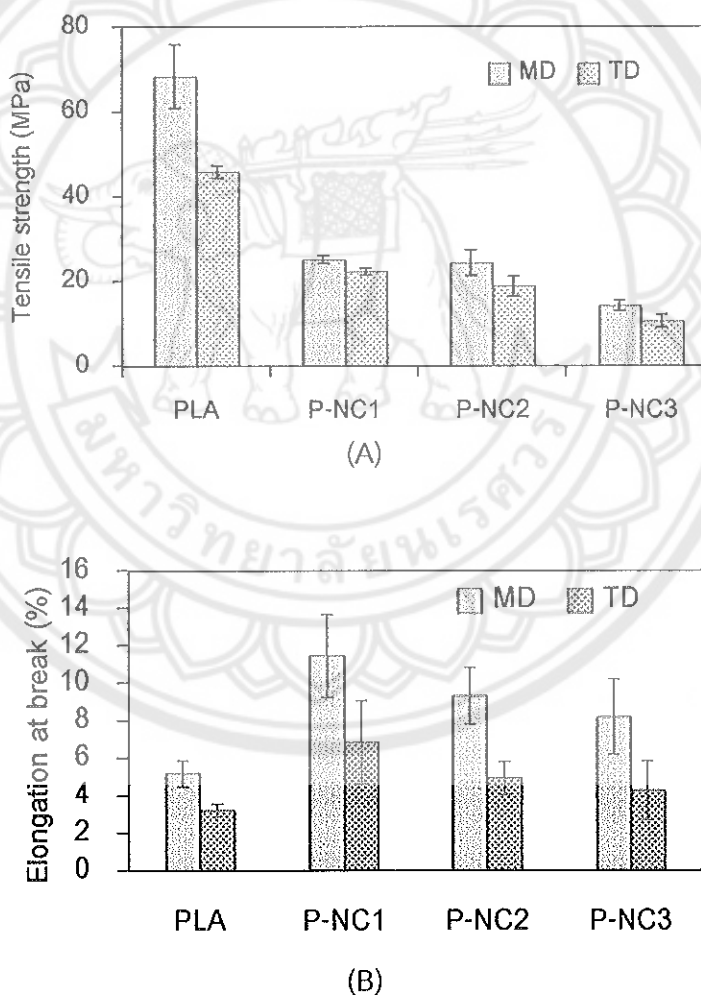
ตาราง 11 ภาพถ่าย SEM ของพื้นผิวฟิล์ม PLA และฟิล์มพอลิเมอร์สมรรถห่วง PLA/NR:C-g-PAMPS ที่มีอัตราส่วนของ NR:Cg ที่แตกต่างกัน



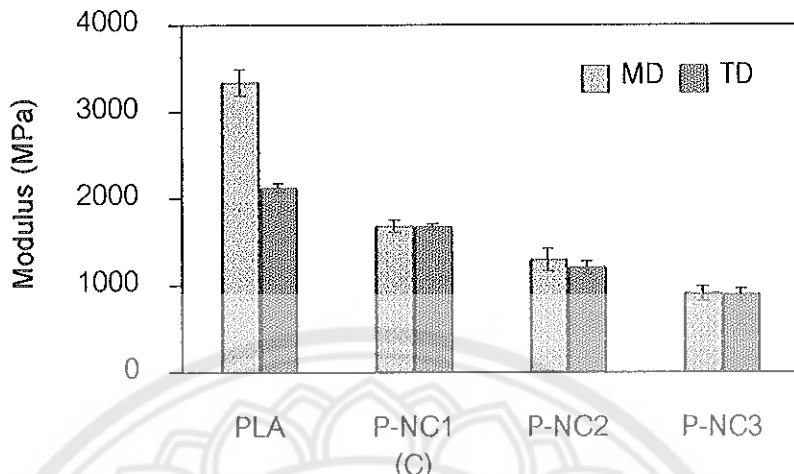
จากภาพถ่าย SEM ของฟิล์มจากล่าวย่ำว่า NR:Cg มีบางส่วนที่เข้ากันได้ และบางส่วนที่ไม่เข้ากับ PLA เนื่องจาก NR:Cg ในขั้นตอนการเตรียมมีขนาดอนุภาคใหญ่ เมื่อผสมร่วมกับ PLA พบว่ามีขนาดอนุภาคเล็กลง เนื่องจากมีบางส่วนที่ละลายเข้าเป็นเนื้อเดียวกับ PLA ในขณะที่อนุภาคส่วนที่เหลืออยู่ คือ ส่วนที่เข้าไม่ได้กับ PLA จึงปรากฏการแยกเฟสของมาจากการเพลิง PLA ส่งผลให้ฟิล์มพอลิเมอร์สมรรถห่วงในแนวขวาง (Transverse direction, TD) และแนวเครื่องจักร (Machine direction, MD) มีค่าความหนาต่อแรงดึง และค่ามอดูลัสลดลงเมื่อเทียบกับฟิล์ม PLA ซึ่งการลดลงของสมบัติความหนาต่อแรงดึงจาก 68 MPa เป็น 14 MPa และมอดูลัสจาก

3334 MPa เป็น 900 MPa ถึงแม้ว่า NR:Cg มีบางส่วนที่เข้ากับ PLA “ได้ แต่กลับพบว่าค่าความทนต่อแรงดึง และค่ามอดูลัสมีค่าลดลง เป็นผลมาจากการเพิ่มส่วนนุ่ม (soft segment) ของ NR ในขณะเดียวกันการแยกเฟสของ NR:Cg ออกจากเฟสของ PLA ก็ส่งผลให้ความทนต่อแรงดึง และค่ามอดูลัสลดลงเช่นเดียวกัน [42] อย่างไรก็ตามส่วนนุ่มของ NR พบว่ามีส่วนช่วยเพิ่มค่าระยะยืดสูงสุด ณ จุดขาดจากค่า 5 % เป็น 11.4 % (ภาพ 29)

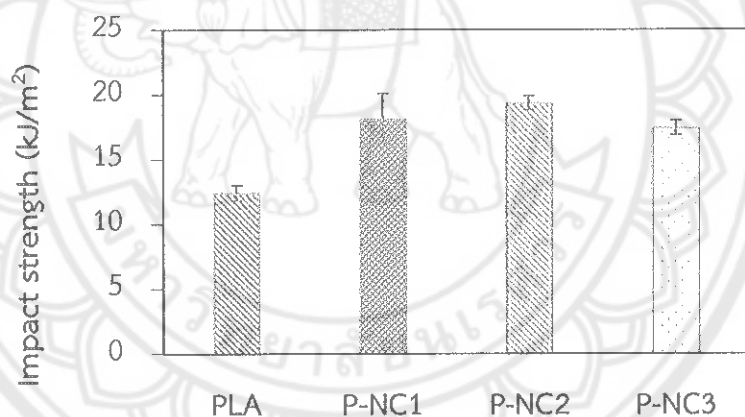
จากภาพ 30 ค่าความทนต่อแรงกระแทกพอลิเมอร์ผสม พบร่วมกับพอลิเมอร์ผสมทุกสูตรมีค่าความทนต่อแรงกระแทกสูงกว่า PLA เพียงอย่างเดียว โดยพอลิเมอร์ผสมที่มีอัตราส่วนของ NR ที่มากกว่า พบร่วมช่วยให้ขึ้นงานสามารถยึดตัวออก [64] และมีค่าความทนต่อแรงกระแทกที่ดีกว่า



ภาพ 29 (A) ค่าความทนต่อแรงดึง (B) ค่าระยะยืดสูงสุด ณ จุดขาด และ (C) ค่าร้อยละมอดูลัส ของฟิล์ม PLA และฟิล์มพอลิเมอร์ผสมที่มีอัตราส่วนของ NR:Cg ที่แตกต่างกัน ทั้งในแนวเครื่องจักร (MD) และแนวขวาง (TD)



ภาพ 29 (ต่อ)



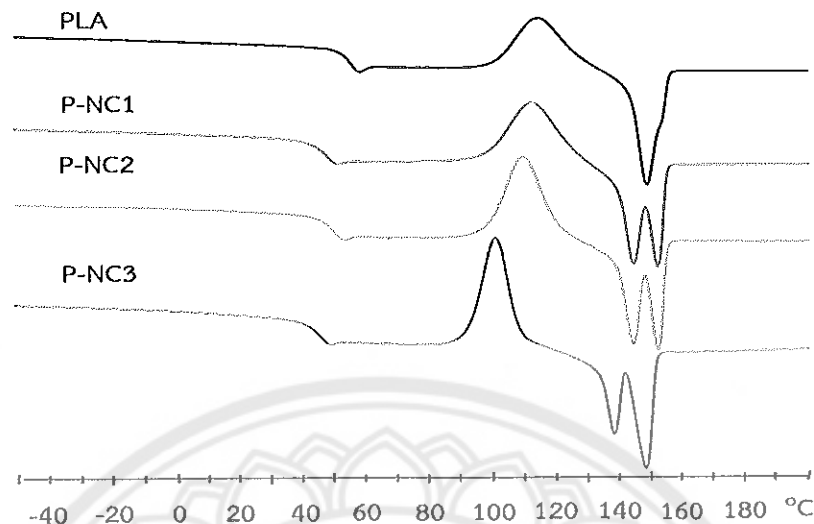
ภาพ 30 ค่าความทนต่อแรงกระแทกของชิ้นงานที่เตรียมจาก PLA และพอลิเมอร์ผสมระหว่าง PLA/NR:C-g-PAMPS ที่มีอัตราส่วนของ NR:Cg ที่แตกต่างกัน

ศึกษาสมบัติทางความร้อนของฟิล์มพอลิเมอร์ผสม (ภาพ 31 และ ตาราง 12) พบว่า ฟิล์มพอลิเมอร์ผสมมีค่า T_g ต่ำกว่าค่า T_g ของฟิล์ม PLA และมีค่าลดลงตามอัตราส่วนของ Cg ที่เพิ่มขึ้น โดยมีค่าลดลงประมาณ 7 °C ถึง 11 °C (ทั้งนี้มีหลายงานวิจัยรายงานว่า Yang ธรรมชาติ และ 'โคโลราโน' ไม่มีส่วนในการเปลี่ยนแปลงค่า T_g ของ PLA) [9, 63] จึงอาจกล่าวได้ว่า Cg ที่ผสมร่วมกับ NR สามารถแสดงพฤติกรรมคล้ายสารพลาสติกไซเซอร์ (plasticizing agent) ช่วยเพิ่มการขยายตัวของ PLA ทำให้ PLA มีค่า T_g ลดลง [65-67]

ศึกษาค่าอุณหภูมิในการเกิดผลึกขณะให้ความร้อน (cold crystallization Temperature, T_{cc}) ซึ่งแสดงถึงการเปลี่ยนสภาพจากอสัณฐานเป็นผลึก (reorganization) ในระหว่างการให้ความร้อน พบว่า T_{cc} ของพอลิเมอร์ผสมมีค่าเปลี่ยนแปลงไปจาก T_{cc} ของพิล์ม PLA บริสุทธิ์ ซึ่งอาจกล่าวได้ว่าการปรากម្មของอนุภาค NR และ Cg มีส่วนสำคัญต่อพฤติกรรมการเกิดผลึกของ PLA ซึ่งผลกระทบดังกล่าวสอดคล้องกับงานวิจัยของ Pongtanayut K, et al. [40] ที่พบว่าการผสม PLA ร่วมกับ NR ซึ่งปรากម្មการแยกเฟสของ NR ออกจาก PLA ส่งผลกระทบต่อการเกิดผลึกของ PLA ในขณะที่ ENR ซึ่งเข้ากัน PLA “ได้ดีกว่า” (ไม่ปรากម្មการแยกเฟสระหว่าง ENR ออกจาก PLA) ไม่พบการเกิดผลึกเพิ่มขึ้นของ PLA ซึ่งในงานวิจัยนี้ Cg บางส่วนสามารถเกิดอันตรกิริยาเข้ากันได้กับ PLA (ค่า T_g ลดลง) ในขณะที่ NR และ Cg บางส่วนยังคงมีการกระจายตัวเป็นอนุภาคขนาดเล็กอยู่ในเมทริกซ์ของ PLA ซึ่งอนุภาคดังกล่าวจะมีส่วนสำคัญต่อการเปลี่ยนแปลงพฤติกรรมการเกิดผลึกของ PLA ทำให้ PLA เกิดผลึกได้ยากขึ้นที่อุณหภูมิต่ำลง (T_{cc} ลดลง) นอกจากนี้ผลที่ได้ยังสอดคล้องกับการยับของค่า T_m ซึ่งมีทั้งการปรากម្មค่า T_m ที่ลดต่ำลง และการมี T_m 2 ค่า ซึ่งผลดังกล่าวแสดงถึงการเปลี่ยนฟอร์มโครงร่างผลึกของ PLA จาก α ฟอร์ม เป็นโครงสร้างผสมของ α และ β ฟอร์ม และการเปลี่ยนแปลงดังกล่าวเป็นผลกระทบมาจาก NR และ Cg ในรั้งตอนการเกิด T_{cc} ของ PLA [68, 69]

นอกจากนี้การเพิ่มขึ้นของค่าพลังงานความร้อนในการเกิดผลึก (cold crystallization enthalpy, ΔH_{cc}) ยังบ่งบอกถึงการเพิ่มขึ้นของอัตราการเคลื่อนที่ของโมเลกุล (relaxation rate exhibited) ในการฟอร์มโครงร่างผลึกของ PLA ส่งผลให้โครงร่างผลึกขนาดใหญ่มีอัตราส่วนเพิ่มขึ้นตามอัตราส่วนของ Cg ที่เพิ่มขึ้น [25]

ค่าอุณหภูมิหลอมผลึก (melting peaks, T_m) ของพอลิเมอร์ผสม มีการแยกออกเป็น 2 ฟีด ซึ่งแสดงถึงการจัดเรียงตัวใหม่ของผลึกที่มีความแตกต่างกัน โดยผลึกที่มีความสมบูรณ์ (perfect crystals) หรือผลึกที่มีโครงร่างผลึกขนาดที่ใหญ่กว่า จะมีค่า T_m ที่สูงกว่า ซึ่งจะเห็นได้ว่า อัตราส่วนของ Cg ที่เพิ่มขึ้น จะมีส่วนของผลึกที่มีความสมบูรณ์กว่ามากกว่า ซึ่งผลดังกล่าว สอดคล้องกับผลของค่า T_{cc} และค่า ΔH_{cc} ดังที่ได้กล่าวไปแล้วข้างต้น ซึ่งการเปลี่ยนแปลงดังกล่าว นำไปสู่การเกิดจากอนุภาค Cg ส่งผลให้เกิดการฟอร์มนิวเคลียที่เสถียร (stable nuclei) เพิ่มขึ้น ผลึกจึงมีขนาดใหญ่และมีปริมาณเพิ่มขึ้นตามอัตราส่วนของ Cg ที่เพิ่มขึ้น



ภาพ 31 DSC เทอร์โมแกรมของการให้ความร้อนครั้งที่ 2 ของฟิล์ม PLA และพอลิเมอร์
ผสมระหว่าง PLA/NR:C-g-PAMPS ที่มีอัตราส่วนของ NR:Cg ที่แตกต่างกัน

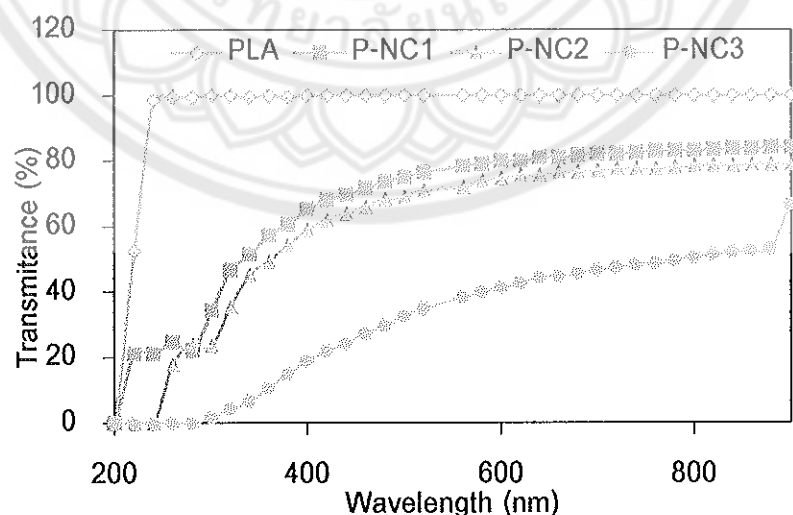
ตาราง 12 สมบัติทางความร้อนของฟิล์ม PLA และพอลิเมอร์ผสมระหว่าง PLA/NR:C-g-PAMPS ที่มีอัตราส่วนของ NR:Cg ที่แตกต่างกัน จากการให้ความร้อนครั้งที่ 2

ตัวอย่าง	T_g (°C)	T_{cc} (°C)	T_m (°C)	ΔH_{cc} (J/g)	ΔH_m (J/g)	X_c (%)
PLA	53.51	114.51	148.38	27.83	27.20	0
P-NC1	45.56	112.34	144.05,	29.00	30.14	1.52
			151.71			
P-NC2	47.87	109.52	143.71,	28.40	30.86	3.28
			151.70			
P-NC3	43.06	100.69	137.72,	30.98	36.12	6.86
			147.85			

สมบัติการส่องผ่านของแสงของฟิล์มพอลิเมอร์
การใช้งานพีล์มพอลิเมอร์เป็นพีล์มบรรจุภัณฑ์สำหรับอาหาร การผ่านของแสงไปยัง
อาหารมีผลต่อการเร่งปฏิกิริยาการเปลี่ยนสมบัติของอาหาร โดยเฉพาะช่วงความยาวคลื่น 280 nm

(UV-B radiation) ที่พบว่ามีส่วนในการเร่งปฏิกิริยาออกซิเดชันของไขมัน (lipid) ในอาหาร ทำให้อาหารที่มีไขมันเกิดการเสื่อมสภาพเร็วขึ้น โดยอาหารที่มีไขมันเป็นองค์ประกอบ เช่นเนื้อสัตว์ต่าง ๆ [9, 65, 70] จากผลการทดลองพบว่าฟิล์ม PLA ซึ่งมีลักษณะใส แสงที่ความยาวคลื่น 280 nm สามารถผ่านได้ 100% การเติม NR:Cg ช่วยลดการผ่านของแสงที่ความยาวคลื่น 280 nm และมีการป้องกันการผ่านของแสงเพิ่มขึ้นตามอัตราส่วนของ Cg ที่เพิ่มขึ้น โดยฟิล์ม P-NC3 ซึ่งมี PLA:NCg ในอัตราส่วน 80:20 และมี NR:Cg ในอัตราส่วน 2:1 สามารถป้องกันการผ่านของแสงที่ความยาวคลื่น 280 nm ได้ 100% ในขณะที่ P-NC2 และ P-NC1 ซึ่งมีอัตราส่วน NR:Cg เท่ากับ 4:1 และ 9:1 พบการผ่านของแสงที่ความยาวคลื่น 280 nm ใกล้เคียงกันคือประมาณ 24% (ภาพ 32) นอกจากนี้ยังพบการลดลงของช่วงแสงวิชิเบิล (400-700 nm) ซึ่งเป็นช่วงแสงที่มีส่วนเร่งการเสื่อมสภาพ หรือการเน่าเสียของอาหารโดยเฉพาะในส่วนที่ไม่ต่อการเสื่อมสภาพ เช่น วิตามิน และไขมันในอาหาร [57] จึงอาจกล่าวได้ว่า NR และ Cg มีส่วนช่วยลดการผ่านของแสงได้โดยเฉพาะช่วงความยาวคลื่นที่ก่อให้เกิดการเปลี่ยนแปลงของอาหารที่มีไขมัน และวิตามินที่ไม่ต่อการเสื่อมสภาพเป็นองค์ประกอบ

การผ่านของแสงที่ลดลงของฟิล์ม PLA ผสม NR:Cg อาจเกิดจากการดูดซับคลื่นแสงโดยสีน้ำตาลของ NR และ Cg ในส่วนที่ผสมเป็นเนื้อเดียวกับ PLA (homogeneous blend) [71] และการกระจายแสงโดยอนุภาคขนาดเล็กของ NR และ Cg ในส่วนที่ไม่เป็นเนื้อเดียวกับ PLA และกระจายอยู่ทั่วทั้งแผ่นฟิล์ม (heterogeneous blend) [43, 72]



ภาพ 32 ค่าการส่องผ่านของแสง (Transmittance) ของฟิล์ม PLA และพอลิเมอร์ผสมระหว่าง PLA/NR:C-g-PAMPS ที่มีอัตราส่วนของ NR:Cg ที่แตกต่างกัน

ค่าสี และการส่องแสงสว่างของฟิล์มพอลิเมอร์ผสมเทียบกับฟิล์ม PLA พบร่วมกับฟิล์มมีค่าความสว่าง (L^*) ลงลง ในขณะที่มีสีแดง ($+a^*$) และเหลือง ($+b^*$) เพิ่มขึ้นตามอัตราส่วนของ Cg ในพอลิเมอร์ผสมระหว่าง NR:Cg ที่เพิ่มขึ้น ซึ่งสังเกตว่าเป็นลักษณะเด่นเฉพาะของไคโตซาน ในขณะที่ฟิล์ม PLA บริสุทธิ์มีสีออกโภนเขียว ($-a^*$) น้ำเงิน ($-b^*$) และเมื่อเปลี่ยนเทียบความแตกต่างของสี (ΔE) ของฟิล์มพอลิเมอร์ผสมเทียบกับฟิล์ม PLA พบร่วมมีค่าแตกต่างจากฟิล์ม PLA ค่อนข้างมาก และอัตราส่วนของ NR:Cg = 9:1 และ 4:1 มีค่าไม่ต่างกันมากนัก ในขณะที่อัตราส่วนของ NR:Cg = 2:1 มีความแตกต่างที่เพิ่มขึ้นอย่างชัดเจน (ตาราง 13) จากผลดังกล่าวอาจกล่าวได้ว่า Cg มีผลต่อสีของฟิล์มมากกว่า NR

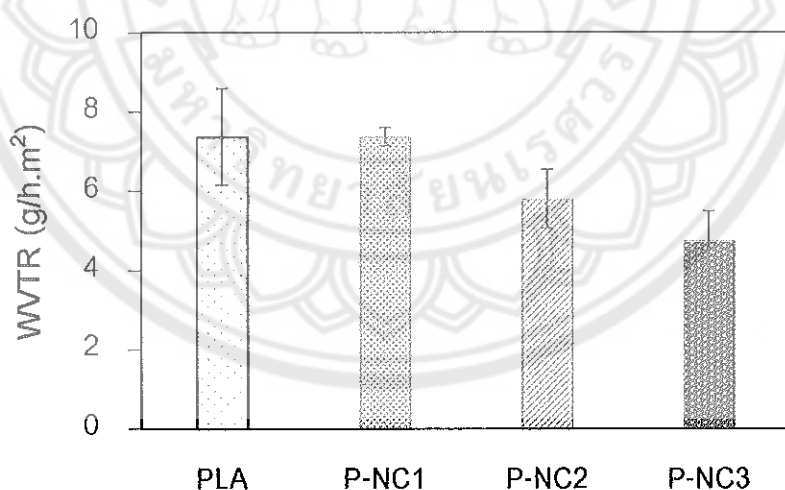
ตาราง 13 ค่าสี และการส่องแสงสว่างของฟิล์ม PLA และพอลิเมอร์ผสมระหว่าง PLA/NR: C-g-PAMPS ที่มีอัตราส่วนของ NR:Cg ที่แตกต่างกัน

ตัวอย่าง	L^*	a^*	b^*	ΔE
PLA control	87.32	-0.22	-4.20	0.00
P-NC1	82.60	1.70	6.57	11.91
P-NC2	82.85	2.075	5.425	10.86
P-NC3	78.78	4.13	17.95	24.13

บรรจุภัณฑ์สำหรับบรรจุอาหารสด และอาหารบางประเภทมีความจำเป็นที่ต้องใช้บรรจุภัณฑ์จากพอลิเมอร์ที่มีสมบัติการซึมผ่านเข้าออกของไอน้ำต่ำ เนื่องจากน้ำมีส่วนสำคัญในการเติบโตของแบคทีเรีย ดังนั้นฟิล์มที่มีการซึมผ่านเข้าออกของไอน้ำต่ำจะมีโอกาสเกิดการเจริญเติบโตของเชื้อจุลชีพต่ำ เช่นกัน ส่งผลให้ลดการเสื่อมสภาพของอาหาร สามารถยืดอายุอาหารได้นานขึ้น [73] นอกจากนี้หากฟิล์มมีการซึมผ่านเข้าออกของไอน้ำสูงจะส่งผลต่อการสูญเสียน้ำของอาหารได้怏怏 [74] ทำให้อาหารเกิดการแห้ง/เสื่อมสภาพได้เร็วขึ้น

จากการทดสอบค่าอัตราการซึมผ่านของไอน้ำ (ภาพ 33) พบร่วมค่า WVTR ของฟิล์ม PLA มีค่ามากที่สุด โดยมีค่าประมาณ 7.36 g/h.m^2 ทั้งนี้เนื่องจาก PLA เป็นพอลิเอทิลีนที่มีสมบัติซึมน้ำ และมีความไวต่อความชื้น ทำให้ฟิล์ม PLA มีการผ่านเข้าออกของไอน้ำสูง การผสม NR และ Cg ในอัตราส่วน 9:1 (P-NC1) พบร่วมฟิล์มมีค่า WVTR ไม่แตกต่างจากฟิล์ม PLA มากนัก ทั้งนี้แม้ว่า NR จะเป็นพอลิเมอร์ที่ไม่มีชัวร์ ซึ่งน่าจะช่วยลดการซึมผ่านของไอน้ำได้ แต่เนื่องจาก NR

ไม่สามารถเกิดขันตระกิริยาร่วมกับ PLA ได้ทำให้เกิดการแยกตัวของอนุภาค NR ออกจากเฟล็กซ์ของ PLA ซึ่งอาจทำให้เกิดช่องว่างขนาดเล็กที่ผิวจิ้มงานนี้ ส่งผลให้ความชื้นสามารถผ่านเข้าออกได้ดี ในขณะที่เมื่ออัตราส่วนของ Cg ซึ่งเป็นพอลิเมอร์ที่มีรั้ว เนื่องจากหมู่รั้ลโพนิกของ PAMPS เพิ่มขึ้น (P-NC2 และ P-NC3) กลับพบค่าอัตราการซึมผ่านของไอน้ำที่ลดลง ทั้งนี้อาจเนื่องมาจาก Cg แม้ว่าจะสามารถแสดงพฤติกรรมเป็นพลาสติไซเรอร์ให้กับ PLA ได้แต่ Cg ยังสามารถเกิดขันตระกิริยาร่วมกับ PLA ได้ด้วยเช่นกัน ส่งผลให้มีส่วนของ Cg ที่สามารถเข้ากันได้ (compatible) กับ PLA เพิ่มขึ้น [75] (จากผลของการวิเคราะห์สมบูติทางความร้อน) ทั้ง Cg ยังสามารถเหนี่ยวนำให้ PLA สามารถเกิดผลึกได้เพิ่มขึ้น ซึ่งผลทั้ง 2 ดังกล่าวมีส่วนให้ส่วนที่ขอบไอน้ำของ PLA มีความกว้างไวลดลง ส่งผลให้ฟิล์มพอลิเมอร์สมมิค่าอัตราการซึมผ่านของไอน้ำลดลงตามอัตราส่วนของ Cg ที่เพิ่มขึ้น ซึ่งผลดังกล่าวตรงข้ามกับงานวิจัยของ Rapa M, et al. [43] ที่พบว่าการผสมไคลโตซานที่ไม่ผ่านการตัดแบ่งร่วมกับ PLA มีส่วนช่วยให้โมเลกุลของไอน้ำผ่านแผ่นพิล์มได้ง่ายขึ้น โดยแม้ว่าไคลโตซานจะเป็นพอลิเมอร์ที่ไม่ขอบไอน้ำ แต่ในสภาวะที่มีความชื้นเพียงพอ ไคลโตซานจะสามารถแสดงพฤติกรรมเป็นพลาสติไซเรอร์ [76] ส่งผลให้ฟิล์มพอลิเมอร์ผสมมีค่าอัตราการซึมผ่านของไอน้ำเพิ่มขึ้นตามอัตราส่วนของไคลโตซานที่เพิ่มขึ้น



ภาพ 33 ค่าการซึมผ่านของไอน้ำ (Water vapour transmission rate) ของฟิล์ม PLA และ พอลิเมอร์ผสมระหว่าง PLA/NR/C-g-PAMPS ที่มีอัตราส่วนของ NR:Cg ที่แตกต่างกัน

2. ผลของปริมาณเชิลเวอร์ในพอลิเมอร์สมรรถห่วงพอลิแลคติกแอซิด และไคลโตซานดัดแปรผสมกับยางธรรมชาติ

จากการทดลองที่กล่าวมาในหัวข้อ 1 ผู้วิจัยได้ทำการเลือกอัตราส่วนของ NR:Cg = 4:1 (P-NC2) ในการดูดซับ Ag⁺ ที่ความเข้มข้นต่าง ๆ เพื่อใช้ในการเตรียมฟิล์มบรรจุภัณฑ์สำหรับต้านเชื้ออุบัติพิโนขันตอนต่อไป เพราะเป็นอัตราส่วนที่เหมาะสมที่สุดที่สามารถคัดกรอง Ag⁺ ได้ดี สามารถเป้าชื่นรูปเป็นฟิล์มบรรจุภัณฑ์ได้ และมีสมบัติต้านต่าง ๆ อุญญาน์ในเกณฑ์ปานกลาง ทั้งนี้แม้ว่าการผสม PLA ร่วมกับ NR:Cg ในอัตราส่วน = 9:1 (P-NC1) จะให้ฟิล์มบรรจุภัณฑ์ที่มีสมบัติทั้งทางกายภาพ และเชิงก่อต้านเชื้อ แต่อัตราส่วนของ Cg ที่น้อยเกินไปทำให้มีข้อจำกัดในการคัดกรอง Ag⁺ ในขณะที่การผสม PLA ร่วมกับ NR:Cg ในอัตราส่วน = 2:1 (P-NC3) จะมีปริมาณ Cg มากเพียงพอสำหรับคัดกรอง Ag⁺ แต่ปริมาณของ Cg ที่มากเกินไป ส่งผลให้เกิดการแยกเหลวของ Cg ออกจาก PLA ทำให้ขณะเป้าฟิล์มเกิดรูรั่วเกิดชื่น ส่งผลให้ไม่สามารถเตรียมฟิล์มที่มีความกว้างตามที่ต้องการได้

ดังนั้นในงานวิจัยนี้จึงได้สนใจเตรียมฟิล์มต้านเชื้ออุบัติพิโนสูตร P-NC2 ซึ่งมีอัตราส่วน PLA:NCg คือ 80:20 โดยมีอัตราส่วน NR:Cg คือ 4:1 ที่มีการคัดกรอง Ag⁺ ในปริมาณที่แตกต่างกัน 4 ความเข้มข้น ได้แก่ P-NC2-Ag1 (0.17%), P-NC2-Ag2 (0.29%), P-NC2-Ag3 (0.82%) และ P-NC2-Ag4 (1.5%)

ปืนยันการคงอยู่ของ Ag⁺ ในฟิล์มพอลิเมอร์สมด้วยเทคนิค Raman spectroscopy โดย ภาพ 34 แสดง Raman สเปกตรัมของทั้งฟิล์มพอลิเมอร์เริ่มต้น (A) PLA และ (B) P-NC2 และฟิล์มพอลิเมอร์สมที่คัดกรอง Ag⁺ (C) P-NC2-Ag4 (1.5%) โดยทำการวิเคราะห์ช่วง wavenumber ที่ 200-3200 cm⁻¹

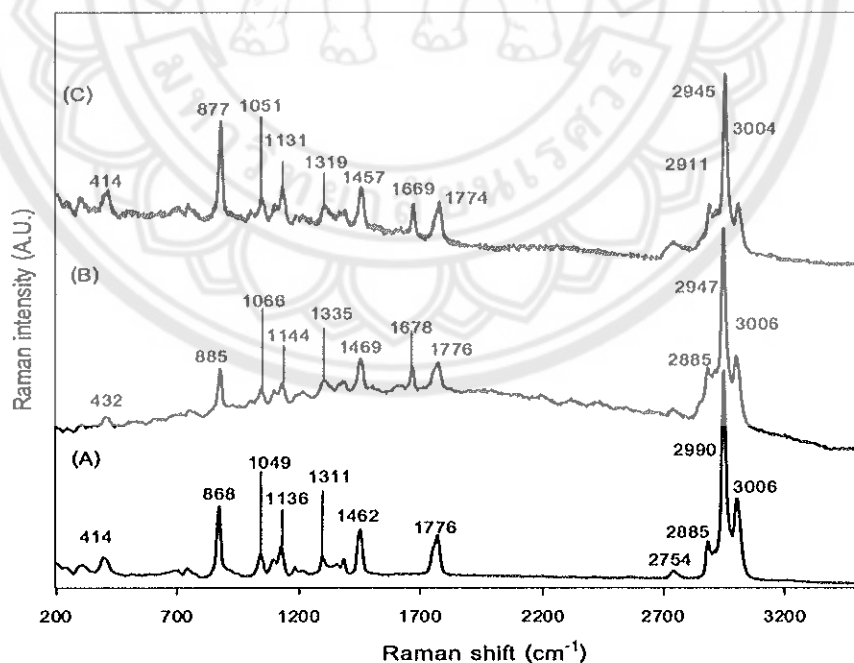
ภาพ 34 (A) แสดง Raman สเปกตรัมของฟิล์ม PLA พบสัญญาณที่แสดงถึงโครงสร้างของ PLA ที่ทำแห้ง 3006 cm⁻¹, 2947 cm⁻¹, 2885 cm⁻¹ และ 2754 cm⁻¹ (C-H stretching), 1776 cm⁻¹ (C=O stretching), 1462 cm⁻¹ (CH₃ asymmetric deformation), 1311 cm⁻¹ (C-H symmetric bending), 1136 cm⁻¹ และ 1049 cm⁻¹ (C-O-C stretching), 868 cm⁻¹ (C-COO stretching) [77]

ในขณะที่ ภาพ 34 (B) แสดง Raman สเปกตรัมของฟิล์มพอลิเมอร์สม P-NC2 พบการปรากฏสัญญาณที่แสดงถึง PLA โดยไม่พบการขยายของสัญญาณหลักที่แสดงถึงโครงสร้างของ PLA เช่น C-H stretching และ C=O stretching ในขณะที่สัญญาณในทำแห้งอื่น ๆ มีการขยายไปเล็กน้อย และปรากฏสัญญาณใหม่ที่ทำแห้ง 1678 cm⁻¹ ซึ่งจะเป็นสัญญาณ C=C stretching ของ NR และไม่พบการปรากฏของสัญญาณที่แสดงถึง Cg ทั้งนี้อาจเนื่องจากสัญญาณของ PLA

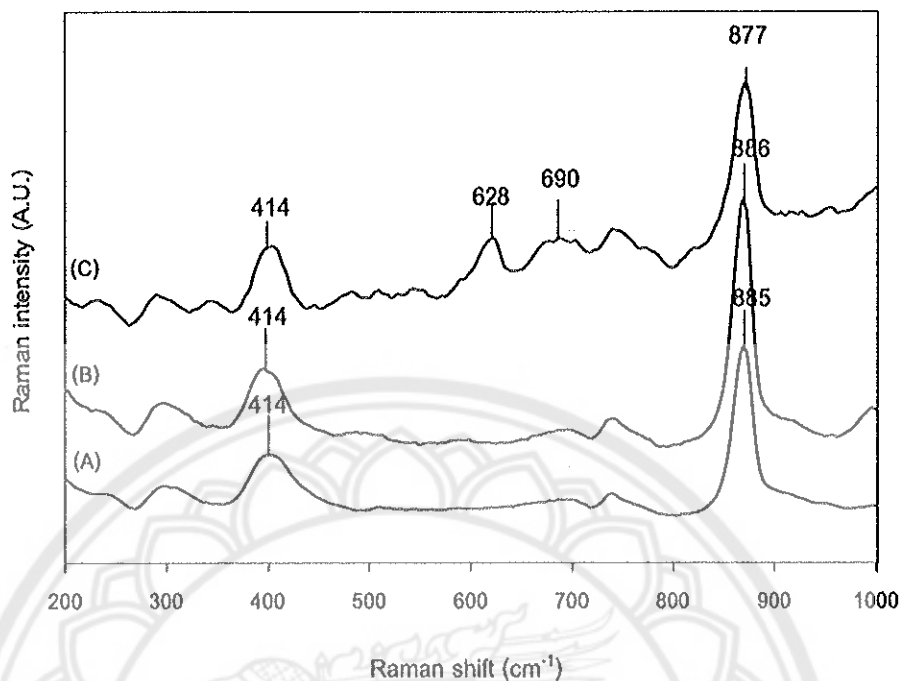
และ NR มีการบดบัง (overlap) สัญญาณของ Cg อย่างไรก็ตามเทคนิค Raman spectroscopy ยังคงสามารถแสดงให้เห็นถึงการคงอยู่ของ NR ในฟิล์มพอลิเมอร์ผสม ในขณะที่หากใช้เทคนิค ATR-IR spectroscopy จะไม่พบสัญญาณที่แสดงถึงทั้ง NR และ Cg ในฟิล์มพอลิเมอร์ผสม [78] (ภาคผนวก ภาพ 49)

ภาพ 34 (C) แสดง Raman สเปกตรัมของฟิล์มพอลิเมอร์ผสมที่คีเลตร่วมกับ Ag^+ ความเข้มข้น 1.5% (P-NC2-Ag4) พบรากฎสัญญาณที่แสดงถึงทั้ง PLA และ NR ของฟิล์มพอลิเมอร์ผสม โดยพบรากฎสัญญาณไปเล็กน้อย แต่ไม่สามารถสังเกตเห็นสัญญาณของ Ag^+ ที่คีเลตร่วมกับ Cg ได้ชัดเจนมาก

ภาพ 35 แสดง Raman สเปกตร้าของทั้งฟิล์ม PLA, P-NC2 และ P-NC2-Ag4 ที่ความยาวคลื่น 200-1000 cm^{-1} เมื่อใช้เวลาในการวิเคราะห์ที่นานขึ้น พบรากฎสัญญาณของ Ag^+ ที่คีเลตร่วมกับ Cg ในฟิล์มพอลิเมอร์ผสม (P-NC2-Ag4) ที่ตำแหน่งประมาณ 575-637 cm^{-1} และ 650-716 cm^{-1} [79] ซึ่งสัญญาณดังกล่าวไม่ปรากฏในสเปกตรัมของทั้ง PLA และ P-NC2 สัญญาณอื่น ๆ ที่แสดงถึงโครงสร้างทางเคมีของ PLA, P-NC2 และ P-NC2-Ag4 ที่วิเคราะห์ด้วยเทคนิค Raman spectroscopy ดังแสดงในตาราง 14



ภาพ 34 Raman สเปกตร้าของ (A) PLA (B) P-NC2 (C) P-NC2Ag4 ในช่วงความยาวคลื่น 200-3200 cm^{-1}



ภาพ 35 Raman สเปกตรัมของ (A) PLA (B) P-NC2 (C) P-NC2Ag4 ในช่วงความยาวคลื่น 200-1000 cm⁻¹

ตาราง 14 การวิเคราะห์โครงสร้างทางเคมีของไคโตซาน และไคโตซันดัดแปลง

Functional group	Raman shift (cm ⁻¹)		
	PLA	P-NC2	P-NCAG
C-H stretching	3006, 2947, 2885	3006, 2947, 2885	3004, 2945, 2911
C=O stretching	1776	1776	1774
C=C stretching	-	1678	1669
CH ₃ asymmetric deformation	1462	1469	1457
C-H symmetric blending	1311	1335	1319
C-O-C stretching	1136, 1049	1144, 1066	1131, 1051
C-COO stretching	868	858	877
Ag ⁺	-	-	628, 690

วิเคราะห์สัมสารวิทยาของพอลิเมอร์สม และพีล์มพอลิเมอร์สม ที่มีปริมาณ Ag^+ ต่าง ๆ กัน โดยในส่วนของพอลิเมอร์สมจะได้จากการทดสอบด้วยเครื่องอัตโนมัติ เกลี่ยวนอนเดี่ยว ก่อนนำเม็ดคอมพาวน์ไปเป่าด้วยเครื่องเปาฟิล์ม

ตาราง 15 แสดงภาพถ่าย SEM ของพอลิเมอร์สมสูตรที่ไม่มี Ag^+ (P-NC2) และสูตรที่มี Ag^+ ในปริมาณต่าง ๆ คือ 0.17% (P-NC2-Ag1), 0.29% (P-NC2-Ag2), 0.82% (P-NC2-Ag3) และ 1.5% (P-NC2-Ag4) ตามลำดับ วิเคราะห์โดยใช้อุปกรณ์ตรวจรับสัญญาณอิเล็กตรอนแบบทุติยภูมิ (secondary electron) พบว่าอย่างหักของ P-NC2 มีพื้นผิวที่ขรุขระ พบร่องอากาศขนาดเล็กจำนวนมากอยู่ในชิ้นงาน แต่ไม่พบการแยกเฟสอย่างชัดเจนระหว่าง PLA กับ NR:Cg ดังที่กล่าวไปในหัวข้อ 1 ในขณะที่ชิ้นงานพอลิเมอร์สมที่ทำการคีเลตร่วมกับ Ag^+ ทุกความเข้มข้นพบว่าพื้นผิวของชิ้นงานยังคงมีลักษณะที่ขรุขระ และมีจำนวนฟองอากาศขนาดเล็กในชิ้นงาน และยังคงไม่พบการแยกเฟสอย่างชัดเจนระหว่าง PLA กับ NR:Cg แต่พบการรวมกลุ่มก้อนกันของอนุภาคบางอย่าง ซึ่งกลุ่มก้อนดังกล่าวคล้ายถูกห่อหุ้มและฝังตัวอยู่ในเฟสของ PLA

เมื่อนำชิ้นงานสูตรที่มี Ag^+ เป่าวิเคราะห์โดยใช้อุปกรณ์ตรวจรับสัญญาณอิเล็กตรอนแบบกระเจิงกลับ (Backscattered electron detector) (ตาราง 16) ซึ่งสามารถตรวจจับสัญญาณของโลหะหักที่มีค่าเลขอะตอมสูงได้ดี โดยมาตรฐานที่มีเลขอะตอมสูงจะปรากฏเป็นภาพสีดำกว่ามาตรฐานที่มีเลขอะตอมน้อยกว่า ซึ่งจากภาพ BSE-SEM ปรากฏเฟสที่มีลักษณะเป็นจุดสีขาว ซึ่งน่าจะแสดงถึง Ag^+ ซึ่งจากภาพ BSE-SEM พบการรวมกลุ่มกันของ Ag^+ อย่างชัดเจน และกลุ่มก้อนดังกล่าวมีขนาดใหญ่ขึ้นตามความเข้มข้นของ Ag^+ ที่เพิ่มขึ้น ซึ่งกลุ่มก้อนดังกล่าวพบว่ามีขนาดใหญ่กว่า NR:Cg ที่เกิดการแยกตัวออกจาก PLA ดังที่ได้กล่าวไปแล้วในหัวข้อ 1 ซึ่งส่วนของ NR:Cg ที่เกิดการแยกตัวออกจาก PLA มีขนาดประมาณ 3-10 μm ในขณะที่กลุ่มก้อนของ Ag^+ มีขนาดประมาณ 75-1000 μm ซึ่งการรวมกลุ่มกันดังกล่าวอาจเนื่องมาจากการเคลื่อนตัวที่รวดเร็วเมื่อผสมกับ PLA ในสภาวะหลอมจะมีแนวโน้มรวมกันเป็นกลุ่มก้อน (agglomerations) และการคีเลตร่วมกับ Ag^+ จะช่วยให้ยาน้ำให้เกิดการรวมกลุ่มกันของ Ag^+ หากัน [80,81] ภาพ 36 แสดงการคาดเดาการเกิดการรวมกลุ่มกันของไดโอด้านดัดแปลงที่ฟอร์มคอมแพลิกซ์ร่วมกับ Ag^+ ขณะหลอม

ตาราง 15 ภาพถ่าย SEM ของพื้นผิวโพลิเมอร์สมที่มีปริมาณของ Ag^+ ที่แตกต่างกัน ที่เตรียมจากการหักซิ้นงานที่ผ่านกระบวนการผลิตโดยเครื่องอัดริดเกลี่ยวนอน เดียวในขั้นตอนสุดท้าย

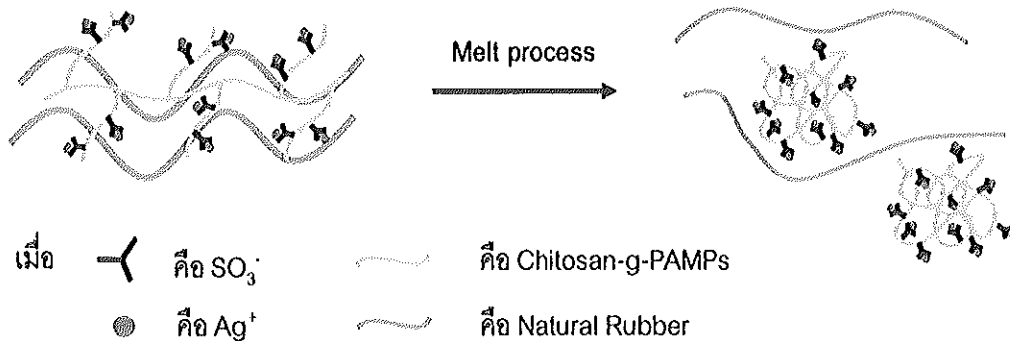
ตัวอย่าง	กำลังขยาย		
	300x	1000x	5000x
P-NC2			
P-NC2- Ag1 (0.17%)			
P-NC2- Ag2 (0.29%)			
P-NC2- Ag3 (0.82%)			
P-NC2- Ag4 (1.50%)			

หมายเหตุ: – หมายถึง ชิ้นงานเกิดการเสียสภาพขณะวิเคราะห์ ทำให้ไม่สามารถถ่ายภาพได้

ตาราง 16 ภาพถ่าย BSE-SEM ของพื้นผิวโพลิเมอร์ผสมที่มีปริมาณของ Ag^+ ที่แตกต่างกัน ที่เตรียมจากการหักชิ้นงานที่ผ่านกระบวนการผลิตโดยเครื่องอัดรีดเกลียว บนอนเดี่ยวในขั้นตอนสุดท้าย

ตัวอย่าง	กำลังขยาย		
	300x	1000x	5000x
P-NC2- Ag1			
P-NC2- Ag2			
P-NC2- Ag3			
P-NC2- Ag4			

หมายเหตุ: – หมายถึง ชิ้นงานเกิดการเสียสภาพขณะวิเคราะห์ ทำให้ไม่สามารถถ่ายภาพได้



ภาพ 36 การคาดเดาการเกิดการรวมกลุ่มกันของไคโตซานดัดแปร์ทีฟอร์มคอมแพล็กซ์ร่วมกับ Ag^+ ขณะหลอม

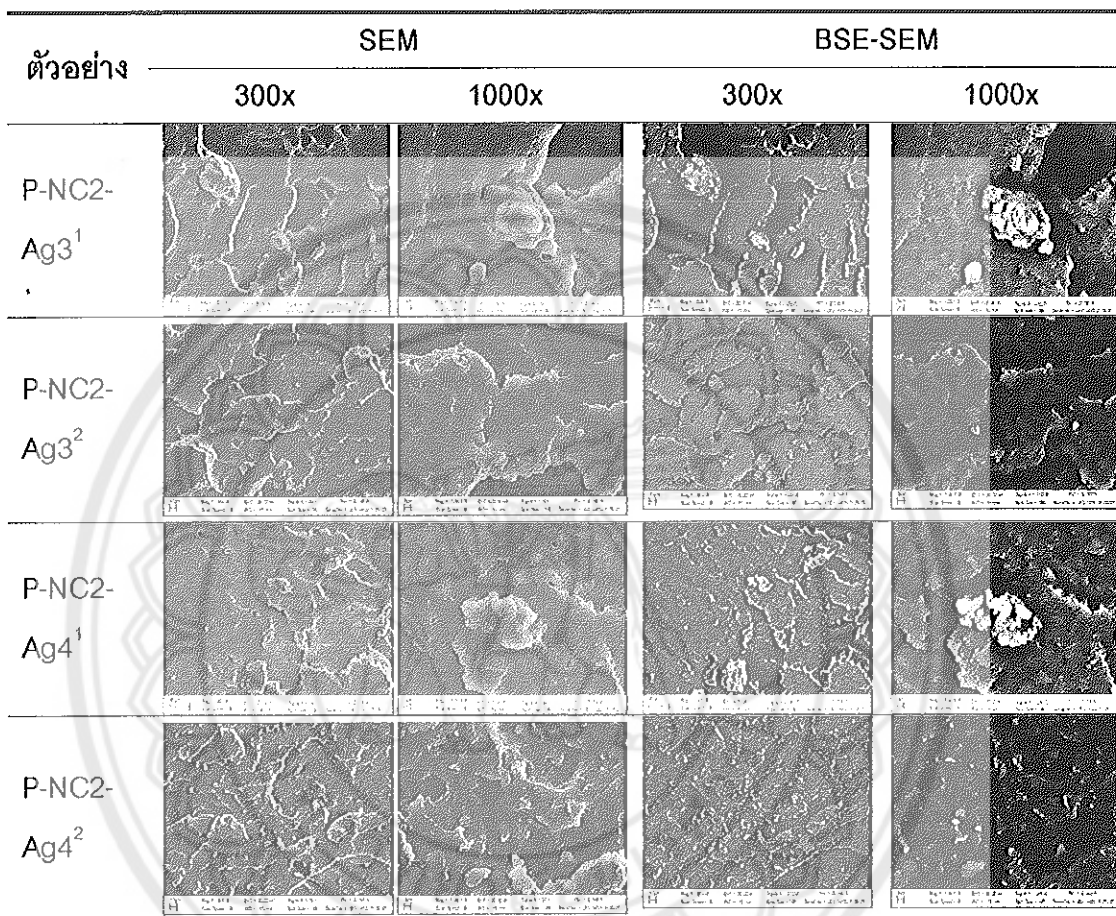
จากผล SEM ที่กล่าวมาข้างต้น พบรากурсัม NR latex ร่วมกับ Cg ในสภาวะสารละลาย โดยการปั่นกวนเพียงอย่างเดียว แม้ว่าหลังการคีเลตร่วมกับ Ag^+ แล้วจะยังคงให้พอลิเมอร์สมระหว่าง NR:Cg ที่เป็นเนื้อดีயวกัน แต่การผสมร่วมกับ PLA ในสภาวะหลอม จะส่งผลให้เกิดการแยกเฟส และการเกาะกลุ่มรวมกันของ Cg- Ag^+ ซึ่งการเกาะกลุ่มกันดังกล่าว ส่งผลให้ Ag^+ กระจายตัวไม่สม่ำเสมอทั่วทั้งแผ่นฟิล์มหลังนำพอลิเมอร์สมดังกล่าวไปเป่าฟิล์ม ซึ่ง ส่งผลต่อประสิทธิภาพในการต้านเชื้ออุลทรีพท์ลดลง สมบูติเชิงกลไม่ด้านอื่น ๆ ที่ลดลงเนื่องจากการเกาะกลุ่มดังกล่าว

ดังนั้นเพื่อแก้ปัญหาการแยกตัวออกของ Cg จาก NR ผู้วิจัยจึงได้เปลี่ยนการเตรียม NR:Cg จากการผสมแบบปกติ มาเป็นการทำปฏิกิริยากร้าฟระหว่าง NR และ Cg (NR-g-Cg) โดยใช้ $\text{K}_2\text{S}_2\text{O}_8$ เป็นสารเริ่มปฏิกิริยา (กลไกคาดเดาการเกิดปฏิกิริยากร้าฟโดยพอลิเมอร์ระหว่าง NR และ Cg ดังแสดงในภาพ 15) โดยคาดหวังว่าจะช่วยลดการเกาะกลุ่มกันของ Cg- Ag^+ ขณะหลอมร่วมกับ PLA ได้ฟิล์มที่มีการกระจายตัวของ Ag^+ อย่างสม่ำเสมอทั่วทั้งแผ่นฟิล์ม

ตาราง 17 แสดงภาพถ่าย SEM และ BSE-SEM ของพอลิเมอร์สมที่มี Ag^+ ในอัตราส่วน 0.82% และ 15.0% ทั้งแบบไม่ทำปฏิกิริยากร้าฟระหว่าง NR และ Cg (P-NC2-Ag3¹ และ P-NC2-Ag4¹) และแบบทำปฏิกิริยาปฏิกิริยากร้าฟระหว่าง NR และ Cg (P-NC2-Ag3² และ P-NC2-Ag4²)

จากผลการทดลองพบว่าการกร้าฟระหว่าง NR และ Cg ช่วยลดการรวมกลุ่มกันของอนุภาค Cg ที่มี Ag^+ คีเลตร่วมได้ดีขึ้น และพบการกระจายตัวของ Ag^+ (จุดสีขาว) อย่างสม่ำเสมอทั่วทั้งแมทริกซ์ของ PLA ซึ่งสามารถยืนยันการเข้ามาร่วมของ NR และ Cg ได้อย่างดี

ตาราง 17 ภาพถ่าย SEM และ BSE-SEM ของพื้นผิวโพลีเมอร์สมที่มีปริมาณของ Ag^+ 0.82% และ 1.50% ที่เตรียมจากการหักซึ้งงานที่ผ่านกระบวนการผลสัณ്ഹะโดยเครื่องอัดรีดเกลียวหนอนเดี่ยวในขั้นตอนสุดท้ายแบบไม่กร้าฟ¹ และแบบกร้าฟ²



ตาราง 18 แสดงภาพถ่ายพื้นผิวของฟิล์มโพลีเมอร์สมระหว่าง PLA และ NR:Cg/NR-g-Cg ที่ทำการปรับเปลี่ยนปริมาณของ Ag^+ ที่ถูกคีเลตร่วมกับหมุนฟูเน็ตของ PAMPS ที่กร้าฟบนไคลโซนด้วยกล้องถ่ายภาพ และกล้องออฟติคอลไมโครสโคป จากผลการทดลองพบว่าฟิล์มนี้มีสีน้ำตาลเข้มขึ้น มีจุดสีน้ำตาล-ดำกระจายอยู่ทั่วทั้งชิ้นงาน ซึ่งจุดสีน้ำตาล-ดำมีขนาดใหญ่ขึ้นตามปริมาณ Ag^+ ที่เพิ่มขึ้น ซึ่งการเพิ่มของขนาดดังกล่าวอาจเนื่องมาจาก Ag^+ มีส่วนทำให้ NR:Cg/NR-g-Cg เกิดการรวมกัน (coalescence) ขณะเป้าหลอม [83] ทั้งนี้สีที่เข้มขึ้น ดังกล่าวอาจเกิดจากการทำปฏิกิริยาของ Ag^+ กับอากาศ แสง และความร้อน [84, 85] ทั้งยังอาจมีส่วนกระตุ้นให้ NR และ Cg เกิดปฏิกิริยา Maillard (Maillard reaction) [6] ส่งผลให้ฟิล์มนี้สีน้ำตาลที่เข้มขึ้น

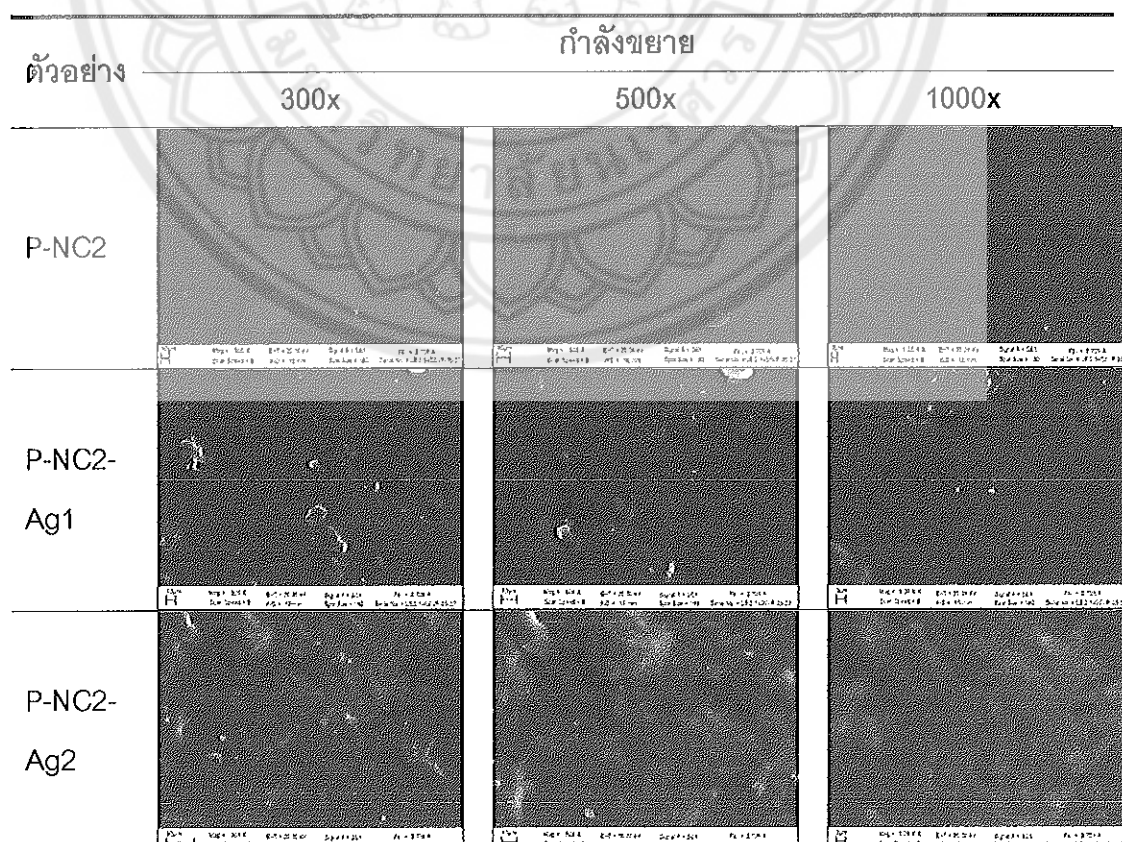
ตาราง 18 ภาพถ่ายพื้นผิวฟิล์มโพลิเมอร์สมรรถห่วง PLA/NR:C-g-PAMPS ที่มีปริมาณ Ag^+ ที่แตกต่างกัน

ตัวอย่าง	ภาพถ่ายตัวอย่าง	ภาพถ่าย OM
PLA		
P-NC2		
P-NC2-Ag1		
P-NC2-Ag2		
P-NC2-Ag3 ¹		
P-NC2-Ag4 ²		

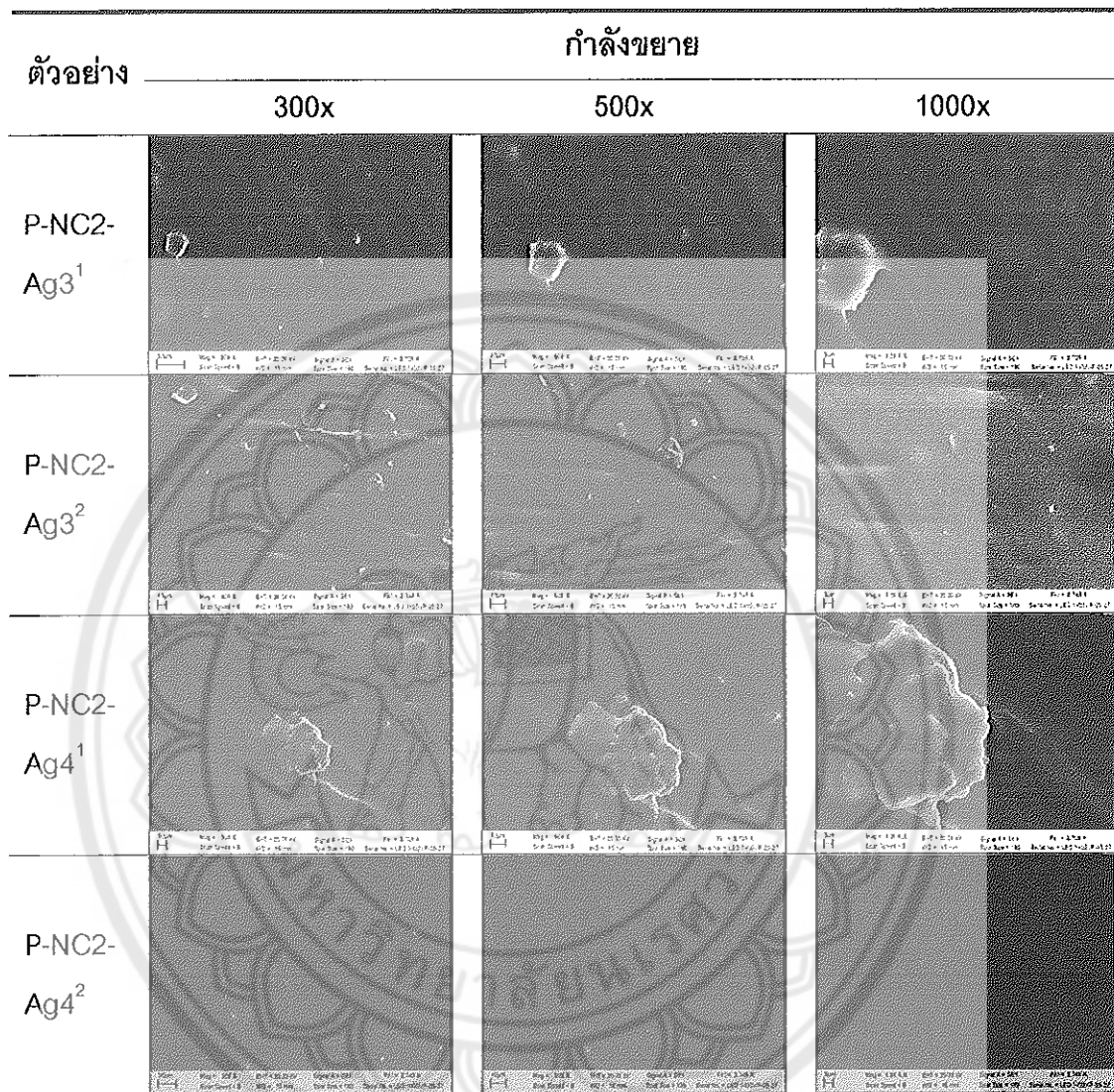
ตาราง 19 และตาราง 20 แสดงภาพถ่าย SEM และ BSE-SEM ของพื้นผิวฟิล์มพอลิเมอร์ผสมที่ได้จากการเป่าฟิล์ม โดยมีปริมาณ Ag^+ ต่าง ๆ กัน ดังนี้ 0.17% (P-NC2-Ag1) 0.29% (P-NC2-Ag 2), 0.82% แบบไม่กราฟ (P-NC2-Ag3¹) และแบบกราฟ (P-NC2-Ag3²) และ 1.5% แบบไม่กราฟ (P-NC2-Ag4¹) และแบบกราฟ (P-NC2-Ag4²)

จากภาพถ่าย SEM พบว่าลักษณะพื้นผิวของฟิล์มพอลิเมอร์ผสมที่ผ่านร่วมกับ NR:Cg ที่ Ag^+ แบบไม่กราฟ พนกการเกาะกลุ่มรวมกันของโคโลไซด์แยกออกจากเฟสของ PLA ขนาดใหญ่ กว่าสูตรที่ไม่คีเตตร่วมกับ Ag^+ และมีขนาดใหญ่ขึ้นตามปริมาณของ Ag^+ ที่เพิ่มขึ้น ซึ่งลดลงกล่าว สอดคล้องกับผลของพอลิเมอร์ผสมคอมโพสิตดังที่กล่าวไปแล้วข้างต้น ในขณะที่การผสมร่วมกับ NR-g-Cg ทั้งการคีเตตร่วมกับ Ag^+ 0.82% (P-NC2-Ag3²) และ 1.5% (P-NC2-Ag4²) พนกกลุ่ม ก้อนที่เกิดการแยกเฟสออกจากเฟสของ PLA ที่เล็กกว่า ดังนั้นจึงอาจกล่าวได้ว่าการเตรียม ยางธรรมชาติกราฟฟ์โคโลไซด์ดัดแปลง สามารถช่วยลดการรวมกลุ่มของอนุภาค NR และ Cg ให้ จึงส่งผลให้ Ag^+ กระจายตัวได้ทั่วชิ้นงานได้กว่าเมื่อผสมในสภาวะหลอม

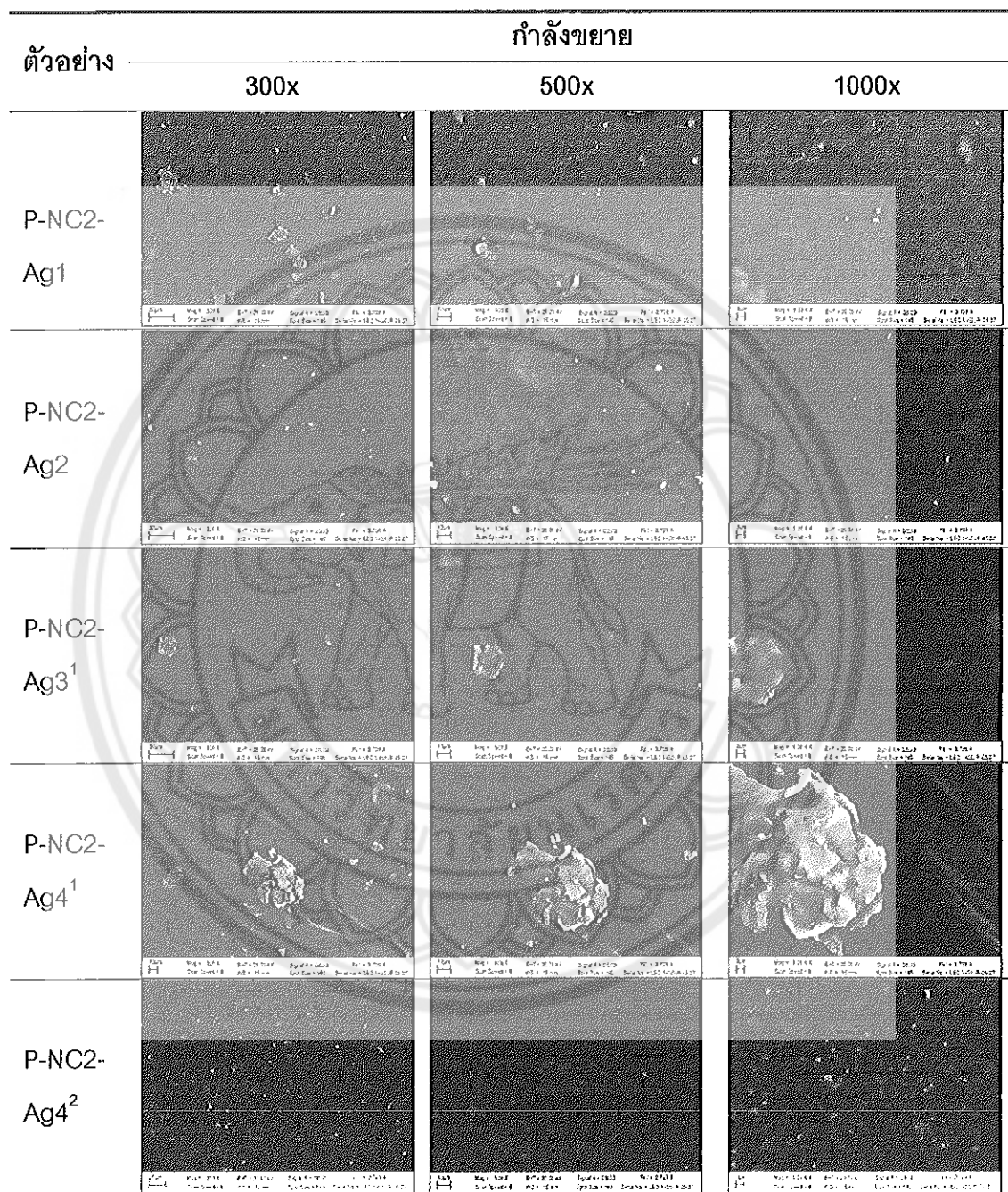
ตาราง 19 ภาพถ่าย SEM ของพื้นผิวฟิล์มพอลิเมอร์ผสมระหว่าง PLA/NR:Cg ที่มี Ag^+ ในปริมาณที่แตกต่างกัน



ตาราง 19 (ต่อ)



ตาราง 20 ภาพถ่าย BSE-SEM ของพื้นผิวฟิล์มพอลิเมอร์สมรรถห่วง PLA/NR:C-g-PAMPS ที่มีปริมาณของ Ag^+ แตกต่างกัน

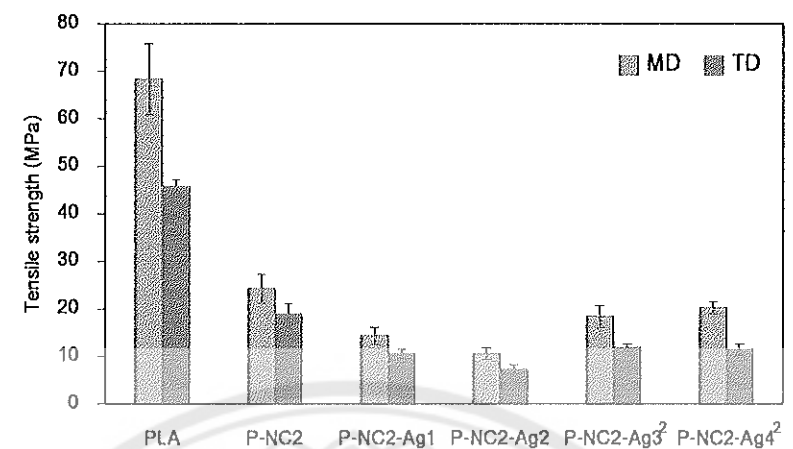


ภาพ 37 แสดงสมบัติความทนต่อแรงดึงของฟิล์มพอลิเมอร์สมเทียบกับฟิล์ม PLA ซึ่งจะแสดงเฉพาะสูตรที่ผสมร่วมกับ NR:Cg ที่คีเลตร่วมกับ Ag^+ 0.17 (P-NC2-Ag1), 0.29% (P-NC2-Ag 2) และ NR-g-Cg ที่คีเลตร่วมกับ Ag^+ 0.82% (P-NC2-Ag3²) และ 1.5% (P-NC2-

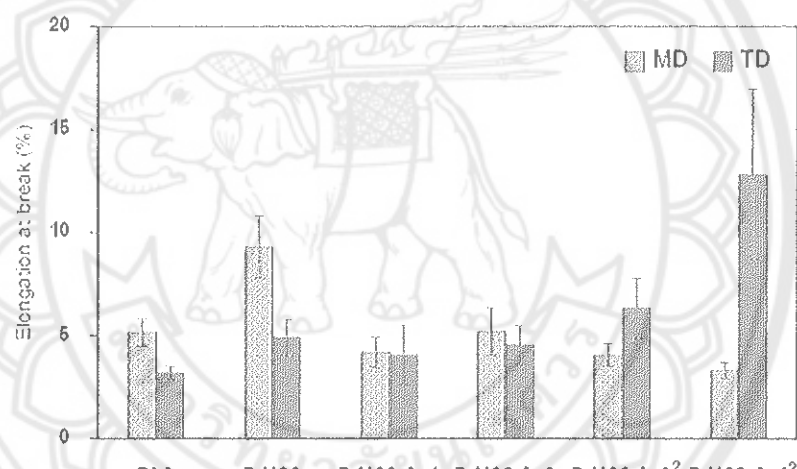
Ag^+) ทั้งนี้เนื่องจาก NR:Cg ที่คีเลตร่วมกับ Ag^+ 0.82% (P-NC2-Ag3¹) และ 1.5% (P-NC2-Ag4¹) มีการเกาะกลุ่มของ Cg/ Ag^+ ที่มีขนาดใหญ่เกินไป ส่งผลต่อการเป้าพิล์ม โดยพิล์มที่ได้มีขนาดความกว้างที่ไม่สม่ำเสมอ เนื่องจากเกิดรอยรั่วต้องทำแท่งน่อที่มีการเกาะกลุ่มร่วมกันของ Cg- Ag^+

จากการทดลองพบว่าพิล์มมีค่าความหนาต่อแรงดึง ค่าระยะยืดสูงสุด ณ จุดขาด และค่ามอดูลัสลดลงเมื่อเทียบกับสูตรที่ไม่คีเลต_r่วมกับ Ag^+ (P-NC2) และการใช้ NR:Cg/ Ag^+ พบการลดลงของสนับติความหนาต่อแรงดึงเพิ่มขึ้นตามปริมาณของ Ag^+ ที่เพิ่มขึ้น ทั้งยังมีสนับติความหนาต่อแรงดึงที่ต่างกันเมื่อเทียบกับการใช้ NR-g-Cg/ Ag^+ ทั้งนี้อาจเนื่องมาจากการซ่องว่างระหว่างเฟส ส่วนที่แยกตัวออกจากเฟสของ PLA สงผลให้พิล์มเกิดการขาดเกิดรอยขาดบริเวณที่มีการรวมกลุ่มกันของอนุภาคได้เร็วขึ้น โดยใช้แรงไม่มากนัก โดยในงานวิจัยของ Martinez A, et al. ในปี ค.ศ. 2014 [5] ได้สนใจเตรียม PLA ผสมร่วมกับเกลือของชิลเวอร์ และชิลเวอร์คอมแพลิกซ์ ในเครื่องผสมบาร์เบนเดอร์ (Brabender mixer) และขึ้นรูปเป็นแผ่นพิล์มด้วยเครื่องกดอัด จากผลของสมบัติเชิงกลพบว่าค่าความหนาต่อแรงดึง ค่าระยะยืดสูงสุด ณ จุดขาด และมอดูลัสมีค่าลดลงเมื่อเทียบกับพิล์ม PLA ซึ่งให้ผลการทดลองที่คล้ายกับงานวิจัยนี้

อย่างไรก็ตามเมื่อพิจารณาค่าความหนาต่อแรงกระแทก พบว่าพอลิเมอร์ผสมที่คีเลต_r่วมกับ Ag^+ ทุกสูตร มีค่าความหนาต่อแรงกระแทกลดลงเล็กน้อยเมื่อเทียบกับพอลิเมอร์ผสมก่อนคีเลต_r่วมกับ Ag^+ และยังคงมีค่าสูงกว่าชิ้นงานที่เตรียมจาก PLA เพียงอย่างเดียว (ภาพ 38) จากผลการทดลองในส่วนนี้อาจถ้าได้ว่า NR มีส่วนช่วยในการดูดซับพลังงานจากการกระแทกได้ และการร้าฟหรือไม่ร้าฟร่วมกับโคโตซาน และการคีเลต_r่วมกับ Ag^+ ไม่ส่งผลกระทบมากนักต่อการดูดซับพลังงานของ NR

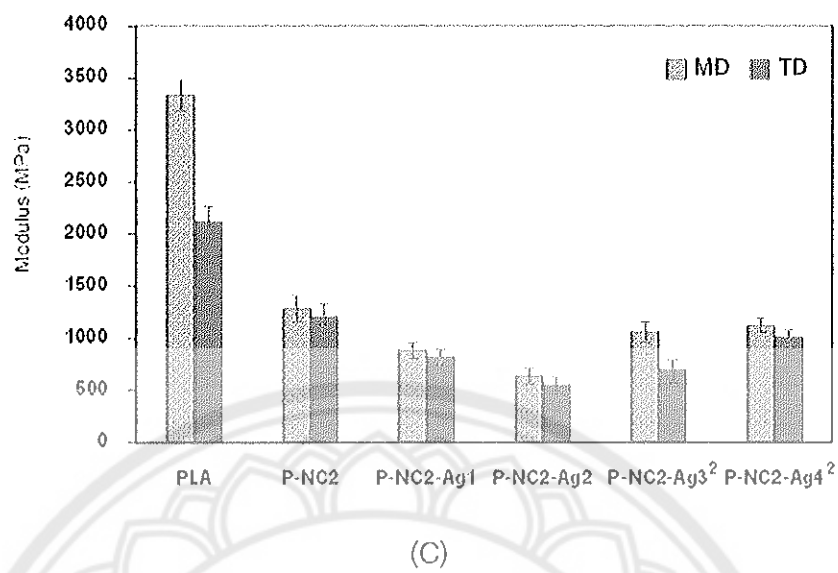


(A)



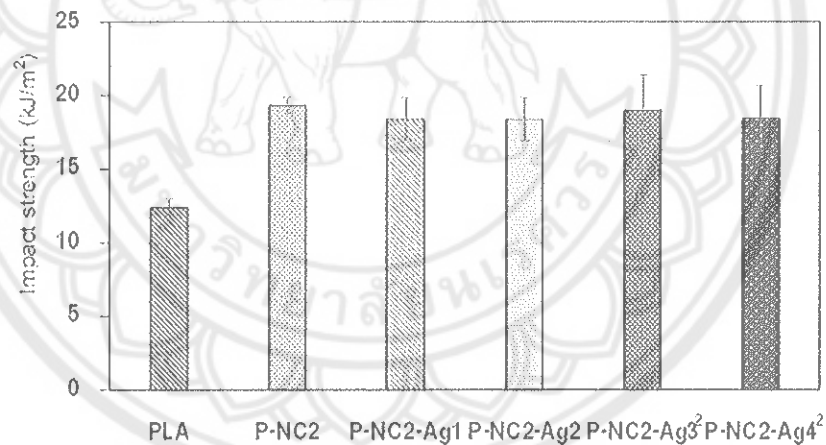
(B)

ภาพ 37 (A) ค่าความทนต่อแรงดึง (B) ค่าระยะยืดสูงสุด ณ จุดขาด และ (C) ค่าอั้มอุดลักษ์ของฟิล์ม PLA และฟิล์มพอลิเมอร์ผสมมีปริมาณของ Ag^+ ที่แตกต่างกัน ทั้งในแนวเครื่องจักร (MD) และแนวขวาง (TD)



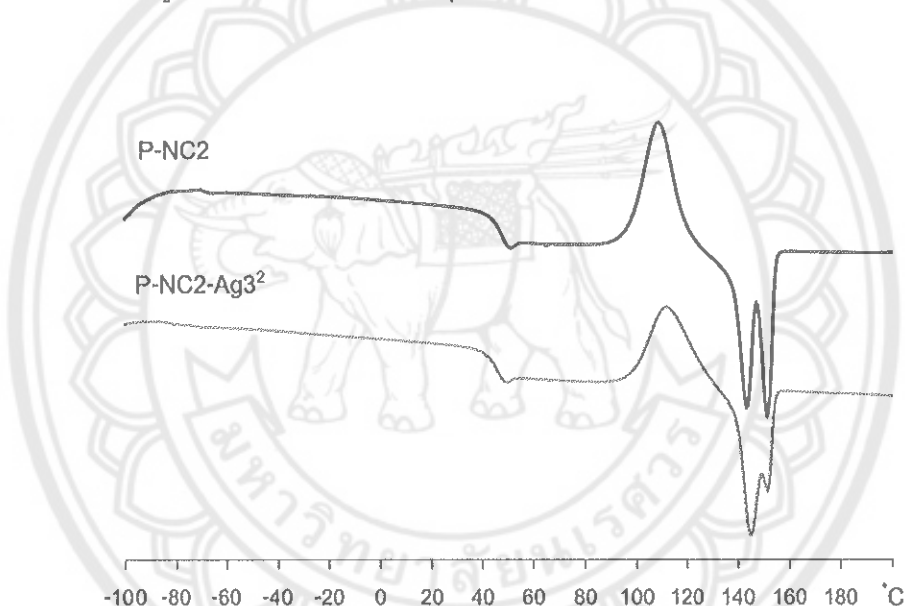
(C)

ภาพ 37 (ต่อ)



ภาพ 38 ค่าความหนดอแรงกระแทกของชิ้นงานที่เตรียมจาก PLA และพอลิเมอร์สมรรถวิ่ง PLA/NR:C-g-PAMPS ที่มีปริมาณของ Ag^+ ที่แตกต่างกัน

ศึกษาสมบัติทางความร้อนของฟิล์มพอลิเมอร์ผสมทั้งที่ไม่มี (P-NC2) และมีการคีเลตร่วมกับ Ag^+ (P-NC2-Ag3²) (ภาพ 39 และ ตาราง 21) พบว่าฟิล์มพอลิเมอร์ผสมที่คีเลต_r่วมกับ Ag^+ มีค่า T_g เพิ่มขึ้นเล็กน้อยเมื่อเทียบกับสูตรที่ไม่ผสม Ag^+ และยังคงมีค่าต่ำกว่าค่า T_g ของฟิล์ม PLA (53.51°C) จากผลดังกล่าวอาจกล่าวได้ว่าการผสม NR และ Cg แบบเข้มขวางหรือไม่เข้มขวาง และการคีเลต_r่วมกับ Ag^+ ไม่ส่งผลกระทบต่างกันมากนักต่อการซ้ายขับให้ของ PLA อย่างไรก็ตามฟิล์มพอลิเมอร์ผสมที่ผสม_r่วมกับ Ag^+ มีค่า T_{cc} เพิ่มขึ้นค่อนข้างมาก ซึ่งแสดงถึงการเกิดผลลัพธ์ที่ยกเว้นสอดคล้องกับค่า ΔH_{cc} ที่มีค่าลดลง ซึ่งบ่งบอกถึงการลดลงของอัตราการเคลื่อนที่ของไมเลกุลในการพอร์มโครงร่างผลลัพธ์ของ PLA ทั้งผลลัพธ์ที่ได้ยังมีผลลัพธ์ส่วนที่ไม่สมบูรณ์ (T_m ที่ต่ำกว่า) มากกว่าส่วนที่สมบูรณ์ จึงอาจกล่าวได้ว่ากษัตริย์ของ Ag^+ ขัดขวางการเกิดผลลัพธ์ของ PLA



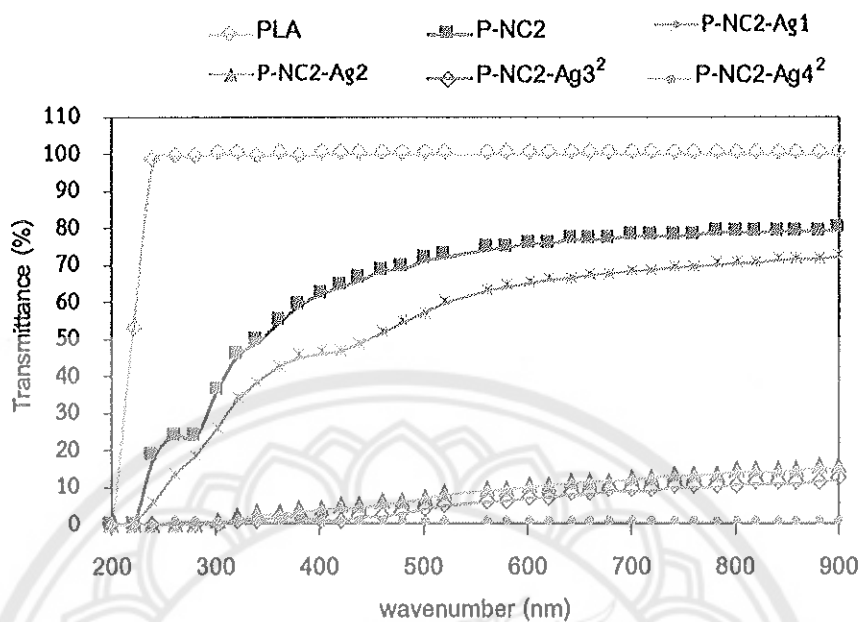
ภาพ 39 DSC เทอร์โมแกรมของการให้ความร้อนครั้งที่ 2 ของฟิล์ม PLA/NR:Cg ที่ไม่มี และมี Ag^+ ในปริมาณ 0.8%

ตาราง 21 สมบัติทางความร้อนของฟิล์ม PLA/NR:Cg และฟิล์ม PLA/NR:Cg ที่มีปริมาณซิลเวอร์ไอโอดินในอัตราส่วน 0.8% จากการให้ความร้อนครั้งที่ 2

ตัวอย่าง	T_g (°C)	T_{cc} (°C)	T_m (°C)	ΔH_{cc} (J/g)	ΔH_m (J/g)	X_c (%)
P-NC2	47.87	109.52	143.71, 151.70	28.40	30.86	3.28
P-NC2-Ag3 ²	48379	114.33	146.36, 152.36	24.79	25.32	0.71

ศึกษาค่าการผ่านแสงของฟิล์มพอลิเมอร์สมที่มี Ag^+ เป็นองค์ประกอบ (ภาพ 40) พบว่าฟิล์มจะมีค่าการผ่านแสงลดลง ตามอัตราส่วนของ Ag^+ ที่เพิ่มขึ้น โดยฟิล์มที่มีปริมาณ Ag^+ มากกว่า 0.3% พบว่าสามารถลดการผ่านแสงที่ความยาวคลื่น 280 nm ได้ 100% และลดการผ่านแสงช่วงแสงวิชิเบิล (400-700 nm) ได้มากกว่า 90% และ 100% ในสูตรที่ผสม Ag^+ ในอัตราส่วน 1.50% จึงอาจถ้าได้ว่า Ag^+ มีส่วนช่วยลดการผ่านแสง ทั้งในช่วงที่ก่อให้เกิดการเปลี่ยนแปลงของค่าหาวที่มีไขมันเป็นองค์ประกอบ และช่วงที่ก่อให้เกิดการเสื่อมสภาพ หรือการเน่าเสียของอาหารโดยเฉพาะในส่วนที่ไวต่อการเสื่อมสภาพ ซึ่งการส่องผ่านแสง UV/VIS ที่ลดลงตามปริมาณของ Ag^+ ที่เพิ่มขึ้นดังกล่าว น่าจะเป็นผลมาจากการเกิดปรากฏการณ์เชิงแสงของ Ag^+ คือ พลาสมอนเรโซโนนซ์ (plasmon resonance) ซึ่งเมื่อ Ag^+ มีขนาดที่เล็กกว่าความยาวคลื่นแสง ที่มาตกระยะ จะส่งผลให้ Ag^+ ดูดลืนสเปกตรัมของแสงไว้ [83, 84]

ศึกษาค่าสี และความสว่างของฟิล์มพอลิเมอร์สมที่เติม Ag^+ (ตาราง 22) พบว่า Ag^+ ทำให้ฟิล์มมีความสว่างลดลง แต่ไม่เท่ากับอัตราส่วนของ Ag^+ นอกจากนี้ยังมีผลทำให้สีของชิ้นงาน มีการเปลี่ยนแปลงเพิ่มขึ้น โดย เฉพาะสีเหลือง ที่มีความเข้มมากขึ้นเมื่อเทียบกับสูตรที่ไม่เติม Ag^+ ทั้งยังมีค่าความแตกต่างของสี (ΔE) เพิ่มขึ้น เมื่อเทียบกับสูตรที่ไม่เติม Ag^+ (ตาราง 20) จึงอาจกล่าวได้ว่า Ag^+ แม้เติมปริมาณที่ไม่สูงมากนักก็ส่งผลต่อการเปลี่ยนแปลงค่าสี และความสว่างของฟิล์มอย่างมีนัยสำคัญ



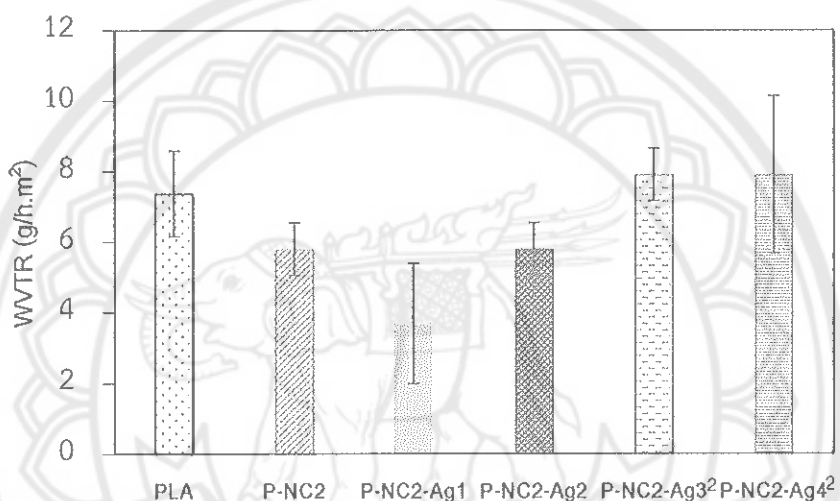
ภาพ 40 ค่าการส่องผ่านของแสง (Transmittance) ของฟิล์ม PLA และพอลิเมอร์สมรรถนะว่าง PLA/NR:Cg ที่มีปริมาณของ Ag^+ ที่แตกต่างกัน

ตาราง 22 ค่าสีและการส่องแสงสว่างของฟิล์ม PLA และพอลิเมอร์สมรรถนะว่างPLA/NR: C-g-PAMPS ที่มีปริมาณของ Ag^+ ที่แตกต่างกัน

ตัวอย่าง	L^*	a^*	b^*	ΔE
PLA control	87.32	-0.22	-4.20	0.00
P-NC2	82.85	2.08	5.43	10.86
P-NC2-Ag1	78.33	2.18	14.98	24.05
P-NC2-Ag2	79.05	2.45	12.53	18.85
P-NC2-Ag3 ²	77.39	2.93	12.30	19.51
P-NC2-Ag4 ²	78.26	2.52	13.27	19.87

จากการทดสอบค่าอัตราการซึมผ่านของไอน้ำ (ภาพ 41) พบร่วมกับการผลิต Ag^+ ในอัตราส่วน 0.17% (P-NC2-Ag1) ช่วยให้ฟิล์มพอลิเมอร์สมรรถนะว่าง WVTR ลดลง ในขณะที่อัตราส่วนของ Ag^+ ที่เพิ่มขึ้น ร่วมทั้งการกราฟ หรือการตรึง Cg กับ NR พบร่วมกับส่วนอย่างมากในการเพิ่มขึ้นของค่า WVTR ซึ่งการเพิ่มขึ้นดังกล่าวอาจเนื่องมาจากการจับกลุ่มกันของ Ag^+ ทำให้เกิดช่องว่าง

ขนาดเล็กเกิดขึ้น ซึ่งขนาดดังกล่าวมีจำนวน และขนาดใหญ่ขึ้นตามปริมาณ Ag^+ ที่เพิ่มขึ้น และการตรึง Cg ร่วมกับ NR ทำให้ลดการเกิดอันตรายระหว่าง Cg กับ PLA ทำให้ใช้ PLA สามารถขยับได้ง่ายขึ้นในสภาวะที่มีความชื้นเพียงพอ ผลให้ฟิล์มพอลิเมอร์สมมีค่าอัตราการซึมผ่านของไอน้ำเพิ่มขึ้นตามอัตราส่วนของ Ag^+ ที่เพิ่มขึ้น นอกจากนี้ยังอาจเกี่ยวเนื่องกับปริมาณผลึกในฟิล์มพอลิเมอร์สมที่พบว่าการคีเดตร่วมกับ Ag^+ ทำให้ฟิล์มมีปริมาณผลึกลดลง และมีค่าไกล์เดียงกับฟิล์ม PLA



ภาพ 41 อัตราการซึมผ่านของไอน้ำ (Water vapour transmission rate, WVTR) ของ PLA, P-NC2, P-NC2-Ag1, P-NC2-Ag2, P-NC2-Ag3² และ P-NC2-Ag4²

3. ผลของพอลิบิวทิลีนอะดิเพท-โค-เทเรฟทาเลท (Poly [(butylene adipate)-co-terephthalate], PBAT)

จากผลของสมบัติเชิงกลที่ก่อตัวมาในหัวขอ 2 พบร่วมกับฟิล์มพอลิเมอร์สม PLA/NR:Cg ที่มี Ag^+ ปริมาณต่าง ๆ มีค่าความทนต่อแรงดึง มอดูลัส และระยะยืดสูงสุด ณ จุดขาด ลดลงเมื่อเทียบกับฟิล์ม PLA และ P-NC2 ซึ่งเป็นผลมาจากการแยกเพลสออกของ NR และ Cg จากเฟสของ PLA และการรวมกลุ่มกันของ Ag^+ ดังนั้นการผสมร่วมของ NR พบร่วมยังไม่สามารถช่วยเพิ่มความยืดหยุ่นให้กับฟิล์มได้ดีนัก ดังนั้นงานวิจัยนี้จึงสนใจการผสมร่วมของพอลิบิวทิลีนอะดิเพท-โค-เทเรฟทาเลท (Poly[(butylene adipate)-co-terephthalate], PBAT) ซึ่ง PBAT เป็นพอลิเมอร์ที่ได้จากปีโตรเคมี แต่สามารถย่อยสลายได้ มีสมบัติเด่น คือ มีความยืดหยุ่นสูง และสามารถซึมน้ำรูปได้ง่าย [36,38,86] ทั้งนี้จากการวิจัยก่อนหน้าพบว่า PBAT ไม่เข้ากับ PLA โดยพนกการแยกเพลสของ

PBAT ออกจากเพลสของ PLA ทั้ง PBAT ยังไม่มีส่วนช่วยในการขับ遣ของ PLA แต่สามารถเพิ่มความยืดหยุ่นให้กับพอลิเมอร์ผสมระหว่าง PLA/PBAT ได้ เมื่อจาก T_g ที่ต่ำของ PBAT (-23°C) โดย PBAT ในอัตราส่วน 50 % พบร่วมช่วยเพิ่มค่าความยืดหยุ่นสูง ณ จุดขาดให้กับพอลิเมอร์ผสมเมื่อใช้ PLA ชนิดอสัณฐาน (A-PLA) และ PLA ชนิดกึ่งผลึก (SC-PLA) 210 % และ 187 % ตามลำดับ [86]

ดังนั้นงานวิจัยนี้จึงสนใจศึกษาผลของการผสม PBAT ต่อสมบัติฟิล์มพอลิเมอร์ผสมระหว่าง PLA/PBAT/NR:Cg โดยทำการปรับเปลี่ยนอัตราส่วนของ PAT:PBAT = 60:70:10:20 wt% เมื่อคงที่อัตราส่วนของ NR:Cg ที่ 20 wt% (PB-NC1 (70:10:20), PB-NC2 (65:15:20) และ PB-NC3 (60:20:20) รวมถึงฟิล์มพอลิเมอร์ผสมที่ทำการคั่นเตรียมกับ Ag^+ ในปริมาณ 0.8% (PB-NC2-Ag3)

จากตาราง 23 แสดงภาพ SEM ของการหักซึ้งงาน PLA, P-NC2 และพอลิเมอร์ผสมที่ผสมร่วมกับ PBAT ในอัตราส่วนต่าง ๆ กัน พบว่าพื้นผิวของพอลิเมอร์ที่ผสมร่วมกับ PBAT มีลักษณะที่ชุ่มชื้นกว่า PLA และ P-NC2 ทั้งยังพบการแยกเฟลส์ขนาดใหญ่ลักษณะหยด (droplet) กระจายอยู่ทั่วทั้งชิ้นงาน และเฟลส์ดังกล่าวมีขนาดใหญ่ขึ้นตามอัตราส่วนของ PBAT ที่เพิ่มขึ้น ซึ่งเฟลส์ดังกล่าวอาจเป็นผลของการแยกพื้นผิวของพอลิเมอร์ผสมระหว่าง PLA/PBAT และ NR:Cg อาจเกิดจากแรงยึดเกาะระหว่างรอยต่อของ PLA, PBAT และ NR:Cg เป็นการยึดกันแบบอ่อน (weak interfacial adhesion) และกระทำระหว่างพื้นผิวกับโมเลกุลของพอลิเมอร์แต่ละตัวต่ำ (low interfacial interactions) ทำให้เกิดช่องว่าง (interfacial gap) ระหว่างพอลิเมอร์ผสมเกิดขึ้น [56, 87-88] นอกจากนี้อาจมาจากการความแตกต่างของค่าการละลาย (solubility parameter) ที่แตกต่างกันมากของ PLA และ PBAT ซึ่ง PLA มีค่า $10.1 \text{ (cal/cm}^3)^{1/2}$ ในขณะที่ PBAT มีค่าการละลาย $22.95 \text{ (cal/cm}^3)^{1/2}$ [89] ซึ่งความแตกต่างนี้เป็นอีกเหตุผลหนึ่งที่ทำให้แรงกระทำระหว่างพื้นผิวกับโมเลกุลของพอลิเมอร์แต่ละตัวต่ำ

เมื่อนำพอลิเมอร์ผสมไปคั่นเตรียมกับ Ag^+ ปริมาณ 0.8% พบร่วมพิวยังคงมีความชุ่มชื้นเปลี่ยนไปมากนัก และพบช่องว่างขนาดเล็กจำนวนมากกระจายตัวอยู่ทั่วทั้งชิ้นงาน นอกจากนี้เมื่อทำการวิเคราะห์ PB-NC2-Ag3 ในโหมด BSE-SEM (PB-NC2-Ag3*) พบร่องรอยตัวของ Ag^+ (จุดขาว) ขนาดเล็ก ($<10 \mu\text{m}$) อยู่ทั่วทั้งชิ้นงาน

ตาราง 23 ภาพ SEM ของพื้นผิว PLA พอลิเมอร์ฟลัม P-NC2 และ พอลิเมอร์ฟลัม PBAT ที่อัตราส่วนต่าง ๆ และ PLA/PBAT/NR:Cg-Ag⁺ ในอัตราส่วน 0.8% ของพื้นผิวจากการหักซึ้งงานที่ผ่านกระบวนการการผสม โดยเครื่องอัดรีดเกลี่ยวนบนเดียวในขั้นตอนสุดท้าย

ตัวอย่าง	กำลังขยาย			
	300x	500x	1000x	5000x
PLA				
P-NC2				
PB-NC1				
PB-NC2				
PB-NC3				
PB-NC2 -Ag3				
PB-NC2 -Ag3*				

หมายเหตุ: – หมายถึง ชิ้นงานเกิดการเสียสภาพขณะวิเคราะห์ ทำให้ไม่สามารถถ่ายภาพได้
 * หมายถึง ภาพถ่ายด้วยเทคนิค BSE-SEM

จากตาราง 24 แสดงภาพถ่ายฟิล์มพอลิเมอร์สมด้วยกล้องจุลทรรศน์แบบใช้แสง (OM) ที่กำลังขยาย 1 เท่า และกล้องถ่ายภาพ พบร้าฟิล์มพอลิเมอร์สมที่ผสมร่วมกับ PBAT มีลักษณะใส แสงสามารถผ่านได้ มีการกระจายตัวของโคโลราเดนแบนແเนี่ยฟิล์มน้อยลงเมื่อเทียบกับสูตรที่ไม่ผสม PBAT แต่ย่างไรก็ตามฟิล์มที่ได้กลับเป็นขี้นรูปได้ยากกว่าสูตรที่ไม่ผสมร่วมกับ PBAT โดยพบร่องออกศำวน้ำมากพบແเนี่ยฟิล์ม และมีจำนวนมากขึ้นตามอัตราส่วนของ BPAT ที่เพิ่มขึ้น ทั้งนี้อาจเนื่องมาจากการซึมในเม็ดพอลิเมอร์สมที่แม่จะทำการอบก่อนเข้าสู่กระบวนการเปาขึ้นรูป ก็ไม่สามารถลดการเกิดฟองอากาศในชิ้นงานได้ ซึ่งสาเหตุนี้ส่งผลให้การเปาขึ้นรูปตามขนาดที่ต้องการทำได้ยาก และพบความไม่ต่อเนื่องของความหนาของฟิล์ม

การผสมร่วมกับ Ag^+ ปริมาณ 0.8% ส่งผลต่อสี และจำนวนอนุภาคที่เกิดการแยกเฟส ออกจากเฟสของ PLA อย่างเห็นได้ชัด ซึ่งผลดังกล่าวส่งผลให้ไม่สามารถเปาขึ้นฟิล์มให้มีความกว้างตามที่ต้องการได้

ซึ่งเมื่อพิจารณาภาพถ่าย SEM ของฟิล์มพอลิเมอร์สม (ตาราง 25) พบรากษัตัว (embedded) หรือถูกห่อหุ้ม (wrapped) ของ PBAT ในเฟสของ PLA [90] โดยขนาดของ PBAT พบร้ามีขนาดเพิ่มขึ้นตามอัตราส่วนของ PBAT ที่เพิ่มขึ้น และการแยกเฟสดังกล่าวมีลักษณะที่นูนขึ้น ซึ่งแตกต่างจากฟิล์ม P-NC2 ซึ่งจะพบอนุภาค NR:Cg ลักษณะเป็นกลุ่มก้อนขนาดเล็กกระจายตัวอยู่ในเฟสของ PLA และไม่ได้อยู่ในลักษณะที่ถูกห่อหุ้ม อย่างไรก็ตามในสูตร PB-NC3 จะสังเกตว่าอนุภาคของ NR:Cg มีลักษณะทั้ง 2 แบบ คือ แบบที่ไม่ผสาน และผสานกันเป็นจำนวนมากกับ PBAT ที่มากเกินไป ทำให้เกิดการแยกเฟสของอนุภาค NR:Cg และมีการรวมกลุ่มกัน

การผสมร่วมกับ Ag^+ (PB-NC2-Ag3) พบรากษัตัวของ Ag^+ ขนาดใหญ่กว่าที่ปรากฏในชิ้นงานพอลิเมอร์สมก่อนทำการเปา ($> 10 \mu\text{m}$) (ใหมด BSE-SEM (PB-NC2-Ag3*)) ซึ่งปรากฏการณ์ดังกล่าวอาจเกิดขึ้นขณะหลอมชิ้นงานก่อนเปา และการแยกกลุ่มกันดังกล่าวส่งผลให้ไม่สามารถเปาขึ้นรูปฟิล์มให้มีขนาดตามต้องการได้

ตาราง 24 ภาพถ่ายพื้นผิวฟิล์มพอลิเมอร์สมรรถห่วง PLA/PBAT/NR:Cg ที่มีปริมาณของ PBAT ที่แตกต่างกัน และ PLA/PBAT/NR:Cg-Ag⁺ ในอัตราส่วน 0.8%

ตัวอย่าง	ภาพถ่ายตัวอย่าง	ภาพถ่าย OM
P-NC2		
PB-NC1		
PB-NC2		
PB-NC3		
PB-NC2-Ag3		

ตาราง 25 ภาพถ่าย SEM ของพื้นผิวฟิล์มพอลิเมอร์สมรรถห่วง PLA/PBAT/NR:Cg ที่มีปริมาณของ PBAT ที่แตกต่างกัน และ PLA/PBAT/NR:Cg-Ag⁺ ในอัตราส่วน 0.8%

ตัวอย่าง	กำลังขยาย		
	300x	500x	1000x
P-NC2			
PB-NC1			
PB-NC2			
PB-NC3			
PB-NC2-Ag3			

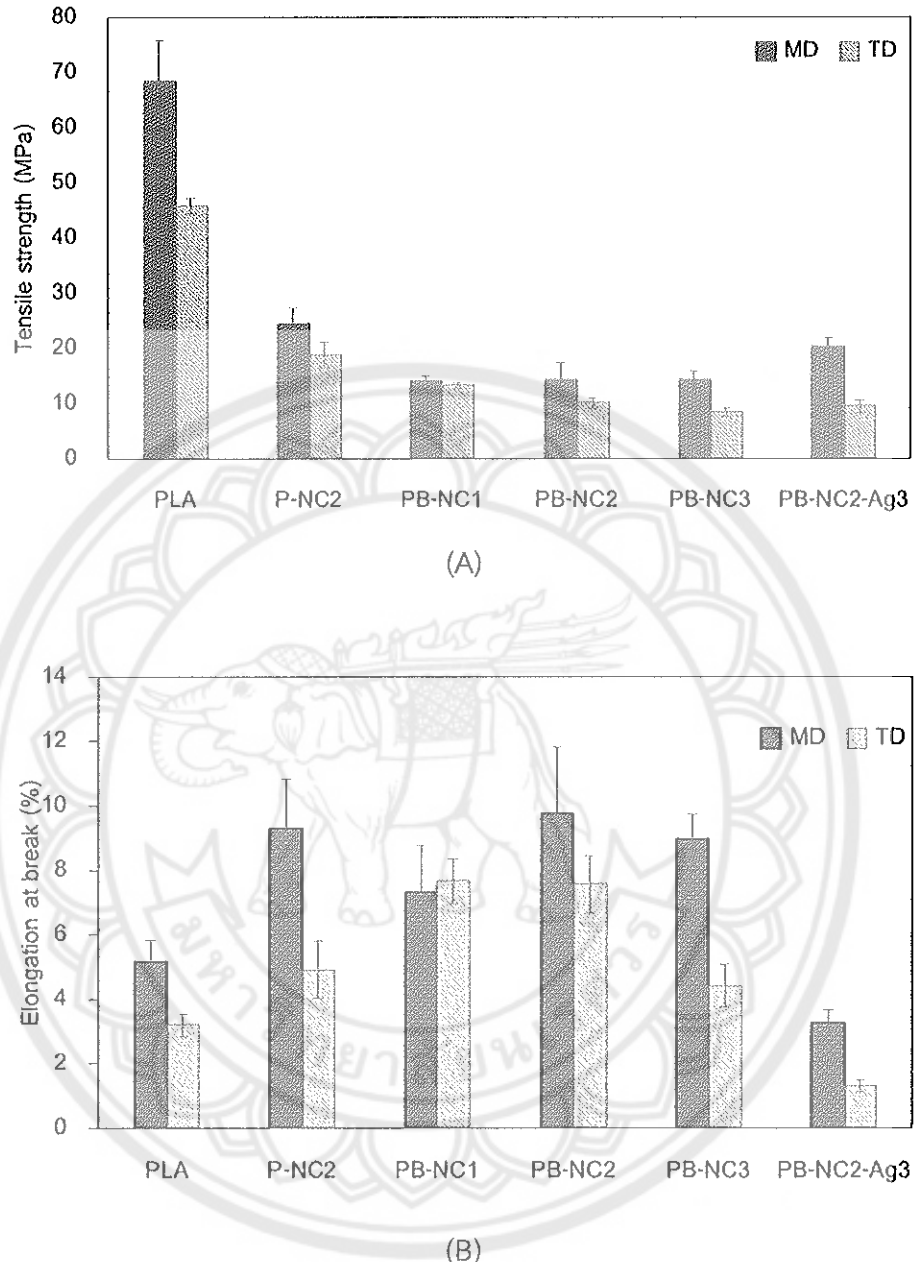
ตาราง 25 (ต่อ)

ตัวอย่าง	กำลังขยาย		
	300x	500x	1000x
PB-			
NC2-			
Ag3*			

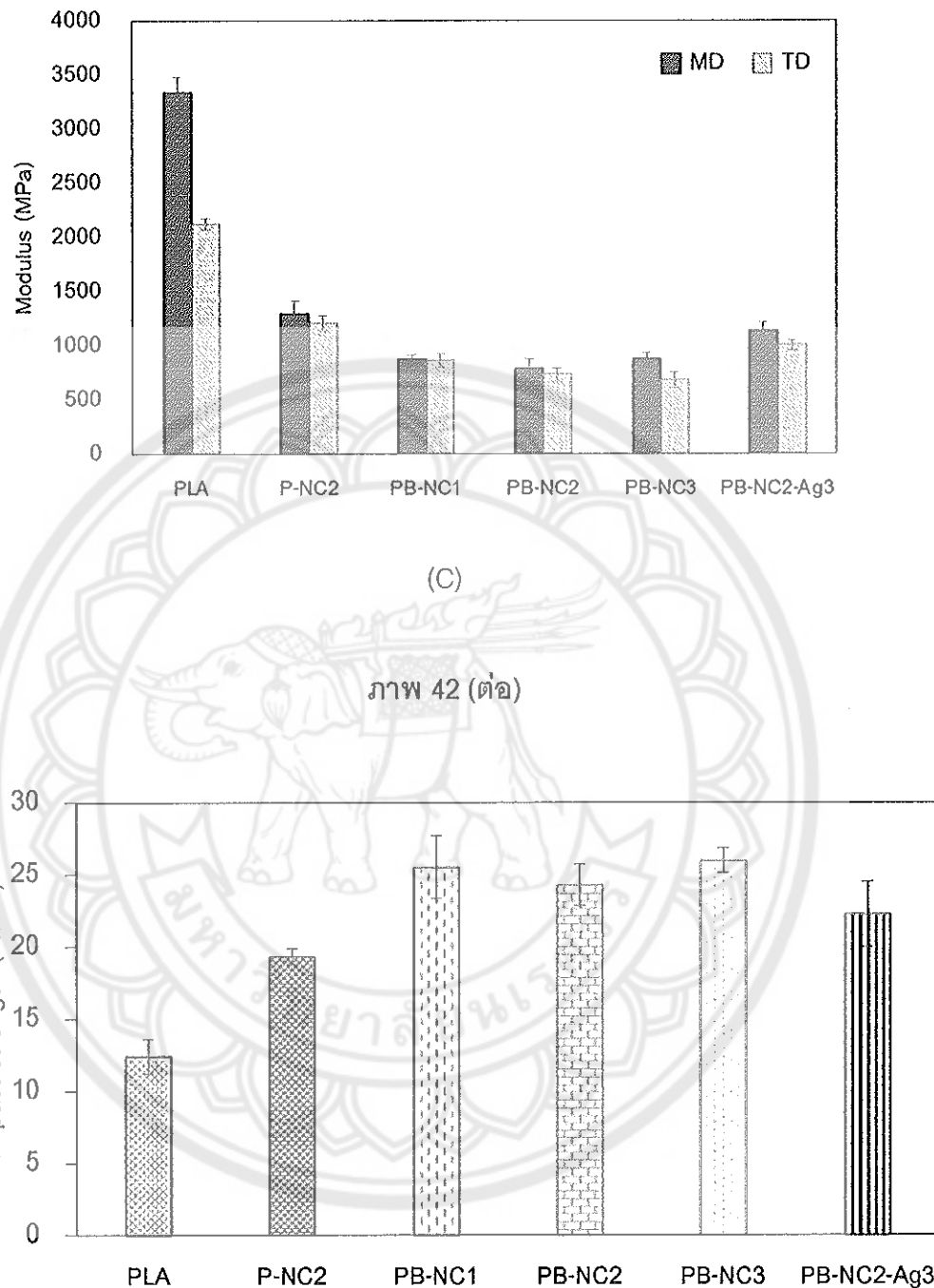
หมายเหตุ: – หมายถึง ชิ้นงานเกิดการเสียสภาพขณะวิเคราะห์ ทำให้ไม่สามารถถ่ายภาพได้

* หมายถึง ภาพถ่ายด้วยเทคนิค BSE-SEM

ทั้งนี้เมื่อจะมีน้ำยาางานวิจัยกล่าวว่า PBAT สามารถแสดงพฤติกรรมเป็นส่วนนุ่ม (soft elastomeric phase) ให้กับเฟสของ PLA ช่วยให้ PLA สามารถยึดตัวออกได้ช้า แต่การผสม ร่วมกับ NR และ Cg ในงานวิจัยนี้พบว่าพอลิเมอร์ผสมที่ผสมร่วมกับ PBAT มีค่าความหนาต่อ แรงดึง และค่ามอดูลัสลดลง ในขณะที่มีค่าระยะยืดสูงสุด ณ จุดขาด (ภาพ 42) "ไม่แตกต่างจากสูตร ที่ไม่ผสม PBAT มากนัก แต่มีค่าความหนาต่อแรงกระแทกเพิ่มขึ้น โดยอัตราส่วนของ PBAT ที่ เพิ่มขึ้นไม่ส่งผลแตกต่างกันมากนักต่อการเพิ่มชั้นของค่าความหนาต่อแรงกระแทก (ภาพ 43) ซึ่งการ ลดลงของค่าความหนาต่อแรงดึง และค่ามอดูลัสอาจเนื่องมาจากการแยกเฟสกันของ PLA PBAT และ NR/Cg ในขณะที่การกระแทกเป็นการศึกษาผลของการดูดซับพลังงาน ซึ่ง PBAT เป็น พอลิเมอร์ที่มีสมบัติด้านการดูดซับพลังงานที่ดี จึงช่วยเสริมร่วมกับ NR ให้สัดส่วนสามารถต่อแรง กระแทกได้มากขึ้น [90] นอกจากนี้การคีเลตร์ร่วมกับ Ag^+ ส่งผลให้ชิ้นงานมีค่าระยะยืดสูงสุด ณ จุดขาด และค่าความหนาต่อแรงกระแทกลดลง ซึ่งอาจเกิดจากการรวมกลุ่มกันของ Ag^+ ในชิ้นงาน



ภาพ 42 (A) ค่าความทนต่อแรงดึง (B) ค่าระยะยืดสูงสุด ณ จุดขาด และ (C) ค่าอั้งมอถูลัสของพิล์ม PLA และพิล์มพอลิเมอร์ผสมระหว่าง PLA/PBAT/NR:Cg ที่มีปริมาณของ PBAT ที่แตกต่างกัน และ PLA/PBAT/NR:Cg-Ag⁺ ในอัตราส่วน 0.8% ทึ้งในแนวเครื่องจักร (MD) และแนวขวาง (TD)

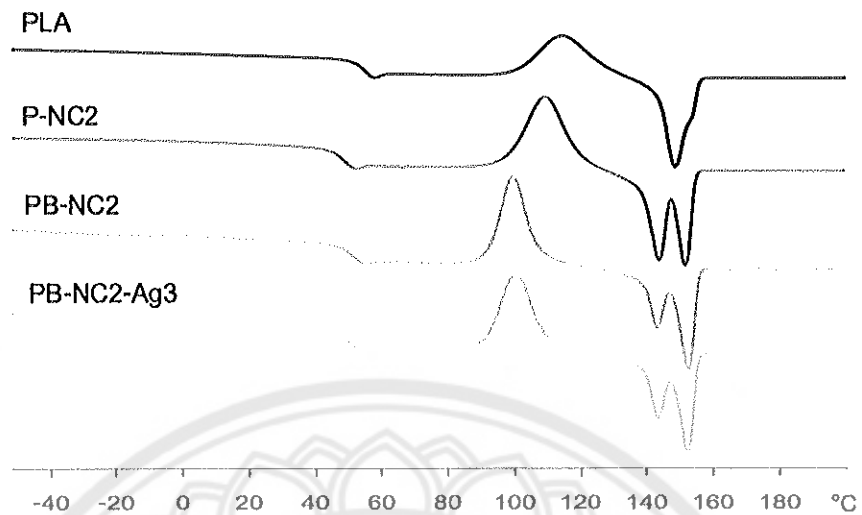


ภาพ 43 ค่าความทนต่อแรงกระแทกของชิ้นงานที่เตรียมจาก PLA และ PLA/PBAT/ NR:Cg ที่มีปริมาณของ PBAT ที่แตกต่างกัน และ PLA/PBAT/NR:Cg-Ag⁺ ในอัตราส่วน 0.8%

ศึกษาสมบัติทางความร้อนของฟิล์มพอลิเมอร์ผสมที่ผสมร่วมกับ PBAT ในอัตราส่วน 15 wt% (PB-NC2) (ภาพ 44 และ ตาราง 26) พบว่าการผสม PBAT ไม่มีผลต่อค่า T_g ของ PLA มากนักโดยมีค่า T_g เพิ่มขึ้นเล็กน้อย ประมาณ 1°C เมื่อเทียบกับสูตรที่ไม่ผสม PBAT (P-NC2) โดย งานวิจัยของ Peng ZH, et al. [67] ได้สนับสนุนให้ศึกษาสมบัติทางความร้อนของ PLA ที่ผสมร่วมกับ PBAT ในอัตราส่วนต่าง ๆ กัน (5, 10, 15, 20 และ 25 wt%) โดยเทคนิค DSC พบว่าค่า T_g ของ พอลิเมอร์ผสมที่มีอัตราส่วนของ PBAT ที่แตกต่างกัน มีค่าไม่แตกต่างกันมากนักเมื่อเทียบกับค่า T_g ของ PLA โดยมีค่า $\sim 58^{\circ}\text{C}$ เนื่องจากพอลิเมอร์ทั้ง 2 ไม่เข้ากันทางความร้อน (thermodynamic compatible) และไม่เกิดอันตรายหรือห่วงกัน ดังนั้นจึงอาจกล่าวได้ว่า PBAT ที่ผสมร่วมกับ PLA/NR:Cg ไม่ส่งผลกระทบต่อค่า T_g ของ PLA

แม้ว่าการผสมร่วมกับ PBAT จะไม่ส่งผลกระทบต่อการขยับใช้สัณฐานของ PLA แต่ พบว่ามีผลต่อการเกิดผลลัพธ์ของ PLA โดยค่า T_{cc} ของพอลิเมอร์ผสมที่ผสมร่วมกับ PBAT มีค่าลดลง อย่างเห็นได้ชัด จึงอาจกล่าวว่า PBAT แม้ไม่มีส่วนมากนักต่อการขยับใช้ของ PLA แต่ก็มีส่วนสำคัญในการขยับใช้เพื่อเกิดผลลัพธ์ของ PLA ในขณะเปลี่ยนสภาพจากอสัณฐานเป็นผลลัพธ์ (reorganization) โดย PBAT ช่วยให้ PLA เกิดผลลัพธ์ได้ง่ายขึ้นที่อุณหภูมิต่ำลง (T_{cc} ลดลง) สงสัยให้ “ได้ผลลัพธ์ของ PLA ที่มีขนาดใหญ่มากขึ้น และมีปริมาณผลลัพธ์เพิ่มขึ้นเมื่อเทียบกับสูตรที่ไม่เติม PBAT”

การผสมร่วมกับ Ag^+ ไม่ส่งผลกระทบมากนักต่อการขยับใช้ของ PLA แต่ส่งผลกระทบต่อค่า T_{cc} ที่ เพิ่มขึ้นเล็กน้อย ซึ่งแสดงถึงการเกิดผลลัพธ์ที่ยากขึ้น ตลอดจนค่า ΔH_{cc} ที่มีค่าลดลง อย่างไรก็ตาม ผลที่ได้มีความแตกต่างกับสูตรที่ไม่ผสม PBAT คือวิธีงานมีขนาดของผลลัพธ์ที่มีความสมบูรณ์เพิ่มขึ้น (T_m สูงขึ้น) ทั้งยังมีปริมาณผลลัพธ์เพิ่มขึ้น จึงอาจกล่าวได้ว่า PBAT ไม่ส่งผลกระทบต่อการขยับใช้ของ PLA แต่ช่วย Cg ให้สามารถหนีร้อนจากการเกิดผลลัพธ์ได้มากขึ้น



ภาพ 44 DSC เทอร์โมแกรมของการให้ความร้อนครั้งที่ 2 ของพิล์ม P-NC2 และพิล์ม PLA/PBAT/NR:Cg และ PLA/PBAT/NR:Cg-Ag⁺ ในอัตราส่วน 0.8%

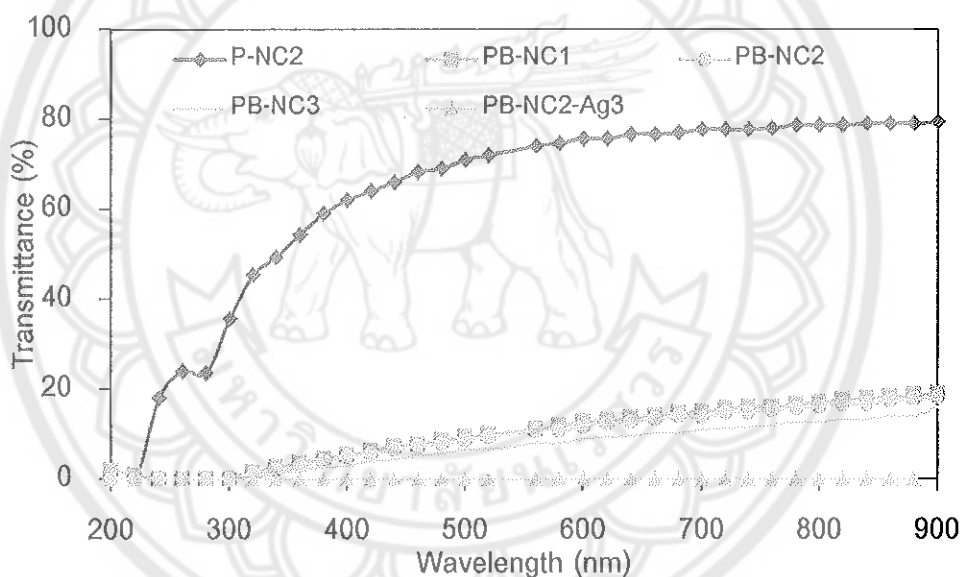
ตาราง 26 สมบัติทางความร้อนของพิล์ม PLA/PBAT/NR:Cg และพิล์ม PLA/PBAT/NR:Cg ที่มีปริมาณเซลเวอร์ในปริมาณ 0.8% จากการให้ความร้อนครั้งที่ 2

ตัวอย่าง	T _g (°C)	T _{cc} (°C)	T _m (°C)	ΔH _{cc} (J/g)	ΔH _m (J/g)	X _c (%)
PLA	53.51	114.51	148.38	27.83	27.20	0
P-NC2	47.87	109.52	143.71, 151.70	28.40	30.86	3.28
PB-NC2	49.15	98.69	142.07, 151.53	22.28	25.10	4.63
PB-NC2-Ag3	49.57	100.68	143.24, 152.04	21.50	24.56	5.02

ศึกษาค่าการผ่านของแสงของพิล์มพอลิเมอร์สมที่ผสมร่วมกับ PBAT ในอัตราส่วนต่าง ๆ กัน (10-20 wt%) (ภาพ 45) พบว่าแม้ว่าพิล์มที่ผสมร่วมกับ PBAT จะให้ความใส่ของพิล์มใกล้เคียงกับสูตรที่ไม่ผสมร่วมกับ PBAT แต่พิล์มที่ผสมร่วมกับ PBAT มีการผ่านของแสงลดลง

อย่างมีนัยสำคัญเมื่อเทียบกับสูตรที่ไม่ผสมร่วมกับ PBAT (P-NC2) โดยเฉพาะแสงที่ความยาวคลื่น 280 nm ที่สามารถบังกันการผ่านของแสงได้ 100% และลดการผ่านของแสงช่วงแสงวิชิเบิล (400-700 nm) ได้มากกว่า 90% แต่อัตราส่วนของ PBAT ที่แตกต่างกันพบว่ามีค่าการผ่านของแสง ไม่แตกต่างกันมากนัก ดังนั้นจึงอาจกล่าวได้ว่า PBAT มีส่วนช่วยลดการผ่านของแสงโดยไม่เข้ากับ อัตราส่วนที่ผสม เมื่อใช้ในอัตราส่วน 10-20 wt% ทั้งในช่วงที่ก่อให้เกิดการเปลี่ยนแปลงของอาหาร ที่มีไขมันเป็นองค์ประกอบ และช่วงที่ก่อให้เกิดการเสื่อมสภาพ หรือการเน่าเสียของอาหาร โดยเฉพาะในส่วนที่ไวต่อการเสื่อมสภาพ

การคีเลตร่วมกับ Ag^+ ทำให้ชั้นงานมีสีน้ำตาล ทึบแสง ซึ่งผลดังกล่าวพบว่าแสงไม่ สามารถผ่านได้ในทุกช่วงความยาวคลื่น



ภาพ 45 ค่าการส่องผ่านของแสง (Transmittance) ของฟิล์ม PLA และ PLA/PBAT/NR:Cg ที่มีปริมาณของ PBAT ที่แตกต่างกัน และ PLA/PBAT/NR:Cg- Ag^+ ในอัตราส่วน 0.8%

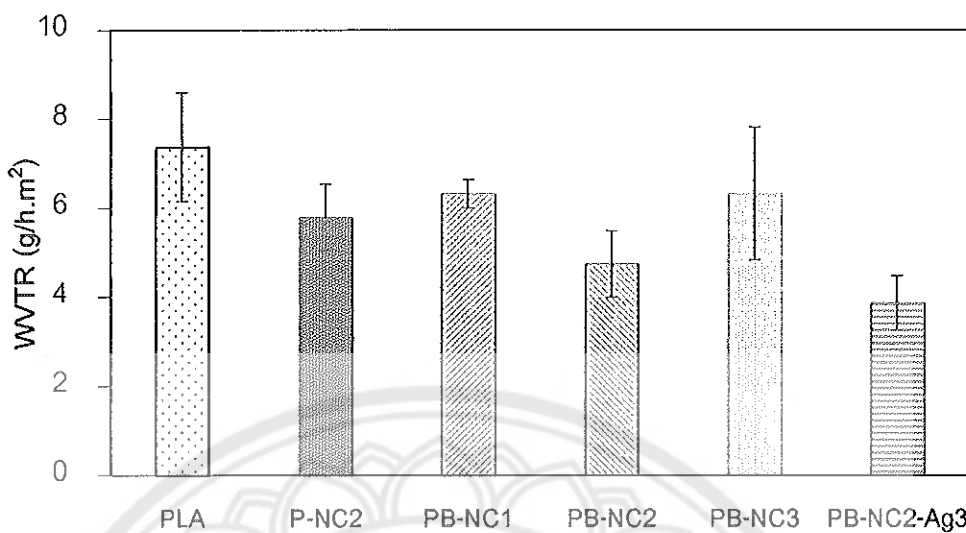
ศึกษาค่าสี และความสว่างของฟิล์มพอลิเมอร์ผสมที่เติม PBAT เทียบกับ PLA บริสุทธิ์ และสูตรที่ไม่เติม PBAT พบร่วมกับการเติม PBAT ในอัตราส่วน 10-20 wt% ให้ฟิล์มที่มีค่าสี และการ ความสว่างของฟิล์มไม่แตกต่างจากฟิล์มพอลิเมอร์ผสมระหว่าง PLA กับ NR:Cg มากนัก ฟิล์มที่ได้ จากการผสมร่วมกับ PBAT มีความสว่างเพิ่มขึ้น มีสีเหลืองเพิ่มขึ้น ทั้งนี้อาจเนื่องมาจาก PBAT มีสี ขาวขุ่นเมื่อผสมในสภาวะหลอมจะทำให้มีสีน้ำตาลของ NR และ Cg ซ่อนลง นอกจากนี้ฟิล์มที่ผสม

ร่วมกับ PBAT มีค่าความแตกต่างของสี (ΔE) เมื่อเทียบกับฟิล์ม PLA เพิ่มขึ้น แต่อัตราส่วนผสมของ PBAT ที่แตกต่างกันส่งผลต่อค่าสี และการความสว่างของฟิล์มที่ไม่แตกต่างกันมากนัก (ตาราง 27) ในขณะที่การคีเดตร่วมกับ Ag^+ ทำให้ชิ้นงานมีสีน้ำตาลเพิ่มขึ้น ทั้งนี้อาจเนื่องมาจากปรากฎการพลาสมอน ซึ่งเมื่อ Ag^+ มีขนาดที่เล็กกว่าความยาวคลื่นแสงที่มาตัดกัน จะส่งผลให้ Ag^+ ดูดกลืนสเปกตรัมของแสงไว้ [91, 92]

ตาราง 27 ค่าสีและการส่องแสงสว่างของฟิล์ม PLA และ PLA/PBAT/NR/C-g-PAMPS ที่มีปริมาณของ PBAT ที่แตกต่างกัน และ PLA/PBAT/NR:Cg- Ag^+ ในอัตราส่วน 0.8%

ตัวอย่าง	L*	a*	b*	ΔE
PLA control	87.32	-0.22	-4.20	0.00
P-NC2	82.85	2.075	5.425	10.86
PB-NC1	83.60	1.92	8.10	13.03
PB-NC2	83.74	1.96	7.92	12.82
PB-NC3	83.62	2.14	8.70	13.63
PB-NC2-Ag3	78.21	2.45	11.16	18.16

ภาพ 46 แสดงค่าอัตราการซึมผ่านของไอน้ำของฟิล์มพอลิเมอร์สมหว่าง PLA/PBAT/NR:Cg พบว่าค่า WVTR ของฟิล์มมีค่าต่ำสุดเมื่อผสม PLA:PBAT ในอัตราส่วน 65:15 %w/w (PB-NC2) การผสมร่วมของ PBAT ที่มาก หรือน้อยเกินไป พบว่ามีค่า WVTR ที่เพิ่มขึ้น ทั้งนี้อาจเนื่องมาจากความไม่เข้ากันของ PLA และ PBAT ซึ่งส่งผลต่อขนาดของเฟสกระจาย (dispersed phase) ที่เพิ่มขึ้น นอกจากนี้ PBAT ซึ่งมีค่า T_g ต่ำ ทำให้ไม่เกิดชีมีหมู่อีสเทอร์ที่ขอบไอน้ำสามารถยับตัวได้ง่ายขึ้นตามอัตราส่วนของ PBAT ที่เพิ่มขึ้น อย่างไรก็ตามการผสมร่วมกับ PBAT ในทุกอัตราส่วน พบว่ามีค่า WVTR ต่ำกว่าฟิล์ม PLA บริสุทธิ์ นอกจากนี้ยังพบว่าการผสมร่วมกับ Ag^+ ช่วยให้ฟิล์มป้องกันการผ่านของไอน้ำได้เพิ่มขึ้น ซึ่งสอดคล้องกับปริมาณผลึกของฟิล์มที่เพิ่มขึ้น ซึ่งแตกต่างจากสูตรที่ไม่เติม PBAT



ภาพ 46 ค่าอัตราการซึมผ่านของไอน้ำของฟิล์ม PLA และ PLA/PBAT/NR:Cg ที่มีปริมาณของ PBAT ที่แตกต่างกัน และ PLA/PBAT/NR:Cg-Ag⁺ ในอัตราส่วน 0.8%

สมบัติการด้านจุลชีพของฟิล์มพอลิเมอร์สม

งานวิจัยนี้สนใจเตรียมฟิล์มนวัตกรรมที่ด้านเดียวจากพอลิเมอร์สมระหว่าง PLA, NR และ Cg ที่มีการคีเลตร่วมกับ Ag⁺ ความเข้มข้นต่าง ๆ (P-NC2-Ag1 (0.17%), P-NC2-Ag2 (0.29%), P-NC2-Ag3² (0.82%) และ P-NC2-Ag4² (1.50%)) โดยการทดสอบรับมือการยับยั้งเชื้อ และการทดสอบการนับโคลนีของจุลชีพกับเชื้อจุลชีพ 5 ชนิด คือ แบคทีเรียแกรมบวก 2 ชนิด ได้แก่ *Bacillus cereus* (*B. cereus*) ซึ่งเป็นแบคทีเรียที่สร้างสปอร์ และ *Staphylococcus aureus* (*S. aureus*) ซึ่งเป็นแบคทีเรียที่ก่อให้เกิดโรค และแบคทีเรียแกรมลบ 3 ชนิด ได้แก่ *Escherichia coli* (*E. coli*) และ *Salmonella typhimurium* (*S. typhimurium*) ซึ่งเป็นแบคทีเรียที่ก่อให้เกิดโรค และ *Pseudomonas fluorescens* (*P. fluorescens*) ซึ่งเป็นแบคทีเรียที่ทำให้อาหารเสียหักน้ำ ในส่วนของการทดสอบรับมือการยับยั้งเชื้อจะใช้ยาคอมแรงเพนิคอล และฟิล์มพอลิแลคติกแอซิด เป็นตัวควบคุม ในขณะที่การทดสอบการนับโคลนีของจุลชีพจะใช้จุลชีพเริ่มต้น (control) ฟิล์ม PLA บริสุทธิ์ (PLA) และฟิล์ม PLA ที่ผสมร่วมกับ NR:Cg (P-NC2) ที่ไม่ฟอร์มคีเลตร่วมกับ Ag⁺ (P-NC2) ตัวควบคุม

การทดสอบรับมือการยับยั้งเชื้อเป็นการวัดเส้นผ่านศูนย์กลางของโซนที่สามารถยับยั้งการเจริญเติบโตของเชื้อจุลชีพได้ โดยวัดระยะของเคลือร์โซนที่เกิดขึ้น หากมีความกว้างของเคลือร์โซนมากแสดงถึงการมีประสิทธิภาพในการด้านเดียวเชื้อจุลชีพที่ดี ตาราง 28 แสดงประสิทธิภาพในการด้านเดียวเชื้อจุลชีพของฟิล์ม PLA ฟิล์มพอลิเมอร์สม P-NC2 และฟิล์มพอลิเมอร์สมที่มีปริมาณ Ag⁺ ต่าง ๆ

พบว่าฟิล์ม PLA ฟิล์มพอลิเมอร์ผสม P-NC2 และ P-NC2-Ag1 ซึ่งมีปริมาณ Ag^+ 0.17% ในไฟฟ์ชัน การยับยั้งจึงอาจกล่าวได้ว่า Cg และ Ag^+ ในอัตราส่วน 0.17% ไม่ช่วยให้ฟิล์มแสดงประสิทธิภาพในการยับยั้งเชื้ออุลซีพ ทั้งนี้ถึงแม่ว่าจะมีหลายงานวิจัยกล่าวว่า 'โคโตชาานะมีประสิทธิภาพในการต้านเชื้ออุลซีพ [9, 35, 43]' แต่ในงานวิจัยนี้พบว่า 'โคโตชาานดัดแปลงไม่สามารถต้านเชื้ออุลซีพได้' ซึ่งก็มีความสอดคล้องกับอีกหลายงานวิจัยเช่นกัน [39, 93, 94] ทั้งนี้อาจเนื่องมาจาก 2 เหตุผลหลัก คือ การกราฟ PAMPS ลงบนโครงสร้างของ 'โคโตชาาน' ซึ่งเกิดปฏิกิริยาได้ 2 ตำแหน่ง คือ ที่คาร์บอนตำแหน่ง เมทิลออกอล (-C-OH) และที่ตำแหน่ง NH_2 ทำให้การกราฟอาจไปรบกวนการต้านเชื้ออุลซีพของ 'โคโตชาาน' ซึ่งการต้านเชื้ออุลซีพของ 'โคโตชาาน' จะมีประสิทธิภาพเมื่ออุณหภูมิของ NH_3^+ และอีกเหตุผลที่สำคัญคือ สมบัติความไม่ชอบน้ำของ PLA ทำให้ 'โคโตชาาน' แพร่ออกมานอก PLA 'ได้ยากเมื่อสัมผัสกับของเหลว (น้ำในอาหารเลี้ยงเชื้อ และเนื้อสด)' ซึ่งผลดังกล่าวสอดคล้องกับงานวิจัยของ Bie P, et al. [39] ที่สนใจเตรียมพอลิเมอร์สมระห์ว่าง PLA แบบ 'โคโตชาาน' ในสภาพแวดล้อมโดยเครื่องขัดรีดเกลี่ยวหนอนคู่ เพื่อประยุกต์ใช้เป็นฟิล์มบรรจุภัณฑ์ต้านเชื้ออุลซีพ จากผลการต้านเชื้อ 2 ชนิด คือ *E.coli* และ *S. aureus* โดยการวัดระยะเคลื่อนที่ไฟฟ์ชันที่เกิดขึ้นของฟิล์ม PLA:CH ในอัตราส่วน 90:10 พบว่าไม่สามารถต้านเชื้ออุลซีพได้ เนื่องจากความไม่ชอบน้ำ (hydrophobic) ของ PLA ทำให้ CH 'ไม่สามารถเคลื่อนตัวออกจาก PLA เพื่อไปทำปฏิกิริยากับเชื้ออุลซีพได้' การเติมเทอร์โมพลาสติกสตาร์ช (TPS) ซึ่งมีสมบัติชอบน้ำลงไปสมร่วม ทำให้ฟิล์มพอลิเมอร์สมที่ได้มีความชอบน้ำมากขึ้น โดยพบการลดออกซิเจนส่วนของ TPS และ CH ออกจากฟิล์มบรรจุภัณฑ์ และพบการปรากម្ពของวงเคลื่อนที่ไฟฟ์ชันแสดงถึงมีประสิทธิภาพในการต้านเชื้ออุลซีพเกิดขึ้น

การคีเลตร่วมกับ Ag^+ 0.17% ไม่สามารถยับยั้งการเจริญเติบโตของเชื้อจุลชีพได้ อาจเนื่องมาจากการสมบูดที่ไม่ชอบน้ำ (hydrophobicity) ของ PLA และ NR ส่งผลขัดขวาง/ลดการยับยั้ง โคโคติชาามส่วนที่สามารถเกิดขันตระกิริยา กับแบคทีเรีย ทั้งยังขัดขวาง/ลดการเพร่ของ Ag^+ ไปยัง ผิวของเพริฟล์มเพื่อแสดงประสิทธิภาพในการต้านเชื้อจุลชีพ [95] รวมถึงการคีเลตที่แข็งแรงระหว่าง หมู่ชัลไฟเนตของ PAMPS กับ Ag^+ ที่ทำให้ลดการเพร่ของ Ag^+ ออกจากพิล์มบรรจุภัณฑ์ ส่งผลให้ไม่ พบรูปที่สามารถยับยั้งการเจริญเติบโตของเชื้อจุลชีพได้

การคีเลตร่วมกับ Ag^+ ความเข้มข้น 0.29% และ 0.8% พบรัศมีการยับยั้งเชื้อจุลชีพเพียงบางชนิด โดยเฉพาะแบคทีเรียแกรมลบ (*E. coli* และ *S. typhimurium*) ทั้งนี้อาจเนื่องจากขั้นทดสอบมีขนาดเล็กมาก ทำให้อาจมีปริมาณ Ag^+ บนขั้นทดสอบน้อยมาก ซึ่งอาจมีความเข้มข้นไม่เพียงพอต่อการยับยั้งเชื้อจุลชีพที่ศึกษา (ตาราง 28) อย่างไรก็ตาม เมื่อทดสอบการยับยั้งโคลนีของจุลชีพพบการลดลงของเชื้อจุลชีพทั้ง 5 ชนิด โดยการคีเลตร่วมกับ Ag^+ ความเข้มข้น 0.29% พบการลดลงของ

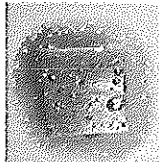
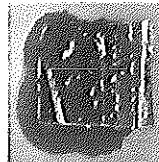
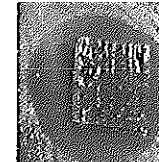
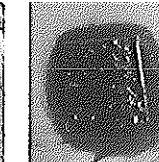
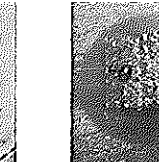
แบคทีเรียแกรมบวก และแบคทีเรียแกรมลบ 0.1-1.5 log และ 0.2-1.2 log ในขณะที่การคีເລຕ່ວມກັບ Ag^+ ຄວາມເຂັ້ມ້ານ 0.8% ພບກາຣດດັງຂອງແບກທີ່ເຮົຍແກຣມບວກ (*S. aureus*) ແລະ ແບກທີ່ເຮົຍແກຣມລບ (*E. coli* ແລະ *S. typhimurium*) 0.7-1.6 log ແລະ 0.6-2.3 log ຕາມລຳດັບ ລັ້ງຈາກກາຣປິມ 6-48 ຊົ່ວໂມງ (ກາພ 47) ກາຣຄືເລຕ່ວມກັບ Ag^+ ຄວາມເຂັ້ມ້ານ 0.29% ແລະ 0.8% ຍັງຄົງພບກາຣດດັງຂອງເຂົ້ອຈຸລື້ພຕາມ ຜ່າງເວລາທີ່ທດສອບເມື່ອເຫັນກັບຕົວຄວບຄຸມ ແຕ່ກາຣດດັງດັກລ່າ (%Reduction) ມີຄ່າກາຣດດັງນ້ອຍ ກວ່າ 99% (ຕາງ 29 ແລະ ກາພ 48) ສິ້ງເຖິງວ່າໄມ່ສາມາດຕ້ານເຂົ້ອຈຸລື້ພໄດ້

ໃນຂະນະທີ່ກາຣຄືເລຕ່ວມກັບ Ag^+ ຄວາມເຂັ້ມ້ານ 1.5% ພນວຕນີກາຣຍັບຢັ້ງເຂົ້ອຈຸລື້ພທັ້ງ 5 ຊົ່ວໂມດ ໄດ້ອ່າງຊັດເຈນ ແລະ ເມື່ອທດສອບກາຣນັບໂຄໂນນີຂອງຈຸລື້ພ ພບວ່າກາຣດດັງຂອງເຂົ້ອຈຸລື້ພທັ້ງ 5 ຊົ່ວໂມດ ໂດຍພບກາຣດດັງຂອງແບກທີ່ເຮົຍແກຣມບວກ ແລະ ແບກທີ່ເຮົຍແກຣມລບ 1.5-2.3 log ແລະ 1.5-3.3 log ຕາມລຳດັບ ໂດຍເຊີພະແບກທີ່ເຮົຍແກຣມລບທີ່ໄໝພບເຂພະກາຣຍັບຢັ້ງເຂົ້ອຈຸລື້ພ ແຕ່ຢັ້ງພບກາຣທຳລາຍເຂົ້ອຈຸລື້ພນັ້ນ ທີ່ດ້ວຍ ໂດຍພບວ່າຈຳນວນຂອງເຂົ້ອຈຸລື້ພມີຈຳນວນລດດັງເມື່ອເຫັນກັບຈຳນວນເຂົ້ອຈຸລື້ພເວັ້ນຕັ້ນ ເມື່ອທາດສອບເປັນຮະເວລາ 48 ຊົ່ວໂມງ ໂດຍແສດງຜົດກາຣທຳລາຍເຂົ້ອຈຸລື້ພນັ້ນ ໃຫ້ອ່າງຊັດເຈນ ເມື່ອທດສອບເປັນເວລາ 6 ຊົ່ວໂມງ ໃນຂະນະທີ່ແບກທີ່ເຮົຍແກຣມບວກພົນຈຳນວນເຂົ້ອຈຸລື້ພໄກສໍາເລັດກັບຈຳນວນເຂົ້ອເຮັ່ນຕັ້ນ ແລະ ມີປະສິທິພາພໃນກາຣຍັບຢັ້ງກາຣເຈົ້າຢູ່ເຕີບໂຕຂອງເຂົ້ອຈຸລື້ພໄດ້ດີກາຍໃນ 24 ຊົ່ວໂມງ ແລະ ພບກາຣເຈົ້າຢູ່ເຕີບໂຕຂອງເຂົ້ອຈຸລື້ພເພີ່ມຈົ່ານີ້ແລ້ວເພີ່ມເວລາຝ່າໄປ 48 ຊົ່ວໂມງ ອ່າງໄກ້ຕາມເຂົ້ອແບກທີ່ເຮົຍທັ້ງ 5 ຊົ່ວໂມດ ມີຄ່າກາຣດດັງຂອງເຂົ້ອຈຸລື້ພພາມຈົ່ງເວລາທີ່ທດສອບເມື່ອເຫັນກັບຫລຸດຄວບຄຸມມາກກວ່າ 99% ໃນຮະເວລາທດສອບ 48 ຊົ່ວໂມງ ຈຶ່ງຈາກລ່າວ່າໄດ້ວ່າກາຣຄືເລຕ່ວມກັບ Ag^+ ຄວາມເຂັ້ມ້ານ 1.5% ຊົ່ວໂມງໃໝ່ຟົມພອລິເມອຣ໌ສົມຍັບຢັ້ງເຂົ້ອຈຸລື້ພທັ້ງ 5 ຊົ່ວໂມດໄດ້ໄມ່ນ້ອຍກວ່າ 48 ຊົ່ວໂມງ

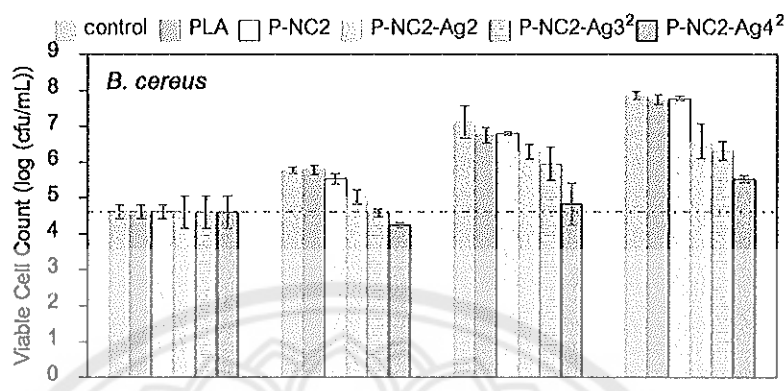
ທັ້ງນີ້ໃນກາຣທດສອບປະສິທິພາພໃນກາຣຍັບຢັ້ງກາຣເຈົ້າຢູ່ເຕີບໂຕຂອງເຂົ້ອຈຸລື້ພ ກາຍໃນຮະເວລາ 24 ຊົ່ວໂມງ ພບກາຣດດັງຂອງແບກທີ່ເຮົຍແກຣມລບໄດ້ອ່າງຊັດເຈນ ໃນຂະນະທີ່ແບກທີ່ເຮົຍແກຣມບວກມີຈຳນວນຄົງທີ່ ແລະ ມີກາຣເພີ່ມຈຳນວນຈົ່ານີ້ເລັກນ້ອຍເມື່ອໃຫ້ເວລາໃນກາຣທດສອບນານຈົ່ານ (48 ຊົ່ວໂມງ) ສິ້ງກາຣດດັງຂອງແບກທີ່ເຮົຍແກຣມລບດັ່ງດັກລ່າວ່າຈະມາຈາກເຢື່ອໜຸ້ມເຫຼັດລົງກາຍນອກຂອງແບກທີ່ເຮົຍແກຣມລບ ປະກອບດ້ວຍໄລໂພໂລລິແຫຼັກຄາໂຣດ (Lipopolysaccharides, LPS) ທີ່ມີຟົມເຟົດ ແລະ ໄພໂລົມົມເຟົດ ຢື່ງເປັນໝູ້ທີ່ກຳໃຫ້ແບກທີ່ເຮົຍແກຣມລບມີປະຈຸລບອຍູ້ທີ່ພື້ນຝົວຂອງເຫຼັດລົງ [8] ໂດຍແນ້ນເຫຼັດລົງຂອງແບກທີ່ເຮົຍສາມາດຍືດຕິກັບ Ag^+ ໂດຍອັນຕຽກກີ່າໄຟພັສສົດ (electrostatic interaction) ກາຣທີ່ມີປິຣິມານ Ag^+ ມາຈະສົງຜົດໄທເກີດອັນຕຽກກັບຜົນເຫຼັດລົງຂອງແບກທີ່ເຮົຍໄດ້ນັກຈິ່ນ ເຫຼັດລົງຈະເກີດກາຣເສີຍຫຍໍໄດ້ ອ່າງຈາກເວົ້າ ນອກຈາກນີ້ແບກທີ່ເຮົຍແກຣມບວກຈົ່ງມີຜົນເຫຼັດລົງທີ່ໜ້າ ແລະ ຄວາມທນທານຕ່ອສາເຄມີ ແລະ ສິ່ງເຮົາກາຍນອກທີ່ມາກກວ່າຜົນເຫຼັດລົງຂອງແບກທີ່ເຮົຍແກຣມລບຈຶ່ງທຳໄໝ Ag^+ ເຂົ້າໄປໄດ້ຍາກຈິ່ນ ສົງຜົດໄທ Ag^+ ມີປະສິທິພາພໃນກາຣຕ້ານເຂົ້ອແບກທີ່ເຮົຍແກຣມລບໄດ້ດີກວ່າແບກທີ່ເຮົຍແກຣມບວກ

จากผลการวัดเคลือบเชิง และการวัดจำนวนโคโลนีในงานวิจัยนี้สามารถสรุปได้ว่า Ag^+ ปริมาณต่ำสุดในพิล์มพอลิเมอร์ผสมระหว่าง PLA และ NR/Cg ที่สามารถต้านเชื้อแบคทีเรียได้ คือ 0.29% และปริมาณ Ag^+ สูงสุดที่สามารถต้านเชื้อแบคทีเรียได้ครบถ้วนคือ 1.5% โดยสูตร P-NC2-Ag² ซึ่งมี Ag^+ 1.5% มีประสิทธิภาพสูงในการต้านเชื้อจุลชีพ โดยสามารถลด/ยับยั้งการเจริญเติบโตของโคโลนีของแบคทีเรียได้ไม่น้อยกว่า 48 ชั่วโมง ซึ่งประสิทธิภาพดังกล่าวจะมาจากจำนวน Ag^+ ที่หลุดออกจากการฟิล์มในปริมาณที่เพียงพอต่อการต้านเชื้อจุลชีพ [96]

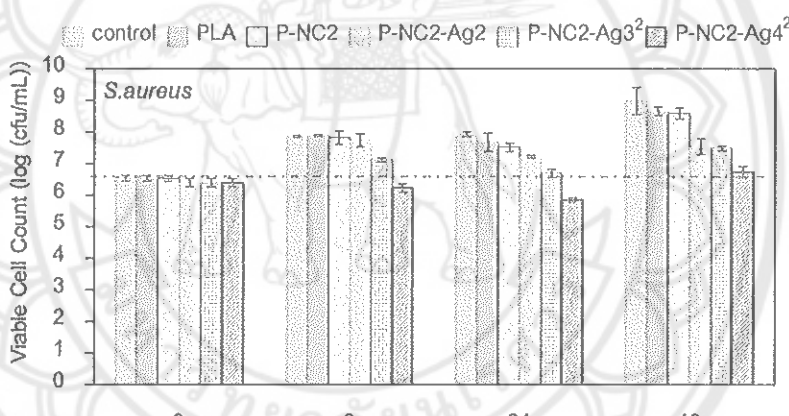
ตาราง 28 ประสิทธิภาพในการต้านเชื้อจุลชีพของ PLA พอลิเมอร์ผสม P-NC2 และพิล์มพอลิเมอร์ผสมที่มีปริมาณ Ag^+ ความเข้มข้นต่าง ๆ กัน

ตัวอย่าง	ระยะเคลือบเชิง (มิลลิเมตร)				
	<i>B. cereus</i> (+)	<i>S. aureus</i> (+)	<i>E. coli</i> (-)	<i>S. typhimurium</i> (-)	<i>P. fluorescens</i> (-)
PLA	x	x	x	x	x
P-NC2	x	x	x	x	x
P-NC2- Ag1	x	x	x	x	x
P-NC2- Ag2	x	x	10	7	x
P-NC2- Ag3 ²	x	9	12	9	x
P-NC2- Ag4 ²	16	10	17	15	18
					

หมายเหตุ: x หมายถึง "ไม่สามารถยับยั้งได้"

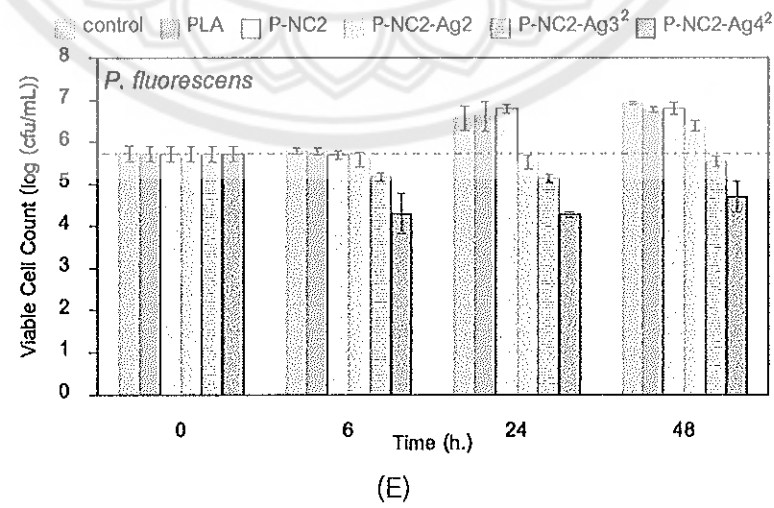
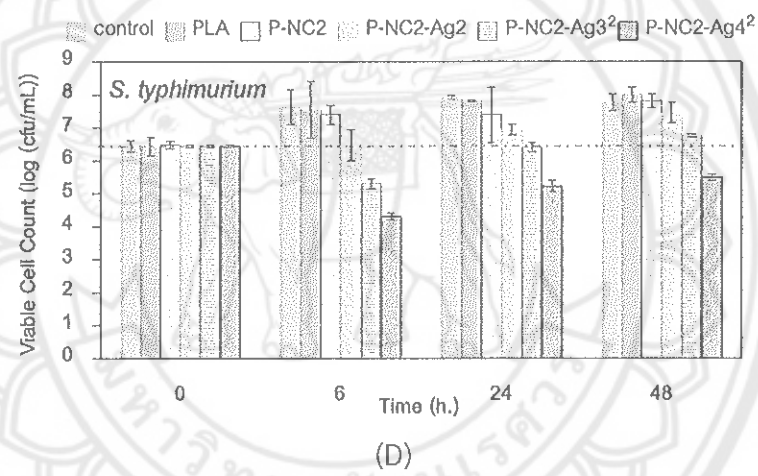
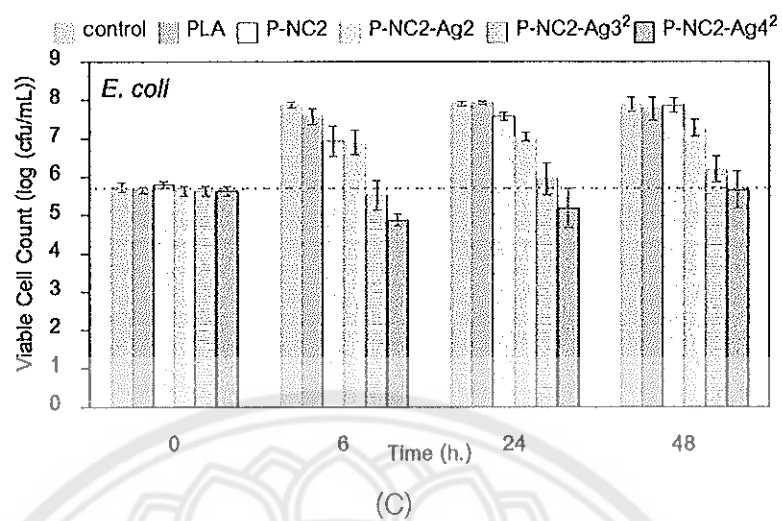


(A)



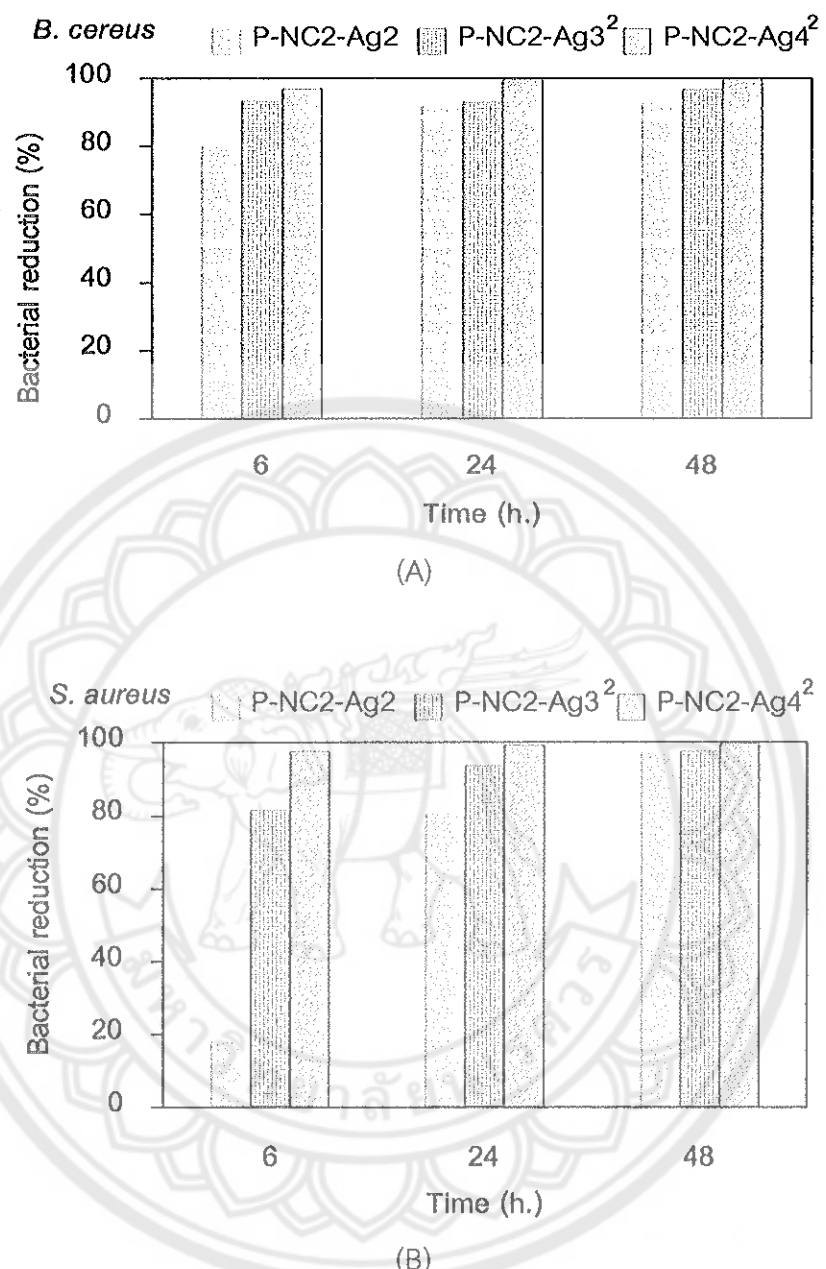
(B)

ภาพ 47 การเจริญเติบโตของเชื้อจุลชีพเมื่อใส่ฟิล์มพอลิเมอร์ผสมที่มีปริมาณ Ag^+ 0.3% (P-NC2-Ag2), 0.82% (P-NC2-Ag3²) และ 1.50% (P-NC2-Ag4²) เทียบกับตัวควบคุมเชื้อจุลชีพที่ไม่ใส่ฟิล์มพอลิเมอร์ และใส่ฟิล์ม PLA กับเชื้อจุลชีพทั้ง 5 ชนิด คือ *B. cereus* (A) *S. aureus* (B) *E. coli* (C) *S. typhimurium* (D) และ *P. fluorescens* (E)

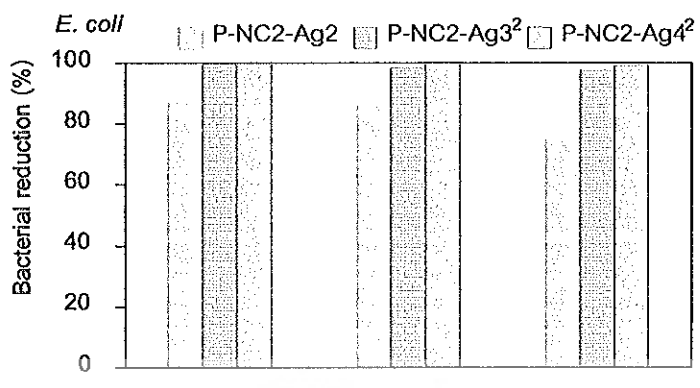


ตาราง 29 ร้อยละการลดลงของเชื้อจุลชีพของฟิล์มพอลิเมอร์ผสมที่มีปริมาณ Ag^+ ที่แตกต่างกันในเวลา 6, 24 และ 48 ชั่วโมง

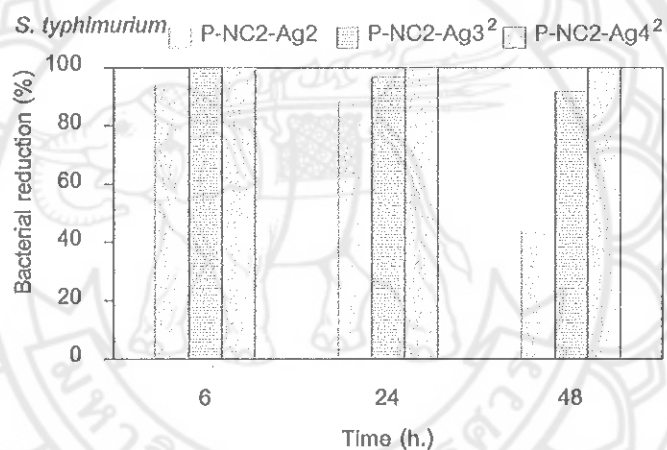
เชื้อจุลชีพ	เวลา (ชั่วโมง)	ร้อยละการลดลงของเชื้อจุลชีพที่เวลา		
		P-NC2-Ag2	P-NC2-Ag3 ²	P-NC2-Ag4 ²
<i>B. cereus</i> (+)	6	80.4	93.4	97.0
	24	91.8	93.0	99.4
	48	92.4	96.6	99.5
<i>S. aureus</i> (+)	6	18.3	81.4	97.5
	24	80.7	93.9	99.2
	48	97.0	97.7	99.6
<i>E. coli</i> (-)	6	86.9	99.4	99.9
	24	85.8	98.4	99.7
	48	74.5	97.5	99.1
<i>S. typhimurium</i> (-)	6	93.8	99.7	100.0
	24	88.6	96.7	99.8
	48	43.9	91.7	99.5
<i>P. fluorescens</i> (-)	6	34.6	75.8	95.2
	24	91.9	96.8	99.6
	48	69.3	95.7	99.2



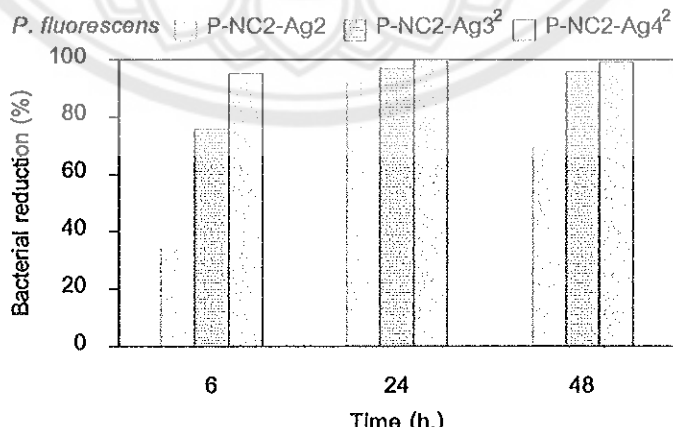
ภาพ 48 ร้อยละการลดลงของเชื้อจุลชีพของฟิล์มพอลิเมอร์ผสมที่มีปริมาณ Ag^+ ที่แตกต่างกัน เทียบกับฟิล์ม PLA ทดสอบกับเชื้อจุลชีพทั้ง 5 ชนิด คือ *B. cereus* (A), *S. aureus* (B), *E. coli* (C), *S. typhimurium* (D) และ *P. fluorescens* (E)



(C)



(D)



(E)

ກາມ 48 (ຕອ)

สิ่งที่สำคัญในการต้านเชื้อจุลชีพคือสารต้านเชื้อต้องหลุดออกจากบรรจุภัณฑ์ไปสัมผัสกับจุลชีพได้ ซึ่งในอดีตบรรจุภัณฑ์มีสมบัติต้านเชื้อจุลชีพนิยมใส่ชิลเวอร์ nano-particle (AgNPs) ลงไป เนื่องจาก AgNPs เป็นสารอนินทรีย์ที่ทนความร้อนสูง สามารถต่อกรอบวนการผลิตบรรจุภัณฑ์ได้ ทั้งยังมีอนุภาคขนาดเล็ก มีพื้นผิวมาก ทำให้มีประสิทธิภาพสูงในการยับยั้งการเจริญเติบโตของเชื้อจุลินทรีย์ [62] และแม้ว่าจะมีนักวิจัยบางส่วนกล่าวว่าชิลเวอร์เป็นธาตุเงี้ยที่มีอยู่ในธรรมชาติ และมีความปลอดภัยต่อร่างกายมนุษย์ แต่การปลดปล่อยอนุภาคชิลเวอร์จำนวนมากลงสู่สิ่งแวดล้อมหรืออาหารยังมีข้อถกเถียงกันถึงอันตรายที่สัตว์/มนุษย์จะได้รับในระยะยาว ดังนี้ในหลายประเทศจึงเริ่มออกมาตรฐานการป้องกันไม่ให้เตรียมอนุภาคชิลเวอร์ที่สามารถหลุดออกจากบรรจุภัณฑ์ได้ง่าย งานวิจัยใหม่ ๆ จึงเน้นพัฒนาให้ออนุภาคชิลเวอร์สามารถอยู่ในผลิตภัณฑ์ได้นานขึ้น และหลุดออกจากการผลิตภัณฑ์ได้ช้าลง เช่น การปรับโครงสร้างของชิลเวอร์ด้วยสารเคมีให้มีหมุนฟังก์ชันลดลงสามารถเกิดขึ้นต่อวิธีทางเคมีกับบรรจุภัณฑ์ได้ [3] เป็นต้น ซึ่งงานวิจัยนี้สนใจควบคุมการปลดปล่อยของ Ag^+ ที่คีเลตว่ำกับ PAMPS โดยศึกษาการหลุดออกของ Ag^+ จากฟิล์มบรรจุภัณฑ์ในสารละลายที่มีความเป็นกรด-ด่าง ต่าง ๆ กัน

ตาราง 30 แสดงการปลดปล่อยของ Ag^+ เมื่อนำฟิล์มที่มีปริมาณ Ag^+ ที่แตกต่างกันขนาด $5 \times 5 \text{ cm}^2$ ไปแช่สารละลายที่ pH 3 ซึ่งเป็นตัวแทนของอาหารที่มีความเป็นกรด และ pH 7 ซึ่งเป็นตัวแทนของอาหารที่ว้าไป ปริมาณ 100 mL โดยวัดปริมาณการหลุดออกของ Ag^+ ทุกวัน เป็นเวลา 7 วัน ด้วยเทคนิค FAAS ซึ่ง Ag^+ จะต้องมีการหลุดออกจากฟิล์มพอลิเมอร์สม เพื่อช่วยป้องกันการเจริญเติบโตของเชื้อจุลชีพของผลิตภัณฑ์ โดยมีการหลุดออกของ Ag^+ อย่างช้า ๆ ในปริมาณที่เหมาะสม และไม่เกินข้อกำหนดของหน่วยงานความปลอดภัยต้านอาหารแห่งสหภาพยุโรป (European food safety authority, EFSA) ซึ่งได้ออกกฎหมายควบคุมปริมาณการหลุดออกของชิลเวอร์จากบรรจุภัณฑ์สู่อาหารว่าต้องมีปริมาณไม่เกิน 0.05 mg/kg ของอาหาร [5]

จากการทดสอบการปลดปล่อยของ Ag^+ พบร่วมฟิล์มพอลิเมอร์สมทั้ง 3 สูตร คือ P-NC2-Ag2, P-NC2-Ag3² และ P-NC2-Ag4² มีการปลดปล่อยของ Ag^+ ในทุกสูตร โดยมีการหลุดออกอย่างมากใน 3 วันแรก และมีปริมาณน้อยลงตามลำดับ และ Ag^+ สามารถหลุดออกจากฟิล์มได้ เมื่อสัมผัสกับกรด ทั้งนี้อาจเนื่องมาจากถึงแม้ว่า Ag^+ จะจับกับหมุนฟิล์มของ Cg ด้วย electrostatic interaction แต่ proton (H^+) ในสารละลายกรดอะซิติกที่ pH 3 สามารถไป殃งจับหรือแทนที่ Ag^+ ได้ จึงทำให้เกิดการปลดปล่อยของ Ag^+ ออกมากได้มาก [97]

เมื่อพิจารณาการปลดปล่อยของ Ag^+ ที่ pH 7 พบร่วม P-NC2-Ag4² ซึ่งมีปริมาณ Ag^+ ในบรรจุภัณฑ์มากที่สุด พบร่วมการปลดปล่อยของ Ag^+ ออกมากได้มากที่สุด ซึ่งปริมาณดังกล่าวเทียบพอ

(ประมาณ 100 ng/cm^2) ต่อการยับยั้ง/ลดการเจริญเติบโตของเชื้อจุลชีพ ในขณะที่ P-NC2-Ag2 และ P-NC2-Ag3² ซึ่งมีปริมาณ Ag^+ ที่ปลดปล่อยออกมาน้อยกว่า ($28\text{-}31$) พบรการยับยั้ง/ลดการเจริญเติบโตของเชื้อจุลชีพที่น้อยกว่า (ตาราง 30 และ 31) ซึ่งผลดังกล่าวสอดคล้องกับงานวิจัยของ Martinez A. et al. [5] ที่พบว่าการหลุดออกของ Ag^+ จากฟิล์ม ที่มากกว่า 80 ng/cm^2 จะพบรการยับยั้งการเจริญเติบโตของเชื้อจุลชีพได้ ในขณะที่หาก Ag^+ มีการหลุดออกจากฟิล์มที่น้อยเกินไป ($16\text{-}26 \text{ ng/cm}^2$) จะไม่แสดงประสิทธิภาพในการยับยั้งการเจริญเติบโตของเชื้อจุลชีพ

ตาราง 30 การปลดปล่อยของชิลเวอร์ เมื่อนำไปแช่สารละลายน้ำที่ pH 3 และ 7 เป็นเวลาต่าง ๆ กันคิดในหน่วย ng/cm^2

ตัวอย่าง	วันที่ 1	วันที่ 2	วันที่ 3	วันที่ 4	วันที่ 5	วันที่ 6	วันที่ 7
pH=3							
P-NCAg2	239 ± 16	350 ± 13	168 ± 28	265 ± 2	173 ± 47	230 ± 32	28 ± 7
P-NCAg3 ²	197 ± 29	522 ± 40	495 ± 38	297 ± 15	184 ± 38	265 ± 92	119 ± 10
P-NCAg4 ²	369 ± 66	386 ± 89	335 ± 36	305 ± 13	214 ± 21	259 ± 30	152 ± 8
pH=7							
P-NCAg2	28 ± 1	20 ± 0.5	19 ± 0.5	9.6 ± 4	13 ± 0.03	20 ± 8	9 ± 4
P-NCAg3 ²	31 ± 4	34 ± 12	34 ± 12	12 ± 0.15	18 ± 2	9 ± 0.019	5 ± 3
P-NCAg4 ²	83 ± 33	172 ± 4	171 ± 4	103 ± 11	98 ± 15	85 ± 13	13 ± 2

ตาราง 31 การปลดปล่อยของซิลเวอร์ เมื่อนำไปแช่สารละลายน้ำ pH 3 และ 7 เป็นเวลาต่างๆ กันคิดในหน่วย %

ตัวอย่าง	วันที่ 1	วันที่ 2	วันที่ 3	วันที่ 4	วันที่ 5	วันที่ 6	วันที่ 7
pH=3							
P-NCAg2	0.26	1.43	0.68	1.58	0.98	1.27	0.16
P-NCAg3 ²	1.08	0.26	1.49	0.6	0.62	0.75	0.25
P-NCAg4 ²	0.4	0.55	0.5	0.42	0.29	0.35	0.18
pH=7							
P-NCAg2	0.15	0.11	0.23	0.05	0.07	0.11	0.06
P-NCAg3 ²	0.06	0.08	0.05	0.25	0.39	0.19	0.013
P-NCAg4 ²	0.12	0.19	0.35	0.13	0.11	0.09	0.02

ศึกษาการประยุกต์ใช้ฟิล์มพอลิเมอร์ผสมในการเก็บรักษาเนื้อหมู โดยทดลองกับฟิล์ม P-NC2-Ag4² ซึ่งมีปริมาณ Ag⁺ อยู่ 1.5% โดยใช้ฟิล์ม PLA เป็นตัวควบคุม วางแผนทดสอบที่อุณหภูมิห้อง หลังบรรจุขั้นงานและทำการปิดผนึก เป็นเวลา 5 วัน ศึกษาการเปลี่ยนแปลงของกลีน และลักษณะภายนอกที่ปรากฏ

ตาราง 32 แสดงผลการทดลองการใช้งานฟิล์มน้ำยาหุ้นทั้งบันเนื้อหมู พบว่า เมื่อวางบรรจุภัณฑ์ดังกล่าวไว้ที่อุณหภูมิห้องเป็นเวลา 2 วัน บรรจุภัณฑ์ทั้ง 2 ชุด ส่งกลิ่นเหม็นของเนื้อหมูออกมาก และเมื่อทำการแยกบรรจุภัณฑ์หลังทิ้งไว้นาน 5 วัน เนื้อหมูที่เก็บไว้ในฟิล์ม PLA มีสีที่เปลี่ยนไปจากสีชมพู เป็นสีเข้มๆ ปราศจากเม็ดหินที่ผิวน้ำของเนื้อหมู และมีกลิ่นเหม็นมาก ในขณะที่เนื้อหมูที่เก็บไว้ในฟิล์มที่มี Ag⁺ มีการเปลี่ยนสีเป็นสีชมพูที่เข้มขึ้นเพียงเล็กน้อย ปราศจากเม็ดหินที่ผิวน้ำของเนื้อหมูเข่นกันแต่มีปริมาณที่น้อยกว่า ซึ่งการเปลี่ยนสีที่เกิดขึ้นนี้อาจมาจากการแตกหักที่เรียกว่าปานเปื้อนอยู่ในเนื้อหมู ซึ่งแบ่งครึ่งที่เรียกว่าพับมากในเนื้อหมูส่วนใหญ่จะเป็นแบคทีเรียที่มีเอนไซม์ย่อยโปรตีนได้ เช่น *P. fluorescens*, *M. Acinetobacter* และ *Moraxella* เป็นต้น ซึ่งมีเอนไซม์ที่ย่อยโปรตีนได้ คือ เอนไซม์โปรตีอีส (protease) จะย่อยโปรตีนในเด็กุลให้เป็นโมเลกุลเล็ก และย่อยสารอ่อน化ต่อไปจนกลายเป็นสารระเหยที่มีกลิ่นเหม็นแรง เช่น แอมโมเนีย และย่อยกรดอะมิโน (amino acid) ซึ่งการสลายตัวของกรดอะมิโนที่มีกำมะถัน (sulfur) เป็นส่วนประกอบได้ก้าชไธโตรเจนซัลไฟด์ (hydrogen sulphide, H₂S) ซึ่งมีกลิ่นแรง [98] ในส่วน

ของการเปลี่ยนสี เกิดจากแบคทีเรียพาก *Lactobacillus* spp. และ *Leuconotoc* spp. จะสร้างสารพากเปอร์ออกไซด์ ซึ่งจะทำให้ผิวของเนื้อสัตว์มีสีเขียว สีน้ำตาล หรือสีด [99]

จากการทดลองอาจกล่าวได้ว่าฟิล์ม P-NC2-Ag⁴⁺² สามารถลดการเน่าเสีย การเกิดเมือกในหมูได้ดีกว่าฟิล์ม PLA ซึ่งฟิล์มที่มี Ag⁺ นี้เหมาะสมกับบรรจุเนื้อสัตว์สำหรับการวางขายตามตลาดนัด หรือที่ที่วางเนื้อสัตว์ไว้อุณหภูมิห้องหลาย ๆ ช่วง懵 ไม่ได้เก็บในตู้แช่อุณหภูมิต่ำ โดยจะช่วยลดการเจริญเติบโตของเชื้อจุลชีพได้ สงผลให้ลดปัญหาการเกิดโรคอาหารเป็นพิษ

ตาราง 32 ภาพถ่ายการใช้งานฟิล์มบรรจุภัณฑ์ PLA และ P-NgC2-Ag3 ในการเก็บรักษาเนื้อหมู

ตัวอย่าง เนื้อหมู	ระยะเวลา (วัน)	
	เริ่มต้น	5
PLA		
P-NgC2-Ag4 ²		

บทที่ 5

บทสรุป

สรุปผลการวิจัย

งานวิจัยนี้สนใจเตรียมพิล์มบรรจุภัณฑ์สำหรับอาหารแบบแยกที่พิทีมีสมบัติในการต้านเชื้อจุลทรรศน์ผ่านทางการติดต่อที่มาระหว่างพอลิเมอร์และสารอ่อนไหว เช่น ไขมัน โปรตีน และน้ำตาล รวมถึงต้านเชื้อจุลทรรศน์ที่มีค่าต้านทานต่ำ เช่น โคโรน่าไวรัส ซึ่งเป็นเชื้อจุลทรรศน์ที่มีความสำคัญในปัจจุบัน ผลการทดลองแสดงให้เห็นว่า พิล์มที่เตรียมขึ้นสามารถยับยั้งเชื้อจุลทรรศน์ได้ดีกว่าพิล์มที่ไม่มีสมบัติ ตัวอย่างเช่น พิล์มที่เตรียมจาก PLA และ NR สามารถยับยั้งเชื้อจุลทรรศน์ได้ดีกว่าพิล์มที่เตรียมจาก Cg และ PAMP ที่มีค่าต้านทานต่ำ เช่น โคโรน่าไวรัส ซึ่งเป็นเชื้อจุลทรรศน์ที่มีความสำคัญในปัจจุบัน ตัวอย่างเช่น พิล์มที่เตรียมจาก PLA และ NR สามารถยับยั้งเชื้อจุลทรรศน์ได้ดีกว่าพิล์มที่เตรียมจาก Cg และ PAMP ที่มีค่าต้านทานต่ำ เช่น โคโรน่าไวรัส ซึ่งเป็นเชื้อจุลทรรศน์ที่มีความสำคัญในปัจจุบัน

ตีกษากการเตรียมพอลิเมอร์ผสมระหว่าง NR และ Cg พบว่า NR ในส่วนน้ำยาของสามารถผสมร่วมกับสารละลาย Cg ได้ดี ไม่ปรากฏการแยกเฟสของ Cg ออกจาก NR ในทุกอัตราส่วน ($NR:Cg = 9:1, 4:1$ และ $2:1$) โดยพอลิเมอร์ผสมระหว่าง NR:Cg ที่มีอัตราส่วน Cg น้อยจะมีสีอ่อน มีความยืดหยุ่นดี แต่มีการบูมตัวในน้ำได้น้อย และมีการจับ Ag^+ ได้น้อย ในขณะที่เมื่ออัตราส่วนของ Cg เพิ่มขึ้น ชิ้นงานพอลิเมอร์ผสมจะมีสีเข้มขึ้น มีความยืดหยุ่นของชิ้นงานลดลง แต่สามารถบูมตัวในน้ำ และเกิดการจับกับ Ag^+ ได้ดีกว่า โดย $NR:Cg$ ในอัตราส่วน $9:1, 4:1$ และ $2:1$ มีความสามารถในการจับ Ag^+ เท่ากับ $10.34 \pm 0.37, 13.14 \pm 1.36$ และ 15.89 ± 3.76 mg/g ตามลำดับ

การผสม $NR:Cg$ ร่วมกับ PLA สามารถทำให้พิล์มขึ้นรูปง่ายขึ้น พิล์มยับบันอย่าง เมื่อเทียบกับพิล์มที่เตรียมจาก PLA บริสุทธิ์ โดย $NR:Cg$ สามารถผสมเข้ากันได้บางส่วนกับ PLA โดยเทคนิคหลอม โดยส่วนที่ไม่เข้ากันจะกระจายตัวเป็นอนุภาคขนาดเล็กอยู่ทั่วทั้งชิ้นงาน ซึ่งส่วนของ $NR:Cg$ ที่เข้ากันได้กับ PLA แสดงให้เห็นว่าพิล์มนี้มีค่าอุณหภูมิเปลี่ยนสภาพแก้ว (T_g) และค่าอุณหภูมิในการเกิดผลึกขณะให้ความร้อน (T_{cr}) ลดลง ซึ่งแสดงถึงการซ้ายขับใช้สวนอสัณฐานของ PLA ที่เพิ่มขึ้นของ $NR:Cg$ จากผลดังกล่าวส่งผลให้ชิ้นงานมีค่าระยะยืดหยุ่นสุด ณ จุดขาด และค่าความทนต่อแรงกระแทกของชิ้นงานเพิ่มขึ้น ในขณะที่ $NR:Cg$ ส่วนที่แยกออกจาก PLA จะประพฤติเป็นสารนิวเคลีย ซวยเหนี่ยวแนก PLA เกิดผลลัพธ์ได้ง่ายขึ้น แต่เมื่อชิ้นงานจะมีผลลัพธ์เพิ่มขึ้น แท้การแยกเฟส ดังกล่าวพบว่าส่งผลให้ชิ้นงานมีค่าความทนต่อแรงดึง และค่าบั่นหักอุดลักษณะลดลง นอกจากนี้ $NR:Cg$ ทั้งส่วนที่สามารถผสมเข้า แล้วไม่เข้ากับเฟสของ PLA พบว่ามีส่วนสำคัญในการแสดงพฤติกรรมขัดขวางการผ่านของแสง ไอน้ำ และก๊าซออกซิเจน โดยพิล์มพอลิเมอร์ผสมสูตร P-NC2 ($NR:Cg = 4:1$) ซึ่งเป็นพิล์มพอลิเมอร์ผสมสูตรที่สามารถเปิดปิดได้ง่าย ทั้งยังมีสมบัติเชิงกลที่ดีเมื่อเทียบกับ

ฟิล์มพอลิเมอร์ผสมสูตรอื่น และสามารถลดการผ่านของแสง UV (ช่วงความยาวคลื่น 280 nm) ได้มากกว่า 80% สามารถลดการซึมผ่านของไอน้ำ และก๊าซออกซิเจนได้ถึง 36% และ 60% เมื่อเทียบกับฟิล์ม PLA ตามลำดับ ดังนั้นสูตรที่เหมาะสมสำหรับขึ้นตอนต่อไปคือ การผสม PLA ร่วมกับ NR:Cg อัตราส่วน 4:1 เนื่องจากอัตราส่วนนี้มีสมบัติเชิงกล และสมบัติทางกายภาพใกล้เคียงกับสูตร P-NC1 (NR:Cg = 9:1) แต่เมื่ออัตราส่วนของไครโ陶ดานที่สามารถคิดเห็นกับ Ag^+ ได้มากกว่า

การนำ NR:Cg ที่คิดเห็นกับ Ag^+ ในปริมาณที่แตกต่างกัน มาผสมร่วมกับ PLA พบร่วมกับฟิล์มพอลิเมอร์ผสมที่ได้พบการแยกเฟสของไครโ陶ดานออกจากเฟสของ PLA มากขึ้นตามปริมาณของ Ag^+ ที่เพิ่มขึ้น ซึ่งเกิดจากการเกาะกลุ่มรวมกันของ Ag^+ ที่คิดเห็นอยู่กับ Cg สงผลต่อการเป่าฟิล์ม และสมบัติการทนต่อแรงดึงของฟิล์มพอลิเมอร์ผสมที่เตรียมได้ แต่ไม่ส่งผลกระทบมากนักต่อการเตรียมชิ้นงานแบบดีด และค่าความหนืดหยดของชิ้นงาน การเตรียมพอลิเมอร์ผสมระหว่าง NR และ Cg แบบกร้าฟ (NR-g-Cg) โดยใช้ $\text{K}_2\text{S}_2\text{O}_8$ เป็นสารริเริ่มปฏิกิริยา พบร่วมกับการเกาะกลุ่มกันของ Cg/ Ag^+ ขณะหลอมร่วมกับ PLA ได้ฟิล์มที่มีการกระจายตัวของ Ag^+ สม่ำเสมอหัวทั้งแผ่นฟิล์มมากขึ้น สงผลให้สมบัติเชิงกลของฟิล์มนี้ NR-g-Cg/ Ag^+ มีค่าการทนต่อแรงดึง ค่าระยะยืดสูงสุด ณ จุดขาด และค่ามอดูลัสเพิ่มขึ้นเมื่อเทียบกับสูตร NR:Cg- Ag^+ แต่ยังคงมีค่าที่น้อยกว่าฟิล์ม P-NC2 อย่างไรก็ตามค่าการทนต่อแรงกระแทกของพอลิเมอร์ผสมที่คิดเห็นกับ Ag^+ ทุกสูตรยังคงมีค่าสูงกว่าชิ้นงานที่เตรียมจาก PLA เพียงอย่างเดียว และมีค่าไม่ต่างจากสูตร NR:Cg/ Ag^+ มาก

นอกจากนี้ยังพบว่าการคิดเห็นกับ Ag^+ สงผลให้ค่า T_g ของ PLA เพิ่มขึ้นเล็กน้อยเมื่อเทียบกับสูตรที่ไม่มี Ag^+ แต่ยังคงมีค่าต่ำกว่าค่า T_g ของฟิล์ม PLA บริสุทธิ์ นอกจากนี้ยังพบว่าฟิล์มมีปริมาณผลึกลดลง จึงอาจกล่าวได้ว่าการคิดเห็นกับ Ag^+ ไม่ส่งผลกระทบมากนักต่อการขยายตัวของ PLA แต่มีส่วนชัดขึ้นของการเกิดผลึกของ PLA ทำให้ฟิล์มพอลิเมอร์ผสมมีปริมาณผลึกลดลง

ศึกษาค่าการผ่านของแสงของฟิล์มพอลิเมอร์ผสม พบร่วมกับ Ag^+ ช่วยลดการผ่านของแสงที่ความยาวคลื่น 280 nm และ 400-700 nm ได้ดี โดยเฉพาะการผ่านร่วมกับ Ag^+ มากกว่า 0.3% สามารถลดการผ่านของแสงญี่วีที่ความยาวคลื่น 280 nm ได้ 100% และลดการผ่านของแสงช่วงแสงวิชิเบิลที่ 400-700 nm ได้มากกว่า 90% ในขณะที่การคิดเห็นกับ Ag^+ ในอัตราส่วน 0.17% (P-NC2-Ag1) ช่วยให้ฟิล์มพอลิเมอร์ผสมมีค่า WVTR ลดลง แต่การคิดเห็นกับ Ag^+ ในอัตราส่วนที่เพิ่มขึ้น และการกร้าฟระหว่าง NR และ Cg พบร่วมกับสูตรที่ต่อการเพิ่มขึ้นของค่า WVTR

เนื่องจากฟิล์มพอลิเมอร์ผสม PLA/NR:Cg ที่มี Ag^+ ปริมาณต่าง ๆ มีสมบัติเชิงกลลดลง เมื่อเทียบกับฟิล์ม PLA และ P-NC2 จึงสนใจการผสมร่วมของ PBAT ในอัตราส่วน 10 %wt

(PB-NC1), 15 %wt (PB-NC2) และ 20 %wt (PB-NC3) ในสภาวะหลอม พนวจการผสมร่วมกับ PBAT ซ้ายให้เป้าพิล์มได้ง่ายขึ้น พิล์มมีความเรียบเนียน และมีความหนืดยืดเพิ่มขึ้น แต่ไม่ช่วยเพิ่มสมบัติการทนต่อแรงดึง และการยึดตัวของพิล์มพอลิเมอร์ผสม แม้ว่า PBAT จะช่วยเหนี่ยวนำให้พิล์มพอลิเมอร์ผสมมีปริมาณผลลัพธ์เพิ่มขึ้น ซึ่งการลดลงดังกล่าวสำาจะเกิดจากการแยกเฟสขนาดใหญ่ลักษณะหยดของ PBAT ที่กระจายอยู่ทั่วทั้งชิ้นงาน และเฟสดังกล่าวมีขนาดใหญ่ขึ้นตามอัตราส่วนของ PBAT ที่เพิ่มขึ้น นอกจานี้เมื่อนำพอลิเมอร์ผสมที่ผสมกับ PBAT ไปคีเลตร่วมกับ Ag^+ ที่ปริมาณ 0.8% (PB-NC2-Ag3) พนวจว่าพิล์มพอลิเมอร์ผสมเป้าขึ้นรูปได้ยาก เนื่องจากฟองอากาศขนาดเล็กที่กระจายอยู่ทั่วทั้งชิ้นงาน และพิล์มที่ได้ยังคงมีสมบัติเชิงกลลดต่ำลง เช่นเดียวกับสูตรที่ไม่ผสมร่วม กับ PBAT

อย่างไรก็ตามการผสมร่วมกับ PBAT ในอัตราส่วนพนิชส่วนที่ส่วนช่วยลดการผ่านของแสงลงอย่างมีนัยสำคัญเมื่อเทียบกับสูตรที่ไม่ผสมร่วมกับ PBAT (P-NC2) โดยเฉพาะแสงที่ความยาวคลื่น 280 nm ที่สามารถบังกันการผ่านของแสงได้ 100 % และลดการผ่านของแสงช่วงแสงวิชีเบิล (400-700 nm) ได้มากกว่า 90 % ในขณะที่ฟิล์มพอลิเมอร์ผสมมีค่าความสว่างเพิ่มขึ้น และการคีเลตร่วมกับ Ag^+ ช่วยให้ฟิล์มพอลิเมอร์ผสมลดการผ่านของแสงในทุกช่วงความยาวคลื่นได้ 100% นอกจากนี้ยังพบว่าการผสมร่วมระหว่าง PLA:PBAT ในอัตราส่วน 65:15 %w/w (PB-NC1) และการคีเลตร่วมกับ Ag^+ พนิชส่วนที่ช่วยให้ฟิล์มมีค่า WVTR ลดลง

ศึกษาการยับยั้งเชื้อจุลชีพของฟิล์มพอลิเมอร์ผสม พบว่าเฉพาะสูตร PLA/NR:CG ที่คีเลต ร่วมกับ Ag⁺ ในอัตราส่วน 1.5 % แสดงประสิทธิภาพในการยับยั้งการเจริญเติบโตของเชื้อจุลชีพทั้ง 5 สายพันธุ์ทั้งแบคทีเรียแกรมบวก (*B. cereus* และ *S. aureus*) และแบคทีเรียแกรมลบ (*E. coli*, *S. typhimurium* และ *P. fluorescens*) ได้ดี ทั้งการทดสอบแบบร่วมมือการยับยั้งเชื้อ และการนับ จำนวนโคลoni ของเชื้อจุลชีพ โดยฟิล์มมีความสามารถในการลดจำนวนของเชื้อจุลชีพได้มากกว่า 99% เมื่อยึบกับฟิล์มควบคุม เป็นเวลา 48 ชั่วโมง ซึ่งประสิทธิภาพดังกล่าวนำไปจากจำนวน Ag⁺ ที่หลุดออกจากการฟิล์มในปริมาณที่เพียงพอต่อการต้านเชื้อจุลชีพ

ศึกษาการหลุดออกของ Ag^+ จากฟิล์มในสารละลายที่ pH 3 และ pH 7 พบว่าฟิล์ม polymeric ผสมทุกสูตร (P-NC2-Ag2, P-NC2-Ag3² และ P-NC2-Ag4²) มีการปลดปล่อยของ Ag^+ ออกมาก โดยมีการหลุดออกในปริมาณมากใน 3 วันแรก และมีปริมาณลดลงตามลำดับ และ Ag^+ สามารถหลุดออกจากฟิล์มทุกสูตรได้ดีในสารละลายกรด ในขณะที่การปลดปล่อยของ Ag^+ ในสารละลายที่เป็นกลาง พบว่า P-NC2-Ag4² ซึ่งมีปริมาณ Ag^+ มากที่สุด พนการปลดปล่อยของ Ag^+ ออกมากที่สุด และปริมาณเด้งกล่าวเพียงพอ (ประมาณ 100 ng/cm²) ต่อการยับยั้ง/ลดการ

เจริญเติบโตของเชื้อจุลชีพ ในขณะที่ P-NC2-Ag2 และ P-NC2-Ag3² ซึ่งมีปริมาณ Ag⁺ ที่ปลดปล่อยออกมาน้อยกว่า พบระสิทธิภาพการยับยั้ง/ลดการเจริญเติบโตของเชื้อจุลชีพที่ต่ำกว่า

การประยุกต์ใช้ฟิล์ม P-NC2-Ag4² ในการบรรจุเนื้อหมูสด พบร่วมสารลดการเน่าเสีย และการเกิดเมือกของชิ้นเนื้อได้ดีกว่าการเก็บรักษาในฟิล์ม PLA ซึ่งฟิล์มพอลิเมอร์ผสมที่คีเดตร่วมกับ Ag⁺ นี้หมายความว่าการบรรจุเนื้อสัตว์สำหรับการวางขายทั่วไปที่อุณหภูมิห้อง เช่น ตลาดสด/ตลาดนัด หรือแหล่งการแสลงสัตว์ที่ไม่ได้รับมาตรฐาน เช่น โดยฟิล์มดังกล่าวจะช่วยลด/ควบคุมการเจริญเติบโตของเชื้อจุลชีพที่อยู่ในชิ้นเนื้อ สงผลให้ช่วยยืดอายุการเก็บรักษาเนื้อสัตว์ และลดปัญหาการเกิดโรคอาหารเป็นพิษได้





บรรณานุกรม

- 1 Majid I, Nayik GA, Dar SM, Nanda V. Novel food packaging technologies: Innovations and future prospective. *J saudi soci agri sci.* 2018;17:454–62.
- 2 บุษกร ทองใน. การผลิตฟิล์มที่มีฤทธิ์ยับยั้งจุลินทรีย์จากน้ำมะพร้าว. *สารวิจัยเพื่อชุมชน.* 2555;41:77-85.
- 3 Carbone M, Donia DT, Sabbatella G, Antiochiam R. Silver nanoparticles in polymeric matrices for fresh food packaging. *J King Saud Univ Sci.* 2016;28:273-79.
- 4 กระบวนการ หมอนพังเทียม, จันต์ศุภี กอบกุจชา, นิภาพรวน สมช์ดีกิริยา. *สถานการณ์โรคอาหารเป็นพิษในประเทศไทย ปี พ.ศ. 2557.* เอกสารประกอบคำขอประเมินผลงานกรรมคุณคุณ โฉค,2559.
- 5 Abad AM, Lagarón JM, Ocio MJ. Characterization of transparent silver loaded poly (l-lactide) films produced by melt-compounding for the sustained release of antimicrobial silver ions in food applications. *Food control.* 2014;43:238-44.
- 6 Lin S, Chen L, Huang L, Cao S, Luo X, Liu K. Novel antimicrobial chitosan-cellulose composite films bioconjugated with silver nanoparticles. *Ind Crops Prod.* 2015;70:395-403.
- 7 Cavus S, Yasar G, Kaya Y, Gönder ZB, Gürdag G, Vergili I. Synthesis and characterization of gel beads based on ethyleneglycol dimethacrylate and 2-acrylamido-2-methyl-1-propane sulfonic acid: Removal of Fe(II), Cu(II), Zn(II) and Ni(II) from metal finishing wastewater. *Process Saf Environ Prot.* 2016;10:227-36.
- 8 Conn RE, Kolstad JJ, Borzelleca JF, Dixler DS, Filer LJ, Ladu BN,et al. Safety assessment of polylactide (PLA) for use as a food-contact polymer. *Food Chem Toxicol.* 1995;33:273-83.
- 9 Bonilla J, Fontunati E, Vargas M, Chiralt A, Kenny JM. Effect of chitosan on the physicochemical and antimicrobial properties of PLA films. *J Food Eng.* 2013;119:236-43.

- 10 สำนักโรคติดต่อทั่วไป. แผนงานโรคติดต่อทางอาหารและน้ำปี 2560-2564 [อินเตอร์เน็ต]. ม.ป.ป. [สืบค้นเมื่อวันที่ 10 ก.พ. 2563]. จาก: <http://plan.ddc.moph.go.th/meeting.pdf>
- 11 จินต์ศุภี กอบกุลธร. สถานการณ์โรคอาหารเป็นพิษในประเทศไทย ปี พ.ศ. 2557. เอกสารประกอบคำขอประเมินผลงานกรมควบคุมโรค;2559.
- 12 พริม ภักดีธรรม. การเตรียมโคโดยสาร/พอลิไวนิคลาลกอยด์ไฮโดรเจล. [วิทยานิพนธ์ปริญญาวิทยาศาสตรมหาบัณฑิต]. กรุงเทพฯ: จุฬาลงกรณ์มหาวิทยาลัย; 2560.
- 13 เกียรติกุณ รัตนabenท, นิธยา รัตนabenท, พิมพ์เพ็ญ พรเฉลิมพงศ์. Cell wall/ผนังเซลล์ [อินเตอร์เน็ต]. ม.ป.ป. [สืบค้นเมื่อวันที่ 10 พ.ย. 2561]. จาก: <http://www.foodnetworksolution.com/wiki/word.html>
- 14 ชีรพัฒน์ เวชชประสีห์. เนื้อแบคทีเรีย E.coli ระบาด. ครอบรู้วิทย์ แบคทีเรีย. 2554;39:6-8.
- 15 Villani F, Russo F, Blaiotta G, Moschetti G, Ercolini D. Presence and characterisation of verotoxin producing *E. coli* in fresh Italian pork sausages, and preparation and use of an antibiotic-resistant strain for challenge studies. Meat Sci. 2005; 70:181-8.
- 16 Richardson KE, Cox NA, Cosby DE, Berrang ME, Holcombe NL, Weller CE. Impact of Enrichment Media on H2S-Negative Salmonella Isolated From Xylose-Lysine-Tergitol 4 Agar. J Appl Poult Res. 2019;28:1255-61.
- 17 Hertwig AM, Iamanaka BT, Neto DPA, Rezende JB, Martins LM, Taniwaki MH, et al. Interaction of Aspergillus flavus and A. parasiticus with Salmonella spp. isolated from peanuts. Int J Food Microbiol. 2020;328:108666.
- 18 เกียรติกุณ รัตนabenท, นิธยา รัตนabenท, พิมพ์เพ็ญ พรเฉลิมพงศ์. Pseudomonas [อินเตอร์เน็ต]. ม.ป.ป. [สืบค้นเมื่อวันที่ 10 พ.ย. 2561]. จาก: <https://www.foodnetworksolution.com/pseudomonas.html>
- 19 Compeau G, Achi BJ, Platsouka E, Levy SB. Survival of rifampicin-resistant mutants of *Pseudomonas fluorescens* and *Pseudomonas putida* in soil systems. Appl Environ Microbiol. 1988;54:2432-38.

- 20 เกียรติคุณ รัตนานปันธ์, นิธิยา รัตนานปันธ์, พิมพ์เพ็ญ พรเฉลิมพงศ์. บาซิลัส-ซีเรียส [อินเตอร์เน็ต]. ม.ป.ป. [สืบค้นเมื่อวันที่ 10 พ.ย. 2561]. จาก: <http://www.foodnetworksolution.com/bacillus-cereus.html>
- 21 กระทรวงอุตสาหกรรม. บาซิลัส ซีเรียส [อินเตอร์เน็ต]. ม.ป.ป. [สืบค้นเมื่อวันที่ 10 พ.ย. 2561]. จาก: http://www.nfi.or.th/foodsafetybacillus_cereus.pdf
- 22 เกียรติคุณ รัตนานปันธ์, นิธิยา รัตนานปันธ์, พิมพ์เพ็ญ พรเฉลิมพงศ์. *Staphylococcus aureus* [อินเตอร์เน็ต]. ม.ป.ป. [สืบค้นเมื่อวันที่ 10 พ.ย. 2561]. จาก: <http://www.foodnetworksolution.com/staphylococcus-aureus.html>
- 23 Iwamoto K, Moriwaki M, Miyake R, Hide M. *Staphylococcus aureus* in atopic dermatitis: Strain-specific cell wall proteins and skin immunity. *Allergol Int.* 2019;68:309-15.
- 24 Elsawy MA, Kim KH, Park JW, Deep A. Hydrolytic degradation of polylactic acid (PLA) and its composites. *Renewable and sustainable energy reviews.* 2017;79:1346-52.
- 25 Turalija M, Bischof S, Budimir A, Gaan S. Antimicrobial PLA films from environment friendly additives. *Compos B Eng.* 2016;102:94-9.
- 26 Ploypetchara N, Suppakul P, Atong D, Pechyen C. Blend of polypropylene/poly(lactic acid) for medical packaging application: physicochemical, thermal, mechanical, and barrier properties. *Energy procedia.* 2014;56:201-10.
- 27 Nagarajan V, Mohanty AK, Misra M. Reactive compatibilization of poly trimethylene terephthalate (PTT) and polylactic acid (PLA) using terpolymer: Factorial design optimization of mechanical properties. *Mater Des.* 2016;110:581-91.
- 28 Ostafinska A, Fortelný I, Hodan J, Krejciková S, Nevoralová M, Kredatusová J, et al. Strong synergistic effects in PLA/PCL blends: impact of PLA matrix viscosity. *J Mech Behav Biomed Mater.* 2017;69:229-41.
- 29 Maroufkhani M, Katbab A, Liu W, Zhang J. Polylactide (PLA) and acrylonitrile butadiene rubber (NBR) blends: The effect of ACN content on morphology, compatibility and mechanical properties. *Polymer.* 2017;115:37-44.

- 30 สำนักงานพัฒนาการวิจัยการเกษตร (องค์กรมหาชน). ย่างพารากานนำไปใช้ประโยชน์ [อินเตอร์เน็ต]. ม.ป.บ. [สืบค้นเมื่อวันที่ 28 พ.ย. 2561]. จาก: <http://www.arda.or.th/kasetinfo/south/para.html>
- 31 Pongsathit S, Pattamaprom C. Irradiation grafting of natural rubber latex with maleic anhydride and its compatibilization of poly (lactic acid)/natural rubber blends. *Radiat Phys Chem.* 2018;144:13-20.
- 32 Sousa EA, Silva MJ, Sanches AO, Soares VO, Job AE, Malmonge JA. Mechanical, thermal, and morphological properties of natural rubber/45S5 Bioglass® fibrous mat with ribbon-like morphology produced by solution blow spinning. *Eur Polym J.* 2019;119:1-7.
- 33 Lv MZ, Wang LF, Fang L, Li PW. Preparation and properties of natural rubber/chitosan microsphere blends. *Micro Nano Lett.* 2017;12:386-90.
- 34 จรัสลักษณ์ เพชรวงศ์, ณัฐธิดา รักษะเปา, บุญภาพ ไชยศรีขรัญ, อติพล พัฒยะ, อุ่รวรรณ วีระพันธ์. ฤทธิ์และกลไกการยับยั้งจลินทรีย์ของไคโตซานตลอดจนอนุพันธ์และคอมโพสิตของไคโตซาน. *วารสารวิทยาศาสตร์ มศว.* 2560;33:299-315.
- 35 Goy CR, Odilio BG. A review of the antimicrobial activity of chitosan. *Polímeros.* 2009;19:241-47.
- 36 โครงการเพิ่มศักยภาพฐานข้อมูลอุตสาหกรรมฐานชีวภาพ. รายละเอียดข้อมูลพลาสติก ชีวภาพประเภทพอลิบิวทิลีนอะดิเพท-โค-เทเรฟทาเลท. เอกสารประกอบ การสอนมหาวิทยาลัยเทคโนโลยีพระจอมเกล้าพระนครเหนือ. 2561;1-17.
- 37 Deng Y, Yu C, Wongwiwattana P, Thomas NL. Optimising ductility of poly(lactic acid)/poly(butylene adipate-co-terephthalate) blends through co-continuous phase morphology. *J Polym Environ.* 2018;26:3802-16.
- 38 Musiot M, Sikorska W, Janeczek H, Watach W, Hercog A, Johnston B, et al. (Bio)degradable polymeric materials for a sustainable future – part 1. Organic recycling of PLA/PBAT blends in the form of prototype packages with long shelf-life. *Waste management.* 2018;77:447-54.

- 39 Bie P, Liu P, Yu L, Li X, Chen L, Xie F. The properties of antimicrobial films derived from poly(lactic acid)/starch/chitosan blended matrix. *Carbohydr Polym.* 2013;98:959-66.
- 40 Pongtanayuta K, Thongpina C, Santawiteeb O. The effect of rubber on morphology, thermal properties and mechanical properties of PLA/NR and PLA/ENR blends. *Energy procedia.* 2013;34:888-97.
- 41 Yuan D, Zu C, Chen Z, Chen Y. Crosslinked bicontinuous biobased polylactide/natural rubber materials: super toughness, "net-like"-structure of NR phase an excellent interfacial adhesion. *Polymer testing.* 2014;38:78-80.
- 42 Raju G, Haris MRHM. Preparation and characterization of acidified chitosan immobilized in epoxidized natural rubber. *Polymer testing.* 2016;53:1-6.
- 43 Râpa M, Mitelut AC, Tanase EE, Grosu E, Popescu P, Popa ME, et al. Influence of chitosan on mechanical, thermal, barrier and antimicrobial properties of PLA-biocomposites for food packaging. *Compos B Eng.* 2016;102:112-21.
- 44 Ren J, Zhao P, Liu W, Wu Q. Preparation, mechanical, and thermal properties of biodegradable polyesters/poly(Lactic Acid) blends. *J Nanomater.* 2010;2010:1-8.
- 45 พัชรี กัมมารเจษฎาภุล, วชิรินทร์ วงศ์ภาณุรัตน์, อิสยา จันทร์วิทยานุชิต, ฤทธิ์ของสารสกัดสมุนไพรไทย 10 ชนิด ต่อการยับยั้งเชื้อแบคทีเรีย Staphylococcus aureus ATCC 25923, Bacillus cereus และ Escherichia coli ATCC 25922 antibacterial activities of ten thai herbal extracts against Staphylococcus aureus ATCC 25923, Bacillus cereus and Escherichia coli ATCC 25922. *วารสาร มหาวิทยาลัยรังสิต*;2560.
- 46 สถาพร คำหอม. อนุภาคนาโนของซิลเวอร์. เอกสารของภาควิชาวิศวกรรมเคมีและวัสดุ มหาวิทยาลัยรังสิต;2560.
- 47 เทคโนโลยีการยับยั้งเชื้อแบคทีเรียในแผ่นกรองอากาศด้วยอนุภาคนาโนซิลเวอร์ [อินเตอร์เน็ต]. ม.บ.บ. [สืบค้นเมื่อวันที่ 14 พ.ย. 2561]. จาก: <http://www.vali-tech.net/home.html>
- 48 Tikam CD, Anu K, Rita SM, Vinod Y. Mechanistic basis of antimicrobial actions of silver nanoparticles. *Front Microbiol.* 2016;1831:1-17.

- 49 Feng QL, Wu J, Chen GQ, Cui FZ, Kim TN, Kim JO. A mechanistic study of the antibacterial effect of silver ions on *Escherichia coli* and *Staphylococcus aureus*. *J Biomed Mater Res.* 2000;52:662-68.
- 50 Li WR, Sun TL, Zhou SL, Ma YK, Shi QS, Xie XB, et al. A comparative analysis of antibacterial activity, dynamics, and effects of silver ions and silver nanoparticles against four bacterial strains. *Int Biodeterior Biodegradation.* 2017;1-7.
- 51 Phetphaisit CW, Yuanyang S, Chaiyasith WC. Polyacrylamido-2-methyl-1-propane sulfonic acid-grafted-naturalrubber as bio-adsorbent for heavy metal removal from aqueous standard solution and industrial wastewater. *J Hazard Mater.* 2016;301: 163-71.
- 52 Nematia M, Hosseini SM, Shabaniyanba M. Novel electrodialysis cation exchange membrane prepared by 2-acrylamido-2-methylpropane sulfonic acid; heavy metal ions removal. *J Hazard Mater.* 2017;337:90-104.
- 53 Riyajan SA, Sukhlaaied W. Effect of chitosan content on gel content of epoxidized natural rubber grafted with chitosan in latex form. *Mater Sci Eng C.* 2013;33:1041-47.
- 54 เครื่องชั้ย เหลืองอ่อน. การวัดสีด้วยเทคนิค uv-vis-nir spectro photometry. ปทุมธานี: หน่วยปฏิบัติการวิจัยด้านสิ่งแวดล้อม ศูนย์เทคโนโลยีโลหะ และวัสดุแห่งชาติ; 2553.
- 55 Song Z, Xiao H, Zhao Yi. Hydrophobic-modified nano-cellulose fiber/PLA biodegradable composites for lowering water vapor transmission rate (WVTR) of paper. *Carbohydr Polym* 2014;111:442-44.
- 56 จตุพร วุฒิกนกกาญจน์. ปฏิกริยาการสังเคราะห์พอลิเมอร์แบบอนุมูลิสระ. เอกสารประกอบการเรียน คณะพลังงานและวัสดุ มหาวิทยาลัยเทคโนโลยีพระจอมเกล้าธนบุรี [อินเตอร์เน็ต]. ม.ป.ป. [สืบค้นเมื่อวันที่ 17 เม.ย. 2562]. จาก: <http://www.seem.kmutt.ac.th/research.pdf>
- 57 Gurdag G, Sarmad S. Cellulose graft copolymers: synthesis, properties, and applications. *Polysaccharide based graft copolymers.* 2013:15-57.
- 58 Soliman EA, Mansour ESM, Hassan HAM, Hassan NAM. Optimization of graft polymerization and performance of carboxymethyl chitosan /polyacrylamide flocculants. *Journal of research & developments in chemistry.* 2014;18:1-16.

- 59 Rolere S, Liengprayoon S, Vaysse L, Jerome SB, Bonfils F. Investigating natural rubber composition with fourier transform infrared (FT-IR) spectroscopy: a rapid and non-destructive method to determine both protein and lipid contents simultaneously. *Polymer testing*. 2015;43:83-93.
- 60 Heuzey MC, Ajji A, Sarazin P. Plasticized chitosan/polyolefin films produced by -:extrusion Marie Matet. *Carbohydr Polym*. 2015;117:117-84.
- 61 Aimjirakul N, Ekworapoj P, Poolnuam T. Silver nanoparticles in dentistry. *SwuDJ*. 2013;6:78-86.
- 62 เทคโนโลยีการบัญชีแบบที่เรียกว่าแฟ้มกรองอากาศด้วยอนุภาคนาโนชิลเดอร์ [อินเตอร์เน็ต]. ม.ป.ป. [สืบค้นเมื่อวันที่ 1 พ.ย. 2562]. จาก: <http://www.valli-tech.net/home.html>
- 63 Zakaria Z, Islam MS, Hassan A, Mohamad HMK, Arjmandi R, Inuwa IM, et al. Mechanical properties and morphological characterization of PLA/chitosan/epoxidized natural rubber composites. *Advances in materials science and engineering*. 2013;1-7
- 64 Xu C, Yuan D, Fu L, Chen Y. Physical blend of PLA/NR with co-continuous phase structure: Preparation, rheology property, mechanical properties and morphology. *Polymer testing*. 2014;37:94-101.
- 65 Narayanan M, Loganathan S, Valapa RB, Thomas S. UV protective poly (lactic acid)/rosin films for sustainable packaging. *Int J Biol Macromol*. 2017;99:37-45.
- 66 Ozdemir E, Hacaloglu J. Characterizations of PLA-PEG blends involving organically modified montmorillonite. *J Anal Appl Pyrolysis*. 2017;127:343-349.
- 67 Peng ZH, Lice W, We Q, Ren J. Preparation, mechanical and thermal properties of biodegradable polyesters/poly (lactic acid) blends. *J Nanomater* 2010;2010:1-19.
- 68 Mascia L, Haworth B, Vignali A, Megna R, Acierno D, Russo P. thermal transitions and solidification kinetics of poly (lactic acid) and blends with epoxidized natural rubber. *Thermochim Acta*. 2016;633:82-90.
- 69 Gao H, Fang X, Chen H, Qin Y, Xu F, Jin TZ. Physicochemical properties and food application of antimicrobial PLA film. *Food control*. 2017;73:1522-31.

- 70 Kanatt SR, Rao MS, Chawla SP, Sharma A. Active chitosan-polyvinyl alcohol films with natural extracts. *Food Hydrocoll.* 2012;29:290-297.
- 71 Armentano I, Bitinis N, Fortunati E, Mattioli S, Rescignano N, Verdejo R, et al. Multifunctional nanostructured PLA materials for packaging and tissue engineering, *Prog Polym Sci.* 2013;38:1720-47.
- 72 Yang H, Zhu S, Pan N. Studying the mechanisms of titanium dioxide as ultraviolet-blocking additive for films and fabrics by an improved scheme. *J Appl Polym Sci.* 2004;92:3201-10.
- 73 Salaberria AM, Diaz RH, Andres MA, Fernandes SCM, Labidi J. The antifungal activity of functionalized chitin nanocrystals in poly (lactic Acid) films. *Material.* 2017;10: 546-61.
- 74 Siracusa V, Rocculi P, Romani S, Rosa MD. Biodegradable polymers for food packaging: a review. *Trends Food Sci Technol.* 2008;19:634-43.
- 75 Teo PS, Chow WS. Water Vapor permeability of poly (lactic acid)/chitosan binary and ternary blends. KMUTNB: IJAST. 2014;7:23-7.
- 76 Halasz K, Hosakun Y, Csoka L. Reducing water vapor permeability of poly (lactic acid film and bottle through layer-by-layer deposition of green-processed cellulose nanocrystals and chitosan, *Int J Polym Sci.* 2015;DOI:10.1155/954290
- 77 Cai Y, Lv J, Feng J. Spectral characterization of four kinds of biodegradable plastics: poly (lactic acid), poly (butylenes adipate-co-terephthalate), poly (hydroxybutyrate-co-hydroxyvalerate) and poly (butylenes succinate) with FTIR and Raman spectroscopy. *J Polym Environ.* 2013;21:108–14.
- 78 Herrera KV, Misiun A, Vogt C. Preparation and characterization of poly (lactic acid)/poly(methyl methacrylate) blend tablets for application in quantitative analysis by micro Raman spectroscopy. *J Raman Spectrosc.* 2015;46:273–79.
- 79 Manikandan P, Manikandan D, Elayaperumal M, Ferdinand AC. Surface enhanced Raman scattering (SERS) of silver ions embedded nanocomposite glass. *Spectrochim Acta A Mol Biomol Spectrosc.* 2014;124:203–7.

- 80 Kumar S, Shukla A, Baul PP, Mitra A, Halder D. Biodegradable hybrid nanocomposites of chitosan/gelatin and silver nanoparticles for active food packaging applications. *Food Packag Shelf Life.* 2018;16:178-84.
- 81 Zhang H, Hortal M, Beneyto MJ, Rosa E, Lledo ML. ZnO-PLA nanocomposite coated paper for antimicrobial packaging application. *Inmaculada lorente LWT - food science and technology.* 2017;78:250-57.
- 82 Lin HJ, Liu SR, Han LJ, Wang XM, Bian YJ, Dong LS. Effect of a phosphorus-containing oligomer on flame-retardant, rheological and mechanical properties of poly (lactic acid). *Polym Degrad Stab.* 2013;98:1389-96.
- 83 Vasile C, Rapa M, Stefan M, Stan M, Macavei S, Darie NRN, et al. New PLA/ZnO:Cu/Ag bionanocomposites for food packaging. *Express Polym Lett.* 2017; 11:531-44.
- 84 Kanmani P, Rhim JW Physical, mechanical and antimicrobial properties of gelatin based active nanocomposite films containing AgNPs and nanoclay. *Food hydrocoll.* 2013;10.
- 85 Kumar R, Munstedt H. Silver ion release from antimicrobial polyamide/silver composites. *Biomaterials.* 2005; 26:2081–88.
- 86 Nofar M, Salehiyan R, Ciftci U, Jalali A, Durmus A. Ductility improvements of PLA-based binary and ternary blends with controlled morphology using PBAT, PBSA, and nanoclay. *Compos B.* 2019;DOI10.1016.
- 87 Ding Y, Feng W, Lu B, Wang P, Wang G, Ji J. PLA-PEG-PLA tri-block copolymers: Effective compatibilizers for promotion of the interfacial structure and mechanical properties of PLA/PBAT blends. *Polym.* 2018; JPOL 20598.
- 88 Lopez MH, Pacheco ZNC, Banos SB, Avejar LZ, Jimenez JJB, Gutierrez MAS, et al. Bio-based composite fibers from pine essential oil and PLA/PBAT polymer blend. morphological, physicochemical, thermal and mechanical characterization. *Mater Chem Phys.* 2019;234:345–53.

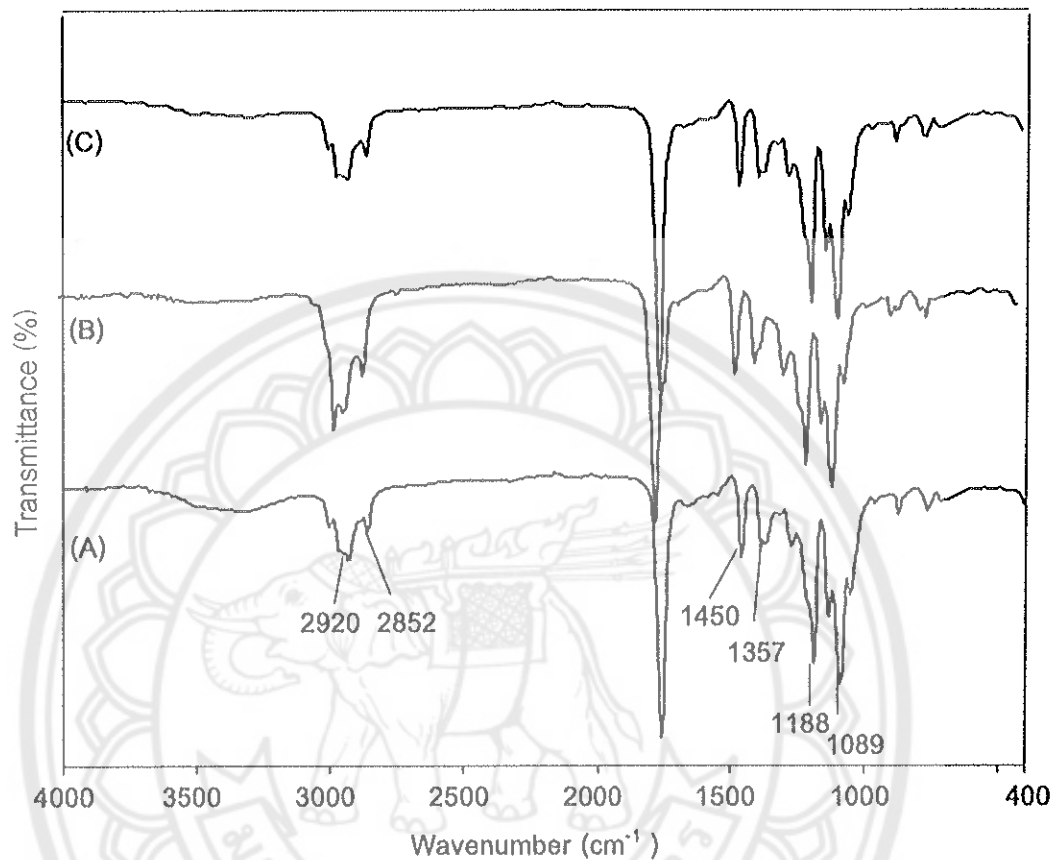
- 89 Kumar M, Mohanty S, Nayak SK, Rahall PM. Effect of glycidyl methacrylate (GMA) on the thermal, mechanical and morphological property of biodegradable PLA/PBAT blend and its nanocomposites. *Bioresource technology*. 2010;101:8406-15.
- 90 Wu N, Zhang H. Mechanical properties and phase morphology of super-tough PLA/PBAT/ EMA-GMA multicomponent blends. *Mater Lett*. 2017;DOI10.1016
- 91 Jiang L, Wolcott MP, Zhang. Study of biodegradable polylactide/ poly(butylene adipate-co-terephthalate) blends. *Biomacromolecules*. 2006;7:199-207.
- 92 Shankar S, Rhim JW. Tocopherol-mediated synthesis of silver nanoparticles and preparation of antimicrobial PBAT/silver nanoparticles composite films. *LWT - Food Science and Technology*. 2016;72:149-56.
- 93 Jin T, Liu L, Zhang H, Hicks K. Antimicrobial activity of nisin incorporated in pectin and polylactic acid composite films against listeria monocytogenes. *Int J Food Sci Technol*. 2009;44:322-29.
- 94 Rhim JW, Hong SI, Ha CS. Tensile, water vapor barrier and antimicrobial properties of PLA/nanoclay composite films. *LWT - food science and technology*. 2009;42:612-17.
- 95 Taranamai P, Phinyocheep P, Panbangred W, Janhom M, Daniel P. Antibacterial activity of sustainable composites derived from epoxidized natural rubber/ silver-substituted zeolite/poly(lactic acid) blends. *J Mater Sci*. 2019;54:10389-409.
- 96 Wang K, Lim PN, Tong SY, Thian ES. Development of grapefruit seed extract-loaded poly(ϵ -caprolactone)/ chitosan films for antimicrobial food packaging. *Food Packag Shelf Life*. 2019;22:100396.
- 97 Mahsa MA, Behnam P, Loba EG. Novel, silver-ion-releasing nanofibrous scaffolds exhibit excellent antibacterial efficacy without the use of silver nanoparticles. *Acta Biomater*. 2014;10:2096-2104.
- 98 นิธิยา รัตนปนนท์, พิมเพ็ญ พรมเฉลิมพงษ์. การเน่าเสียของเนื้อหมู [อินเตอร์เน็ต]. ม.บ.บ. [สืบค้นเมื่อวันที่ 6 ก.พ. 2563]. จาก: <http://www.foodnetworksolution.com/wiki/word/2804/spoilage-of-meat.html>

- 99 Panrong T, Karbowiak T, Harnkarnsujarit N. Thermoplastic starch and green tea blends with LLDPE films for active packaging of meat and oil-based products. Food packaging shelf life. 2019;21:100331.





ภาคผนวก



ภาพ 49 ATR-IR สเปกตรามของ (A) PLA (B) P-NC2 (C) P-NC2Ag4